

15
МОРСКОЙ ПЛЕЙСТОЦЕН
СИБИРСКИХ РАВНИН

104

АКАДЕМИЯ НАУК СССР

СИБИРСКОЕ ОТДЕЛЕНИЕ

ТРУДЫ ИНСТИТУТА ГЕОЛОГИИ И ГЕОФИЗИКИ

Вып. 104

ACADEMY OF SCIENCES OF THE USSR

SIBERIAN BRANCH

TRANSACTIONS OF THE INSTITUTE OF GEOLOGY AND GEOPHYSICS

Vol. 104



MARINE PLEISTOCENE OF SIBERIAN LOWLANDS

Lithological and paleontological
data



PUBLISHING OFFICE «NAUKA»
Moscow 1971

МОРСКОЙ ПЛЕЙСТОЦЕН СИБИРСКИХ РАВНИН

Материалы
к литологической и палеонтологической
характеристике



ИЗДАТЕЛЬСТВО «НАУКА»
Москва 1971

ПРЕДИСЛОВИЕ

Сборник содержит основные материалы, полученные при изучении стратиграфии и генезиса плейстоценовых (четвертичных) отложений севера Западной Сибири и западной части Северо-Сибирской (Таймырской) низменности, а также результаты исследования органических остатков (спор, пыльцы, диатомовых водорослей) из опорных разрезов. Проводится ревизия интерпретации генезиса некоторых горизонтов; намечены литолого-минералогические показатели происхождения отдельных типов пород. Выявлен ряд фаз развития растительности в межледниковые эпохи и этап расселения байкальских видов диатомовых в каргинское межстадиальное время.

Сборник представляет интерес для геологов-четвертичников, биостратиграфов, палеонтологов, географов.

Ответственный редактор

С. Л. Троицкий

Editor-in-chief

S. L. Troitsky

Исследование плейстоценовых (четвертичных) отложений сибирских равнин приобретает в последние годы все большую актуальность в связи с открытием и развертывающимся освоением богатейших газовых и нефтяных месторождений. Познание закономерностей строения и формирования плейстоценовых накоплений, представляющих субстрат для сооружений промышленного, коммунального и транспортного назначения и источник местных строительных и технических материалов, необходимо для рациональной организации и успешного проведения проектно-изыскательских и поисково-разведочных работ.

Этап маршрутических и региональных геологических исследований, завершившийся созданием ряда обзорных среднемасштабных геологических карт и карт четвертичных отложений, дал обширную информацию общего геологического характера. Проведенное в последние годы изучение плейстоценовых отложений, выполненное исследовательскими группами ВНИГРИ, Научно-исследовательского института геологии Арктики, Всесоюзного геологического института, 2-го гидрогеологического управления и Московского Государственного Университета на севере Западной Сибири и в Северо-Сибирской (Таймырской) низменности привело к появлению нескольких схем стратиграфического расчленения плейстоценовых отложений и различных историкогеологических концепций.

Основными дискуссионными проблемами стратиграфии плейстоцена равнинных северных областей Западной и Восточной Сибири стали вопросы о том, какая роль принадлежит морским и ледниковым фаунам в сложении разрезов и их соотношениях, а также число, возраст и особенности горизонтов морских отложений.

Начиная с 1961 г. над разрешением некоторых из этих вопросов работает исследовательская группа сотрудников Института геологии и геофизики Сибирского отделения Академии наук СССР, ведущая комплексное литологическое и палеонтологическое изучение разрезов плейстоцена в нескольких стратиграфических районах — на Обском и Енисейском севере, в бассейне р. Писины и совместно с Норильской научно-исследовательской экспедицией НИИ геологии Арктики — в Норильском районе. Первые результаты этих исследований были опубликованы в книге В. И. Гудиной (1966 г.) и частично в работе С. Л. Троицкого (1966 г.), а также в ряде статей Е. В. Шумиловой, С. С. Сухоруковой, В. И. Гудиной, Е. Е. Гуртовой, Н. А. Халфиной, С. Л. Троицкого, опубликованных в трудах института, журнале «Геология и геофизика», сборниках «Неогеновые и четвертичные отложения Западной Сибири» (1968 г.), «Основные проблемы четвертичной геологии Сибири» (1969 г.) и других изданиях. Последующие публикации подготовлены или готовятся к печати в виде нескольких выпусков трудов Института геологии и геофизики под общим названием «Морской плейстоцен сибирских рав-

ни». Первая книга «Фораминыферы Енисейского севера» (вып. 63) вышла в 1969 г. Предлагаемая вниманию читателя книга содержит результаты литологических и микропалеофитологических исследований.

В статье Е. В. Шумиловой и Ф. С. Бузулукова дано первое детальное литолого-минералогическое и петрографическое описание плейстоценовых отложений Енисейской впадины, в пределах которой предполагалось широкое распространение ледниково-морских слоев. Проведенные исследования позволили установить моренную природу валунных суглиников, содержащих обломки морских раковин во вторичном залегании. Авторы статьи устанавливают ряд диагностических признаков моренных отложений и следы ассимиляции ледниками значительных масс рыхлых отложений различного возраста. Особенности минералогического состава отложений позволили выявить этапы ледникового (поперечного по отношению к долине Енисея) переноса обломочного материала с трапповых плато и межледникового продольного выноса продуктов разрушения пород Енисейского кряжа.

Исследования Е. В. Шумиловой, посвященные петрографическому составу грубых обломков из доказанцевских плейстоценовых слоев Западной Сибири, позволили разделить сферы влияния уральской и сибирской питающих провинций в областях плейстоценовой морской и ледниковой седimentации и выявить существенную роль внутренних источников сплоса, сложенных палеогеновыми и меловыми осадочными породами, в формировании отложений.

Литологическое изучение санчуговских морских отложений, выполненное С. С. Сухоруковой, дало возможность выявить некоторые существенные особенности плейстоценового морского полярного литогенеза, восстановить гидродинамическую и геохимическую обстановку накопления отложений. Автор статьи убедительно показала слабость аутогенного минералообразования в санчуговское время, обломочное происхождение ряда минералов, считавшихся ранее аутогенными. Весьма интересны новые методы сбора и обработки информации, примененные С. С. Сухоруковой — получение плотностных характеристик отложений непосредственно на разрезах с помощью портативного приставного гамма-плотномера, классификация пород по их гранулометрическому составу с помощью электронной вычислительной машины, определение терригенной природы глауконита путем измерения его калий-argonового возраста.

Статьи Е. Е. Гуртовой и Т. П. Левиной посвящены палинологической характеристике плейстоценовых отложений. Е. Е. Гуртова выполнила первые детальные исследования пыльцы и спор из трех разрезов Мужинского Урала, входивших в число опорных при выделении ряда свит и слоев. Впервые для этого района установлены шесть фаз развития растительности, намечена возможность пересмотра местной стратиграфической схемы. Весьма примечательно выделение фаз, соответствующих, по-видимому, двум ледниковым эпохам, и закономерное изменение характера межледниковых спектров.

Т. П. Левиной получены первые очень подробные диаграммы из хорошо изученных разрезов морских слоев на Енисее, в стратотипическом районе Усть-Порта и на р. Агане. Установлены перигляциальные и раннемежледниковые (туидровые) спектры из нижней части санчуговской свиты, спектры, соответствующие лесотундре — южной тундре из своеобразных алевритово-глинистых фаций казанцевского горизонта на р. Агане (в бассейне р. Пясины). Получены также первые спектры из позднеледниковых морских дюорусских слоев Таймырской низменности.

Изучение диатомовых из лектостратотипа каргинского горизонта на р. Малой Хете, выполненное Н. А. Халфиной, имело целью уточнить климатическую и гидрохимическую обстановку формирования межстадиального каргинского аллювия в этом районе, поскольку существуют

представления о его фауниальном переходе в морские слои в 55—60 км ниже по долине, у Каргинского мыса. Результаты исследования показали, что изменение состава диатомовой флоры в верхней части пойменных алевритов отражает затруднение стока, похолодание, расселение байкальского элемента. Обнаруженные среди пресноводных форм единичные галофильные виды не могут определению указывать на приустьевое осолонение речных вод. Изменение состава флоры, очевидно, связано с надвиганием ледникового покрова, отложившего морену поверх каргинского аллювия.

Комплексное исследование разреза плейстоценовых отложений на р. Тукаланде предпринималось в связи с предположением о его морском происхождении. Расположение разреза на высоте 300—370 м (в необычных условиях) в горной долине, открытой в сторону Норильской котловины и Таймырской низменности, находки единичных остатков моллюсков, усоногих и фораминифер сулили получение крайне интересной информации, необходимой для ряда стратиграфических построений и палеогеографических реконструкций. К тому же нижнюю часть разреза под именем тукаландинских слоев относили к морскому плиоцену, выходы которого достоверно не известны в Советской Арктике. Интерес же к арктическому и полярному плиоцену весьма велик. Организованное и в значительной мере осуществленное А. В. Гольбертом и В. И. Гудиной тщательное и разностороннее исследование литологических особенностей пород и палеонтологических остатков дало несомненные доказательства формирования отложений в пресноводном приледниковом бассейне, а геоморфологическая позиция самого выхода позволила предположить, что существование Тукаландинского озера обеспечивалось временной ледниковой или мореной запрудой, возникшей в ходе последнего оледенения. Все органические остатки морского происхождения оказались переотложенными. По-видимому, они были доставлены ледниками в составе донной морены из коренных выходов морских слоев на дне Норильской котловины и перенесены в озеро талыми ледниковыми водами. Радиоуглеродная дата из средней части разреза подтвердила существование озера в середине зырянской ледниковой эпохи. Исследование отложений на р. Тукаланде позволило, таким образом, снять ряд дискуссионных вопросов и сократить площадь распространения морского плейстоцена в предгорном районе, прилегающем к двум великим равнинам сибирского севера. Вместе с тем был получен наиболее полно изученный разрез приледниковых и межстадиальных отложений, а также важное свидетельство возможности неоднократного переотложения остатков моллюсков и фораминифер при достаточно удовлетворительной сохранности, позволяющей определить их принадлежность тем или иным видам.

Содержание сборника вполне отражает современный этап изучения морского плейстоцена сибирских равнин, для которого характерно стремление к детальному всестороннему исследованию опорных разрезов, проверка различных взглядов на происхождение и возраст слагающих их пород. Вполне естественно, что полученные результаты не только углубляют наши знания о морском плейстоцене, но и уточняют границы самого объекта исследования. При этом из числа морских образований исключаются отдельные слои опорных разрезов и целые разрезы, а некоторые районы оказываются лежащими за границами распространения плейстоценовых трансгрессий.

В современной литературе нет недостатка в гипотезах, трактующих те или иные проблемы геологии, стратиграфии и палеогеографии морского плейстоцена сибирских равнин. Дискуссии по ним вышли уже на страницы массовых научно-технических журналов. В то же время существует явный дефицит новых сведений. Авторы стремились частично восполнить его публикацией статей настоящего сборника.

Е. В. ШУМИЛОВА, Ф. С. БУЗУЛУЦКОВ

МИНЕРАЛО-ПЕТРОГРАФИЧЕСКИЕ ОСОБЕННОСТИ ЧЕТВЕРТИЧНЫХ ОТЛОЖЕНИЙ ЕНИСЕЙСКОЙ ВЛАДИНЫ В СВЯЗИ С ПРОБЛЕМОЙ ИХ ПРОИСХОЖДЕНИЯ

Правобережье Енисея между станками Чулково на юге и Пупково на севере представляет собою целую серию обнажений, вскрывающих различные горизонты среднего плейстоцена. Они видны на прилагаемом профиле (рис. 1), составленном С. Л. Троицким по материалам полевых наблюдений 1962 г. Эти обнажения (с 37 по 63) неоднократно изучались рядом исследователей и довольно хорошо известны в геологической литературе (Сакс, 1948; Архипов, 1960).

Сложные соотношения отдельных разновозрастных толщ в разных участках района, нередко их противоречивые литологические характеристики, сильно изменчивые гипсометрические уровни отдельных горизонтов и другие признаки вызывают различные толкования природы разных толщ, их возрастных диапазонов, характера физико-географических условий их формирования и т. д.

Для получения более полной характеристики петрографо-минералогического состава горизонтов профиля были проведены тематические исследования, результатам которых и посвящена настоящая статья.

В основании большей части обнажений над бечевником Енисея, поднимающимся до 16 м над уровнем реки, вскрываются глинисто-песчаные и глинисто-песчанистые алевриты, песчанистые алевриты и алевритистые пески.

В самой южной части района они не вскрыты, и над бечевником и осыпями залегает массивная морена максимального самаровского оледенения. Севернее р. Комсы у с. Алинского выходы ее прекращаются, и на разных гипсометрических уровнях на подморенных песках и алевритах до северного конца профиля вскрываются образования более молодой морены, мощность которой весьма сильно варьирует. В некоторых местах (Кантюковский яр) ее подстилают толща озерно-ледниковых ленточных глин и алевритов. В Пупковском яру бассейновые озерно-ледниковые отложения расщепляют морену на две части. Лежащие выше толщи, перекрывающие комплекс морен, разнообразны как по составу, так и по генезису и могут быть отнесены к озерно-ледниковым бассейновым отложениям, аллювию террас Енисея или его правых притоков.

Наиболее древние из исследованных нами отложений представлены досамаровскими глинисто-песчаными алевритами (обн. 59 в 4,3 км ниже устья р. Верхний Имбак). На графике распределения обломочного материала (рис. 2) алевритов мы видим довольно хорошо отсортированную породу, в которой резкий пик соответствует частицам с диаметром 0,05—0,01 мм (алеврит), количество которых достигает вместе с более грубыми алевритовыми частицами, диаметром 0,10—0,05 мм, 66% (табл. 1). По классификации В. П. Флоренского, порода относится к глинисто-песчаному алевриту.

Минералогический состав породы в иммерсионных препаратах характеризуется преобладанием кварца (55%) при содержании 27% щелочных

полевых шпатов и плагиоклазов, а среди последних — до 9% основного плагиоклаза. Очень характерно большое количество растительного детрита. Состав тяжелых минералов включает четыре основные группы в порядке убывания их содержания: эпидот-циозит, ильменит-магнетит, пироксены и амфиболы. Второстепенные минералы разнообразны, в редких случаях достигают 2—3% (табл. 2). Обычно же они встречаются в виде единичных зерен. Окатанность алевритовых зерен слабая. Сохранность минералов хорошая.

Порода представляет собою типичный речной аллювий. Минералогический состав зерен в основном характерен для транзитных рек Западно-Сибирской низменности. Отличие его заключается в значительной примеси основных плагиоклазов и моноклинных пироксенов, что вполне естественно для северо-восточных районов, в которые поступает материал с возвышеностей Средне-Сибирского плоскогорья с развитием в них трапповой формации. Высокое содержание растительных остатков в легкой фракции может служить указателем на благоприятные климатические условия времени формирования досамаровского аллювия, по-видимому, отвечающего тобольскому (туруханскому) межледниковью.

Алевриты и пески, подстилающие верхнюю морену, были исследованы в более северных обнажениях (53, 51, 46, 45, 44 и 43).

Гранулометрический состав по графикам распределения (рис. 2) обнаруживает весьма хорошую и хорошую сортированность обломочного материала в породах. Все графики — одновершинные, весьма близки между собой по отдельным типам пород, которые могут быть признаны, по классификации В. П. Флоренского, алевритистыми песками и песчанистыми алевритами. Последние содержат иногда примесь глинистых частиц и создают глинисто-песчанистые алевриты.

Анализ минералогического состава этих подморенных отложений дает возможность подразделить их на три самостоятельные, генетически различные группы пород. Одна из групп охватывает пески и алевриты, выступающие в обн. 45 в устье р. Стрельной. В другую группу включаются породы обнажений 53, 46 и 44. Третья группа характеризуется породами обн. 43. Пески и алевриты в устье р. Стрельной представляют типичный речной аллювий, минералогический состав которого весьма своеобразен. Особенностью интересен состав тяжелых минералов, среди которых ведущее место принадлежит группам амфиболов и эпидота. Пироксенам отводится сравнительно скромная роль, причем содержание их варьирует от 25 до 6%. Следующей группой нужно назвать ильменит и магнетит (14—26%). Характерно заметное увеличение содержания циркона, граната, сфена, андалузита, а также постоянное присутствие редких зерен хлоритоида.

В легких фракциях доминирует кварц (55—60%). Щелочные полевые шпаты совместно с плагиоклазами достигают 22—27%. Значительно содержание разрушенных зерен (5—12%) и обломков различных, в основном метаморфических пород.

Основная масса зерен имеет полуугловатые очертания; более мелкие зерна угловатые; полускатанные и окатанные — редки, но в обр. 1—1 из нижней части почки они довольно обычные. Сохранность минералов очень хорошая, лишь в обр. 3 — зерна эпидота, роговых обманок и пироксенов с явными признаками окисления. Растительные остатки бурье, окисленные, встречаются повсюду, но в очень малых количествах.

Аллювий принадлежит, по нашему мнению, крупной транзитной реке; основная часть его принесена с юга, из горных областей с развитием древних метаморфических толщ. Определенная часть его своим возникновением обязана размыву трапповых пород.

Изучение пяти шлифов из образцов подморенных песков и алевритов, помимо минеральной ассоциации, определенной в иммерсионной жидкости,

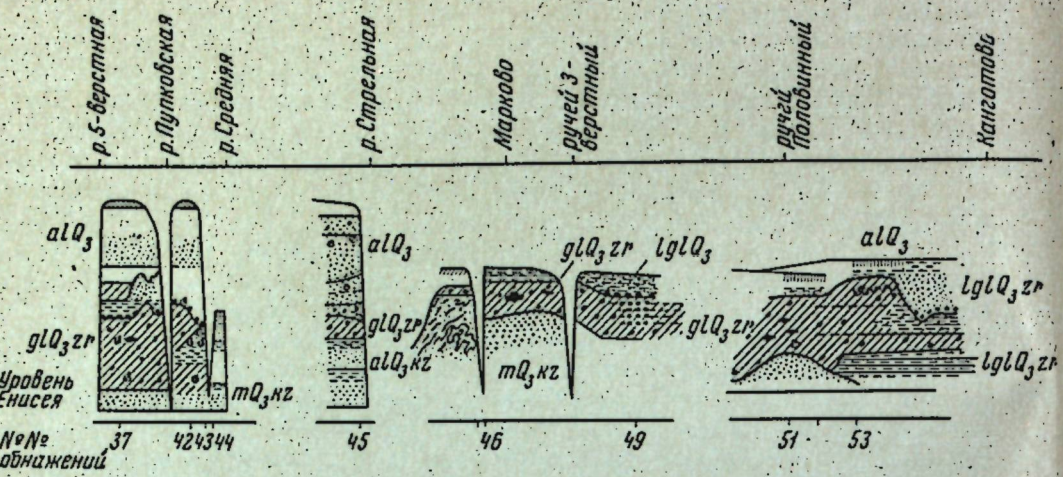
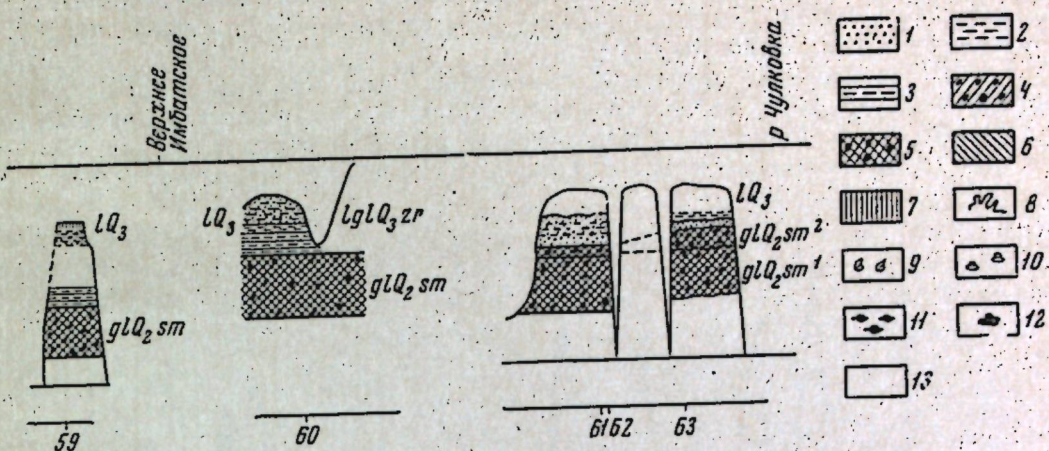


Рис. 1. Разрезы четвертичных отложений правого берега Енисея между р. 5-Черстной и р. Чулковкой (по данным С. Л. Троицкого).
 1 — песок; 2 — алеврит, супесь; 3 — ленточные глины; 4 — эмрианская морена; 5 — самаровская морена; 6 — делювий; 7 — лёссовидный суглинок; 8 — криотурбации; 9 — морская фауна; 10 — пресноводная фауна; 11 — конкреции; 12 — валуны; 13 — осыпи.

сти, позволяет дополнить ее обломками эфузивов и кислых изверженных пород, обуглившимися частицами и более часто встречающимися бурыми растительными остатками. Весь обломочный материал в породе распределен неравномерно. Участками скапливаются песчаные зерна; в других местах преобладает более тонкозернистый материал. Вследствие этого цементирующая тонкодисперсная часть породы то образует поровый тип цемента (наполнителя), выполняя промежутки между зернами, то присутствует в минимальном количестве, образуя тип контактного цемента. Состав его — гидрослюдисто-хлоритовый. В нем часто встречаются обособленные зернышки кальцита обычно алевритовой размерности. Почти все они покрыты тонкой лимонитовой корочкой. В шлифе видно значительное количество хлоритов, растительного дегритуса, единичные спикилы опаловых губок, обрывки панцирей диатомовых водорослей и зерна переотложенного глауконита. К сказанному выше можно добавить, что в аллювий частично попадали минеральные компоненты и остатки органики из размываемых рекою третичных или мезозойских морских осадочных толщ.

По своему составу и характеру породы должны относиться к речному, возможно делтовому, аллювию, формировавшемуся в более мягких климатических условиях, нежели ледниковые.

Обратимся к подморенным пескам и алевритам другой группы. О гранулометрическом составе их мы говорили выше. Что касается минералогического состава, определенного в иммерсионных препаратах, то, анализируя табл. 2, мы убеждаемся насколько он далек от пород оби. 45. В породах Марковского яра (оби. 46), находящегося в 65 км к югу от оби. 45, пески и алевриты характеризуются обилием основных плагиоклазов, которые вместе со щелочными полевыми шпатами преобладают среди пордообразующих минералов или находятся примерно в одинаковых количествах с зернами кварца. Тяжелые минералы соответственно обогащены моноклинными пироксенами (50—72%). В количестве 14—26% содержатся ильменит и магнетит. Что касается эпидота и амфиболов, то они занимают здесь весьма скромное место и не превышают 3—9% от общего состава фракции. Остальные минеральные компоненты встречаются единичными зернами и лишь некоторые из них иногда достигают 1%. Щелочная роговая обманка, силлиманит и хлоритоид почти исчезают.



ду реками Сухой Тунгуской и Чулковкой (по данным С. Л. Троицкого).
 морена; 6 — делювий; 7 — лёссовидный суглинок; 8 — криотурбации; 9 — морская фауна;
 10 — пресноводная фауна; 11 — конкреции; 12 — валуны; 13 — осыпи.

В оби. 53 в 7,5 км ниже пос. Кангатово выступают алеврито-песчанистые глины (ленточные), которые обнаруживают тот же минералогический состав алевритовой части пород, как и в оби. 46 (табл. 2). Аналогичный состав минералов характерен и для ленточных глин оби. 44, находящегося в 0,2 км выше устья речки Первой. В прозрачных шлифах эти глины выглядят довольно тонкоотмученными, характеризуются пеливой структурой, намечающейся слоистостью и отсутствием обломков более грубого материала. Видна примесь тонкодисперсного растительного дегритуса, местами образующего волнистые намывы в разных направлениях. Глинистое вещество тонкочешуйчатого строения, но чешуйки в беспорядочном расположении и поляризуют без какой-либо ориентировки, т. е. глинистое вещество в породе не перекристаллизовано. По данным С. Л. Троицкого, глины содержат плоскоэллиптические карбонатно-глинистые конкреции.

В оби. 46 в подморением слое песков и алевритов близ контакта с вышележащей мореной залегают два прослойка по 0,3—0,5 см светло-серого мергеля. В шлифах они представляют собою песчаник с кальцитовым кристаллическим цементом тонкослоистой текстуры. Состав обломочного материала полимиктовый, полностью соответствует данным иммерсионного анализа. Обломки пород представлены основными изверженными породами, кремнистыми и кремнисто-слюдистыми сланцами, кварцитами, мелкозернистыми известняками, зернами угля. Изредка встречаются красно-бурые сильно окисленные растительные остатки. Кальцитовый цемент выполняет поры между зернами, но в отдельных участках породы, где группируется более грубый песчаный материал, цемент — пленочный, в небольшом количестве. Перекристаллизация цемента полностью в породе не завершилась. Это можно наблюдать в отдельных местах, где известковистый материал характеризуется тонкозернистой сгустковой структурой. Кальцит цемента нередко замещает зерна полевых шпатов и кварца. Отдельными участками порода окрашена гидроокисью железа.

В отдельную группу подморенных песков и алевритов выделяются породы оби. 43, которое находится по соседству с оби. 44 в Пупковских ярах. Они отличаются от охарактеризованных выше только по особенно высокому содержанию пироксенов (81—87%) и соответственно — основных плагиоклазов. Из всего известного нам материала по северо-востоку

Таблица 1

Западно-Сибирской низменности породы такого состава нами встречены впервые. На долю рудных минералов приходится 6–8%, на долю эпидота — 2–4%, а амфиболов — 1%.

Для обломочного материала характерны очень хорошая сохранность минералов и почти полное отсутствие признаков окатанности. Полуокатанные зерна встречаются только среди цирконов, сфена и рутила. Такие свойства породы могут указывать на основной источник питания

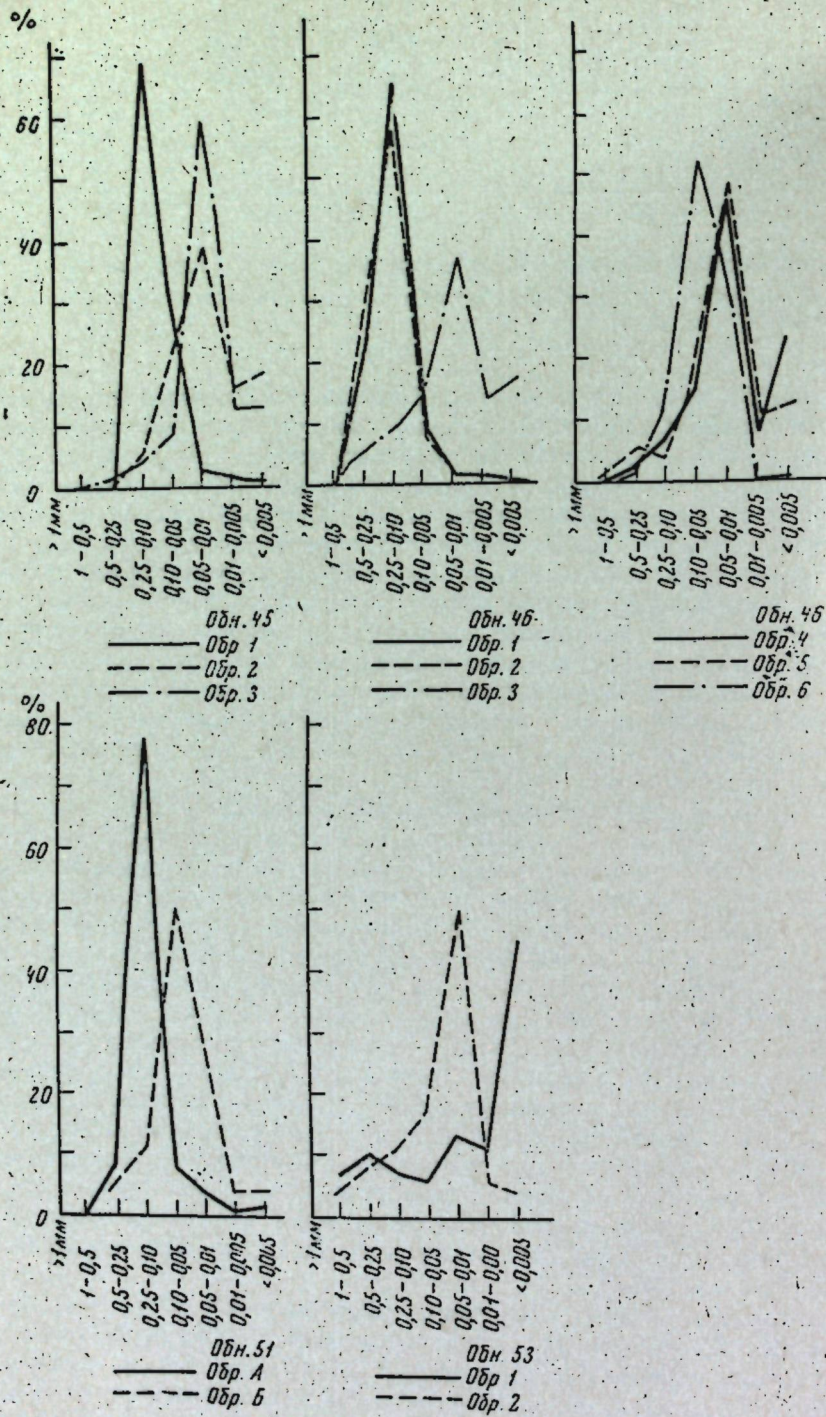


Рис. 2. Графики распределения обломочного материала в подморенных отложениях.

Гранулометрический состав пород (в %)

№ обнаружения	№ образца	Гравий и галька	Песок (в мм)			Алевролит (в мм)		Глина (в мм)			Гранулометрические коэффициенты	
			>1,0	1,0–0,5	0,5–0,25	0,25–0,10	0,10–0,05	0,05–0,01	0,01–0,005	<0,005	Md	So
Надморенные отложения												
60	1-Ф	—	2,3	5,5	6,8	3,7	24,0	19,4	38,3	0,009	2,58	
60	1-ц	—	4,0	4,6	3,6	6,6	26,7	24,6	29,9	0,007	2,64	
53	6-2	—	0,2	0,5	0,6	19,3	69,2	5,7	4,5	0,027	1,82	
53	6-1	—	1,8	2,0	2,3	21,6	61,2	6,3	4,7	0,029	1,96	
53	5	—	1,2	2,6	7,3	10,0	62,7	9,1	7,1	0,036	4,60	
46	19	—	1,1	13,8	20,7	14,0	38,5	5,5	6,4	0,056	3,16	
46	18	—	3,2	8,6	18,9	11,5	17,2	9,9	24,7	0,037	5,30	
Моренные отложения												
63	10	—	6,7	17,4	18,5	16,0	24,3	7,0	10,1	0,074	3,30	
63	9	—	4,0	14,8	19,4	17,6	27,9	8,0	8,3	0,06	3,30	
63	8	—	4,1	14,6	19,8	15,4	29,1	7,6	9,4	0,061	3,32	
63	7	9,7	6,5	14,6	24,8	15,7	18,9	4,0	5,8	0,01	2,73	
63	6	28,6	5,5	13,9	14,4	7,6	16,6	5,5	7,9	0,24	6,00	
63	5	—	10,9	15,6	21,5	10,7	22,4	6,2	12,7	0,09	3,54	
63	4	28,7	3,9	12,4	14,3	10,2	17,2	5,2	8,1	0,21	6,10	
63	3	—	4,2	14,5	18,1	14,7	26,6	7,6	14,3	0,05	4,20	
63	2	—	2,8	11,7	17,8	13,5	29,9	8,3	16,0	—	—	
63	1	—	3,8	14,3	18,1	19,1	24,0	8,4	11,9	0,06	3,20	
63	III-1	12,0	3,4	10,9	19,1	14,5	25,1	7,1	7,9	0,075	3,73	
60	III-2	14,0	3,3	11,2	18,9	6,6	27,3	7,0	11,7	0,062	5,20	
53	2-3	—	1,2	8,1	18,3	19,0	29,0	8,1	16,3	0,036	4,60	
52	А	—	1,8	10,2	21,2	17,1	29,9	6,9	12,9	—	—	
51	2-10	—	8,2	20,2	23,4	17,2	19,2	5,2	6,6	0,12	2,8	
51	2-5	—	1,9	11,1	21,9	19,2	28,7	7,6	9,6	0,05	8,93	
51	2-3	—	3,5	14,1	24,5	20,3	22,0	6,0	9,6	0,072	2,76	
51	2-2	—	6,2	14,1	21,6	17,3	25,5	6,4	8,9	0,071	2,6	
51	2-1	—	3,7	14,0	22,3	18,4	24,7	5,0	11,9	0,07	2,96	
49	1	—	5,4	11,0	14,8	24,5	29,2	7,6	7,5	0,053	3,06	
49	2	23,0	2,3	10,2	17,1	13,9	22,7	5,4	5,4	0,14	6,35	
49	3	—	4,9	13,6	21,4	19,3	25,4	7,2	8,4	0,076	3,0	
46	17	—	3,4	12,8	16,4	12,9	24,4	7,8	22,3	0,057	3,0	
46	16	—	2,6	16,1	30,2	22,3	17,7	4,4	6,7	0,120	2,20	
46	15	—	1,9	14,1	30,9	23,6	19,7	4,6	5,2	0,1	2,23	
46	14	—	1,2	9,8	19,0	15,1	27,1	10,2	17,6	0,03	5,50	
46	13	—	2,5	15,5	29,5	20,2	20,7	4,6	7,0	0,1	2,44	
46	12	—	3,8	14,8	27,5	21,6	21,1	4,2	7,0	0,09	2,52	
46	11	—	2,5	14,1	24,9	23,8	20,9	5,8	8,0	0,074	2,44	
46	10	—	2,5	15,3	30,2	22,1	20,8	4,4	4,7	0,1	2,47	
46	9	—	3,2	14,5	26,7	20,1	24,1	4,3	7,1	0,89	2,78	
46	8	—	1,8	12,6	31,7	22,6	22,2	4,2	4,9	0,09	2,16	
46	7	—	6,1	14,9	19,1	16,4	22,4	7,8	13,3	0,07	3,42	
43	6	25,0	4,0	6,9	7,5	9,4	32,1	9,4	5,7	0,05	8,10	
43	5	—	6,8	17,9	14,7	13,7	25,9	10,2	10,8	0,085	3,20	
43	4	—	10,9	16,6	11,7	18,0	24,9	9,3	9,6	0,06	3,90	

Таблица 1 (окончание)

№ обнаружения	№ образца	Гравий и галька	Песок (в мм)			Алеврит (в мм)	Глина (в мм)	Гранулометрические коэффициенты			
			>1,0 мм	1,0—0,5	0,5—0,25	0,25—0,10		0,10—0,05	0,05—0,01	0,01—0,005	
37	6	47,0	13,0	21,0	7,3	3,7	3,4	1,0	3,6	0,8	3,04
37	8	—	11,1	18,2	11,7	15,7	24,9	9,1	9,3	0,149	4,0
37	10	11,0	5,5	15,3	15,4	9,4	24,4	8,1	10,9	0,08	4,6
37	11	—	4,0	10,1	13,9	20,7	32,6	8,2	10,5		
Подморенные отложения											
46	6	—	0,2	1,4	14,5	52,1	30,4	0,2	1,2	0,065	2,3
46	5	—	2,0	5,4	4,0	18,6	47,5	10,0	12,5	0,03	1,26
46	4	—	0,2	2,1	6,6	14,7	46,2	7,3	22,9	0,02	3,90
46	3	—	1,6	6,0	9,8	15,5	37,2	13,0	16,9	0,21	4,46
46	2	—	0,2	32,7	58,2	6,9	1,6	0,2	0,2	0,02	1,39
46	1	—	0,4	23,9	65,3	9,1	1,1	0,1	0,1	0,18	1,36
45	3	—	—	2,9	68,6	24,7	2,3	0,8	0,7	0,16	1,75
45	2	—	—	0,8	5,7	18,9	40,2	15,9	18,5	0,02	3,15
45	1	—	0,3	0,9	4,3	8,8	59,7	13,1	12,9	0,149	1,50
53	1-1	—	6,3	10,9	7,4	6,0	13,4	10,8	45,1	0,02	5,60
59	1-А	—	4,3	8,7	11,2	17,1	48,8	5,7	4,2	0,095	2,00

(и почти единственный) — трапповый комплекс пород, на близость транспортировки обломков и на холодные климатические условия формирования, когда процессы химического выветривания минералов были полностью парализованы.

При изучении прозрачных шлифов была выявлена интересная деталь для отложений, заканчивающих этап накопления подморенных песчано-алевритовых пород. Она зафиксирована в породах обн. 43, 45 и 46 и выражается в следующем (рис. 3). Во всех трех разрезах в кровле подморенных песков и алевритов формировался прослой брекчиивидных мономиктовых пород. В обн. 45 порода состоит из обломков бурых тонкоотмученных перекристаллизованных глин, чешуйки которых поляризуют отдельными лентами. В обломках глин видны тонкие пряди растительных остатков, расположенные беспорядочно. Помимо них в составе глин в значительном количестве присутствует еще тонкозернистый растительный дегритус. Размеры и форма обломков глин самые разнообразные. Часто они весьма неправильные, разорванные, растерзанные. Более мелкие обломки глин довольно заметно окатаны. Все они погружены в несортированную основную массу породы, состоящую из песчано-алеврито-глинистого материала и представляющую собою наполнитель или цемент породы. В нем много хлорита, зерен кальцита, некоторые — в железистой оболочке, часты красно-бурые окисленные растительные остатки и более мелкий дегрит.

Вся масса значительно окислена и местами сильно окрашена в ярко-бурый цвет. Слоистости в породе не обнаружено. Расположение обломков глин беспорядочное. Приведенные данные свидетельствуют о начавшемся разрушении, охватившем в первую очередь меловые (?) осадочные толщи. Возможно, это начало ледникового выпахивания поверхности, так как непосредственно на этих брекчиивидных породах залегает морена.

В обн. 43 подобная порода в шлифе оказывается несортированной и перемятой. В ней большинство обломков пород представлены также мономиктовыми тонкоотмученными бурыми или серо-бурыми глинами, то чистыми, то с примесью того или иного количества алевритеистого материала. Одни обломки глины неслоисты, другие характеризуются тонкой слоистостью. Форма и размеры обломков самые разнообразные. Некоторые из них раздавлены или разорваны. Здесь появились, кроме того, пока еще в небольших количествах грубые обломки кристаллического известняка и эфузивных пород, обычно хлоритизированных, а также обломки алевролита с глинисто-карбонатным цементом. Более мелкие песчаные и алевритовые зерна имеют также полимиктовый состав, который отражен в табл. 2 (обр. 1-1). Цементирующая масса механического выполнения пор того же в общем состава. Характерно высокое содержание в ней карбонатных зерен самой различной размерности. Порода имеет брекчиивидный облик.

Аналогичные породы были встречены в кровле подморенных песков и алевритов и в обн. 46, где обломки меловых глин преобладают, вследствие чего порода имеет мономиктовый состав грубого материала.

Переходим к анализу фактического материала, полученного при изучении моренных отложений. Как говорилось выше, в южной части профиля выступают обнажения древней — самаровской — морены, по единодушному мнению геологов признанной субэральной образованием. Типичные свойства моренных отложений вообще очень ярко выразил Д. В. Наливкин (1956) в форме четырех отрицаний: неоднородность, неокатанность, неслоистость и несортированность материала. Проследим как эти четыре признака соответствуют характеристике моренных отложений изучаемого района.

За типовой разрез самаровской морены нами было взято обн. 63, находящееся в 8,8 км ниже устья р. Чулковки. По полевому описанию С. Л. Троицкого, здесь над бечевником и осьнями, поднимающимися над уровнем Енисея почти на 15 м, выступают темно-бурые суглиники, песчанистые, щебенчатые, с обильным гравием и галькой различного размера, среди которых встречаются единичные валуны. Изредка встречаются обломки раковин и переотложенные конкреции. Видимая мощность суглиников в расчистке достигает 13 м.

Подобные суглиники выступают и в обн. 60—62 на протяжении правого берега Енисея между с. Верхне-Имбатским на севере и р. Чулковкой на юге.

Гранулометрический состав моренных отложений по обн. 60 и 63 приведен на графиках распределения (рис. 4), где ясно видна многофракционность пород, а стало быть, и полная их несортированность. Несмотря на хаотическую, казалось бы, смесь обломочного материала, мы усматриваем в ней и черты определенной закономерности. Они выражаются в подобии всех линий графика для разных образцов, в которых несколько преобладают алевритовые частицы с диаметром 0,05—0,01 мм, а в некоторых случаях и грубый гравийно-галечный материал.

Итак, гранулометрический состав пород по разрезам обн. 61 и 63 сходен по своей разнородности. При сложении соответственно всех гравийно-галечных, песчаных, всех алевритеистых и глинистых частиц можно заключить, что несортированные «мусорные» породы морены являются в среднем песчано-алевритовыми, иногда галечно-песчано-алевритовыми. Глинистая часть во всех случаях является значительно подчиненной.

В шлифах были изучены шесть образцов морены из обн. 63. В обр. 1-1 — гравийный и песчано-алевритовый несортированный материал резко полимиктового минералогического состава (рис. 5а). Обломки пород представлены различными основными эфузивами, зернистыми известняками, песчаниками, роговиками, кремнистыми и кремнисто-слюдистыми сланцами;

Таблица 2

Минералогический состав пород

во фракции 0,10—0,05 мм (в %)

№ образца	Выход тяжелой фракции (в %)	Тяжелая фракция																										
		Ильменит, магнетит	Лимонитизированные породы	Лейкоксен	Разрушенные зерна		Циркон	Турмалин	Гранат	Шпинель	Рутил	Анатаз	Сфен	Апатит	Ставролит	Дистен	Амалузит	Силиманит	Роговая обманка	обыкновенная базальтическая	щелочная	Актинолит, гремолит	Группа слюд	Хлоритоид	Эпидот-диопзит	Пироксен монохлинный	Пироксен ромбический	Доломит
60	Ф	3,25	23	+	+	1	+	1	+	+	+	+	+	+	+	+	+	+	4	2	2	+	+	+	655	+	+	
60	ц	1,47	28	+	+	1	1	1	1	1	1	1	1	1	1	1	1	1	23	1	29	1	29	3	34	2	+	+
53	6-2	4,0	39	+	1	3	+	+	+	+	+	+	+	+	+	+	+	+	15	1	1	+	+	+	46	11	+	+
53	6-1	6,33	26	2	1	4	+	1	+	+	+	1	1	1	1	1	1	1	6	+	+	+	+	+	12	42	+	+
46	19	9,33	21	+	2	2	+	+	+	+	+	+	+	+	+	+	+	+	+	+	+	+	+	+	+	+	+	+
46	18	7,33	35	+	1	1	2	+	+	+	+	1	1	1	1	1	1	1	1	+	+	+	+	+	+	+	+	+

Надморенные

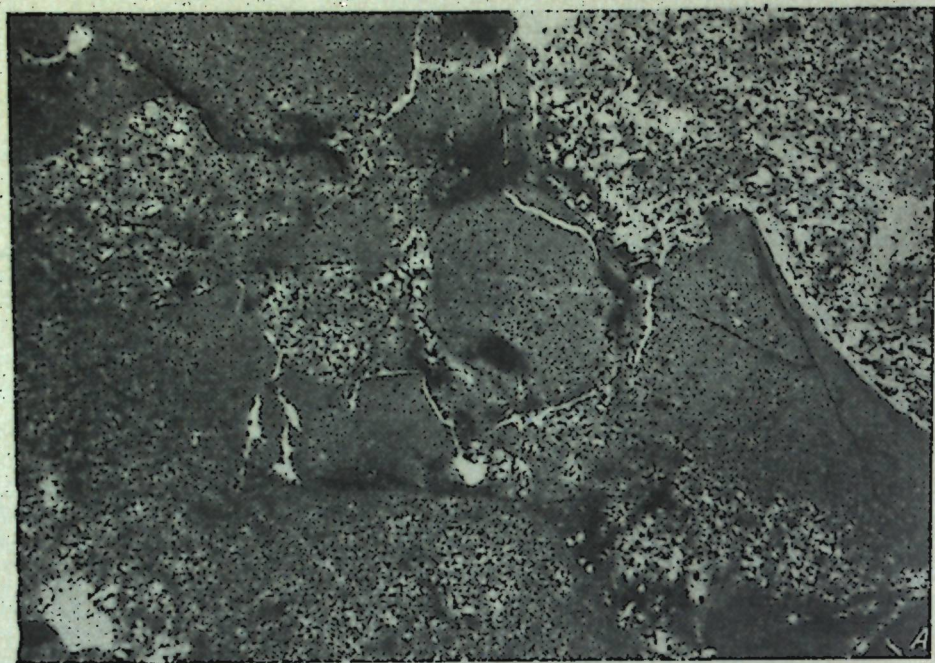
Моренные																													
отложения																													
63	10	15,66	14	+	+	+	+	+	+	+	+	+	+	+	+	+	+	3	+	2	+	+	+	+	676	+	+	+	
63	9	13,33	19	+	+	1	+	+	+	+	+	+	+	+	+	+	+	4	74	+	4	78	+	4	69	+	566	+	+
63	8	15,0	13	+	+	1	+	+	+	+	+	+	+	+	+	+	+	3	+	3	+	+	+	+	2	+	+	1	+
63	7	18,66	22	+	1	1	+	+	+	+	+	+	+	+	+	+	+	4	1	4	1	+	+	+	2	+	+	1	+
63	6	11,0	22	+	1	1	+	+	+	+	+	+	+	+	+	+	+	2	+	1	+	+	+	+	1	+	+	1	+
63	5	14,33	13	+	+	1	1	+	+	+	+	+	+	+	+	+	+	1	+	1	+	+	+	+	1	+	+	1	+
63	4	14,0	24	+	+	1	1	+	+	+	+	+	+	+	+	+	+	2	+	1	+	+	+	+	1	+	+	1	+
63	3	9,66	18	+	1	1	1	+	+	+	+	+	+	+	+	+	+	2	+	1	+	+	+	+	1	+	+	1	+
63	2	9,66	25	+	1	1	1	+	+	+	+	+	+	+	+	+	+	2	+	1	+	+	+	+	1	+	+	1	+
63	1	10,0	23	+	1	1	1	+	+	+	+	+	+	+	+	+	+	4	1	4	1	+	+	+	1	+	+	1	+
60	III-1	12,33	19	+	1	1	1	+	1	+	1	+	1	1	1	1	1	4	1	4	1	+	+	+	1	+	+	1	+
60	III-2	12,33	15	+	1	1	1	+	1	1	+	1	1	1	1	1	1	4	1	4	1	+	+	+	1	+	+	1	+
53	2-3	8,33	20	1	1	1	1	1	1	1	1	1	1	1	1	1	1	3	+	3	+	1	+	+	1	+	+	1	+
52	A	6,33	21	+	1	1	1	1	1	1	1	1	1	1	1	1	1	3	+	3	+	1	+	+	1	+	+	1	+
51	2-10	10,33	21	+	1	1	1	1	1	1	1	1	1	1	1	1	1	4	1	4	1	+	+	+	1	+	+	1	+
51	2-5	10,33	20	1	1	1	1	1	1	1	1	1	1	1	1	1	1	3	+	3	+	1	+	+	1	+	+	1	+
51	2-3	10,66	20	1	1	1	1	1	1	1	1	1	1	1	1	1	1	5	+	5	+	1	+	+	1	+	+	1	+
51	2-2	11,33	15	1	1	1	1	1	1	1	1	1	1	1	1	1	1	3	1	3	1	+	+	+	1	+	+	1	+
51	2-1	16,66	14	1	1	1	1	1	1	1	1	1	1	1	1	1	1	6	1	6	1	+	+	+	1	+	+	1	+
49	4	16,33	14	1	1	1	1	1	1	1	1	1	1	1	1	1	1	2	1	2	1	+	+	+	1	+	+	1	+
49	2	11,66	17	+	1	1	1	1	1	1	1	1	1	1	1	1	1	6	1	6	1	+	+	+	1	+	+	1	+
49	3	13,0	14	+	1	1	1	1	1	1	1	1	1	1	1	1	1	7	1	7	1	+	+	+	1	+	+	1	+
46	17	3,66	21	+	1	1	1	1	1	1	1	1	1	1	1	1	1	4	1	4	1	+	+	+	1	+	+	1	+
46	16	11,66	14	1	1	1	1	1	1	1	1	1	1	1	1	1	1	4	1	4	1	+	+	+	1	+	+	1	+
46	15	12,0	19	+	1	1	1	1	1	1	1	1	1	1	1	1	1	3	+	3	+	1	+	+	1	+	+	1	+
46	14	9,66	23	1	1	1	1	1	1	1	1	1	1	1	1	1	1	5	+	5	+	1	+	+	1	+	+	1	+
46	13	12,0	15	1	1	1	1	1	1	1	1	1	1	1	1	1	1	5	+	5	+	1	+	+	1	+	+	1	+
46	12	12,33	17	+	1	1	1	1	1	1	1	1	1	1	1	1	1	4	1	4	1	+	+	+	1	+	+	1	+
46	11	12,0	18	+	1	1	1	1	1	1	1	1	1	1	1	1	1	4	1	4	1	+	+	+	1	+	+	1	+
46	10	11,66	18	+	1	1	1	1	1	1	1	1	1	1	1	1	1	5	+	5	+	1	+	+	1	+	+	1	+
46	9	10,0	31	+	1	1	1	1	1	1	1	1	1	1	1	1	1	6	1	6	1	+	+	+	1	+	+	1	+
46	8	6,66	27	+	1	1	1	1	1	1	1	1	1	1	1	1	1	5	+	5	+	1	+	+	1	+	+	1	+
46	7	7,00	18	1	1	1	1	1	1	1	1	1	1	1	1	1	1	3	+	3	+	1	+	+	1	+	+	1	+

Таблица 2 (окончание)

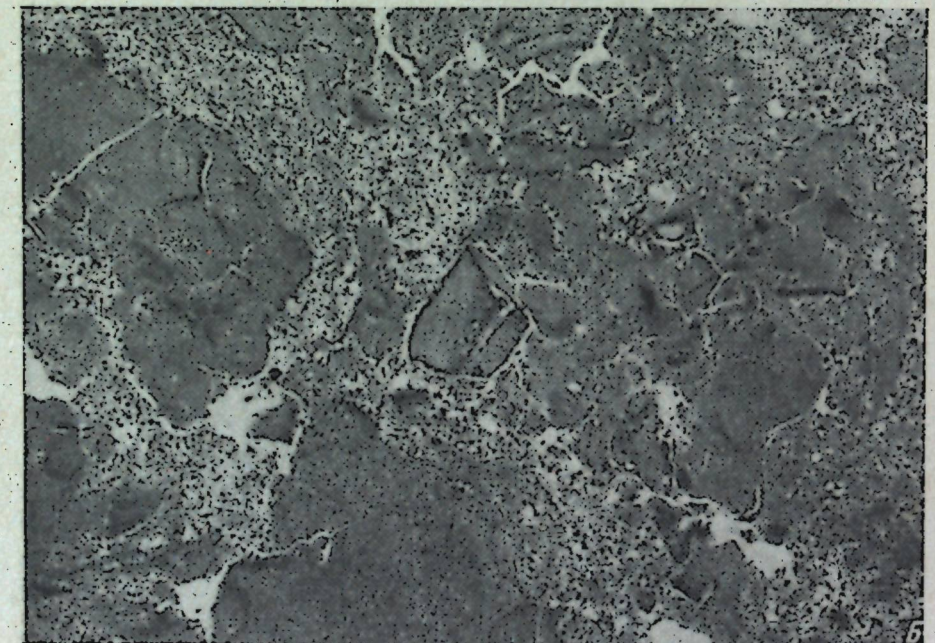
# образца	Выход тяжелой фракции (в %)	Тяжелая фракция																										Легкая фракция																															
		Ильменит, магнетит	Лимонитизированные породы	Лейкоксен	Разрушенные зерна	Циркон	Турмалин	Гранат	Шпинель	Апатит	Рутил	Анатаз	Сфен	Дистен	Силлиманит	Роговая обманка	обыкновенная	базальтическая	щелочная	Актинолит, tremolит	Группа сплю	Хлоритоид	Эпидот-иоланит	Пироксен моноклинный	Пироксен ромбический	Доломит	Сидерит	Кварц	Кварц мозаичный	Щелочная полевая шист	Плагиоклаз основной + средний	Мусковит	Биотит	Зеленая сплюда	Опал в обломках	Спинулы губки	Обломки пород	Разрушенные зерна	Обломки эпидотизированных пород	Хлоритизированные зерна	Серниститизированные зерна	Цеолиты	Амфиболиты	Кремни, кварциты	Окатыши глини	Обуглившиеся частицы	Расщепленные остатки	Панцирь диатомовых	Радиолярии	Хлорит	Глауконит	Кальцит	Оргоклаз ислитизирован-	ный	Обломки, эфузылов	Обломки сланцев	глауконит		
45	8	10,3	13	+	+	+	1	+	1	+	+	+	1	+	+	+	2	+	+	+	13	70	+	+	+	+	+	31	+	10	38	1	+	1	+	+	+	+	1	+	9	16	2	4	1	+	+	+	+	+	+	+	+	1					
45	7	12,0	13	1	+	1	1	+	1	+	+	+	1	+	+	+	3	+	+	+	10	67	+	+	+	+	+	29	+	1	8	30	2	+	1	+	+	+	1	+	6	10	5	5	2	4	5	+	+	+	+	+	+	+	1				
43	6	16,0	16	+	+	+	2	+	+	+	+	+	+	+	+	+	1	+	+	+	8	70	+	+	+	+	+	20	+	10	42	+	+	1	+	+	+	+	1	+	5	14	4	4	5	10	9	+	+	+	+	+	+	+	1				
43	5	10,3	15	1	+	1	1	+	1	+	+	+	1	+	+	+	1	+	+	+	11	73	+	+	+	+	+	35	+	11	43	+	+	1	+	+	+	+	1	+	5	10	9	1	1	1	1	1	1	1	1	1	1	1	1				
43	4	10,6	12	1	+	+	1	+	1	+	+	+	1	+	+	+	1	+	+	+	7	71	+	+	+	+	+	27	+	12	37	+	+	2	+	+	+	+	1	+	4	9	7	1	1	1	1	1	1	1	1	1	1	1	1				
43	3	10,3	17	1	16	2	+	+	1	+	+	+	1	+	+	+	1	+	+	+	8	61	+	+	+	+	+	21	8	59	+	+	1	+	+	+	+	1	+	6	16	6	6	5	14	4	5	10	9	1	1	1	1	1	1	1			
37	6	15	1	1	+	1	1	+	1	+	+	1	1	+	+	1	+	1	+	8	71	+	+	+	+	+	22	7	47	1	+	1	2	+	+	+	2	1	7	10	9	9	7	10	7	7	1	1	1	1	1	1	1						
37	7	18	+	1	1	+	1	1	+	1	+	1	1	+	+	1	1	+	1	6	71	+	+	+	+	+	20	3	59	+	+	1	+	+	+	+	3	3	3	10	9	8	7	7	7	7	7	1	1	1	1	1	1	1					
37	8	11	1	1	1	1	+	1	1	+	1	1	1	+	1	1	1	1	1	5	77	+	+	+	+	+	26	8	46	+	1	1	1	+	+	1	3	3	10	9	8	7	7	7	7	7	1	1	1	1	1	1	1						
37	9	16	1	1	1	1	1	1	1	1	1	1	1	1	1	1	1	1	1	5	70	+	+	+	+	+	24	15	48	+	1	1	1	+	+	1	4	4	10	9	5	5	5	5	5	5	5	1	1	1	1	1	1	1					
37	10	11	1	1	1	1	1	1	1	1	1	1	1	1	1	1	1	1	1	5	70	+	+	+	+	+	18	8	60	+	1	1	1	+	+	1	4	4	10	9	8	7	7	7	7	7	1	1	1	1	1	1	1						
37	11	16	1	1	1	1	1	1	1	1	1	1	1	1	1	1	1	1	1	5	73	+	+	+	+	+	20	3	59	+	1	1	1	+	+	1	3	3	10	9	8	7	7	7	7	7	1	1	1	1	1	1	1						
37	12	16	1	1	1	1	1	1	1	1	1	1	1	1	1	1	1	1	1	3	75	+	+	+	+	+	26	8	46	+	1	1	1	+	+	1	3	3	10	9	8	7	7	7	7	7	1	1	1	1	1	1	1						
37	13	21	1	1	1	1	1	1	1	1	1	1	1	1	1	1	1	1	1	5	70	+	+	+	+	+	24	15	48	+	1	1	1	+	+	1	4	4	10	9	8	7	7	7	7	7	1	1	1	1	1	1	1						
37	14	16	1	1	1	1	1	1	1	1	1	1	1	1	1	1	1	1	1	7	72	1	+	+	+	+	+	18	8	60	+	1	1	1	+	+	1	4	4	10	9	8	7	7	7	7	7	1	1	1	1	1	1	1					

Примечание*. Для обр. 1-А из обн. 59 подморенных отложений растительные остатки подсчитаны сверх 100% минералов. Состав тяжелых фракций в породах обнажений 48, 49, 52, 53, 60 и 63 приведен по данным Ф. С. Бузулудского.

и сверх 100% минералов.
данным Ф. С. Бузулудского.



A



Б

Рис. 3. Разрушение мезозойских глин под мореной. Микрофото. Ст. Марково
(А — обн. 46, обр. 3—4, ув. 54; Б — обн. 45, обр. 3—5, ув. 16)

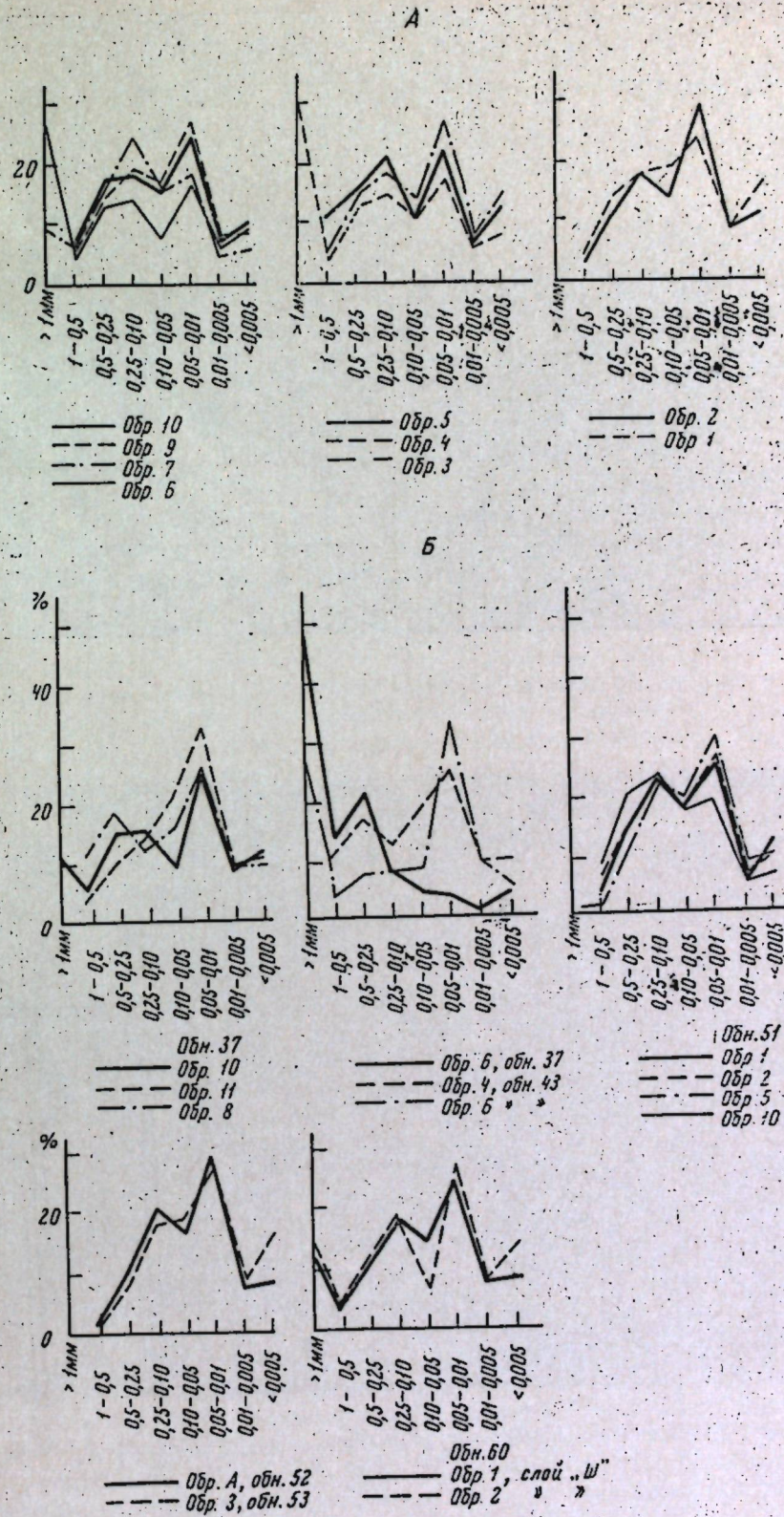


Рис. 4. Графики распределения обломочного материала в моренных отложениях
(А — обн. 63; Б — обн. 37, 43, 51—53, 60)

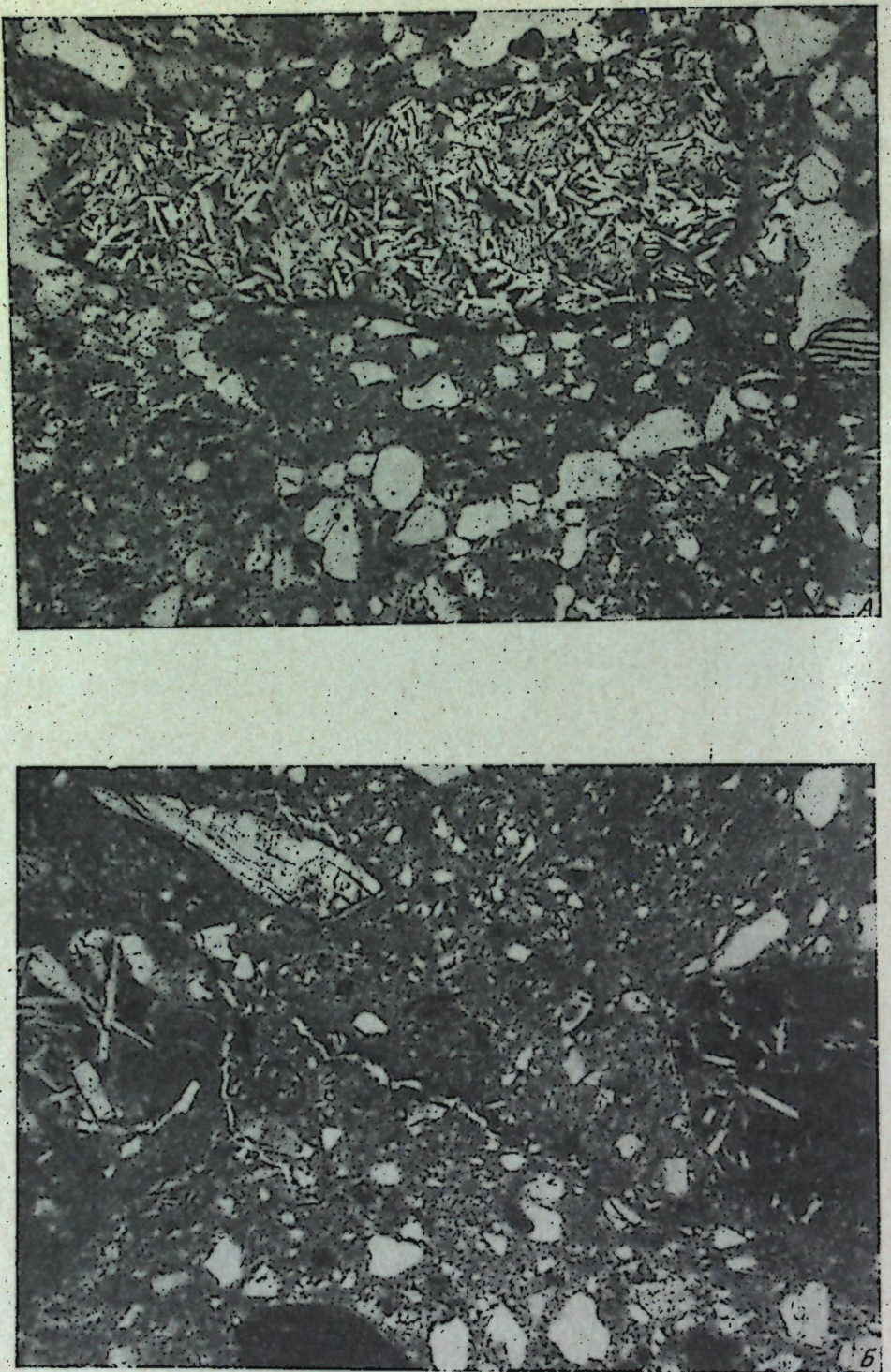


Рис. 5. Самаровская морена. Микрофото (обн. 63, А — обр. 1-1, ув. 54; Б — обр. 4-9, ув. 54)

многие обломки лимонитизированы до неузнаваемости, серicitизированы, пелитизированы или хлоритизированы. Размеры обломков самые разнообразные: от алевритовых частиц через любые песчаные зерна до обломков 1,87, 2,08 и до 4,64 мм в диаметре. Преобладают угловатые зерна, но нередки и полууглобатые, окатанные зерна единичны. Алеврит-глинистая масса породы механически выполняет различные по размеру промежутки между зернами. Состав цементирующей, наиболее мелкоземистой массы, весьма сложный. Он представляет механическую смесь известковистого материала, гидрослюдистых частиц и хлорита, причем в разной степени пропитанную гидроокислями железа.

В обр. 1-2, 1-3 свойства породы аналогичны. Их можно дополнить следующими данными: здесь встречаются гравийные зерна из роговиков, хлоритовых сланцев, туфов, миндалекаменных пород, обломки органогенных известняков, халцедона, доломита. Среди обломков пород преобладают различные основные эфузивы, затем идут кварциты и роговики, реже встречаются карбонатные породы.

В шлифах из обр. 1-6, 1-7 та же несортированная порода, но в большей степени пропитанная гидроокислями железа, проникающими по определенным трещинкам и дающими потеки. Для многих обломков основных изверженных пород характерна сильная окисленность. Многие зерна моноклинного пироксена хлоритизированы и лимонитизированы. Эти явления связаны с присутствием в морене субаэрального горизонта, который был сформирован, по-видимому, при межстадиальной остановке в процессах накопления морены. В условиях поверхностного выветривания развивались в основном процессы окисления, которые и остали свой след в породах, залегающих близ этого горизонта.

Накопление морены, возобновившееся после короткого перерыва, привело к формированию снова массивных неслоистых неотсортированных пород. В шлифах из обр. 4-8 в состав обломков входит весьма разнообразный комплекс пород. В очень большом количестве присутствуют обломки различных основных изверженных пород, то мелко, то крупно-зернистых, обычно хлоритизированных, реже карбонатизированных или лимонитизированных. В меньшем, но довольно значительном содержании, входят кристаллические и тонкозернистые известняки, кварциты и кремнистые разности. Некоторые зерна непрозрачны, весьма сильно изменены. Очень много в породе хлорита зеленого, желтовато-зеленого и бурого. Отдельные его зерна полууглобаты, иногда как бы окатаны. Среди них встречаются зерна с веерообразным строением. Более мелкие частицы хлорита совместно с карбонатным и гидрослюдистым материалом образуют сложную смесь цементирующей массы. Процессы окисления в породе выражены слабо. Угловатый материал преобладает, но наряду с ним довольно частые зерна полуокатаны, а окатанные по-прежнему появляются редко.

Шлиф из обр. 4-9 (рис. 5б) дает возможность сделать некоторые добавления к приведенной характеристике. В породе дополнительно встречены среди обломков пород туфы, доломиты, красноцветные песчаники; впервые по разрезу здесь встречены обломки мезозойских тонкочешуйчатых перекристаллизованных глин, которые вследствие сравнительно слабой плотности раздавлены, деформированы, разорваны, по трещинкам окислены. Раздавленные обломки глин в отдельных участках породы служат ее цементом (такие глины в обломках были нами встречены в кровле подморенных песчано-алевритовых пород в обн. 43, 45 и 46, см. предыдущие страницы). Так же впервые в данном образце были отмечены единичные экземпляры спикул оналовых губок, видимо, перенесенных из морских мезозойских (меловых?) глин.

В отличие от обр. 4-8 здесь снова проявились процессы окисления. Так, многие обломки эфузивов лимонитизированы. Гидроокислы железа

в отдельных участках пропитывают всю породу, создавая коричневато-бурую пятинистость. Цементирующая масса по-прежнему сложного глинисто-хлорит-карбонатного состава.

В шлифе из обр. 4-10 порода близка обр. 4-9. В ней еще интенсивнее проявляются процессы выветривания. В обломках мы здесь часто встречаем окисленные эфузивы, нацело хлоритизированные или лимонитизированные породы, древние полевошпат-кварцевые песчаники с оолитами хлорита, эпидотизированные породы и большое количество зерен моноклинного пироксена, сильно трещиноватого (не по спайности). Здесь исчезли обломки карбонатных пород; нет карбоната и в цементе, столь характерного для всей толщи нижележащих моренных образований. Цементом в породах служит глинисто-хлоритовое вещество, в котором много тонкочешуйчатого материала, часто обволакивающего отдельные зерна. В большей же части породы он образует базальный субстрат, в который погружены обломки гравийного, песчаного и алевритового размера. Часто можно видеть обломки в лимонитовой рубашке. Обломки мезозойских тонкочешуйчатых глин так же присутствуют, как и обр. 4-9. Преобладают зерна с угловатыми очертаниями. Полугловатые зерна обычны, окатанные редки.

Обратимся к минеральному составу алевритовой части морены. Из табл. 2 можно видеть чрезвычайно выдержаный и устойчивый в основном плагиоклаз-пироксеновый комплекс минералов. Такой распространенный пордообразующий минерал, как кварц, не превышает 16—27% от массы легкой фракции. Основные же плагиоклазы составляют 44—61% от легкой фракции. Характерно сравнительно небольшое колебание в содержании моноклинного пироксена (60—78%). Ильменит и магнетит варьируют между 13 и 28%. Эпидоты и амфиболы довольно бедные и не превышают 4—6%. Аксессорные минералы единичны, как и минералы метаморфической группы. Разрушенные, хлоритизированные и серицитизированные зерна в легкой фракции, хотя и слабее чем в шлифах, но отражают процессы выветривания, которым подвергались породы.

По составу алевритовой части моренные отложения очень близки пескам и алевритам, подстилающим в обн. 44, 46, 53 более молодую морену, но резко отличны от нижних песков и алевритов обн. 45 и 59.

Итак, полученный фактический материал по гранулометрическому, минералогическому и петрографическому составам моренных отложений самаровского времени в обн. 60 и 63 дает нам право сделать следующие обобщения. По отсутствию слоистости и отсортированности, по разнородности состава и преобладанию неокатанного обломочного материала породы полностью отвечают свойствам моренных отложений. Обломочный материал сравнительно заметной или средней степени окатанности объясняется наследственными признаками морены, которые были свойственны обломочному материалу различных осадочных образований, служивших объектом ассимиляции для ледниковых масс.

Резко полимиктовый состав морены и характерный состав цемента, в который в значительном количестве помимо глинистого и хлоритового вещества входит карбонатный материал, дают право считать эти породы типичными субаэральными образованиями, отложенными ледником.

Переходим к характеристике более молодой морены. Некоторые исследователи (Архипов, 1959, 1960; Архипов и др., 1957) считают, что в направлении с юга на север типичная субаэральная морена постепенно приобретает все более явственные признаки ледниково-морских отложений, все чаще появляются слоистые текстуры, раковины морских моллюсков, встречающиеся в породах, находятся на месте естественного захоронения.

Формирование пород в морской подвижной среде несомненно весьма сильно отличается от накопления морены в субаэральных условиях. Это

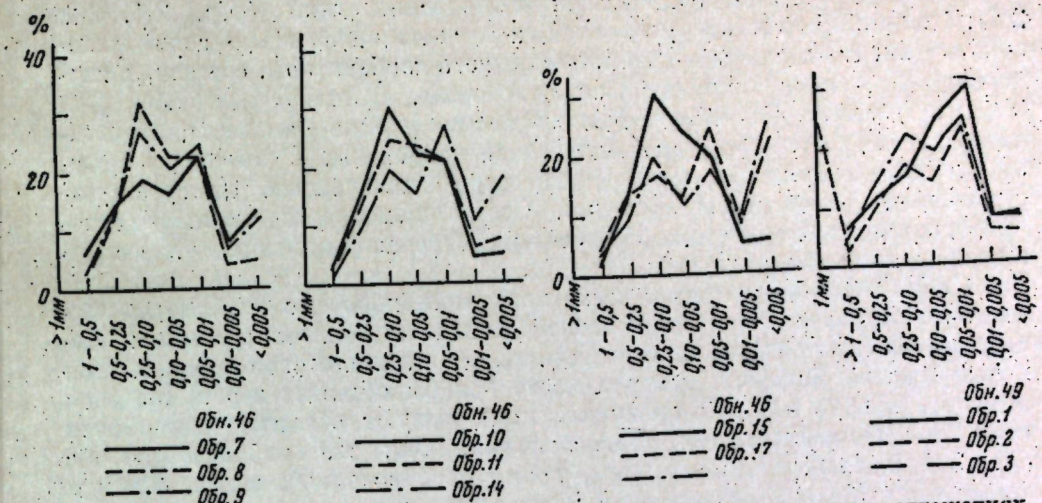


Рис. 6. Графики распределения обломочного материала в моренных отложениях обн. 46 и 49

должно было бы отразиться и на гранулометрическом и вещественном составах, на структурах и текстурах отложений, на составе цементирующей массы и т. д.

Приведенные на рис. 46 и 6 графики распределения вещественного состава для моренных отложений по обн. 37, 43, 46, 49—53, находящимся по правому берегу Енисея между р. Комса на юге и р. Семиверстной на севере, показывают несколько видоизмененные, но также многофракционные кривые, в которых одни породы, так же как самаровская морена, имеют неизначительный пик, соответствующий частичкам алеврита с диаметром 0,05—0,01 мм (обн. 53, 51 и 49), в других случаях этот низысокий пик сдвигается в сторону песка с размером частиц 0,25—0,10 мм (обн. 46) и, наконец, к еще более грубому материалу паряду с алевритистыми частицами. Последнее проявляется в кривых для образцов пород из обн. 37. В основном же все эти породы лишены какой бы то ни было сортированности по размерности частиц. Укрупнение вещественного состава морены в направлении к северу, возможно, может быть указателем направления движения ледника. Конечно, для вполне обоснованного заключения о направлении движения ледника проведенный объем исследований не является достаточным.

Глинистый материал в морене изученных обнажений не уменьшается в содержании по сравнению с субаэральной самаровской мореной. Во многих случаях содержание, наоборот, возрастает, как это видно на графиках для пород из обн. 46, 53.

Анализ приведенного материала приводит нас к заключению о том, что порода образовалась в среде, где не происходило какого-либо волнения водных масс и отмыва глинистых частиц, что характерно для прибрежной морской обстановки с движущейся водной средой и что ее нужно признать за морену.

В прозрачных шлифах моренные отложения в направлении с юга на север обнаруживают следующие изменения. В обн. 51 (выше устья ручья Половинного) наблюдаются породы гравийно-песчано-алевритового состава неслоистой массивной текстуры с резко полимиктовым минеральным комплексом в обломочном материале, среди которого более грубые обломки представлены главным образом основными изверженными породами, затем известиями и кварцитами. Здесь появляются известняки со сгустковой структурой. Продолжают внизах толщи изредка встре-

чаться обломки тонко отмученных мезозойских глий (обр. 2-1, 2-2, 2-4). Обломки пород полуугловатые, а песчано-алевритовые зерна угловатые. Цемент базальный, глинисто-слюдисто-карбонатного состава, в значительной степени подвергшийся окислению. В шлифе из обр. 2-5, 2-6 и 2-7 многие обломки эфузивов весьма сильно изменены: лимонитизированы, пелитизированы или хлоритизированы. Единичные зерна окисленного глауконита здесь были встречены впервые. Присутствуют окисленные растительные остатки. Состав цемента продолжает оставаться глинисто-слюдисто-карбонатным. Встречаются обломки известняков со сгустковой структурой.

В обр. 2-8 того же типа несортированная порода с карбонатно-глинисто-хлоритовым цементом, в разной степени лимонитизированым. Некоторые обломки эфузивов и известняков — в лимонитовой корочке. Тонкочешуйчатый материал цемента часто как бы обтекает зерна, создавая оболочку вокруг них. По-прежнему присутствуют обломки мезозойских глий: то неслоистых, то тонкослоистых. Они же наблюдаются и в обр. 2-9. В последнем встречены, кроме перечисленных выше, обломки хлоритовых пород, песчаников с железистым цементом, песчаников полевошпат-кварцевых с известковисто-хлоритовым цементом, зерна которых хорошо окатаны. Есть совершенно измененные неопределимые обломки. Угловатый материал преобладает, полуугловатые зерна обычны, окатанные — редки.

Шлифы из пород оби. 49 (в 1,7 км выше ручья Трехверстного) дают очень близкую характеристику их свойств к породам из оби. 51. По полевому описанию С. Л. Троицкого, суглиники здесь буровато-темносерые, щебинистые, песчанисто-гравелистые, с обильным мелкообломочным материалом, среди которого преобладают гравий и мелкая галька. Крупная галька встречается редко. Материал распределен беспорядочно. Видимая мощность пород 5 м. В кровле залегает горизонтальный прослой валунов с галькой. Выше продолжает обнажаться тот же суглиник, но валунисто-галечный материал в нем имеет горизонтальную ориентировку. Имеются слойки тонкозернистого песка до 0,01—0,02 м. Вся толща разбивается на крупные линзовидные тела прослойками ожелезненной песчанистой супеси. К кровле эти прослойки становятся горизонтальными, толщина их не более 1,5—2 см.

В обр. 4-1 (из низов толщи суглиников) в шлифе видна несортированная масса разнозернистого обломочного материала, скементированная механической смесью глинисто-хлорит-карбонатного состава, окрашенного в бурый цвет гидроокисью железа. Структура цемента базального типа, но отдельными участками количество его уменьшается, и он сменяется на контактный тип. Все свойства породы аналогичны образцам пород из оби. 49, поэтому мы избегаем их повторения.

В обр. 2-2 галечко-гравийно-песчано-алевритовая порода с тем же составом обломков и цемента. Можно добавить, что в этом образце были встречены обломки сидерита. Слоистости порода не обнаруживает. Цемент глинисто-хлорит-карбонатный, беспорядочно выполняет поры между зернами. По-прежнему резко преобладают угловатые зерна. Обр. 2-3, взятый из верхней части суглиников оби. 49, — глинисто-песчано-алевритовая порода с резко полимиктовым составом обломков, с цементом сложного состава из гидрослюд, хлоритов, карбонатов кальция и гидроокислов железа. Последние, по-видимому, представляют наиболее поздний компонент цемента. Он пропитывает породу весьма неравномерно, создавая тип выполнения пор между зернами, на отдельных участках — контактный. Среди обломков пород определены основные изверженные, карбонатные и хлоритовые породы, алевролиты с карбонатным цементом, кремни и кварциты, обломки угля, ожелезненные, пелитизированные и хлоритизированные породы, тонкочешуйчатые перекристаллизованные ме-

ловые глины, эпидотизированные породы, полевошпат-кварцевые песчаники с железисто-сидеритовым цементом и все минералы, приведенные в табл. 2.

Как видим, петрографический и минералогический состав моренных отложений по разрезу выдерживается.

В направлении к северу в Марковском яру (обр. 46) нами были просмотрены те же моренные суглиники. Породы гравийно-песчано-алеврито-глинистого состава отличаются от охарактеризованных выше составом цемента. Последний здесь бурого цвета, тонкочешуйчатого строения, состоит из глинисто-слюдисто-хлоритовых частиц, среди которых рассеяны отдельные зернышки кальцита. Эта масса неравномерно выполняет промежутки между зернами и участками образует базальный тип цемента. Порода значительно лимонитизирована. В обломочном материале тот же состав пород и минералов, какой приведен при характеристике оби. 49 (рис. 7а).

Породы из оби. 45 Черноостровского яра охарактеризованы в поле С. Л. Троицким как темно-бурые песчанисто-гравелистые суглиники щебневатой структуры с рассеянной по разрезу галькой, очень редкими мелкими валунами, со слабыми следами горизонтальной слоистости. Мощность суглиников здесь снижена до 6,2 м. Из разреза было просмотрено семь шлифов. Обр. 5-7 — разнозернистая неслоистая гравелисто-песчано-алевритовая порода полимиктового состава с глинисто-железисто-карбонатным цементом, выполняющим промежутки между зернами. Гравий представлен эфузивами, разнозернистыми известняками, кремнистыми сланцами, тонкими перекристаллизованными глинями. Песчано-алевритовый материал обогащен основными плагиоклазами и моноклинными пироксенами, слюдами, карбонатами. Окатанность у большей части зерен отсутствует, но среди гравия встречаются сравнительно хорошо окатанные зерна известняков и глин, как более мягких разностей пород. Среди же песчаного материала окатанные зерна большая редкость.

В обр. 5-8 среди гравийных зерен встречены, кроме перечисленных, кремнисто-хлоритовые породы и обломки угля. Порода обнаруживает полосчатость в связи с окрашиванием гидроокисью железа по отдельным направлениям. В цементирующей массе — сложная смесь из хлорита, глинистых минералов, карбонатов и лимонита.

В шлифе из обр. 5-9 порода характеризуется аналогичным составом, но более мелкозернистая. Гидроокислы железа в ней распределются участками неправильной формы. В обр. 5-10 и 5-11 окисление породы значительно ослаблено. Обр. 5-12 характеризуется малым количеством цемента (но более 10%), отчего местами создается контактный или пленочный тип цемента. Многие обломки основных изверженных пород весьма сильно хлоритизированы и окислены. Обр. 5-13 взят близ кровли мореной толщи. В шлифе это типичная морена. Гравий представлен эфузивными, сравнительно мелкозернистыми породами, микрозернистыми известняками, известняками со сгустковой структурой, кремнистыми разностями пород. Размер их достигает в шлифе 1 см. Очертания обломков в той или иной мере сглажены. Обломки эфузивов обычно покрыты тонкой лимонитовой корочкой, от которой окрашивание проникает в близлежащие участки породы. Большая часть этих пород сильно изменена, передко нацело ожелезнена или хлоритизирована. В последних шлифах обломки тонко отмученных глин встречены не были. Цемент того же глинисто-карбонатно-хлоритового состава; распределение его в породе неравномерное.

В Пупковских ярах нами исследованы моренные суглиники из оби. 37 и 43. В полевом описании С. Л. Троицкого дана следующая их характеристика. В оби. 43 они темно-бурые, гравелисто-песчанистые, щебенчатой структуры, в нижней части содержат эллипсоидальные конкреции

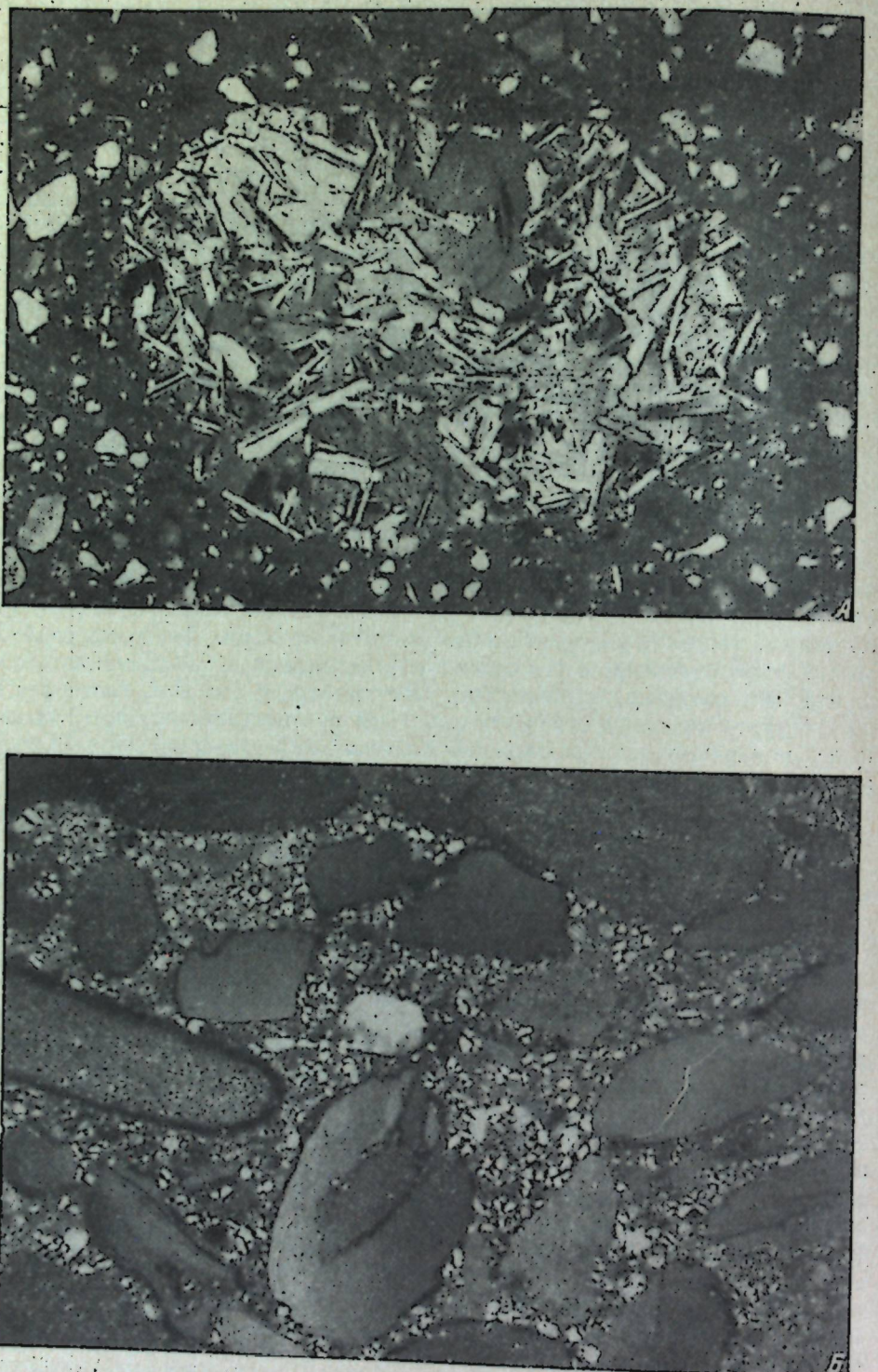


Рис. 7. Зырянская морена. Микрофото. Ст. Пушкино (A — обн. 46, обр. 4—7, ув. 16, николи +; B — обн. 37, слой 1, обр. 6, обломки известняков, ув. 16)

и редкие раковины морских моллюсков. Шлифы из обр. 3-3, 3-4, 3-5 снизу вверх дают представление о несортированной песчано-алеврито-глинистой породе полимиктового состава, аналогичного предыдущим описаниям пород. Часть обломков основных эфузивов с сильно измененной основной массой. Наряду с ними встречаются того же состава породы высокой степени сохранности. Слоистости не обнаруживаются. Цемент по-прежнему глинисто-карбонатный. Обломки в основной массе угловаты. Изредка встречаются тонкоотмученные меловые глины. В обр. 3-3 встречаются обломки известняка со сгустковой структурой. В обр. 3-4 и 3-5 обломочный материал пополнился хлоритовыми сланцами, обломками угля, полевошпат-кварцевыми алевролитами с железистым цементом и эпидотизированными породами. Еще встречаются единичные обломки тонких слоистых мезозойских, по-видимому меловых, глин. По отдельным трещинам наблюдается обильное пропитывание породы гидроокислями железа. Среди крупных гравийных зерен в большом количестве встречаются разнообразные карбонатные породы то мелко, то среднезернистые, то перекристаллизованные. Единичные обломки известняков характеризуются сгустковой структурой. На втором месте среди грубообломочного материала стоят обломки различных эфузивов. Цемент породы глинисто-карбонатный, местами совместно с железистым.

Наконец в самом последнем по профилю к северу обн. 37 в устье р. Пятиверстной морены обладает, по С. Л. Троицкому, следующими характерными литологическими свойствами. Над осыпями, поднимающимися над уровнем Енисея, с высоты 11,7 м снизу вверх выходят алевролиты песчано-гравелистые, бурые, щебенчатой текстуры. Среди грубого материала преобладают мелкие и средние гальки и гравий. Много разрушенных галек карбонатных пород, окрашенных в различный цвет. По отдельным прослойям галька почти исчезает; порода становится более алевритисто-глинистой, и цвет ее изменяется на серый. В породе найдена одна цельная раковина *Macoma calcarea* (Gmelin) хорошей сохранности, лежащая горизонтально, и несколько обломков четвертичных и мезозойских морских раковин. Видимая мощность толщи 9,3 м. Через вышележащий прослой 2,5 м мощностью более песчанистого суглинка и тонкий (0,02—0,04 м) слой разнозернистого гравелисто-галечно-валунного песка выступает толща алеврито-супесей, палево-бурых, с очень малым содержанием грубого обломочного материала, с намечающейся слабой слоистостью, близкой к горизонтальной. Отдельность пород — щебневатая, у более песчаных слоев — листоватая. На поверхности отдельностей наблюдается яркое окрашивание гидроокисью железа. Мощность этой части пород 4,3 м.

В шлифах из образцов нижней части суглинков преобладают обломки мелко- и среднезернистых известняков; среди них есть известняки со сгустковой структурой. На втором месте находятся обломки основных изверженных пород нередко хорошей сохранности. Редкие обломки представлены тонкими буроватыми глинами чешуйчатой структуры, известняками с лимонитовым вишнево-красным цементом, хлоритовыми сланцами, кварц-известковистыми породами, полимиктовыми песчаниками с карбонатно-железистым цементом, кварц-эпидотовыми породами и доломитами. Цементирующая, наиболее мелкая часть породы — глинисто-карбонатного или карбонатно-хлоритового состава. Структура его приближается к типу базального цемента (рис. 76).

Минералогический состав моренных суглинков в алевритовой части, как показало изучение их в иммерсионных препаратах, весьма постоянен. Он может быть охарактеризован как кварц-плагиоклазовый в легкой пордообразующей части и пироксеновый в тяжелой фракции. Содержание пироксенов чаще всего достигает 70% и несколько больше. Небольшое снижение его отмечается главным образом в породах обн. 46 и 49,

за счет чего здесь заметно увеличивается количество зерен обыкновенной роговой обманки и эпидота. Легкие фракции явно отражают роль хлорита, разрушенных зерен и кальцита (последний в обн. 37). Почти всюду отмечается слабая сортированность алевритовой фракции (0,1—0,05 мм), которая изучалась под микроскопом. Основная масса зерен обладает угловатыми очертаниями. Более грубые зерна нередко или изредка полуугловаты и редкие из них окатаны. Последние обычно принаследуют циркону, эпидоту или сфеину. Плагиоклазы и пироксены отличаются хорошей сохранностью. Щелочной полевую шисту заметно пелитизирована. Весьма разнообразен хлорит, чаще он желтовато-зеленоватый, близкий к оливковому, реже светло-коричневый или серовато-бурый, иногда почти соломенно-желтый. Зерна его округлой или овальной формы. Строение тонкочешуйчатое или тонколистоватое, иногда наблюдаются веерообразные волокнистые зерна с различно направленными волокнами по трем-четырем сегментам в зерне. Двусломление низкое. Изредка встречаются лептохлориты оолитового строения.

Полученный фактический материал по минералогии и петрографии моренных отложений изучаемого района позволяет провести сравнение и дать некоторые заключения.

1. Гранулометрические свойства пород самаровской и зырянской морен весьма близки, во многих случаях аналогичны. Все образцы показали полное отсутствие какой-либо сортированности, все они многофракционны и этим своим признаком вполне соответствуют типу моренных отложений.

2. Минералогический состав алевритовой части пород всех моренных отложений одинаков, весьма постоянен и может быть определен как кварц-плагиоклазовая ассоциация для породообразующих и как пироксеновая для тяжелых по удельному весу минералов.

3. Обломочный материал галечно-гравийно-песчанистой размерности весьма разнороден и является резко полимиктовым. Для морены самаровского оледенения по группе обнажений, выступающих по правому берегу Енисея между реками Чулковкой и Верхний Имбак, ведущими обломками среди горных пород являются группы основных изверженных пород, кремнистых и кремнисто-слюдистых сланцев, кварцитов и роговиков и группа карбонатов. Более редки различные песчаники, в том числе красноцветные, туфогенные породы, халцедоны, доломиты. И только в самых верхних частях морены (в обн. 63) впервые появляются обломки тонкочешуйчатых перекристаллизованных глин, вероятно мелового возраста, которые, как слабые по своей плотности, сильно деформированы, раздавлены или разорваны.

Таким образом, основными источниками питания при формировании моренных отложений самаровского времени служили в основном пермом-триасовая трапповая формация, докембрийские метаморфические формации, палеозойские карбонатные и терригенно-карбонатные формации. В конце ледниковой аккумуляции в состав пород питания провинций включились толщи морских глин мелового возраста (?).

Последующая ледниковая эпоха ознаменовалась в самом начале своей депрессионной деятельности в районе исследований перепахиванием тонкочешуйчатых морских глин мелового возраста. Обломки их в изобилии встречены в породах близ контакта с подошвой моренных отложений. Эти породы являются мономиктовыми, отличаются брекчевидной текстурой (обн. 43, 45 и 46) и состоят только из обломков меловых морских глин различных размеров и формы, многие из которых, так же, как и в кровле самаровской морены, являются раздавленными, деформированными или раздавленными. В самой морене, во всех ее частях по разрезу эти глины встречаются повсюду, но уже являются второстепенным обломочным материалом.

В обн. 1-1 из обн. 43 вместе с обломками тонкочешуйчатых глин появляются, пока еще в небольшом количестве, грубые обломки кристаллических известняков и основных эфузивов, а также алевролитов, с глинисто-карбонатным цементом. Эти группы пород совместно с кварцитами начинают играть главенствующую роль уже в подошве мореной толщи. Среди разнообразных известняков появляются обломки со сгустковой структурой, которые не были встречены ни в одном образце из пород обн. 63. К перечисленным выше обломкам прибавляются хлоритовые породы, песчаники с железистым цементом, полевошпат-кварцевые песчаники с известково-хлоритовым цементом. В некоторых породах обн. 49 были встречены, кроме того, обломки сидерита, угля, эпидотизированных пород, полевошпат-кварцевых песчаников с железисто-сидеритовым цементом. В самом северном, изученном нами, обн. 37 среди обломков, входящих в состав морены, наиболее распространены различные известняки, в том числе и со сгустковой структурой. На втором месте оказываются, в других образцах всегда преобладавшие, обломки основных изверженных пород. Редкие обломки принаследуют тонкочешуйчатым глинам, хлоритовым сланцам, известнякам с лимонитовым вишнево-красным цементом, кварц-известковистым породам, полимиктовым песчаникам с карбонатно-железистым цементом, кварц-эпидотовым породам и доломитам.

Итак, основными питательными провинциями в период формирования зырянских моренных толщ в пределах изученного района были формации пермо-триасовых траппов, древние метаморфические толщи, карбонатные формации, терригенные древние отложения. Более скромную роль играли меловые морские глинистые толщи, хлоритовые сланцы, доломиты и другие породы. В северной части района в составе морены отмечается весьма активная роль карбонатной серии пород в общем продуктивном балансе питательных провинций. Выходы их по Енисею находятся в 22—25 км к северу от обн. 37. В заключение можно сказать, что в общем для формирования моренных толщ как самаровской, так и зырянской ледниковых эпох служили одни и те же петрографические провинции, но в истории формирования морен существовали и отличительные особенности, которые намечают своеобразные черты в процессе освоения ледниками различных материнских пород ложа.

4. В целом по всем изученным образцам из моренных отложений можно сделать вывод об отсутствии следов окатанности у огромной массы обломочного материала, которая резко преобладает. Обломки с полуугловатыми очертаниями, встречающиеся в небольшом количестве, принаследуют главным образом сравнительно мягким осадочным породам: известнякам, глинам, алевролитам. Наконец, хорошо окатанные зерна, изредка появляющиеся в породах, представлены обычно акцессорными минералами — цирконом, сфеином, рутилом, — которые являются переотложенными из более древних осадочных пород; признак хорошей окатанности для них — унаследованный.

5. Цементирующая часть моренных отложений во всех изученных образцах является механической сложной смесью наиболее мелкодисперсных частиц гидрослюд, хлорита и карбоната кальция. Часто к ним присоединяются гидроокислы железа. Карбонат кальция для моренных отложений вообще весьма показателен. Он возникает от перетирания ледником карбонатных пород и сохраняется от растворения в субаэральных условиях полярного климата. Холодные же морские воды полярных областей, как известно (Кленова, 1948; Кордиков, 1952; Лисицын, 1966), характеризуются высоким потенциалом свободной углекислоты и недонасыщенностью карбонатами кальция, вследствие чего такие воды приводят к полному растворению последних. Это обстоятельство, по нашему мнению, должно служить надежным контролем при решении вопросов с

Таблица 3

Содержание Cl и CO₂ в санчуговских и салемальских отложениях

Местонахождение	№ образца	Содержание (в %)		Наименование горизонта
		Cl	CO ₂	
Оби. 63, в 8,8 км ниже устья р. Чулковки по Енисею	1—2	0,90	3,04	Самаровская морена
Оби. 51, выше устья ручья Полошинского	2—2	0,90	1,95	Зырянская морена
Там же	2—4	0,90	1,30	
Оби. 49, выше ручья Трехверстного	2—3	Не обн.	2,71	
Там же	2—2	"	3,21	
Оби. 46 у пос. Марково	4—15	0,90	1,41	
" "	4—10	0,90	2,39	
Оби. 43, Пушкинский яр	3—5	0,90	3,80	
Оби. 37, "	1—11	0,90	5,43	
" "	1—10	0,90	4,56	
Скв. 10 Бх. гл, 161—170 м		1,35	1,63	Санчуговские морские отложения
Скв. Дублер, с. Тазовское, гл. 54,7 м		2,25	1,35	Салемальские отложения
Там же, гл. 45 м		2,25	0,21	То же
Скв. 1 кп, профиль р. Щучья—Надежда, гл. 111 м		1,80	1,41	

Для того чтобы показать отличия в литолого-минералогической характеристике моренных отложений среднего Енисея и морских санчуговских отложений Усть-Енисейского района и других районов (Шумилова, 1968, 1969), мы прилагаем ниже следующую сравнительную табл. 4.

Итак, данные табл. 4 свидетельствуют о резком различии в литологических свойствах пород морских и моренных отложений, несмотря на постоянство питающих проприций, что связано с условиями формирования тех и других горизонтов.

Переходим к характеристике надморенных отложений, из которых мы исследовали породы только в оби. 46, 53 и 60. В оби. 60 были изучены, ленточные глины, бурые и серо-коричневые, залегающие в кровле самарской морены. Гранулометрический анализ показал, что они являются алевритовыми с небольшой примесью песчаных частиц (рис. 8). В иммерсии глины показали минералогический состав алевритовой части, родственный составу нижележащих моренных отложений, но значительно измененный. Содержание моноклинных пироксенов снижено до 55—58%. В легкой фракции — значительный процент бесцветных и зеленых слюд, высокое содержание плагиоклазов, превышающее количество кварца (см. табл. 2). Эти породы отложились в ледниковых озерах.

В оби. 53 над мореной и ленточными глинями зырянского оледенения, по описанию С. Л. Троцкого, залегают светло-желтая супесь с тончайшими листоватыми прослоечками светло-серой и пепельно-светло-серой супеси. Близ подошвы виден пропласток аллюхтонного торфа с ветками кустарников, слабо разложившимися. Слой прокрашен гидроокисью железа от бледно-желтого до кирпично-красного цвета, обладает пористостью и признаками лессовидности. Видимая мощность всего слоя до 4 м.

Три образца пород, взятые из этого слоя, показали весьма близкий

генезис тех или иных мореноподобных толщ. Многочисленные образцы пород, просмотренные нами из типично морских отложений санчуговского и казанцевского горизонтов, распространенных в северных районах Обь-Енисейского междуречья, ни в одном случае не характеризуются карбонатным составом цементирующей массы, подобным цементу самаровских и зырянских морен. Если принять, как считают некоторые геологи, гляциально-морское происхождение моренных отложений в северных частях изученного района, то мы неизбежно должны были бы уловить воздействие морских вод на карбонатную часть цемента морены. Этого воздействия, как видим, нет ни в какой мере.

Вопрос о генезисе моренных отложений в самой северной части изученного профиля (ст. Пушкино) пока остается открытым. Мы считаем, что нужны дополнительные комплексные исследования для правомерного решения этого вопроса.

6. Большое количество разнообразных хлоритов и в обломочном материале и в цементе морен происходит от сдиания ледником коры выветривания на траппах, в которых химически изменены неустойчивые в условиях земной поверхности оливины, пироксены, частично амфиболы, основные плагиоклазы, превратившиеся в минералы группы хлоритов.

7. Гидрослюдистый состав наиболее мелких — глинистых — частиц, входящих также одним из компонентов в цементирующую вещества морен, своим происхождением обязан в основном самой первой стадии выветривания полевых шпатов и слюд, которым могли подвергаться эти минералы даже в довольно холодных, но влажных условиях севера, особенно в межледниковое время. Значительная часть гидрослюдистого материала попадала из глинистых толщ, подвергавшихся ледниковой ассоцииации.

8. Типы цемента — механического заполнения свободных промежутков между крупными обломками более мелкими песчано-алевритистыми и глинистыми частицами, а также базальный, отличающийся большим его количеством, разъединяющим обломки и зерна так, что они не соприкасаются друг с другом, — главное для моренных отложений района. Такой цемент, как известно, возникает в условиях быстрого накопления в относительно спокойной среде. При подвижной среде, когда действуют морские волнения, происходит вымыывание мелких частиц, что приводит к более уплотненному накоплению грубого материала, когда отдельные обломки приходят в соприкосновение. Эти явления в моренных горизонтах также нами не зафиксированы.

С целью сравнения пород по содержанию хлора и степени карбонатности были выполнены анализы (аналитик А. В. Сухаренко) образцов самаровской и зырянской морены, а также образцов морских санчуговских и салемальских отложений.

Из анализа данных табл. 3 мы вправе заключить, что образцы зырянской морены, характеризующие ее в направлении с юга на север, по содержанию хлора совершенно не различаются друг от друга, а также и от самаровской морены. Этого не могло быть в случае перехода в этом направлении субаравальных ледниковых отложений в гляциально-морские. Что касается степени карбонатности, то она значительно повышается в северных пунктах выходов зырянской морены (оби. 37 и 43), что вполне согласуется с результатами изучения птиц из пород этих же обнажений, показавших преобладание обломков известняков в крупнозернистом материале, а также связано с коренными выходами палеозоя, размешанными по правобережью Енисея поблизости от морены.

Данные содержания хлора убедительно показывают отличия морских отложений санчуговского (салемальского) горизонта, где хлор — 1,35—2,25% от моренных отложений, в которых хлор не превышает 0,9% или вовсе отсутствует.

Таблица 4

Сравнительная литолого-минералогическая характеристика морских отложений и морен

Отложения	Литолого-минералогические свойства пород					Содержание (в %)						
	Гранулометрический состав	Тип породы	Слоистость и тип слоистости	Состав цементирующей массы	Тип цемента		пироксенов,	эпидота, цинкита	амфиболов	циркона, турмалина, граната и сфена в сумме	хлора	CO ₂
Зырянская морена	Отсутствие сортированности или весьма слабая	Хлодолиты, смешанные породы	Слоистость отсутствует. Очень редко намечается слабо горизонтальная слоистость	Глинисто-хлорит-карбонатный (часто с гидроокислями железа)	Базальный и цемент механического заполнения пор	3,66—18,66	60—78	2—13	1—7	Ед. зерна — до 2%	От 0 до 0,9	От 1,3 до 5,43
Морские сандучковские слои	Средняя степень сортированности	Песчаные алевриты, алевритовые пески, глинистые алевриты. Единично несортированные породы	Горизонтальная	Глинисто-гидрослюдистый, реже глинисто-слюдисто-хлоритовый	Базальный, редко поровый и пленочный	От нескольких зерен до 2,66	31—48	12—26	5—15	5—13	От 1,35 до 2,25	От 0,21 до 1,63

гранулометрический состав (рис. 8). Все они очень хорошо сортированы и относятся к алевритам с небольшой примесью песчано-глинистых частиц.

Минералогическая характеристика пород совершенно иная, чем у озерно-ледниковых глин. Здесь преобладает кварц над плагиоклазами и щелочными полевыми шпатами, а в комплексе тяжелых минералов в близких содержаниях находятся три основные группы минералов: эпидот, роговой обманки и ильменита с магнетитом. Пироксены занимают весьма незначительное место (не выше 2—3%), как и основные плагиоклазы в легких фракциях. Появился значительный процент хлоритизированных и серпентинизированных зерен, а также до 3% растительных остатков.

Комплекс приведенных свойств склоняет нас к заключению об аллювиальном происхождении пород. Река была крупной транзитной артерией, основной обломочный материал приносился издалека, с возвышенностей, сложенных зеленокаменными метаморфическими толщами. Хорошая отсортированность обломочного материала говорит о захоронении его в нижнем течении реки и о многократном перемывании его по пути следования к северу. Местный материал плагиоклаз-пироксенового состава, свойственный северо-восточным окраинам низменности, оказал весьма слабое влияние на общую минералогическую ассоциацию речного аллювия.

Наконец, нами были исследованы образцы надморенных отложений обн. 46. Здесь, по С. Л. Троицкому, на первоначальной поверхности зырянской морены залегает толща параллельнослоистых пачек ленточновидной супеси (алеврита), охристо-коричневой и серо-палевой окраски с желтыми мелкозернистыми пылеватыми песками (первые преобладают). Верхние 2—3 м породы сильно изменены процессами подзолообразования, местами осветлены, иногда наоборот, прокрашены гидроокисью железа в ржаво-охристые тона и заметно облессованы. Видимая мощность пород 4,8 м.

Нами были исследованы два образца из данной толщи. По гранулометрическому составу они оказались разными. Обр. 18, взятый близ кровли моренных отложений, показал весьма слабую сортированность,

видимо, за счет частичной ассоциации нижележащих несортированных отложений. В нем совмещаются восемь различных фракций, среди которых только тонкие глинистые частицы немного преобладают над содержанием остальных (рис. 8). Что касается обр. 19, взятого на 1 м выше по разрезу, то в нем уже чувствуется, хотя и невысокая, степень сортированности, либо кривая распределения обломочного материала дает пик над частицей алевритовой размерности 0,05—0,01 мм. Породу можно назвать песчаным алевритом.

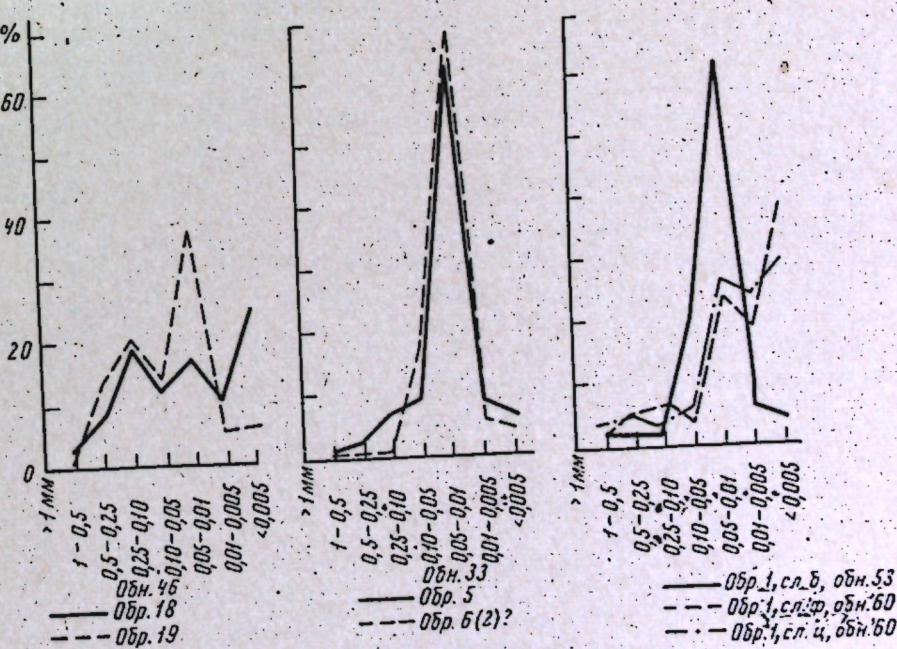


Рис. 8. Графики распределения обломочного материала в надморенных отложениях

В соответствии с различными свойствами гранулометрии того и другого образца, им отвечает различный и минералогический состав. Нижний обр. 18, заимствовавший часть терригенного материала из подлежащей морены, характеризуется смешанным составом минералов, наряду с высоким содержанием кварца (44%), в нем содержится 42% плагиоклазов вместе со щелочными полевыми шпатами. Наряду с большим количеством зерен моноклинильных широксенов присутствует 35% рудных минералов и 18% эпидота вместе с амфиболами. Здесь переплетается материал двух терригенно-минералогических провинций: плагиоклазово-широксеновой и кварц-полевошпат-эпидот-амфиболовой.

Таким образом, все три объекта падморенных отложений послезырийского возраста, которые были нами исследованы, представляют собою различные генетические типы озерно-ледниковой и аллювиальной речной аккумуляции.

Исследование, наряду с моренными отложениями, осадков, перекрывающих и подстилающих ледниковые накопления, позволило четко выявить, насколько велики различия в их литологическом и минералогическом облике, составе и особенностях, обусловленные спецификой среды отложения и условиями переноса материала.

ЛИТЕРАТУРА

- Архипов С. А. 1959. К вопросу о существовании гляциально-морских отложений в Приенисейском районе Западно-Сибирской низменности.—Изв. АН СССР, серия геол., № 1.
- Архипов С. А. 1960. Стратиграфия четвертичных отложений, вопросы неотектоники в палеогеографии бассейна среднего течения Енисея.—Труды ГИИ, в. 30.
- Архипов С. А., Зубаков В. А., Лаврушин Ю. А. 1957. О ледниково-водных отложениях в Приенисейской части Западно-Сибирской низменности.—Докл. АН СССР, т. 112, вып. 1.
- Белов И. А., Лапина И. И. 1961. Донные отложения Арктического бассейна. Л., «Морской транспорт».
- Кленова М. В. 1948. Геология моря. М., Учпедгиз.
- Кордиков А. А. 1952. Осадки моря Лаптевых.—Труды НИИГА, т. XI.
- Лапина И. И., Куликов Н. И., Семенов Ю. П. 1965. Значение исследования современных донных отложений Северного Ледовитого океана для познания условий формирования четвертичных отложений в Арктике.—В кн.: Основные проблемы изучения четвертичного периода АН СССР (к VII конгрессу INQUA в США). Ин-т геол. и геофиз. СО АН СССР. М., «Наука».
- Лисицын А. П. 1966. Процессы современного осадкообразования в Беринговом море. М., «Наука».
- Наливкин Д. В. 1956. Учение о фациях, ч. I и II. М., Изд-во АН СССР.
- Пустовалов Л. В. 1940. Петрография осадочных пород. ч. II. Л., Гостоптехиздат.
- Рухина Е. В. 1960. Литология морен. Л., Изд-во ЛГУ.
- Рухин Л. Б. 1959. Основы общей палеогеографии. Л., Гостоптехиздат.
- Сакс В. И. 1948. Четвертичный период в Советской Арктике.—Труды Арктического ин-та, т. 201.

Е. В. ШУМИЛОВА

ПЕТРОГРАФИЧЕСКИЙ СОСТАВ ГРУБООБЛОМОЧНОГО МАТЕРИАЛА ЧЕТВЕРТИЧНЫХ ДОКАЗАНЦЕВСКИХ ОТЛОЖЕНИЙ СЕВЕРА ЗАПАДНОЙ СИБИРИ

Материалами для проведения гранулометрических, минералогических и петрографических исследований послужили керны скважин (сборы В. И. Гудгной в 1959—1962 гг.). Эти скважины были пройдены Ямало-Ненецкой геологоразведочной экспедицией Тюменского геологического управления по профилям (рис.) р. Щучья — Новый Порт, Салехард — Яр-Сале, Мужи — Тильтим, Полуй — Надым — Пур — Таз. Кроме того, был использован крен скважин Большехетской площади (сборы С. Л. Троицкого).

При изучении пород в прозрачных шлифах особое внимание мы старались обращать на петрографический состав галечно-гравийного и грубопесчаного обломочного материала, входящего в состав доказанцевских пород. Совокупность данных, полученных в результате таких наблюдений, сведена в таблице, в которой пункты наблюдений, в данном случае скважины, размещены в направлении с запада на восток (слева направо). При этом, выявилось вполне определенное закономерное расположение обломков пород по петрографическому составу на профиле от Зауралья до бассейна Енисея. Закономерности эти следующие.

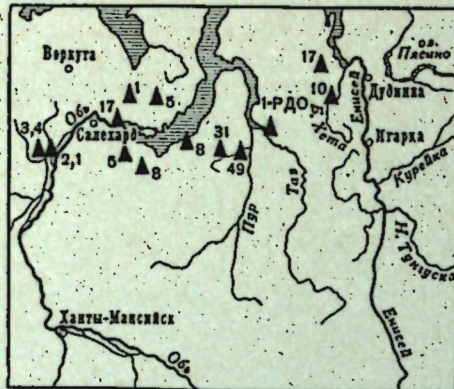
В районе Мужи — Тильтим основная часть гравийно-галечного материала представлена бурыми тонкоотмученными монтмориллонитовыми (?) глинами и глинами тонкочешуйчатыми, гидрослюдисто-хлоритовыми с кремпистыми органическими остатками. Подчиненная часть обломков сложена глинами тонкослоистыми с мелкими растительными остатками, опоковидными глинами, глинистыми алевролитами, известковистыми песчаниками, глауконит-кварцевыми песчаниками с опаловым цементом, опоками, кристаллическими известняками, окремненными сланцами, кварц-хлоритовыми и кварц-эпидотовыми породами и кислыми изверженными породами. Нужно сказать, что весь этот комплекс обломков определен в породах скв. 2. Лишь редкие обломки пород были встречены в отложениях разреза скв. 1 данного района, среди них были определены глины гидрослюдисто-хлоритовые, аналогичные часто встречающимся глинам в породах скв. 2, и редкие обломки диатомитов и кварцитов.

Приведенный комплекс петрографических разностей пород в основном группируется за счет разрушения и переотложения коренных меловых морских терригенных толщ. Резко подчиненная часть обломков попала сюда с возвышенностей Уральского хребта, где была связана с метаморфическими комплексами пород и с интрузиями кислого состава.

В направлении к северо-западу, в районе Яр-Салинского профиля, по данным изучения обломочного материала пород разреза скв. 17, петрографический состав гравийно-галечного и грубопесчаного материала почти совершенно иной. Здесь превалируют опоки и углистые сланцы. Более редки алевролиты глинистые, алевролиты с глауконитом и кремневой микроорганикой с опоковидным цементом, мелкозернистые и кри-

Таблица

Петрографический состав гравийно-галечного и крупнопесчаного материала
в доказанцевских отложениях севера Западной Сибири



Обзорная карта с расположением буровых скважин

сталические известняки, кварцы, кремнистые и кремнисто-серитовые сланцы, слюдяные сланцы, эпидотизированные породы, кислые и основные изверженные породы. Основными источниками споса, как об этом свидетельствует перечисленная ассоциация пород, были меловые морские отложения и палеозойские угленосные толщи Урала. Меньшее значение, как источников споса, принадлежало массивам, сложенным древними метаморфическими сериями пород, а также изверженным породам.

Петрографический состав грубообломочного материала в доказанцевских отложениях скв. 1 и 5 профиля р. Щучья — Новый Порт к северу от Яр-Салинского профиля более разнообразен, а сам материал более обилен и является единым комплексом в исследованном районе. По ряду петрографических разностей он тесно связан с Яр-Салинским комплексом пород. Здесь на первом месте по встречаемости находится целая группа пород, имеющая местное происхождение из меловых коренных толщ. Сюда относятся бурые монтмориллонитовые (?) тонкие глины, гидрослюдистые алевритовые глины с глауконитом, опоковидные глины, кварц-глауконитовые алевролиты с хлорит-глинистым цементом и опоки. В значительном количестве представлены тонкочешуйчатые алевритистые глины и углистые сланцы. Более редкими можно считать алевролиты глинистые с глауконитом, алевролиты с глауконитом и кремнистыми органическими остатками с опоковидным цементом, опоковидные глины, кварцевые песчаники с глинистым цементом, глауконит-кварцевые песчаники с опаловым цементом, шламмовые диатомиты, тонкозернистые известняки, сидеритовые породы, целый ряд метаморфических сланцев и некоторые изверженные породы.

Из перечисленного видно, что основная часть грубообломочного материала произошла в результате разрушения и переотложения весьма разнообразных песчано-алевритово-глинистых пород, диатомитов и опок мела и палеогена. Меньшее значение при этом имели области развития уральских метаморфических, угленосных и изверженных пород.

По данным, приведенным в таблице, можно проследить, что район Яр-Салинского профиля увязывается по составу обломочного материала с районом профиля р. Щучья — Новый Порт; такие разности пород, как опоки, углистые сланцы, метаморфические сланцы, известняки и некоторые другие типы пород, являются общими для названных районов.

Район р. Ярудей охарактеризован нами данными скв. 5. Грубообломочный материал здесь редок; он весьма беден и в качественном отношении. Здесь встречены в небольших количествах лишь тонкочешуйчатые алевритистые глины, глинистые алевролиты с глауконитом, кварцевые песчаники с глинистым цементом, опоки, диатомиты с глауконитом и кислые изверженные породы.

За исключением последней разности, все перечисленные породы своим происхождением обязаны разрушению и переотложению местных коренных пород мела и палеогена. Все породы, кроме диатомитов с глауконитом, встречены были в породах более западных скважин. Приходится констатировать, что в данный район грубый обломочный материал с Урала практически не поступал.

Петрографический тип породы

	Скв. КП-2 Мунки — Тильтак	Скв. 1 КП Мунки — Тильтак	Скв. 17, Яр-Сале	Скв. 1, р. Щучья — Новый Порт	Скв. 5, р. Щучья — Новый Порт	Скв. 5, р. Ярудей	Скв. 8, р. Ильда — Самбури	Скв. 31, р. Ильда — Самбури	Скв. 49, р. Ильда — Самбури	Скв. 1-РДО, с. Та- зовское	Скв. 17, Большех- ская площадь	Скв. 10, Большех- ская площадь
Глины	Mи	P	P	Mи			Mи		Mи	P	P	
бурые, тонкие, монтмориллонитовые (?) (меловые)				Mи			Mи		Mи			
тонкослоистые с. р. о. (меловые)		R	Ob	P		Ob	Mи	Mи	Mи	Mи	Mи	Mи
темные, полупрозрачные, богатые органикой							Mи	Mи	Mи	Mи	Mи	Mи
тонкочешуйчатые, алевритистые							Ob	Ob	Ob	Ob	Ob	Ob
тонкие с кремнисто-органическим детритом и гумусом							Mи	Mи	Mи	Mи	Mи	Mи
гидрослюдистые кристаллические (палеогеновые)							Mи	Mи	Mи	Mи	Mи	Mи
гидрослюдистые алевритовые с глауконитом							Mи	Mи	Mи	Mи	Mи	Mи
тонкочешуйчатые гидрослюдисто-хлоритовые с кремнистыми органическими остатками	Mи	P		Mи								P
опоковидные				Ob	Mи		Ob	Ob	Ob	Ob	Ob	
Алевролиты	Mи	P	P	Mи		Ob	P	Mи	Ob	P	Ob	P
с глинистым наполнителем												
с глауконит-кремневой органикой, опоковидные												
с глауконитом, с глинистым цементом												
кварц-глауконитовые с хлорит-глинистым цементом												P
с окисленным сидеритовым цементом												
Песчаники							P	P	P	P	P	P
кварцевые с тонким глинистым цементом												
глауконит-кварцевые с пиритом и спикулами губок с известковистым цементом												
с кремнисто-органическим цементом												
глауконит-кварцевые с опаловым цементом	P		Ob	P	Mи	P	Mи	Mи	Mи	Mи	Mи	P
Опоки												
Диатомиты с глауконитом, чистые	P			P		P	P					
Диатомиты шламмовые												P

Таблица (окончание)

Петрографический тип породы	Скв. КП-2 Муки — Тильтым	Скв. 1 КП Муки — Тильтым	Скв. 17, Ир-Сале	Скв. 1, р. Щучин — Новый Порт	Скв. 5, р. Щучин — Новый Порт	Скв. 5, р. Ярудей	Скв. 8 р. Ныда — Самбург	Скв. 31 р. Ныда — Самбург	Скв. 49, с. Тазовское	Скв. 17, Большехет- ской площадь	Скв. 10, Большехет- ской площадь
Известияки	P	P	P	P	P	P	P	P	P	P	P
тонкозернистые											
мелкозернистые											
кристаллические											
Сидеритовые породы											
Кремнистые породы											
Кварциты, микрокварциты											
Сланцы											
кремнисто-серicitовые											
глинисто-серicitовые											
глинисто-хлоритовые											
глинистые											
окремнистые											
углистые											
мусковитовые											
Породы											
эпидотизированные											
хлоритизированные											
карбонатизированные											
лимонитизированные											
разрушенные неопределенные											
кварц-хлоритовые											
эпидот-хлоритовые											
кварц-эпидотовые											
Эффузивы											
Основные изверженные породы											
Туфы											
Кислые изверженные породы	R	R	R	R	R	R	R	R	R	R	R

Примечание. Ми — много, Об — обычно, Р — редко, мало.

Обратимся к фактическому материалу профиля Ныда — Самбург — Тазовское. Согласно данным таблицы, в породах скв. 8 и 31, подобно району р. Ярудей, почти полностью отсутствуют обломки уральского происхождения. Довольно обильный обломочный материал в разрезах этих скважин принадлежит палеогеновым отложениям — гидрослюдистым кристаллическим глинам и опокам. Обычны тонкочешуйчатые алевритистые глины и гидрослюдистые алевритовые глины с глауконитом. Редкие обломки представлены глауконит-кварцевыми песчаниками с пиритом.

Из древних пород, принесенных издалека, встречаются редкие обломки кварцитов и хлоритизированных пород.

Мы убеждаемся в том, что ассоциация петрографических типов пород здесь своеобразна, но по таким породам, как опоковидные глины и опоки, она имеет общие черты с ассоциациями пород более западных скважин.

При движении дальше на восток, к скв. 49, пробуренной в Самбурге, мы видим как разнообразится и обогащается состав грубообломочного материала доказащевских отложений. К комплексу петрографических типов пород, входящих в состав отложений данного профиля, распространенных западнее скв. 49, вновь прибавилось значительное количество обломков диатомитов с глауконитом, возросло содержание обломков глини, богатых остатками кремневой микрофлоры, и опоковидных глин. В исключительных количествах вновь появились обломки алевритов глинистых с глауконитом, алевролитов с сидеритовым цементом, песчаников с кремнисто-органическим цементом.

Все эти типы пород характеризуют собой состав коренного ложа, сложенного морским палеогеном в районе, прилегающем к Самбургу.

К перечисленному комплексу палеогеновых пород в отложениях той же скв. 49 вновь добавился обломочный материал из областей сноса, сложенных кремнистыми сланцами, микрокварцитами, кремнисто-серитовыми сланцами, глинистыми и эпидотизированными сланцами и эфузивами.

В породах разреза скв. 1-РДО, пробуренной в с. Тазовском — самом восточном пункте рассматриваемого профиля, петрографические типы пород грубообломочного материала имеют много общего с комплексом пород других скважин профиля. В прилагаемой таблице это можно проследить вполне отчетливо. Наряду с этим можно увидеть и новые особенности петрографической характеристики обломков. Так, здесь в большом количестве появились обломки из темных полупрозрачных глин, богатых органикой, не встречающихся в более западных пунктах профиля. Наоборот, некоторые типы пород здесь исчезли, например, опоки, диатомиты, глины с кремнистыми органогенными остатками и некоторые более редко встречающиеся типы пород. Увеличилось содержание обломков метаморфических пород и эфузивов. Вновь появляются обломки глинистых алевролитов, алевролитов с глауконитом и кремневыми органогенными остатками, имеющими опоковидный цемент, тонкозернистые известияки и основные изверженные породы.

Комплекс пород, представленный грубообломочным материалом в санчуговских отложениях Большехетской площади по разрезам скв. 17 и 10, свидетельствует о наиболее разнообразном петрографическом составе гальки, гравия и грубого песка (см. табл.). Эти пункты являются самыми восточными во всем рассматриваемом профиле. Разнообразие состава обломков сопровождается одновременно повышением их содержания в породах скважин. Кроме того, данные таблицы убеждают нас в том, что комплекс петрографических типов пород этих скважин — единый и отличается только в деталях.

Некоторые типы пород связывают данный комплекс обломочного материала с таким же комплексом по скв. 31 и 49, рассмотренным ранее.

Наиболее характерные черты петрографического состава галечно-гравийно-грубо песчаного материала в породах скв. 10 и 17 следующие.

Резкое сокращение комплекса обломков местного происхождения на счет переотложения коренных пород района. Они представлены большим количеством обломков гидрослюдистых морских палеогеновых глин, характерных для пород всего профиля Ныда — Самбург — Тазовское, большим количеством тонкочешуйчатых алевритистых глин, редкими обломками темных полупрозрачных глин, богатых органикой (последнюю очень часто встречаются в породах скважины 1-РДО, с. Тазовское), редкими обломками некоторых других глин и опок. Этим ограничивается набор пород местного происхождения.

Большое количество обломочного материала представлено допалеозойскими кремнистыми сланцами, кварцитами и микрокварцитами, палеозойскими мелкозернистыми известияками, а также разнообразным ком-

плексом основных изверженных пород пермо-триасового возраста. В несколько меньшем содержании эту группу пород дополняют хлоритизированные, лимонитизированные и неопределенные разрушенные обломки. К более редким относятся обломки тонкозернистых известняков, кристаллических известняков, сидеритовых пород, кремнисто-серцитовых, глинисто-серцитовых, глинисто-хлоритовых и глинистых сланцев, мусковитовых сланцев, эпидотизированных и карбонатизированных пород, кварц-хлоритовых, эпидот-хлоритовых и кварц-эпидотовых пород. Большая часть редко встречающихся типов пород появляется здесь впервые, особенно в породах скв. 10 самой восточной из рассмотренных скважин. Из данных приведенной таблицы ясно видно, как в направлении с запада на восток по профилю Ныда — Самбург — Тазовское к скв. 10Бх и 17Бх обломочный материал из группы местных осадочных пород палеогена и мела вытесняется пермо-триасовыми изверженными и допалеозойскими метаморфическими породами и частью палеозойскими карбонатными отложениями.

В распределении лаборов петрографических типов пород, характеризующих гальку, гравий и грубые песчаные зерна в доказанцевских отложениях, усматривается определенный порядок. Комплексы пород смешают друг друга в широтном направлении от Урала до Енисея вполне закономерно в зависимости от смысла питающих провинций. В западной половине профиля развиты области сплоса, представленные разнообразным комплексом мезозойских пород. На втором месте стоят возвышенные области Урала с древнейшими метаморфическими толщами.

Начиная с бассейна р. Ныды, постоянно парадая к востоку, питание грубым обломочным материалом осуществляется уже за счет окраин Средне-Сибирской платформы и возвышенностей Таймыра. Большая роль при этом принадлежит также палеогеновым и меловым коренным отложениям района, но значительно отличающимся по петрографическим свойствам от одновозрастных толщ западной части изученного профиля. В отличие от названных выше областей сплоса, в направлении с запада на восток поступление обломочного материала из меловых и палеогеновых областей питания значительно сокращается.

В распределении грубообломочного материала по разрезам изученных скважин можно выявить следующие закономерности:

а) по данным скв. 5 профиля р. Щучья — Новый Порт грубообломочный материал явно тяготеет к толще с глубины 177 до 263 м, где породы характеризуются отсутствием сортированности и слоистости. Коэффициент сортированности S_0 в этих породах весьма показателен. Он измеряется величинами от 4 до 10, что соответствует отложениям ледникового происхождения и повторяет величины S_0 , свойственные моренным отложениям, развитым в среднем течении Енисея. Микрофауна по разрезу скважины единична.

б) по данным скв. 8 профиля Ныда — Самбург развит грубый материал, в основном песчаной размерности; в разрезе не дает больших скоплений. Породы характеризуются различной степенью сортированности. Мусорные породы с $S_0 =$ от 3,5 до 4,2 переслаиваются со средне- хорошо сортированными разностями алеврит-глинистых пород. Микрофауна практически отсутствует.

в) такие же соотношения пород наблюдаются по разрезам скв. 49 и 1-РДО того же профиля. Совершенно несортированные прослои пород выявлены в скв. 49 на глубинах 35 м и 128—130 м, где S_0 достигает 5,46 и 4,72, а в скв. 1-РДО — на глубине 75,5 м и 108,7—112 м, где коэффициент S_0 в породах равен 3,24—4,50. В скв. 49 фауна отсутствует, а в скв. 1-РДО встречается весьма редко.

г) несортированные и весьма слабо сортированные разности пород — весьма частое явление для доказанцевских пород скв. 17Бх. Грубообломочный материал в большом количестве встречается почти по всему

разрезу, за исключением слоев с морской фауной. Коэффициент сортированности наибольший ($S_0 = 3,9—4,43$), характерен для пород на глубине 59,7—79 м. По-видимому, эти несортированные и слабосортированные пачки пород обвязаны своим формированием размывом и переотложением более древних ледниковых накоплений. Слабо сортированные породы с S_0 от 3,05 до 3,49, кроме того, залегают в низах разреза на глубине 94—120,65 м.

*

Нам сейчас ясно, что закономерное распределение петрографических разностей галечно-гравийно-грубообломочного материала пород на большой, хотя и узкой, территории от Урала до Енисея может служить доказательством невозможности приноса этого материала только айсбергами или плавающими льдами. В последнем случае состав обломков должен был бы подвергаться в полной мере случайному скоплению петрографических типов пород, в особенности на участках, удаленных от коренных выступов.

Нам также представляется, что в бассейне осадконакопления большую роль играли местные источники питания обломочным материалом, которые были обусловлены весьма расчлененным дочетвертичным рельефом с отдельными положительными структурами, сложенными меловыми и палеогеновыми толщами. Они могли служить длительное время источниками питания, причем, для некоторых территорий — единственными.

Материалы по геологическому строению и тектонике северных районов Западной Сибири свидетельствуют о том, что в настоящее время существуют выходы меловых и третичных отложений на земную поверхность. Так, в свое время мы имели возможность исследовать литолого-минералогический состав меловых и палеогеновых отложений, выходящих в бассейнах рек Малой и Большой Хеты — левых притоков Енисея, — разрезающих Большехетское поднятие. Здесь выступают морские кампан-маастрихтские пески и песчаники, а также континентальные угленосные песчаные горизонты датского яруса — палеоцена. Песчано-глинистые отложения датского яруса — палеоцена известны в естественных выходах также по среднему течению р. Таз, в бассейнах рек Тольки и Ратты — левых притоков р. Таз.

Третичные отложения — опоковидные глины — известны в устье р. Ныды, в районе озера Лазаль-ту (бассейн р. Тольки) и других местах; здесь они обогащены кремневыми скорлупками диатомовых и обломками спикул тубок, содержат аутогенный глауконит и являются типичными морскими образованиями.

Такие выступы дочетвертичных пород служат и в настоящее время источниками питания для современных аллювиальных осадков, создавая в них своеобразные терригенно-минералогические провинции, резко отличающиеся от провинций, формирующихся в значительной мере за счет денудации траппов Сибирской платформы.

Нам совершенно ясно, что процесс осадконакопления был чрезвычайно сложным. В нем несомненно играли роль как процессы ледникового накопления материала, так и процессы морской седиментации.

Сложнее решить вопрос о взаимоотношении тех и других явлений во времени. Для решения этой задачи нужны еще многие и многие факты, которыми в настоящее время мы не располагаем. В частности, необходимо расширить проводимые исследования на большие территории севера, нежели это выполнено до сих пор.

Судя по некоторым данным, мы приходим к предварительному заключению о том, что для северо-западных районов Сибири ледниковые и морские фации отложений формировались последовательно с преобладанием первых в пизах доказанцевской серии.

ЛИТОГЕНЕТИЧЕСКИЕ ОСОБЕННОСТИ МОРСКИХ САНЧУГОВСКИХ ОТЛОЖЕНИЙ НА ЕНИСЕЙСКОМ СЕВЕРЕ

На севере Западно-Сибирской низменности в естественных обнажениях и скважинах вскрывается песчано-алевритовая, прослойми содержащая валуны и гальку, плейстоценовая толща, мощностью 100—200 м. Строение и минеральный состав этих отложений, фаунистическая изменчивость, сопутствующие комплексы микро- и макрофауны описаны в многочисленных работах, где широко освещаются и обсуждаются резко отличные и даже противоположные представления о стратиграфии и условиях образования ее отдельных горизонтов.

В настоящем сообщении рассматриваются литогенетические особенности отложений санчуговского горизонта, морское происхождение которого не вызывает сомнений, но стратиграфическое положение остается неясным. Их считают средне-верхнеплейстоценовыми (Сакс, 1953; Троицкий, 1966; Гудина, 1969; Архипов, 1967), среднеплейстоценовыми (Троицкий, 1969) и плио-плейстоценовыми (Загорская и др., 1965; Сузdalский и др., 1967).

Автором изучены естественные обнажения санчуговских отложений по правому берегу Енисея, в районе пос. Усть-Порт (против острова Никитинского, на р. Санчуговке, у Селягинна мыса), у сел Казаццево, Карапул, а также севернее, у пос. Ладыгин яр, в устье р. Яковлевой, у развалин зимовья Пустого, у пос. Кареповское, Воронцово (рис. 1).

Детальный анализ гранулометрического, петрографического, минералогического и химического составов осадков показал, что в плейстоценовом санчуговском море имели место процессы терригениной седimentации. Морские отложения представлены разнообразными песками, алевритами и отчасти глинами. Для того, чтобы выявить гранулометрические типы пород морских санчуговских отложений был изучен гранулометрический состав более 200 образцов пород. Разделение этого множества гранулометрических данных на типы пород с учетом процентного содержания всех выделенных фракций было проведено на электронно-счетной машине с помощью метода распознавания образов (Елкина и др., 1967). В результате было выделено шесть гранулометрических типов пород, состоящих из 15 подтипов (табл. 1).

Первые три типа включают пески средне-, мелко- и тонкозернистые, в основном хорошо сортированные. Медианный размер зерен (M_d) изменяется от 0,2 до 0,05 мм, коэффициент сортировки (S_o) соответственно — от 1,41 до 2,81. К четвертому типу отнесены алевриты, имеющие преобладающий размер зерен 0,05—0,01 мм, хорошо и среднесортированные с коэффициентом сортировки (S_o), равным 2,05—3,74. Пятый тип пород образуют плохо сортированные песчано-глинистые алевриты с характерной двугорбой кривой распределения фракций или примерно равным содержанием (20—25%) фракций, размером 0,1—0,05—0,01 мм. Для них нельзя выделить преобладающий размер зерен; средний диаметр частиц (M_d), равный 0,05 мм, становится формальной величиной,

а коэффициент сортировки изменяется от 3,59 до 4,92 и даже 6. Шестой тип представлен тонкими глинами ($M_d = 0,001$, $S_o = 1,45$) и алевритистыми глинами ($M_d = 0,004$, $S_o = 4,15$).

Среди санчуговских отложений широко развит четвертый тип пород — алевриты. Большой интерес с точки зрения условий формирования представляет пятый тип пород — несортированные песчано-глинистые алевриты, которые слагают многие типичные санчуговские разрезы естественных обнажений и прослеживаются в верхней части разрезов скважин в районах Сопочной Карги, Усть-Порта, рек Большой и Малой Хеты, Дудинки. Пески образуют многочисленные прослои в нижней и средней частях санчуговского горизонта, в некоторых разрезах (Усть-Порт, Пустое, Кареповское) они сохранились от размыва в верхах санчуговского горизонта. Прослон тонких глин в санчуговских отложениях встречаются редко.

Примеры последовательности и сочетания выделенных типов пород в разрезах показаны на профиле (рис. 2) и приведены при описании отложений района Усть-Порта и зимовья Пустого (Сухорукова и Гудина, 1969).

В соответствии с гранулометрическим составом пород находятся их текстурные особенности. Хорошо сортированные пески, алевриты и глины обладают разнообразными типами слоистости: косой, тонкой линзовидной, горизонтальной. Плохо сортированные песчано-глинистые алевриты всегда неслоистые, имеют характерную оскольчатую отдельность. Микроструктура этих пород также неслоистая, здесь беспорядочно распределены и перемешаны частицы всех размерностей.

Важной структурно-текстурной особенностью неслоистых несортированных алевритов пятого типа является правиль, галька и валуны, которые расположены послойно, беспорядочно рассеяны или образуют линзы. Количество обломочного материала, подсчитанное при полевых описаниях, невелико и изменяется в пределах 1—2 или 5%, что соответствует 15—100 кг/м³ породы. Валуны и галька представлены основными породами трапповой формации Средне-Сибирского плоскогорья — долеритами, базальтами (80—90%) и шалеозойскими и мезозойскими осадочными породами (10—20%): песчаниками, кварцитами, кремнистыми сланцами, обломками угля, окатышами глины.

Минеральный состав песчано-алевритовой терригениной составляющей санчуговских пород (Сакс, 1953; Загорская и др., 1965; Шумилова, 1968; см. статью Ф. С. Бузулукова в настоящем сборнике) очень характерен для плеистоценовых отложений Енисейского севера. Легкая фракция представлена кварцем, большим количеством полевых шпатов.

Тяжелая фракция сложена преимущественно цирконами, много эпидота, значительное количество роговой обманки, ильменита.

Изучение глинистых минералов, проведено М. Ф. Соколовой и С. С. Сухоруковой, с помощью рентгеноструктурного и химического ана-

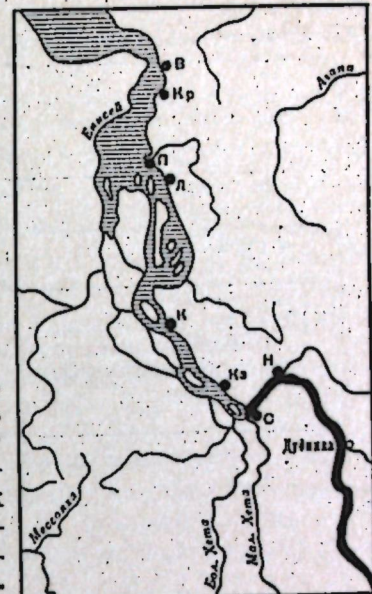


Рис. 1. Схема расположения изученных разрезов

В — Воронцово,
Кр — зимовье Кареповское,
П — зимовье Пустое,
Л — Ладыгин яр,
Н — Карапул,
Ка — Казаццево,
С — Селягин мыс,
Н — Никитинский яр

Таблица 1

Гранулометрические типы пород санчуговского горизонта Усть-Енисейского района

Группа пород	Тип породы и название	Преобладающая фракция, Md / So	Местонахождение данного типа пород
Пески	Ia. Песок среднезернистый	0,25 1,41	Встречены прослойми в алевритах Никитинского разреза, почти целиком слагают разрез Кареповский
	II. То же, плохо сортированный, со значительной примесью тонкого песка	Нет 0,20 5	Обр. 4/13, встречен на границе между тонкими глинами и несортированными алевритами в Никитинском разрезе
	III. Песок мелкозернистый	0,1 1,3	Слагает песчаный слой в основании Никитинского разреза, встречен в горизонтах с фауной <i>Portlandia arctica</i> у зимовья Пустого в разрезе под триангуляционным пунктом 46,7 м. В Кареповском разрезе слагает линзы
	IIIa. Песок тонкозернистый, очень хорошо сортированный	0,05 2,05	Встречен в прослоях Никитинского разреза и летних прослоях ленточно-слоистой толщи разреза у зимовья Пустого
	IIIb. То же, среднесортированный	0,05 2,81	Наблюдаются в верхних частях разрезов Никитинского, Ладыгина яра и др.
	IVa. Алеврит крупный, очень хорошо сортированный	0,01 2,05	Встречен в разрезе Селякии мыс, очень широко развит в слоистых отложениях Кауала, в зимних прослоях ленточно-слоистой толщи зимовья Пустого
	IVb. Алеврит крупный, сильно глинистый	0,01 3,3	Слагает отложения Никитинского разреза, обнажения Селякии мыс, Кауул
	IVc. Алеврит крупный с примесью тонкого песка	0,01 2,45	В прослоях Кареповского разреза
	IVd. То же, с большой примесью тонкого песка	0,01 3,74	Встречен в обнажении Селякии мыс, зимовье Пустое
	Va. Алевро-песок, равное количество крупного алеврита и тонкого песка	Нет 0,04 2,99	Встречен в обнажениях Кауул, Никитинский яр, зимовье Пустое
Алевриты	Va. Алеврит песчано-глинистый, очень плохо сортированный	» 0,05 3,29	Слагает типичные санчуговские отложения в стратотипическом разрезе на р. Санчуговке (обн. 29, В. Н. Сакс), в Никитинском разрезе и др.
	Vb. Алеврит с большой примесью песка	» 0,05 4,92	Встречен в обнажении Селякии мыс

Таблица 1 (окончание)

Группа пород	Тип породы и название	Преобладающая фракция, Md / So	Местонахождение данного типа пород
Глины	Vla. Глина хорошо отмученная	0,001 1,45	Прослои в отложениях Никитинского разреза и Селякина мыса
	Vlb. Глина алевритистая	0,005 4,15	То же

лизов показало, что в районе Усть-Порта они представлены главным образом монтмориллонитом с небольшой примесью гидрослюды, хлорита, каолинита. В то время как в более северных районах (зимовье Пустое, Кареповское, Воронцово) в глинистой фракции морских отложений преобладает гидрослюда. Такое распределение глинистых минералов по площади связано вследствие разной гидрофильности монтмориллонита и гидрослюды с разными глубинами водоема и не противоречит представлению о их обломочном происхождении.

Приведенные факты характеризуют структуру, текстуру и состав основного терригенного материала пород санчуговского горизонта. Петро-графо-минералогическое изучение шлифов в совокупности с количественным определением карбонатности, аморфного кремнезема, органического вещества и форм железа показало, что санчуговские отложения содержат очень небольшой (количественно и качественно) комплекс аутигенно-диагенетических минералов.

Отложения практически бескарбонатны. Содержание CO_2 изменяется от 0,11% в песках и песчаных алевритах до 0,27—0,70% в несортированных песчано-глинистых алевритах и достигает максимальных значений, равных 0,87—1,36%, в глинах. В шлифах видно, что карбонаты представлены редкими неправильными зернами кальцита, ромбиками доломита и сидерита в виде тонкозернистых скоплений, неправильных зерен, розеток. Многие зерна кальцита покрыты лимонитовыми корочками. Совместное нахождение этих минералов, требующих различных условий образования, особенности морфологии зерен позволяют думать об обломочном происхождении кальцита и доломита и диагенетическом происхождении тонкозернистых скоплений и розеток сидерита.

Составляя ничтожную долю породы, карбонаты, как правило, не образуют заметных скоплений в морских алевритеах санчуговской толщи. Находки глинисто-кальцитовых конкреций (при содержании углекислоты в породе около 2% и немного больше) приурочены главным образом к сильно опресненным отложениям озерного типа, примером которых являются горизонтальнослоистые алевриты Селякина мыса.

Содержание аморфного кремнезема, определенное в пятипроцентных содовых вытяжках — небольшое и колеблется в пределах 0,01—0,98%. В шлифах наблюдается очень небольшое количество спикул губок, диатомей с опаловым скелетом, которые большей частью переотложены из палеогеновых пород и поэтому имеющееся небольшое количество аморфного кремнезема имеет обломочное происхождение.

При изучении шлифов, а также тяжелой и легкой фракций морских плейстоценовых отложений севера Сибири были обнаружены расщепленные зерна глауконита, которые, по мнению некоторых исследователей (Судзальский, Комарова, 1964; Загорская и др., 1965; Гольберг и др., 1965), являются аутигенным новообразованием. Однако определение абсолютного возраста глауконита, выделенного из санчуговских от-

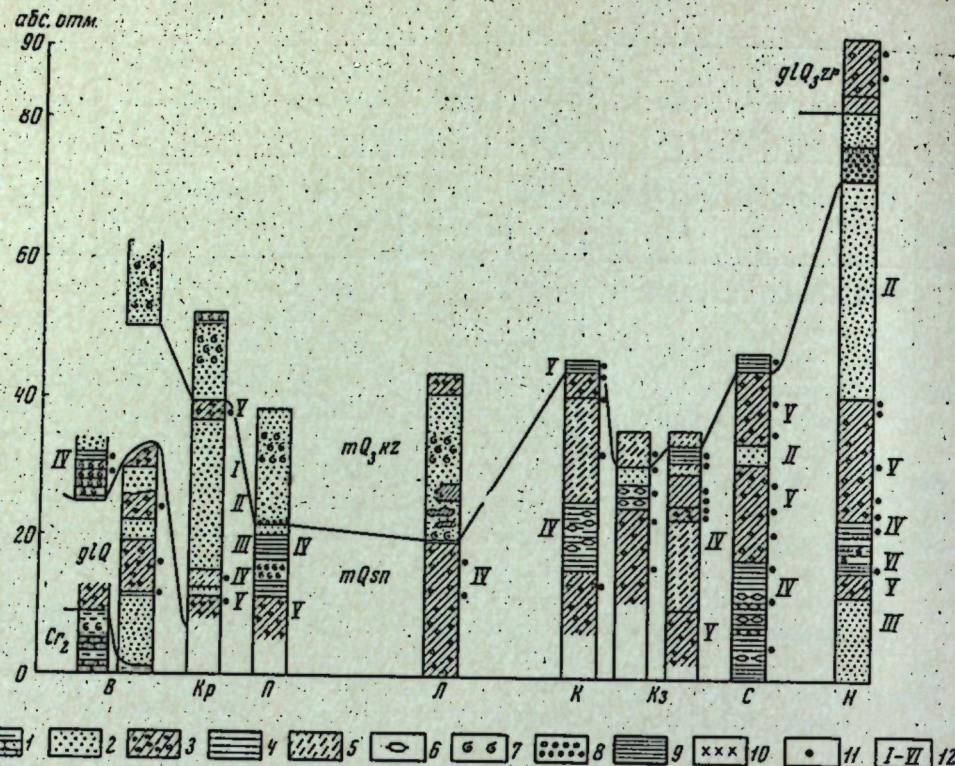


Рис. 2. Схема разрезов санчуговского горизонта Усть-Енисейского района

- 1 — песчаники, алевролиты;
- 2 — песок;
- 3 — алеврит неслоистый с галькой и валунами;
- 4 — алеврит горизонтальнослоистый;
- 5 — алеврит песчанистый;
- 6 — глинисто-карбонатные конкреции;
- 7 — фауна;
- 8 — галечник;
- 9 — глина;
- 10 — растительный дегрит;
- 11 — точки изучения глинистых минералов;
- 12 — I—IV — типы пород (см. табл. 1).
- B, Kr, П, Л, К, Кз, С, Н — обозначение разрезов; см. на рис. 1

ложений обнаружения Ладыгина яра в низовье Енисея, который оказался равным 81 млн. лет, позволило установить его обломочное происхождение из верхнемеловых отложений Усть-Енисейской впадины (Фирсов, Сухорукова, 1968).

Морские осадки содержат мало органического вещества. Распределение его четко согласуется с гранулометрическим составом пород от 0,29% в песках до 1,64% в глинах. Каких-либо прослоев и горизонтов с резко сниженным содержанием органического вещества, которое, возможно, отвечало бы периодам похолодания, не наблюдается. Некоторые связи наблюдаются между характером органического вещества и типом породы. Так, горизонтальнослоистые, хорошо сортированные алевриты содержат тонкие прослои растительного дегрита. С несортированными неслоистыми алевритами ассоциируются беспорядочно рассеянный растительный дегрит, обломки угля, скопления гумусового вещества. Общее количество органического вещества немногим выше, чем в горизонтальнослоистых алевритах, обогащенных прослойками растительного дегрита.

Содержание железа в породах санчуговской свиты колеблется в широких пределах в соответствии с гранулометрическим составом пород, увеличиваясь с возрастанием содержания глинистой фракции (табл. 2). Песок мелкозернистый имеет 2,37% железа валового, песок мелкозерни-

стый, алевритистый, содержит его 3,37%. В алеврите валовое железо повышается до 4,8%. Наибольшее количество валового железа, равное 7,3%, отмечается в сильно глинистом алеврите.

Определение содержания окисного, закисного, пиритного и обломочного железа, по методике Н. М. Страхова и Э. С. Залманзона (1955), показывает большую долю (30—40%) железа обломочного происхождения, входящего в состав терригенных минералов. Количество его возрастает при приближении к уступам Средне-Сибирского плоскогорья до 50% и более. Остальные 70—50% от валового количества железа составляет реакционноспособное закисное и окисное железо, легко растворимое в 2% HCl. Концентрация закисного железа почти во всех выделенных типах пород изменяется в небольших пределах от 1 до 1,5%, иногда до 2% от веса породы или от 19 до 50% от валового железа породы.

Колебания содержания окисного железа происходят в соответствии с гранулометрией пород в пределах 0,5% в песках, 3% в глинах от породы или 11—40% от валового железа породы. Это главным образом гидроокислы железа, которые проникают в глинистое вещество породы, окрашивая его в бурый цвет. Содержание окисного железа обуславливается, помимо гранулометрического состава, количеством органического вещества. С увеличением органического вещества содержание окисного железа падает. Это отчетливо наблюдается на примере пород однотакового гранулометрического состава, например, в сильно глинистых алевритах Усть-Портовского района.

В песчаных и алевритовых породах отношение $\text{Fe}^{''}/\text{Fe}^{''}$ поднимается до 5—9. В сильно глинистых алевратах и глинах это отношение <1. Большое количество окисного железа в глинистых породах не является результатом окисления в зоне выветривания, так как образцы отбирались из глубоких расчисток, и наблюдается зависимость содержания окисного железа в соответствии с гранулометрией пород и количеством органического вещества (Страхов, 1961). Преобладание окисного железа в глинистых породах скорее связано с первоначальной обогащенностью их гидроокислами железа и слабостью процессов разложения органического вещества в условиях холодного климата и, следовательно, возникающим недостатком энергии для восстановления привнесенного количества гидроокислов железа в закисную форму. В дальнейшем отрицательную роль играла мерзлота, способствовавшая консервированию органического вещества и подавлению восстановительных процессов.

По содержанию валового и реакционноспособного железа санчуговские отложения близки к современным осадкам Карского моря, но железистых и железо-марганцевых конкреций в санчуговских отложениях не найдено.

Содержание пирита, определенное по количеству пиритной серы, в изученных отложениях незначительно — 0,01—0,3%, иногда 0,73—1,55% от веса породы, соответственно относительное количество его изменяется от 2—4 до 10% от валового количества железа. Результаты минералогического изучения дают основание предполагать, что паряду с пиритом-марказитом, представленным округлыми зернами, размером 0,05—0,1 мм, образующими скопления и цепочки, образовавшиеся в раннем диагенезе, присутствуют пирит обломочного происхождения в виде неправильных окатанных зерен песчано-гравийного размера. Минерографическое изучение айшилифов показало полное сходство их строения со строением пиритовых конкреций, извлеченных из подстилающих меловых отложений.

Таким образом, широкий круг минералов — опал, кальцит, доломит, сидерит, арагонит, глауконит, лептохлориты, глинистые минералы, турмалин, пирит, гипс — отнесен к О. В. Сузальским и А. Е. Комаровой (1964) к аутигенным образованиям морских четвертичных отложений,

Таблица 2

Содержание форм железа по типам пород

Тип породы и название	Содержание валового железа в процентах от породы	Формы железа в % от валового железа			
		Fe обл.	Fe'''	Fe''	Fe дигр.
I. Песок среднезернистый	2,20	15	11,3	71	1,36
II. а) песок мелкозернистый	2,18—2,57 2,37 (2)	17—29 24	14—15 14	51—65 58	5,4—2,3 3,5
б) То же	3,07—3,67 3,37 (2)	30	11—11 11	51—52 51	7,5—5,0 6,7
III. а) песок тонкозернистый	2,46—2,88 2,72 (4)	34—36 32	17—22 20	40—49 45	0—3
б) песок тонкозернистый, слабо алевритистый	2,35—4,70 3,71 (4)	29—32 30	22—32 27	41—49 45	2—4 3
IV. а) алеврит	4,36—5,02 4,8 (9)	33—38 35	13—37 25	18—20 19	4—2 3
б) алеврит сильно глинистый	6,64—7,60 7—3 (3)	38—42 40	37—36 36	18—20 19	2—5 3,5
в) алеврит с примесью тонкого песка	3,50—4,25 3,89 (3)	38—43 41	12—19 15	36—45 41	0—4
г) алеврит с большой примесью тонкого песка	4,36—4,50 4,42 (3)	37—36 37	24—31 27	32—37 34	2—5 3,5
V. Несортированные породы:					
а) алеврит песчано-глинистый	2,59—4,98 3,5 (14)	37—44 41	20—27 24	28—33 30	0,5—20 5
б) алеврит песчанистый	2,85—3,48 3,1 (4)	29—33 30	15—14 14	44—47 45	II
VI. Глина	5,98—8 6 (2)	30	33	35	7

Примечание. В числителе — пределы колебаний; в знаменателе — среднее значение; в скобках — число определений.

следует ограничить для санчуговских отложений ширитом-марказитом и сидеритом.

Плейстоценовые санчуговские отложения содержат характерный комплекс гипергенных новообразований. К числу гипергенных минералов можно отнести гипс, который образуется при выветривании ширита.

Химическое определение содержания гипса послойно во многих разрезах Усть-Енисейского района показало его небольшое количество от 0,02 до 0,3% и приуроченность к глинистым прослойкам, обогащенным ширитом.

В шизовых Енисея, на р. Большой Хете, в санчуговских отложениях и синхронных осадках на р. Печоре описаны мелкие и крупные обломки конкреций ширита, замещенные по периферии гипсом или полностью превратившиеся в радиально-лучистые стяжения гипса. По мнению автора, такие выделения являются не сингенетичными, как указывали некоторые исследователи (Данилов, 1963; Сузальский, 1965), а вторичными новообразованиями.

Вокруг выветривающихся ширитовых конкреций часто наблюдаются новообразования ярко-желтого порошкообразного минерала — ярозита, подтвержденного рентгенографически.

Свообразным гипергенным новообразованием являются солевые выцветы в естественных обнажениях на поверхности пород. Микроскопическое изучение этих солевых выцветов и сухого остатка водных вытяжек из пород обнаружило в их составе $\text{Na}_2\text{SO}_4 \cdot n\text{H}_2\text{O}$, $\text{CaSO}_4 \cdot n\text{H}_2\text{O}$, изредка NaCl . Химическое определение состава водорастворимых вытяжек из пород указывает на преобладание солей $\text{Na}_2\text{SO}_4 \cdot n\text{H}_2\text{O}$ и сложной смеси бикарбонатов и хлоридов кальция, натрия, магния. Состав катионов следующий: Ca^{+2} от 0,50 до 108 мг/экв, Mg^{+2} — 0,12—0,75 мг/экв, Na^{+} — 0,65—6,31 мг/экв. Состав анионов: CO_3^{2-} — нет, HCO_3^- — от 0,40 до 1,16 мг/экв, Cl^- от 0,22 до 1,99 мг/экв, SO_4^{2-} — от 0,51 до 5,68 мг/экв.

Видимо, выцветы солей являются результатом испарения естественно минерализованной грунтовой воды, которая в условиях вечной мерзлоты, вымораживаясь, образует белесые щеточки по морозным трещинам, а на оттаившем слое пород при высыхании создает выцветы этих солей.

Перечисленные выше особенности структуры, текстуры, состава отложений — такие как терригенность пород, бедность аутогенно-диагенетического комплекса минералов — дают представление об особенностях процесса терригенической седиментации в санчуговском водоеме, которые обусловлены его мелководностью, суровым климатом высоких широт и специфической физико-географической обстановкой санчуговского времени.

Совершенно очевидной особенностью санчуговского водоема является его мелководность, принадлежность к типу платформенных шельфовых морей. Максимальные его глубины, как указывал В. Н. Сакс (1953), видимо, не превышали 200 м. Сравнение гранулометрического состава пород санчуговской толщи с современными осадками Карского моря, приведенное В. Н. Саксом (1951), А. А. Кордиковым (1953), Н. Н. Кулаковым (1961) и иными, показывает их однотипность. Пески и алевриты (первого — четвертого типов) наблюдаются в прибрежной мелководной зоне и на Центральной Карской возвышенности, где глубины достигают 100 м. Вблизи берега Харитона Лаптева, в районе Центральной Карской возвышенности, на краине севере моря на глубинах от 47 до 370 м залегают несортированные песчано-глинистые алевриты, аналогичные санчуговским алевритам пятого типа. Среди санчуговских пород очень редки и малочисленны прослои тонких глин, широко развитых в Новоземельской депрессии и желобах северной окраины Карского моря, где глубина достигает 500—800 м.

Судя по размещению типов пород, относительно глубоководными участками санчуговского водоема были районы Усть-Порта, рек Большой Хета, нижняя Обь, где в отложениях наблюдаются прослои тонких глин и общая большая глинистость. Более мелководными были районы зимовья Пустого (Усть-Енисея). Отложения в этих районах значительно опесчанены. Разными глубинами водоема объясняется различный состав глинистых минералов. Ввиду своей большой гидрофильности монтмориллонит выносится в более удаленные от берега и глубоководные участки водоема (район Усть-Порта, р. Большая Хета). Гидрослюдя, имеющая меньшую гидрофильность и большие размеры частиц, осаждается на более мелководных участках (Усть-Енисея).

Давно доказано, что основная масса осадочного материала поступала в санчуговский бассейн со Средне-Сибирского плоскогорья, огромное влияние которого, как области сноса, восстановлено по преобладанию пироксенов в тяжелой фракции, большому количеству полевых шпатов в легкой фракции и долерит-базальтовому составу валунов и галек. Бедность кремниесиловой основных пород трапповой формации Средне-Си-

бирского плоскогорья обусловила, видимо, низкие содержания аморфного кремнезема в санчуговских отложениях.

Кроме того, формирование осадков происходило при участии подстилающих меловых пород, являвшихся источником рассеянных зерен глауконита и обломков пиритовых конкреций, которые встречаются в санчуговских алевритеах.

У исследователей плеистоценовых отложений севера Сибири не вызывает сомнений представление о суровости климатических условий в период существования санчуговского моря. Доказательство этому — плохая сортированность пород, содержащих валуны и гальку, низкое содержание карбонатов вследствие повышенной растворимости их в холодной воде, бедность аутигенно-диагенетического комплекса. Все эти признаки обра-зуют характерные черты полярного литогенеза, по данным многих исследователей (Кленова, 1948; Страхов, 1961, т. II; Белов, Лапина, 1961; Куликов, 1961), и сближают санчуговские отложения с современными осадками Карского моря. Некоторые различия, например отсутствие в санчуговских отложениях железо-марганицевых конкреций, широко развитых в желобах Карского моря, связано с мелководностью и высокой скоростью осадконакопления в санчуговском море. Можно думать о сходстве температурного режима санчуговского и современного Карского морей и климатических условий их существования. Однако часть исследователей считает возможным усиление суровости климата на сушу до условий оледенения (Попов, 1959; Зубаков, 1967). При этом авторы большое внимание уделяют, обычно, происхождению грубообломочного материала, а в предлагаемой схеме осадконакопления большая роль отводится деятельности шельфовых льдов и айсбергов (Зубаков, 1967). Другая группа исследователей, к которой присоединяется и автор, полагает, что санчуговское море начало существование в период потепления, последовавшего за самаровским оледенением (Сакс, 1953; Троицкий, 1966; Архиопов, 1967). По мнению В. И. Сакса, при максимуме трансгрессии возрастило количество атмосферных осадков, что приводило к усилению тепловой эрозии моренных отложений и, следовательно, к мобилизации большого количества терригенного вещества. В холодное время года море покрывалось льдом, и грубообломочный материал разносился пришайными и речными льдами.

Представление о существовании оледенения в период санчуговской трансгрессии кажется маловероятным. Примеры современных ледниково-морских айсберговых осадков, отложений шельфовых подводных морен указывают на плохую сортировку гранулометрического состава, неоднородность литологии, пятнистость распределения типов пород по площади (Лисицын, 1958). Та часть отложений санчуговского горизонта, которая представлена неслоистыми несортированными песчано-глинистыми алевритами, содержащими лишь 1—5% гравийно-галечниковой примеси, формирование которых связывается с периодами оледенений, сохраняет постоянным свой гранулометрический и литологический состав на большой площади. Поэтому неслоистые несортированные алевриты санчуговского горизонта по своим фациальным признакам не сопоставляются с оледенением. Кроме того, трудно представить мобилизацию ледниками на Средне-Сибирском плоскогорье и Таймыре такого песчано-алеврито-глинистого материала, который содержал лишь 1—5% обломочного материала, к тому же удивительно постоянного в своей несортированности.

Мобилизация такого материала на сушу была возможна, видимо, во время таяния ледника, в период начавшегося потепления и при размыве берегов. Наиболее вероятным примером аналогичных условий может быть северо-восточная часть Берингова моря, где современные осадки представлены несортированными неслоистыми алевритами, материал для образования которых принесен реками из ледниковых областей Аляски.

Своебразие физико-географической обстановки этого района и ее большое влияние на осадкообразование подчеркивает тот факт, как указывает А. П. Лисицын (1966), что реки, текущие из ледниковых областей Аляски, несут $\frac{9}{10}$ всего взвешенного материала, поставляемого в бассейн, и только $\frac{1}{10}$ часть приносится из других областей.

В период потепления, начавшегося вслед за оледенением, создавались аналогичные благоприятные условия для мобилизации и поступления в санчуговское море больших масс терригенного материала в виде грязевых потоков большой плотности. При смешивании с соленой водой они быстро коагулировали без дифференциации частиц по крупности, образуя характерные неслоистые текстуры санчуговских песчано-глинистых алевритов. Высокие скорости осадконакопления, о которых свидетельствует анализ мощностей (Загорская и др., 1965; Сузdalский, 1965) и колебание содержания бора в глинистой фракции (Сухорукова и Гудина, 1969), вполне естественны при таких условиях. Сохранению отложившегося осадка способствовала слабая приливно-отливная и волновая деятельность санчуговского моря, его ледовитость.

Происхождение грубообломочного материала, видимо, связано с ледовитостью санчуговского моря, а не с оледенением суши и с айсбергами. Отмеченное количество обломочного материала ($15-100 \text{ кг}/\text{м}^3$ породы) свободно поднимается и переносится льдом, грузоподъемность которого $300-400 \text{ кг}/\text{м}^3$ (Лисицын, 1966). Среди обломочного материала несомненно морских санчуговских отложений не отмечены валуны таких размеров, для объяснения происхождения которых потребовалось бы присутствие айсбергов.

Распределение обломочного материала по площади также свидетельствует о его ледовом, а не айсберговом, происхождении. Действительно, если принять ледниковое (айсберговое) происхождение обломочного материала, становится логичным, почему в районе Енисейского севера, где можно предположить большую мощность ледников и айсбергов, содержание валунов, гальки и их размеры невелики. Почему нет скопления айсбергового материала в более мелководных районах, например, у зиомья Пустого.

Ледовое происхождение обломочного материала кажется более вероятным. Видимо, берега санчуговского моря, идущие вдоль уступов Средне-Сибирского плоскогорья и гор Бырраинга, были приглубыми, но имели широких пляжей, поэтому не было благоприятных условий для захвата и подъема обломочного материала пришайными и береговыми льдами, который скапливался при размыве морен. Видимо, много обломочного материала приносилось льдами боковых притоков и пра-Енисеем. Несомненно, что новые данные о количественном распределении на площади, сортировке, окатанности грубообломочного материала восстановят более полно пути поступления обломочного материала в санчуговский бассейн.

Изложенный материал приводит к выводу, что характерные черты состава пород санчуговской свиты — терригенност, бедность аутигенно-диагенетическими минералами — объясняются условиями осадконакопления мелководного платформенного моря и суровым климатом высоких широт даже в периоды потепления, когда происходило поступление огромного количества терригенного материала с юга за счет рек, с севера и востока со стороны гор Бырраинга и Средне-Сибирского плоскогорья — материала, мобилизованного тающим ледником.

ЛИТЕРАТУРА

- Архипов С. А.** 1967. Некоторые вопросы стратиграфии четвертичных отложений Западно-Сибирской низменности в связи с ее геологической историей.— В кн.: Материалы Межведомственного совещания по разработке унифицированных и корреляционных схем для Западной Сибири. Новосибирск.
- Белов И. А., Лапина Н. И.** 1961. Донные отложения Арктического бассейна. Л., «Морской транспорт».
- Гольберт А. В., Гудина В. П., Левковская Г. М.** 1965. Некоторые особенности минералогического состава и условий образования морских четвертичных отложений на севере Западной Сибири.— В сб.: Основные проблемы изучения четвертичного периода. М., «Наука».
- Гудина В. П.** 1969. Морской плейстоцен Сибирских равнин. Фораминиферы Енисейского севера. М., «Наука».
- Гудина В. П., Гольберт А. В.** 1969. Стратиграфия морского плейстоцена северной Сибири по фораминиферам.— В сб.: Проблемы четвертичной геологии Сибири. М., «Наука».
- Данилов И. Д.** 1963. Особенности литогенеза мореподобных плейстоценовых отложений востока Большеземельской тундры.— В сб.: Кайнозойский покров Большеземельской тундры, № 6, М., Изд-во МГУ.
- Елкина В. П., Елкин Е. А., Загоруйко Н. Г.** 1967. О возможности применения методов распознавания образов в палеонтологии.— Геол. и геофиз., № 9.
- Загорская Н. Г., Яшина З. И., Слободин В. Я. и др.** 1965. Морские неоген (?)—четвертичные отложения нижнего течения реки Енисея.— Труды НИИГА, вып. 144.
- Зубаков В. А.** 1967. Шельфово-ледниковая формация Западной Сибири.— Бюлл. комисс. по изуч. четв. периода, № 34.
- Кленова М. В.** 1948. Геология моря. М., Учпедгиз.
- Кордиков А. А.** 1953. Осадки Карского моря.— Труды НИИГА, т. 56.
- Куликов Н. Н.** 1961. Осадкообразование в Карском море. Современные осадки морей и океанов.— Труды совещания 24—27 мая 1960. М., Изд-во АН СССР.
- Лапина Н. И., Белов И. А.** 1961. Особенности процесса осадкообразования в Северном Ледовитом океане.— В сб.: Современные осадки морей и океанов. М., Изд-во АН СССР.
- Лапина Н. И., Куликов Н. Н., Семенов Ю. П.** 1965. Значение исследования современных донных отложений Северного Ледовитого океана для познания условий формирования четвертичных отложений Арктики.— В кн.: Основные проблемы изучения четвертичного периода. М., «Наука».
- Лисицын А. П.** 1958. О типах морских осадков, связанных с деятельностью льдов.— Докл. АН, т. 118, № 2.
- Лисицын А. П.** 1966. Процессы современного осадкообразования в Беринговом море. М., «Наука».
- Попов А. И.** 1959. Четвертичный период в Западной Сибири.— В сб.: Ледниковый период на территории Европейской части СССР и Сибири. М., Изд-во МГУ.
- Сакс В. Н.** 1952. Условия образования донных осадков в арктических морях СССР.— Труды НИИГА, т. 35.
- Сакс В. Н.** 1953. Четвертичный период в Советской Арктике.— Труды НИИГА, т. 77.
- Страхов И. М.** 1961. Основы теории литогенеза. Т. II. М., Изд-во АН СССР.
- Страхов И. М. и Залмансон Э. С.** 1955. Распределение аутогенно-минералогических форм железа в осадочных породах и его значение для литологии.— Изв. АН СССР, серия геол., № 1.
- Сузdal'ский О. В.** 1965. О генезисе мореподобных отложений на севере Западно-Сибирской низменности.— Труды Ин-та геол. Арктики, т. 133.
- Сузdal'ский О. В., Комарова А. Е.** 1964. Аутогенные минералы морских послепалеогеновых отложений низовьев реки Енисея.— Уч. записки НИИГА, серия региональная геол., вып. 4.
- Сузdal'ский О. В., Слободин В. Я., Левина Ф. М., Лев О. Э.** 1967. Новая стратиграфическая схема плиоцен-плейстоцена Усть-Енисейской впадины.— Уч. записки НИИГА, серия регион. геол., вып. 10.
- Сухорукова С. С. и Гудина В. И.** 1969. Некоторые условия образования осадков и распределения фораминифер в плейстоцене севера Западной Сибири.— В сб.: Проблемы четвертичной геологии Сибири. М., «Наука».
- Троицкий С. Л.** 1966. Четвертичные отложения и рельеф равнинных побережий Енисейского залива и прилегающей части гор Бирранга. М., «Наука».
- Троицкий С. Л.** 1969. Общий обзор морского плейстоцена Сибири.— В сб.: Проблемы четвертичной геологии Сибири. М., «Наука».
- Фирсов Л. В., Сухорукова С. С.** 1968. О «четвертичном» глауконите мелового возраста в низовьях р. Енисея.— Докл. АН СССР, т. 183, № 4.
- Шумилова Е. В.** 1968. Материалы к литолого-минералогической характеристике четвертичных отложений Усть-Енисейского района.— В сб.: Неогеновые и четвертичные отложения Западной Сибири. М., «Наука».

Ф. С. БУЗУЛУЦКОВ

ЛИТОЛОГО-МИНЕРАЛОГИЧЕСКИЙ СОСТАВ ЧЕТВЕРТИЧНЫХ ОТЛОЖЕНИЙ НИЗОВЬЕВ ЕНИСЕЯ КАК ПОКАЗАТЕЛЬ УСЛОВИЙ ИХ ФОРМИРОВАНИЯ

В 1965 г. автор совместно с С. С. Сухоруковой и Т. П. Левиной проводил изучение четвертичных отложений в низовьях Енисея на участке протяженностью около 200 км между островом Никитинским и пос. Ладыгин Яр. Для литолого-минералогических исследований были избранные наиболее характерные разрезы морских, ледниковых и речных отложений, стратиграфическая принадлежность которых была вполне определенной, а для независимого определения условий их формирования и возраста имелись достаточно представительные сборы органических остатков: раковины морских и пресноводных моллюсков, фораминиферы, а также спорово-пыльцевые спектры и комплексы диатомовых.

Подробно исследованы полевыми и лабораторными методами породы из шести обнажений: на правом берегу Енисея выше пос. Усть-Порт у о. Никитинского (Никитинский яр, обн. 4 и 5), на том же берегу, в 13 км ниже Усть-Порта на Селянином мысе (обн. 20 и 21) и около пос. Ладыгин Яр (обн. 10), а также на р. Малой Хете (обн. 3) в 17 км от устья (или в 1 км ниже впадения в нее р. Подъяха).

Исследованный район представляет собой окраинные части Северо-Сибирской (Таймырской) и Западно-Сибирской низменностей, условно разделенные Енисеем, а по геоструктурному положению расположены в пределах Усть-Енисейской впадины, выполненной огромной толщей рыхлых юрских и меловых отложений, перекрытой четвертичными накоплениями мощностью до 100 м и более.

Рельеф характеризуется обширными возвышенностями и низинами. Возвышенностями образованы холмисто-грядовыми формами рельефа, оставленными последним покровным оледенением. Низины заняты плоскими террасами позднеледниковых водоемов, поймой Енисея и его притоков. Реки прорезают поверхность возвышенностей и пойзин, образуя глубокие долины с многочисленными обнажениями, в которых выходят средняя и верхняя части разреза четвертичной толщи. Ее основание лежит на десятки метров ниже уровня рек. Пять из шести исследованных обнажений вскрывают строение морских и ледниковых четвертичных слоев, слагающих возвышности, лежащие по правому берегу Енисея, и только в разрезе на р. Малой Хете обнажены накопления обширной низины: алювиев, перекрывающая его морена и ленточные глины. Строение четвертичных отложений этого района подробно описано В. Н. Саксом и К. В. Антоновым (1945), В. Н. Саксом (1953), С. Л. Троицким (1966, 1967), В. А. Алексеевым, Н. В. Кипид, О. В. Матвеевой и С. Л. Троицким (1965). Результаты литолого-geoхимических и микроналеонтологических исследований образцов из обнажений Никитинского яра и Селянинина мыса освещены С. С. Сухоруковой и В. И. Гудиной (1969). Общая литологическая характеристика санчуговских отложений (С. С. Сухорукова), палеонтологические данные (Т. П. Левина) и сведения о диатомо-

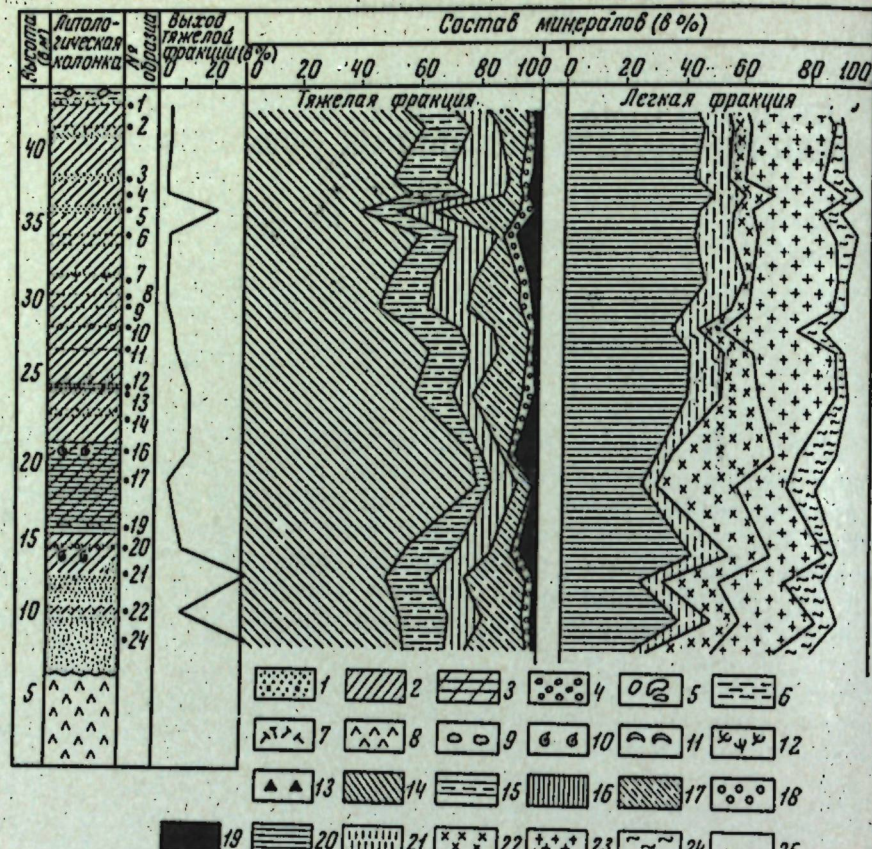


Рис. 1. Распределение минералов в санчуговских отложениях Никитинского яра (обн. 4)

- | | | |
|------------------------|-------------------------------|-----------------------------|
| 1 — песок; | 10 — раковины моллюсков; | 19 — прочие минералы; |
| 2 — алевррит; | 11 — остракоды; | 20 — илар; |
| 3 — глина алевритовая; | 12 — растительные остатки; | 21 — калиевый полевой шпат; |
| 4 — галечник, гальки; | 13 — обломки угли; | 22 — основной плагиоклаз; |
| 5 — валуны; | 14 — пироксены; | 23 — кислый, средний пла- |
| 6 — суглиноок; | 15 — амфиболы; | 24 — разрушенные неопреде- |
| 7 — торф; | 16 — эпидот-цианит; | лимимо верна; |
| 8 — бечевник; | 17 — цильменит, магнетит | 25 — прочие минералы |
| 9 — конкреции; | 18 — циркон, турмалин, гранат | |

вых из разреза на р. Малой Хете (Н. А. Халфина) изложены в статьях, помещенных в этом же сборнике.

Автор выполнил литологическое, гранулометрическое и минералогическое изучение пород, сосредоточив основное внимание на санчуговских морских отложениях (обн. 4, 5, 10, 20, 21); в меньшей степени освещены галечники Никитинского яра (обн. 5), казанцевские морскии (обн. 10), каргунские речные, позднезырянские ледниковые накопления и позднеледниковые ленточные глины (обн. 3).

Типы пород устанавливались в соответствии с классификацией Л. В. Пустовалова, М. К. Кацкая, С. Г. Саркисия для средне- и мелкообломочных разностей (Преображенский, Саркисян, 1954). Минералогический состав определялся во фракции 0,1—0,05 мм иммерсионным методом.

САНЧУГОВСКИЕ СЛОИ

Обнажение Никитинского яра на правом берегу Енисея напротив острова Никитинского одно из лучших и наиболее полно изученных разрезов санчуговских слоев. Судя по соотношению с разрезом расположенной поблизости скв. 18, санчуговские отложения вскрыты в нем почти от подошвы, располагающейся примерно на уровне Енисея (5 м над уровнем моря). Они состоят из нижних песков, слабо отделяющихся от подстилающих песчаных мессовских слоев, глин и алевритов средней части разреза и верхней песчаной пачки. По мнению С. Л. Троицкого, исследовавшего разрез в 1960 и 1962 гг., санчуговские слои вместе с мессовскими образуют полный седиментационный ритм и соответствуют началу, максимуму и сходу уровня обширной санчуговской морской трансгрессии. Для верхней песчаной пачки¹ он предложил название «никитинские пески».

Обнаженный участок Никитинского яра состоит из берегового обрыва около устья р. Зырянки высотой до 50 м, опирающегося на южесийский бечевник (обн. 4), и стени эрозионных цирков, врезанных в склон прибрежной возвышенности в 1—1,3 км от берега (обн. 5). Бровка цирков,

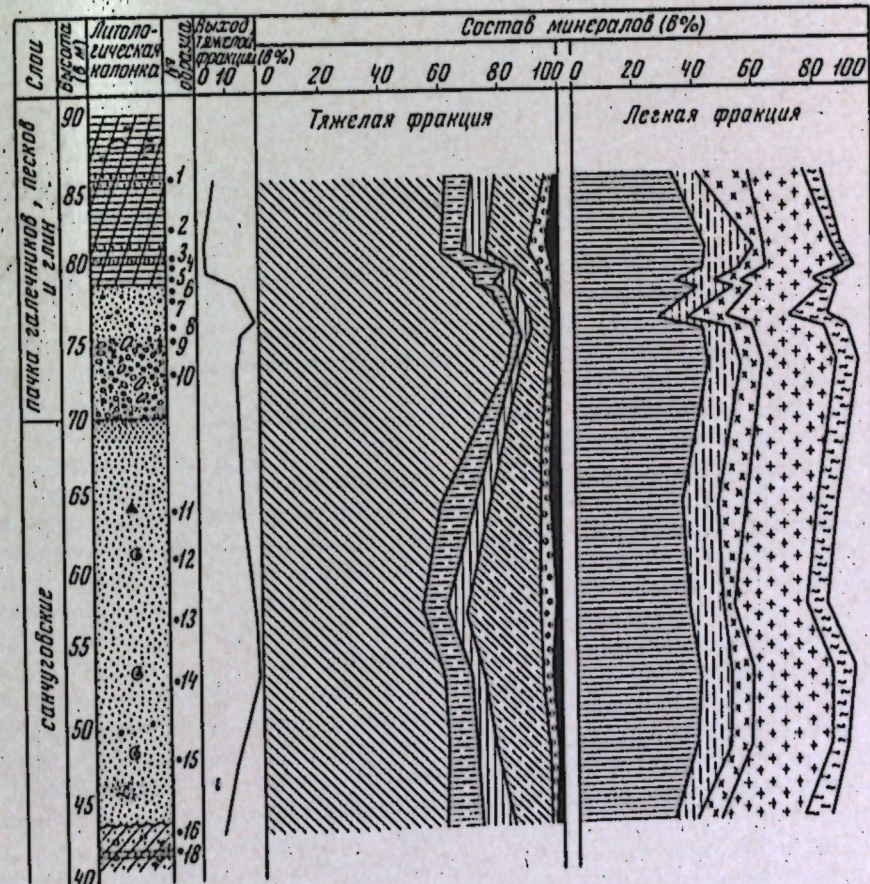


Рис. 2. Распределение минералов в санчуговских отложениях и в перекрывающей их пачке галечников, песков и глин Никитинского яра (обн. 5)

Условные обозначения см. на рис. 1

¹ В. И. Сакс и К. В. Антонов относили ее к зырянскому горизонту.

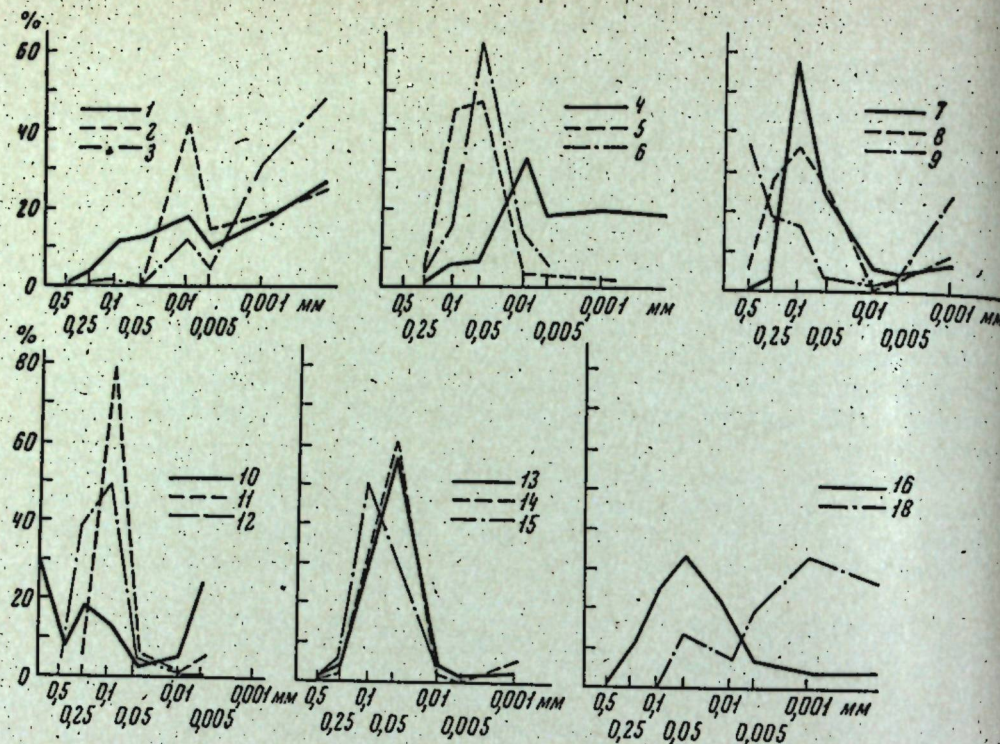


Рис. 3. Кривые распределения обломочного материала в санчуговских и перекрывающих их отложениях Никитинского яра (обн. 5, 1—18 номера образцов)

представляющая кровлю обнажения, лежит на высоте 110 м над уровнем моря (105 м над Елисеем).

Разрез (обн. 4, рис. 1) начинается (снизу) береговыми, очень хорошо отсортированными мелкозернистыми горизонтальнослойистыми серыми песками с прослойями несортированных песчано-глинисто-алевритовых пород (обр. 24—20), содержащих раковины *Portlandia*. Выше песков залегает пачка плитчатых алевритовых глин (обр. 19—16) с фауной (*Portlandia*) и известковистыми конкрециями. Глины перекрываются серыми и серовато-буроватыми песчано-глинистыми, реже глинисто-песчанистыми алевритами с оскольчатой текстурой. Последние в разрезе преобладают и содержат небольшие прослои несортированных глинисто-песчано-алевритовых пород и линзы или прослоечки мелко- среднезернистого и неравномерно-зернистого песка с галькой (обр. 14—2). В кровле слоя прослеживается прослой суглинка с мелкими валунами долеритов.

Более высокие слои прослеживаются в обн. 5 в стенке эрозионного цирка (рис. 2). Небольшой слой глинисто-песчанистого, крупнозернистого алеврита с галькой, лежащей в основании разреза, перекрывается мощной пачкой серых и серовато-буроватых средне- мелкозернистых и мелкозернистых песков со слабой горизонтальной слоистостью, с редкими обломками угля. Сортированность песков улучшается снизу вверх по разрезу и колеблется от средней до хорошей. На кривых распределения обломочного материала песков (рис. 3) видно, что преобладают фракции 0,1—0,25 и 0,25—0,50 мм; при этом первая составляет 17—84%. По гравиметрическому составу глини (рис. 4) можно заметить, что снизу вверх по разрезу повышается содержание алевритовой примеси от 5 до 46%. Песчанисто-глинистые и глинисто-песчанистые алевриты (рис. 4) имеют среднюю степень сортированности; при этом мелкозернистый песок в них составляет 10—34%, а глинистые частицы — 12—29%.

Изучение минералогического состава пород из обн. 4 показало, что основными минералами легкой фракции являются кварц (23—49%), ка-лиевые полевые шпаты (4—15%) и плагиоклазы, представленные основ-ными (2—34%), кислыми и средними (7—28%) разностями. Здесь же со-держатся серпентинизированные зерна (2—8%), цеолиты ? (6%), предста-вляющие продукты выветривания основного плагиоклаза, разрушенные неопределенные минералы (2—13%), бесцветные, зеленые и бурые слюды (3%), нередко заметно измененные, ярко-зеленый глауконит хорошей со-хранности или реже желтовато-зеленоватый, заметно окисленный. Сре-ди обломков пород встречаются кремнистые породы и кварциты, кварц-амфиболовые породы, эфузивы. Найдены редкие обломки кремневых спикул, губок и панцири диатомовых водорослей. Глауконит для дан-ных осадков — переотложенный из меловых пород минерал. Это было до-оказано определением абсолютного возраста глауконита из санчуговских отложений Ладыгина яра, оказавшегося равным 81 млн. лет (Фирсов, Сухорукова, 1968).

Содержание тяжелой фракции колеблется от 4,76 до 31,87%, особен-но высоко оно в песках. Среди тяжелых по удельному весу минералов,

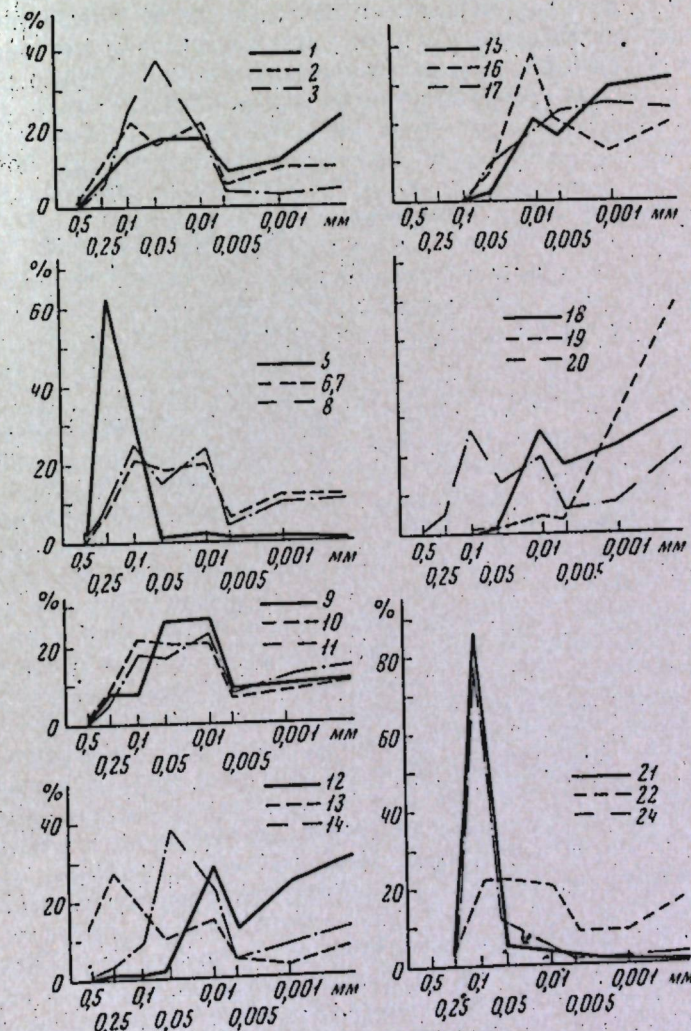


Рис. 4. Кривые распределения обломочного материала в санчуговских отложениях Никитинского яра (обн. 4, 1—24 — номера образцов)

имеющих в целом разнообразный состав, выделяются четыре группы, составляющие основную часть фракции: моноклинные пироксены (40—80%), группа эпидота — цоизита (7—21%), обыкновенная роговая обманка (3—17%) и рудные минералы (ильменит, магнетит — 1—30%). Такие минералы, как лейкоксен, циркон, гранат, турмалин, рутил, сфен, айдалузит, базальтическая роговая обманка, ромбический пироксен и актинолит, содержатся в небольших количествах, каждый не превышая 3% от фракции. Лимонит, шпинель, антаз, ставролит, дистен, силлиманит, щелочная роговая обманка, tremolit, слюды и хлоритоид присутствуют только в виде единичных зерен. Окатаанность зерен слабая, в основном они угловатые и полуугловатые; очень редко встречаются полуокатанные и окатанные зерна, главным образом среди ильменитовых и магнетитовых.

По литологическому и минералогическому составу (с учетом свойств минералов) в разрезе оби. 4 выделяются две пачки пород: нижняя (обр. 24-16) и верхняя (обр. 14-1).

Нижняя пачка состоит из слоя песков, перемежающихся со смешанными песчано-глинисто-алевритовыми породами (шизы), и слоя алевритовых глин (верхи).

Верхняя пачка образована переслаиванием смешанных глинисто-песчано-алевритовых пород с прослойми алевритов и песчаных пород.

Различие в содержании тяжелых фракций (в %) в грубоалевритовой части пород этих двух основных пачек весьма значительно:

	Нижняя пачка	Верхняя пачка
Смешанные песчано-глинисто-алевритовые породы	8,82—9,88	4,76—7,62
Алевриты	—	4,91—5,42
Пески	31,77—31,87	12,8 —22,0
Глины	5,4—12,5	—

Минералогический состав легких фракций из пород нижней пачки характеризуется значительно более низким содержанием кварца, более высоким содержанием основного плагиоклаза и продуктов его изменения (цеолиты ?), большим содержанием разрушенных неопределимых зерен и различных обломков пород, листочеков измененного биотита. Совершенно не встречены скелеты радиолярий и лишь единично — обломки спикул губок. Оксиденный глауконит редок. Различие наблюдается и в некоторых свойствах минералов. Например, для нижней пачки весьма характерны продукты выветривания основных плагиоклазов. Под микроскопом видны постепенные переходы от хорошо сохранившегося плагиоклаза через сильно трещиноватые зерна к бурому, ярко преломляющему и низко двупреломляющему (цеолитизированному) минералу, содержание которого достигает 6%. Породы верхней пачки содержат такие минералы в количестве не более 1%, и в шей гораздо ярче отражены изменения полевых шпатов и обломков пород в результате пелитизации и хлоритизации зерен. Обломки пород (эффузивы, метаморфические породы — амфиболиты, эпидотизированные разности и другие) присутствуют в сравнительно меньшем количестве или вообще отсутствуют. Для нижней пачки пород более характерна фациальная изменчивость, вследствие чего количественные соотношения отдельных минералов во фракциях довольно сильно колеблются. Это можно заметить главным образом по содержанию основных плагиоклазов и группы кислых и средних плагиоклазов. Содержание легких и тяжелых минералов (в %) в породах нижней и верхней пачек приводится ниже:

Легкие минералы		Нижняя пачка	Верхняя пачка
Кварц	23—43	35—49	
Ортоклаз хорошей сохранности	2—9	5—9	
Плагиоклаз основной	9—34	2—12	
Плагиоклазы кислые и средние	7—25	22—28	
Разрушенные зерна	4—13	2—8	
Серицитизированные зерна	2—8	2—6	
Бурый минерал (продукт изменения основных плагиоклазов)	2—6	Ед. зерна до 1%	

Тяжелые минералы		Нижняя пачка	Верхняя пачка
Пироксены моноклинные	49—80	40—63	
Эпидот-циозит	7—12	7—21	
Обыкновенная роговая обманка	3—16	10—17	
Ильменит	1—22	4—30	

Из сравнения минералогического состава пород можно заключить, что за время отложения нижней пачки в бассейн поступал резко полимиктовый обломочный материал, при этом происходил усиленный снос из области распространения основных эфузивов.

Верхняя пачка литологически также весьма разнородна. Глины почти отсутствуют, их редкие прослои весьма засорены песчаным и алевритовым материалом. Условий для высокой механической дифференциации здесь не было. Несмотря на это, минералогический состав легких минералов в породах верхней пачки можно считать весьма устойчивым как в качественном, так и в количественном отношении. Степень полимиктности терригенного материала здесь значительно снижена. Более устойчив и состав тяжелых минералов, который не обнаруживает каких-либо качественных изменений в сравнении с породами нижней пачки, но указывает на несколько большее участие группы эпидота — цоизита и амфиболов за счет снижения содержания пироксенов.

Мощная пачка песков (обр. 16-11), которая венчает разрез санчуговских отложений в оби. 5 (см. рис. 2), имеет прибрежно-морское происхождение, содержит редкие раковины *Hiatella arctica* (L.), *Mya truncata* L., *Macoma calcarea* (Chemn.). Пески сложены в основном зернами кварца (32—41%), калиевых полевых шпатов (8—12%), основных плагиоклазов (7—9%), кислых и средних плагиоклазов (24—28%). Содержатся также зерна глауконита (2%) как хорошей сохранности, так и окисленного, а также серicitизированные (2—5%), хлоритизированные (1—5%) и разрушенные неопределенные (5—9%) зерна минералов. Кроме того, единично или в количестве не более 1% присутствуют зеленые и бесцветные слюды, измененный биотит, цеолиты (?), обломки кварцитов, метаморфических, амфиболовых и эпидотовых пород.

Тяжелые минералы составляют 6,9—18,75% от крупоалевритовой фракции. Они состоят в основном из моноклинных пироксенов (52—61%), ильменита (13—25%), обыкновенной роговой обманки (8—11%), и эпидота — цоизита (4—11%), обычны здесь циркон (1—3%), гранат (1—2%), лейкоксен (1—2%). В количестве до 1% также постоянно присутствуют рутил, сфен, ставролит, базальтическая роговая обманка, tremolit, ромбический пироксен и лимонит. Почти постоянно встречаются единичные зерна антаза, дистена, айдалузита, силлиманита. Очень редки актинолит, щелочная роговая обманка, хлоритоид и шпинель.

Для данной пачки песков характерна равномерная сортированность; режим осадконакопления был устойчивым. Об этом говорит и минерало-

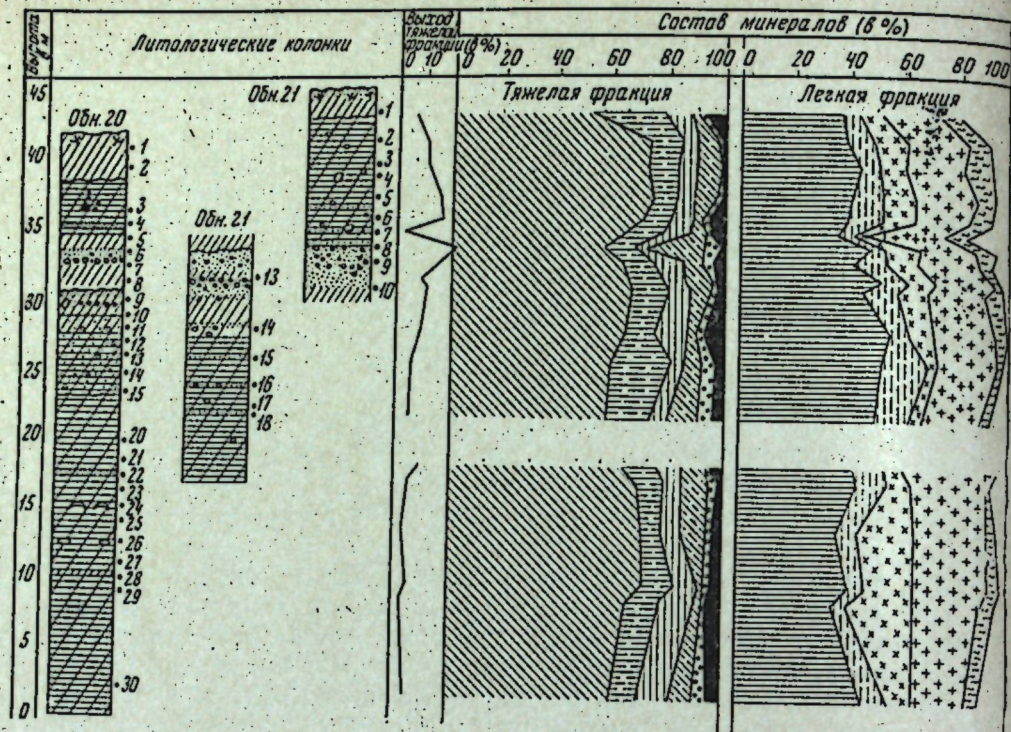


Рис. 5. Распределение минералов в санчуговских отложениях, Селякино (обр. 20, 21, цифры у колонок — номера образцов)

Условные обозначения см. на рис. 1

тический состав. В песках наблюдается повышенное содержание ильменита, циркона, граната, т. е. группы устойчивых минералов. Здесь более ярко наблюдаются процессы серицитизации плагиоклазов; повышается содержание разрушенных зерен, по-видимому, за счет изменения калиевых полевых шпатов. Кроме того, постоянно встречаются хлоритизированные зерна и переотложенный, главным образом окисленный глаукопит.

Санчуговские отложения в обн. 20 и 21 (рис. 5) на Селякином мысу (в 13 км ниже Усть-Порта) имеют несколько иную характеристику. Это в основном серые и темно-серые алевритовые, иногда песчано-алевритовые глины и реже буровато-серые глинистые алевриты, общей мощностью до 45 м. Они обладают осколчатой отдельностью, выше по разрезу содержат редкие гальку и валуны. В нижней части породы имеют тонкую горизонтальную слоистость. Слоистая текстура подчеркивается тонкими светлыми алевритовыми слойками и намывами темного растительного детрита. К глинам послойно приурочены крупные эллипсоидальные карбонатные конкреции (обр. 26). Встречена одна раковина пресноводной остракоды *Limnocytheridea* sp. (обр. 24). В песчано-алевритовых глинах (обр. 18—15) найден бедный комплекс фораминифер, очень близкий к комплексу, собранному из санчуговских глин стратотипического разреза на р. Санчуговка (около Усть-Порта). В глинах на высоте 30 м над уровнем Енисея прослеживается пачка песчано-глинистых алевритов с галькой, сменяющаяся выше средне-мелкозернистыми песками с галькой, косо, реже горизонтальнослоистыми. Мощность всей фациально неустойчивой пачки плохо сортированных и несортированных пород достигает 4 м.

Кривые распределения обломочного материала в алевритовых глинах и глинистых алевритах имеют двувершинное строение. Породы характеризуются средней и хорошей степенью сортированности (рис. 6).

В алевритовых глинах и глинистых алевритах селякинского разреза наблюдается тот же комплекс минералов, который характерен для Никитинского яра. Содержание кварца достигает 35—52%, калиевых полевых шпатов — 5—17%, основных плагиоклазов — 3—25%, кислых и средних плагиоклазов — 19—30% и разрушенных неопределенных зерен 1—11%. Процессы пелитизации калиевых полевых шпатов проявляются здесь слабо, однако наблюдается серицитизация плагиоклазов, особенно в породах верхней и нижней частей разреза. Почти к самой верхней части разреза приурочены большей частью измененные слюды (7%). В песчано-глинистых алевритах, песках и несортированных породах содержание кварца повышается с 36 до 55%, несколько уменьшается количество калиевых полевых шпатов (5—13%), основных (5—13%), а также кислых и средних плагиоклазов (20—28%). Разрушенные неопределенные зерна составляют 5—8% (см. рис. 5).

В тяжелых фракциях группу ведущих минералов в алевритовых глинах и глинистых алевритах составляют моноклинные пироксены (51—74%), обыкновенная роговая обманка (7—23%), эпидот-циозит (5—13%) и ильменит (2—11%). Эти тяжелые минералы преобладают и в пачке алеврито-песчаных и смешанных пород. Породы пачки, в отличие от глини, имеют повышенное содержание тяжелой фракции, в которой количество ильменита увеличивается до 22%. Циркон, гранат, лейкосен также содержатся в повышенных количествах. Кроме того, среднее

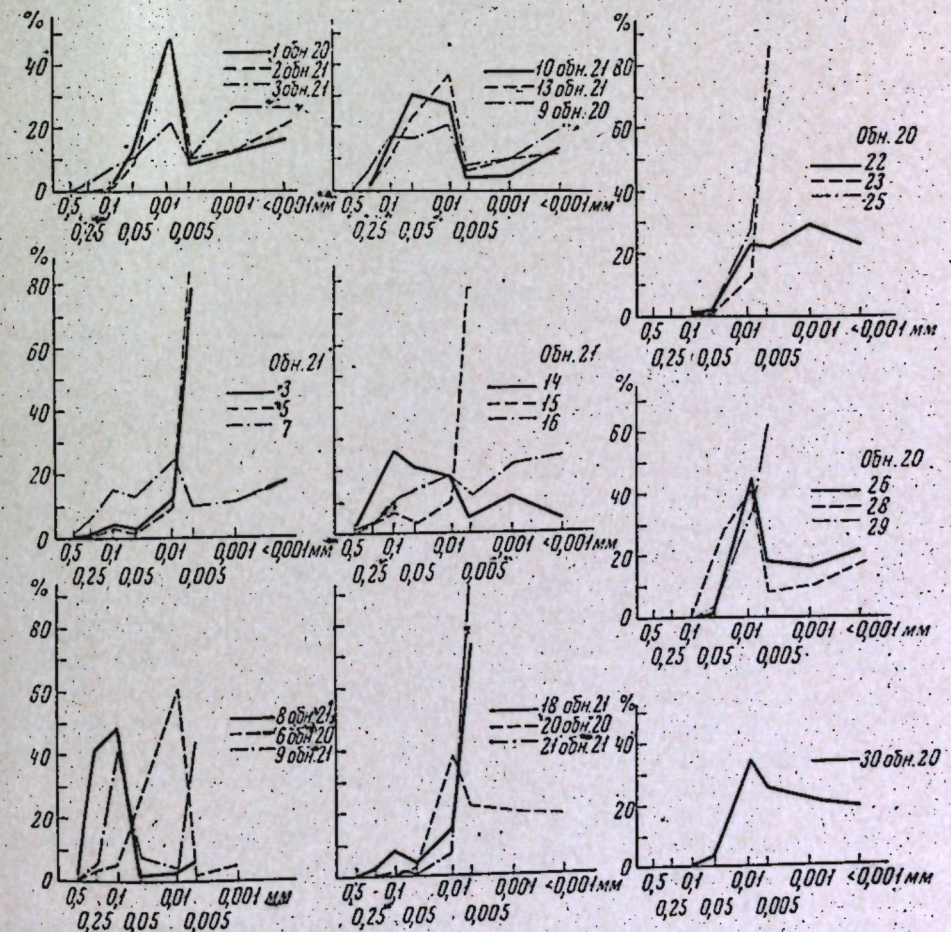


Рис. 6. Кривые распределения обломочного материала в санчуговских отложениях, Селякино (обр. 20, 21)

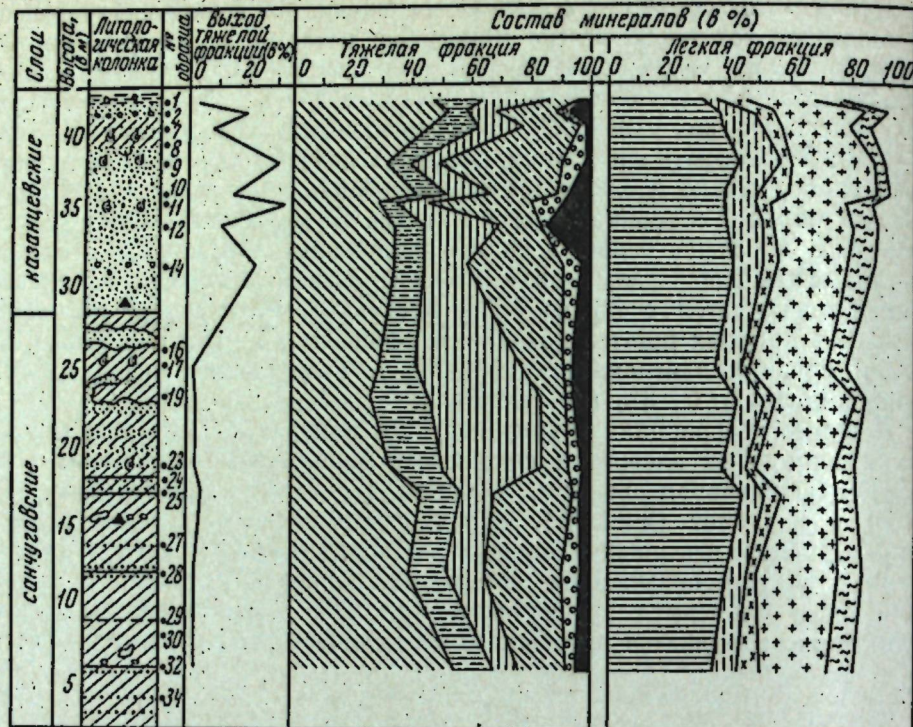


Рис. 7. Распределение минералов в санчуговских и казаццевских отложениях
Ладыгина яра (обн. 10)

Условные обозначения см. на рис. 1

содержание кварца составляет здесь 44%, тогда как в глинах оно достигает только 29%.

Алевритовые глины, покрывающие пачку алеврито-песчаных пород с галькой, очень близки к алевритовым глинам нижней пачки, однако наблюдаются и некоторые отличия. Верхняя пачка содержит примесь песка, имеет большее содержание тяжелой фракции, в которой количество моноклинических пироксенов и разрушенных минералов значительно увеличивается.

В районе пос. Ладыгин Яр в обн. 10 (рис. 7) санчуговские отложения представлены в нижней части (обр. 34-24) несортированными несчастно-глинисто-алевритовыми породами с тонкими редкими прослоечками мелкозернистого песка. Они содержат гальку, валунички, обломки угля, иногда раковины фораминифер и иглы морских ежей. Выше залегает пачка (обр. 24-16) переслаивающихся серых, темно-серых, буровато-серых песчано-глинистых, глинистых и глинисто-песчанистых алевритов с мелкозернистыми песками. Алевриты обладают оскольчатой отдельностью и горизонтально-полиэдрической или неправильной слоистостью, часто сильно деформированной. На некоторых участках слойки поставлены почти вертикально. Изредка в алевритах встречаются обломки мелких морских раковин. Породы или не сортированы или весьма слабо сортированы, что видно по кривым распределения обломочного материала (рис. 8); только прослои глинистых алевритов обладают средней степенью сортированности.

Комплекс минералов в этих отложениях довольно близок приведенному выше, тем не менее в нем можно уловить некоторые изменения в количественных соотношениях некоторых минералов (рис. 7). Содержание кварца здесь несколько снижено по сравнению с породами Селякина

мыса. Он составляет 34—44%, калиевые полевые шпаты — 7—9%, основные плагиоклазы в небольшом количестве — от 2 до 7%, количество кислых и средних плагиоклазов близко к их содержанию в породах Селякина мыса и Никитинского яра — 18—26%. Здесь больше слюд (3—9%), обычно измененных, переотложенного глауконита (5%), серпентинизированных (5—9%) и хлоритизированных (3—6%) зерен. Разрушенные минералы постоянно встречаются примерно в тех же количествах (3—8%), что и в породах Селякина мыса.

Среди тяжелых минералов преобладают моноклинические пироксены (53%), затем — эпидот-циозит (37%), ильменит (26%) и обыкновенная роговая обманка (19%). Лейкоксен, циркон, гранат, базальтическая роговая обманка, ромбический пироксен встречаются постоянно, но не превышают 1—6%. Метаморфические и титанистые минералы отмечаются в виде единичных зерен. Кроме того, здесь постоянно встречаются сидерит (3%) в форме «снопиков», «лепестков» или вытянутых и полуокруглых зерен и очень редко марказит в форме мелких конкреционных образований. Следы окатанности зерен или отсутствуют или проявляются слабо.

По минералогическим особенностям санчуговские отложения Ладыгина яра можно подразделить на две пачки: нижнюю (обр. 34-24) и верхнюю (обр. 24-16). Породы нижней пачки, в отличие от верхней, богаче ильменитом и моноклиническими пироксенами. В них соответственно значительно снижается содержание эпидот-циозита и амфиболов.

Подводя итог изучению санчуговских отложений, можно отметить, что в районе Никитинского яра они подразделяются на три основные пачки, из которых нижняя содержит пески с прослоями смешанных алевритовых пород, перекрытые слоем глин.

Для нижней пачки пород характерна фациальная изменчивость (вследствие чего содержание минералов сильно меняется), относительно

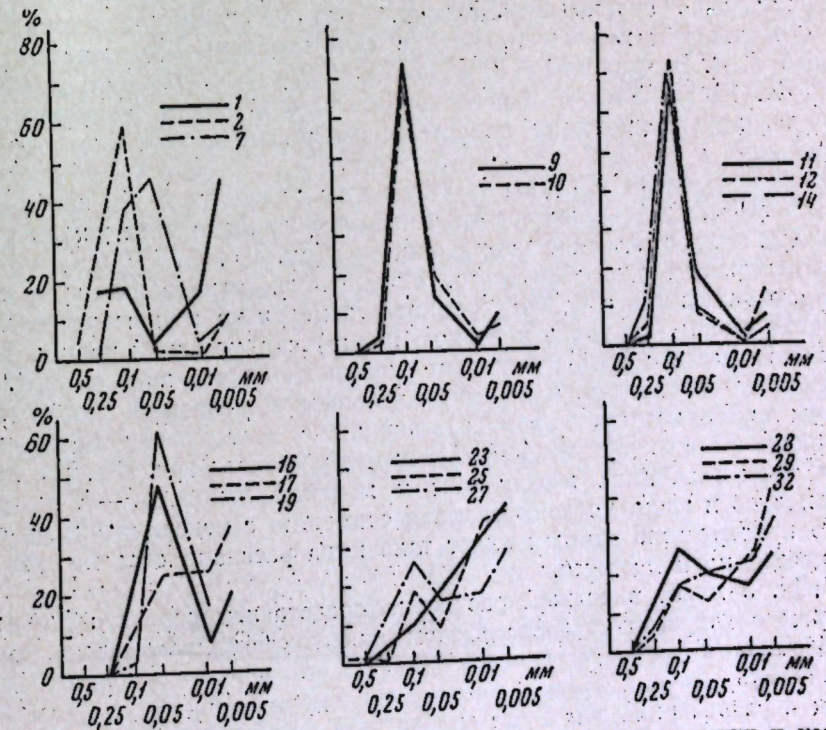


Рис. 8. Кривые распределения обломочного материала в санчуговских и казаццевских отложениях Ладыгина яра (обн. 10)

большое количество продуктов выветривания основного плагиоклаза (ценоцитизированного) и полимиктовый обломочный материал.

Средняя пачка алевритов с прослойками разнозернистых песков с галькой и смешанных пород характеризуется более устойчивым как в количественном, так и в качественном отношении комплексом минералов, развитием пелитизации калиевых полевых шпатов и хлоритизации обломков пород. Для верхней пачки мелкозернистых песков обычна хорошая сортированность, постоянное присутствие глауконита, в ней более ярко отражены процессы серитизации плагиоклазов и хлоритизация обломков. Породы санчуговских отложений Никитинского яра характеризуются пироксеновым комплексом минералов.

Санчуговские отложения в районе Селякина мыса в отличие от Никитинского яра имеют более однородный литологический состав. Это алевритовые глины и реже глинистые алевриты. Разрез в районе Селякина мыса разделяется небольшой пачкой смешанных песчано-галечно-алевритовых пород; при этом верхняя и нижняя глинистые пачки почти одинаковы по свойствам и составу минералов, различаясь лишь по присутствию в породах верхней пачки примеси песчаного материала. Породы Селякина мыса имеют пироксеновый комплекс минералов, как и породы Никитинского яра.

Санчуговские отложения Ладыгина яра подразделяются на две пачки: нижнюю смешанных песчано-глинисто-алевритовых пород и верхнюю песчано-глинистых алевритов с прослойками мелкозернистых песков. Характерно, что алевриты обладают здесь неправильной слоистой текстурой, часто сильно деформированной. Породы характеризуются эпидот-пироксеновым комплексом тяжелых минералов.

Отличительной особенностью пород Ладыгина яра является снижение содержания моноклинных пироксенов и увеличение количества эпидота-циозита, сравнительно высокое содержание переотложенного глауконита, а также усиление процессов серитизации и хлоритизации зерен.

Санчуговские отложения Ладыгина яра по литолого-минералогическим особенностям параллелизуются с санчуговскими отложениями, изученными Е. В. Шумиловой (1968) по обн. 7 у пос. Караул и нижней части обн. 34 выше мыса Каргинского. Там они, как и в районе Ладыгина яра, характеризуются эпидот-пироксеновым комплексом тяжелых минералов.

Галечники, пески и глины Никитинского яра (в верхней части разреза) представляют особый интерес с точки зрения условий формирования и стратиграфического положения (см. рис. 2).

Пятиметровый пласт ряжевого, сильно сцементированного крупного валунного галечника с резкой границей ложится на мелкозернистые никитинские пески (верхнюю песчаную пачку) санчуговской толщи. Пласт галечника вместе с подстилающими слоями изогнут в виде резкой, почти опрокинутой складки, и с четким угловым несогласием перекрыт зырянским валунным суглиником, слагающим с поверхности прибрежную возвышенность с отметками 110—115 м над уровнем моря. В месте погружения слоя галечника между ним и мореной лежит 10—12-метровая пачка песков и глин, дислоцированная совместно с подстилающими слоями. По простирианию единий пласт галечника расслаивается на два прояния, разделенные песками.

В обн. 5 пласт в свежей расчистке представлен серовато-бурым галечником с валунами и заполнителем из разнозернистого песка. Размеры обломков в среднем увеличиваются к его кровле, достигая 10 см. В галечнике заметна грубая слоистость; сортированность как галечника, так и разнозернистого песка слабая, или они совершенно не сортированы. Перекрывающие грубообломочный слой серые разнозернистые или мелко-среднезернистые пески с тонкими прослойками темной глины и

сменяющие их выше по разрезу серые и буровато-серые алевритовые глины с редкими прослойками алеврита и мелкозернистого песка, также сортированы слабо. В верхней части глинистого слоя встречаются галька и валуны. Среди сортированности обнаруживают только отдельные прослои из мелко-среднезернистых песков и глин (см. рис. 3).

Основными минералами песчанисто-глинистых пород в легких фракциях являются кварц (28—45%), калиевые полевые шпаты (8—16%), основные плагиоклазы (6—18%), кислые и средние плагиоклазы (18—26%). Постоянно присутствуют серicitизированные зерна (2—8%), слюды (3%), чаще измененные, и цеолиты? (3%). Редко встречаются глауконит и обломки опала. Характерны обломки различных пород: кварциты, кремнистые, метаморфические амфиболсодержащие или эпидотсодержащие породы, а также разнообразные основные эффузивы.

Содержание тяжелой фракции составляет 2—18,67%, причем в глинах оно понижается до 2—5,55% (см. рис. 2). Преобладающие минералы: моноклинные пироксены (60—84%), ильменит с магнетитом (8—17%), эпидот-циозит (2—8%) и обыкновенная роговая обманка (2—10%). Постоянно присутствуют циркон, гранат, лейкоксен (1—5%), а количество зерен сфена, базальтической роговой обманки и ромбического пироксена не превышает 1%.

Окатаанность зерен в основном отсутствует или слабая. Итак, для данных пород характерен пироксеновый комплекс тяжелых минералов при большом участии ильменита.

По литолого-минералогическому составу эти отложения расчленяются на две пачки: нижнюю галечниково-песчанистую в интервале 70—79 м и верхнюю глинистую в интервале 79—90 м. Для нижней пачки характерно повышенное содержание пироксенов, разрушенных минералов и понижение ильменита, эпидота-циозита, обыкновенной роговой обманки и граната. Породы из верхней части разреза Никитинского яра по своим литолого-минералогическим свойствам существенно отличаются от подстилающих санчуговских несортированностью или слабой сортировкой обломочного материала, резко повышенным содержанием пироксенов и пониженным амфиболов и эпидота-циозита.

С. Л. Троицкий полагает, что галечник либо флювиогляциальный по происхождению, либо образовался в результате размыва морены, перекрывавшей никитинские пески. Это предположение основывается на невозможности формирования их за счет подстилающих пород (песков, алевритов, глин) и наибольшей вероятности доставки грубообломочного материала, пущенного на их построение, ледником покровного оледенения. Об этом же, возможно, свидетельствует высокое содержание в породах обломков основных эффузивов и обилие пироксенов в тяжелой фракции.

КАЗАЦЕВСКИЕ СЛОИ

Вещественный состав казаццевских отложений изучался нами только по обн. 10 (Ладыгин яр). Они залегают там на санчуговских породах (см. рис. 7) и представлены (в нижней части) средне-мелкозернистыми, чаще мелкозернистыми песками с редкими прослойками крупнозернистых песчанистых алевритов. Разрез заканчивается светлыми буроватыми суглинками с рассеянной галькой, которая, кроме того, образует в подошве слоя маломощный песчано-галечный прослой. Цвет пород меняется (спизу вверх) от светло-бурового до серого и желтовато-серого. Породы характеризуются горизонтальной, реже косой слоистостью. Встречаются растительные остатки, крошки обугленной древесины и ра-

ковины морских моллюсков: *Arctica (Cyprina) islandica* (L.), *Macoma baltica* (L.), *M. calcarea* (Chemn.), *Astarte borealis* (Chemn.). Сортированность песков хорошая, что видно по одновершинности кривых распределения обломочного материала. Фракция размером 0,25—0,1 мм составляет 58—74%. Алевриты и суглиники, заоборот, характеризуются низкой степенью сортированности (см. рис. 8).

Комплекс минералов, входящих в состав казанцевских отложений, довольно близок к комплексу подстилающих санчуговских пород, но как в количественном, так и в качественном отношении имеет свои особенности. Породообразующие минералы: кварц (43%), калиевые (часто пелитизированные) полевые шпаты (14%), основные плагиоклазы (10%), кислые и средние плагиоклазы (30%). Кроме того, в составе легких минералов постоянно присутствуют переотложенный глауконит (4%) в виде зеленовато-бурых, сильно измененных зерен, разрушенные минералы (9%), серicitизированные (6%) и хлоритизированные (6%) зерна, а также листочки измененного биотита (2%), содержание которого в суглиниках у самой кровли разреза достигает 16%.

Одна из характерных черт казанцевских отложений — высокая степень дифференциации обломочного материала, значительно большее содержание разрушенных минералов и пелитизированных калиевых полевых шпатов, по сравнению с санчуговскими породами. Следующими характерными их признаками нужно считать значительную окисленность зерен глауконита и относительно более высокое его содержание, повышенное количество устойчивых минералов, обилие растительного дестрита, более частое нахождение фаунистических остатков и большее содержание тяжелых минералов. Сравнение некоторых характеристик санчуговских и казанцевских слоев Ладыгина яра приводится ниже (содержание, %):

	Казанцевские слои	Санчуговские слои
Пироксен	29—52	26—54
Ильменит	8—42	8—26
Эпидот-циозит	9—25	8—37
Амфиболы	1—17	1—20
Циркон	1—6	1—3
Гранат	1—5	1—3
Лимонит	Ед. зерна — 5	Ед. зерна
Разрушенные минералы	Ед. зерна — 3	Ед. зерна — 1
Сидерит	Ед. зерна — 1	Ед. зерна — 3
Выход тяжелой фракции	7,7—33,2	1,61—3,87

Кроме указанных минералов, в казанцевских, так же как и в санчуговских осадках, присутствуют метаморфические и титанистые минералы (от единичных зерен до 1%). Иногда на зернах ильменита наблюдаются лимонитизированные и лейкохексенизированные участки. Окатаистость зерен легких и тяжелых минералов по-прежнему остается очень слабой.

Для казанцевских отложений в целом характерен эпидот-ильменит-пироксеновый комплекс минералов. По литолого-минералогическим особенностям пород казанцевские отложения можно подразделить на две пачки: нижнюю (обр. 14-8) мелкозернистых песков и верхнюю (обр. 8-1) алевритов, песков, суглиников. Породы нижней пачки, в отличие от верхней, имеют однородный литологический состав, хорошо отсортированы и характеризуются повышенным содержанием ильменита, циркона, граната и пониженным — эпидот-циозита, амфиболов и пироксенов.

Казанцевские пески и алевриты мы наблюдали также по правому берегу Енисея около пос. Карабул. Минералогический состав их был изу-

чен Е. В. Шумиловой (1958), они прослеживаются также и в обн. 34 у мыса Каргинского. По минералогическим особенностям казанцевские отложения подразделяются там также на две пачки и характеризуются, как и в районе Ладыгина яра, эпидот-ильменит-пироксеновым комплексом тяжелых минералов.

КАРГИНСКИЕ СЛОИ

Каргинский аллювий обнажен по правому берегу р. Малой Хеты, где он, по данным С. Л. Троицкого (1967), перекрывается позднезырянскими ледниково-моренальными отложениями. Мы провели исследования пород по обн. 3, на правом берегу р. Малой Хеты вблизи устья ее притока р. Подъяхи. Там на глинистых алевритех нижней части разреза лежит толща серовато-бурых и темно-серых алевритовых горизонтальнослойистых глин с обильными растительными остатками и мелкими слюдисто-торфянистыми прослоечками. В глинах часто встречаются раковины пресноводных моллюсков. Глины перекрыты лессовидными суглиниками, в кровле которых имеется торфянистый прослой мощностью в 0,8 м. Над ним лежат серые глинистые алеврите с редкими валунами и линзочками песка (рис. 9). В них постоянно содержатся глинистые частицы; иногда содержится примесь мелкозернистых песчаных частиц (до 16,79%). Степень сортированности алевритов низкая.

Глины содержат 33—45% алевритовой фракции (рис. 10). В шлифах они обнаруживают алевропелитовую структуру. Основная масса сложена тонкочешуйчатыми гидрослюдами с показателем преломления выше 1,54. Алевритовый материал представлен угловатыми и полуугловатыми зернами кварца и полевых шпатов. Весьма редкие зерна имеют размеры больше 0,1 мм в диаметре. По всему шлифу рассеяны мелкие зернышки сидерита, участками видны скопления его кристаллических и густков причудливой формы желтовато-коричневого цвета. Часто заметны вытянутые волокна окисленной растительной ткани.

Изучение глинистых и алевритовых пород в иммерсионных препаратах показало, что содержание кварца в них составляет 40—47%, калиевых полевых шпатов — 5—12%, основных плагиоклазов — 17—28%, кислых и средних плагиоклазов — 11—25%. В глинах наблюдается относительно повышенное содержание зеленой слюды (6%) как чистой, так и

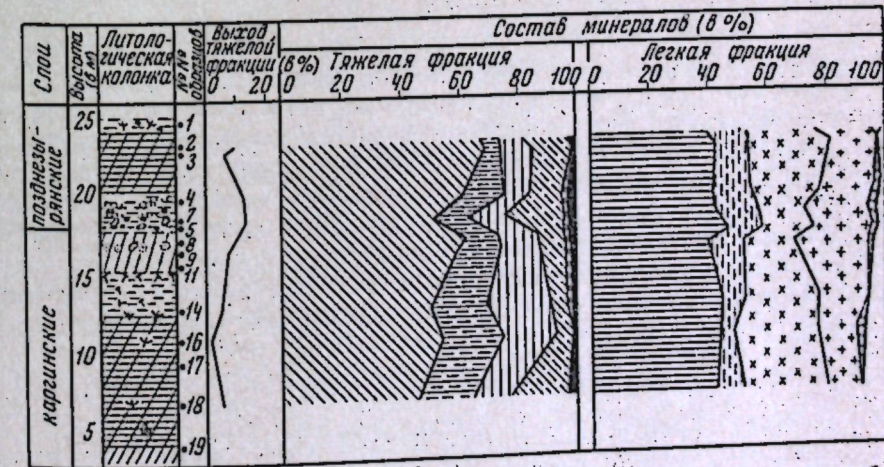


Рис. 9. Распределение минералов в каргинских и зырянских отложениях вблизи устья р. Подъяхи (обн. 3)
Условные обозначения см. на рис. 1

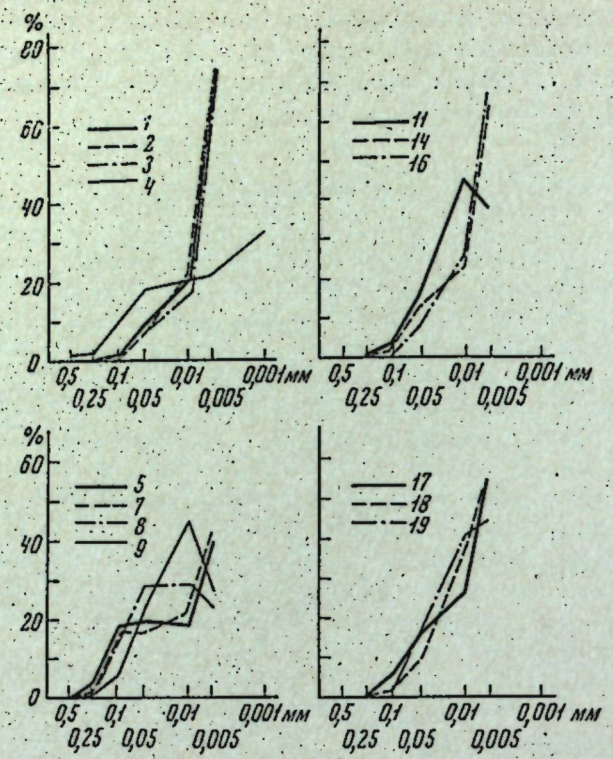


Рис. 10. Кривые распределения обломочного материала в каргинских и зырянских отложениях устья р. Подъяхи (обн. 3)

с включением мельчайших кристалликов сидерита. Кроме того, в любых породах постоянно содержится глауконит (3%), чаще окисленный. Характерно обилие растительных остатков, спикул, губок и панцирей диатомовых водорослей.

Среди тяжелых минералов в глинистых и алевритовых породах преобладают моноклинные пироксены (46–62%), обыкновенная роговая обманка (10–20%), эпидот-циозит (12–22%) и ильменит (6–20%); характерен для всех пород аутогенный сидерит, достигающий 5–13% в алевритах и 4–50% в глинах. Сидерит здесь окисленный, имеет желто-вато-коричневую окраску, чаще причудливой произвольной формы, в мелких агрегатах, иногда в сферосидеритовых стяжениях. Обилие растительных остатков, дающих достаточное количество активной углекислоты в этих породах, создавало благоприятную среду для образования сидерита. В отложениях визуально наблюдались мелкие включения вивианита.

Для пойменных фаций каргинского аллювия, выходящих в разрезе на р. Малой Хете, характерен амфиболово-пироксеновый комплекс тяжелых минералов и постоянное присутствие сидерита в повышенном количестве. Окатаиность минеральных зерен слабая или отсутствует вовсе.

ПОЗДНЕЗЫРИНСКИЕ СЛОИ

На р. Малой Хете в том же обн. 3 каргинские отложения перекрыты позднезыринскими серыми суглинками, содержащими линзы песка, большое количество валунов и гальки. Над ними залегают алевритовые ленточно-слоистые глины, сменяющиеся прослоем (0,4 м) суглинка с галькой, обломками древесины и мелкими растительными остатками.

Глина в шлифе по структуре алевропелитовая. Основная масса породы гидрослюдистая, тонкочешуйчатая. Алевритовый материал распределен в породе неравномерно и представлен обломками кварца и полевых шпатов. Изредка наблюдались кристаллики кальцита. Гранулометрический анализ показал, что все породы этих слоев, за исключением ленточных линий, отличаются низкой степенью сортированности или она отсутствует (см. рис. 10).

Породообразующими минералами лежащих ниже суглинков (см. рис. 9) являются кварц (42–43%), калиевые полевые шпаты (13–14%), основные плагиоклазы (16–23%), кислые и средние плагиоклазы (18–21%). Постоянно встречаются в небольших количествах зерна глауконита (3%), большей частью окисленного, и разрушенные неопределенные обломки (2%). Обломки кремней, кварцитов и листочки слюд встречаются также постоянно, но не превышают 1%, передко в слюдах видны новообразования сидерита.

Легкая фракция в ленточных глинах представлена тем же комплексом минералов и отличается только несколько повышенным содержанием основных плагиоклазов. Кроме того, в них наблюдаются единичные зерна кальцита и опала. Для позднезыринских пород, так же как и для каргинских, характерно преобладание минералов группы полевых шпатов (в которой превалируют основные плагиоклазы) над кварцем. По всему разрезу встречаются остатки пресноводных диатомовых и спикулы губок.

В состав тяжелой фракции глин и суглинков входят моноклинные пироксены (51–69%), ильменит с магнетитом (11–21%), эпидот-циозит (8–13%) и амфиболы (1–13%). В глинах содержание моноклинных пироксепов повышается, а ильменита, магнетита, эпидот-циозита и амфиболов понижается. Устойчивые минералы и лейкоксены постоянно присутствуют, но каждый не превышает 2%. Титанистые и метаморфические минералы очень редки. Из аутогенных минералов во фракциях позднезыринских пород постоянно присутствует сидерит, содержание которого повышается в суглинках до 1–3%. Вероятно, он переотложен из подстилающих каргинских слоев. Во всех разностях пород преобладают угловатые зерна.

Итак, для позднезыринских отложений характерен пироксеновый комплекс минералов.

ВЫВОДЫ

Исследование и сравнение литолого-минералогических особенностей различных слоев четвертичных отложений, дали возможность сделать следующие выводы:

1. Санчуговские слои сложены породами, неоднородными по структурным особенностям: песками с галькой, алевритами, глинами, суглинками и несортированными песчано-глинисто-алевритовыми породами. Преобладающий тип пород — алевриты.

2. Алевритовые глины Селякина мыса отличаются от пород Никитинского и Ладыгина яров более высокой степенью сортировки. В нижней части последних есть слои несортированных пород, а состав отложений грубее. По-видимому, селякинские алевритовые глины образовались в более спокойной, по гидродинамическому режиму, части бассейна, чем породы Ладыгинского и Никитинского яров, где режим среды и скорость накопления осадков сильно менялись. В нижней части разреза Никитинского яра слой глии с раковинами моллюсков свидетельствует о углублении бассейна и спаде скорости эрозионных процессов. Хорошо отмеченные глины нижней части разреза Селякина мыса отложились, по-видимому, в затишных застойных условиях глубокого залива или лагуны с опресненными водами, судя по отсутствию фораминифер и наличию раковин

пресноводных острокод. Накопление более высоких слоев селякинского разреза происходило в обмелевшем бассейне, с более широким доступом морских вод, но вне пределов волновой деятельности. Об этом свидетельствует более грубый состав, появление песчаных слоев с галькой и гравием, смешанных несортированных пород, находки раковин фораминифер. Верхняя пачка санчуговских отложений (никитинские пески) формировалась в условиях глубокой дифференциации терригенного материала, существовавших в прибрежной части бассейна. Только там могли отложиться хорошо сортированные пески, отмытые от алевритовых и глинистых частиц.

3. Распределение в породах минералов с высоким удельным весом (2,9) строго подчинялось гидродинамическому режиму бассейна. Так, наиболее богаты тяжелыми минералами пески верхней пачки Никитинского яра. Алевриты и глины характеризуются значительным, но меньшим содержанием тяжелых минералов. При этом установлено общее снижение содержания тяжелой фракции в направлении с юго-востока на северо-запад. Между с. Казанцево и Селякиным мысом происходит смена терригенно-минералогических ассоциаций. На юге распространена пироксеновая, а на севере эпидот-пироксеновая ассоциации. Последние в целом характеризуют для южных районов основной источник питания — сибирские траппы, для северных — те же сибирские траппы и коренные выходы меловых пород. Район сел Караул и Казанцево входит в ту же северную провинцию (Шумилова, 1968).

4. Казанцевские отложения, исследованные в самом северном участке — Ладыгинском яре, — характеризуются особыми свойствами. В основном они представлены весьма хорошо сортированными песками, отражающими пляжевые условия формирования, однако породы верхней части разреза формировались, очевидно, в прибрежной зоне с неустойчивой гидродинамической средой. Тяжелые минералы в казанцевских отложениях достигают значительных концентраций (33%), причем особенно велико содержание ильменита (42%).

Для казанцевских отложений характерен эпидот-ильменит-пироксеновый комплекс тяжелых минералов. Эти отложения по комплексу минералов почти близки к санчуговским, однако по количественному соотношению минералов четко отличаются от них. Казанцевские отложения характеризуются целым рядом специфических признаков. Калиевые полевые шпаты в них сильно пелитизированы. Разрушенные неопределенные зерна, серicitизированные и хлоритизированные обломки в крупноалевритовых легких фракциях достигают очень высокого содержания (21%). Переотложенный глауконит сильно окислен. Среди тяжелых минералов возрастает роль устойчивых к выветриванию минералов. Породы обогащены растительным детритом. Более часты фаунистические остатки.

Все эти признаки свидетельствуют о том, что климат в казанцевское время был сравнительно мягким и более теплым по сравнению с санчуговским. Он способствовал усиению процессов химического выветривания пород, условиям развития растительности и фауны. Следует также отметить, что на протяжении санчуговского и казанцевского времена по минералогическому спектру могут быть выявлены более тонкие колебания климата. Так, в особенностях выветривания минералов и изменениях их состава по разрезу санчуговских отложений Никитинского яра намечается улучшение климатических условий, отражающееся также в спорово-пыльцевых спектрах.

5. Каргинские глины и глинисто-алевритовые отложения района р. Малой Хеты характеризуют пресноводные условия формирования. Для них показательно обилие растительных остатков, обусловивших восстановительную среду бассейна, в которой возникали кристаллы диагенетиче-

ского спидерита в довольно значительных количествах. Терригено-минералогический комплекс — амфибол-пироксеновый.

6. Позднезырянские ледниковые и озерно-ледниковые отложения отличаются по степени сортированности. Первые лишены признаков сортированности, или они весьма слабы, вторые средние и хорошо сортированы. Минералогический состав пород резко полимиктовый. В нем, помимо зерен минералов, принимает участие разнообразный комплекс обломков пород: изверженных, метаморфических и осадочных. Терригено-минералогический комплекс является пироксеновым.

7. В процессе формирования всей толщи четвертичных отложений основными областями питания были трапповая формация Средне-Сибирского плоскогорья, выходы меловых морских отложений, частично более древние четвертичные толщи. Терригено-минералогические комплексы пород различных горизонтов создавались в результате суммарных воздействий указанных областей питания в зависимости от изменения степени участия каждой из них.

8. Некоторые изменения в минералогическом составе (резкое увеличение содержания пироксенов, полимиктовость пород) могут быть удовлетворительно объяснены только доставкой свежего, слабо измененного материала материковым оледенением, без посредства водного переноса материала или при слабом его участии.

ЛИТЕРАТУРА

- Алексеев В. А., Кинд И. В., Матвеева О. В., Троицкий С. Л. 1965. Новые данные по абсолютной хронологии верхнего плейстоцена и голоцену Сибири. — Докл. АН СССР, 160, № 5.
- Загорская И. Г., Яшина З. И., Слободин В. Я. и др. 1965. Морские неоген (?) четвертичные отложения нижнего течения реки Енисея. — Труды НИИГА, вып. 144.
- Золотарев А. Г. 1963. Опыт применения данных минералогических анализов для изучения палеоклиматических условий формирования аллювиальных отложений четвертичного периода. — Бюлл. МОИП, отдел. геол., т. 38, вып. 5.
- Лисицын А. П. 1966. Процессы современного осадкообразования в Беринговом море. М., «Наука».
- Преображенский И. А., Саркисян С. Г. 1954. Минералы осадочных пород. М., Гостоптехиздат.
- Сакс В. И. 1953. Четвертичный период в Советской Арктике. — Труды Ин-та геол. Арктики, 77.
- Сакс В. И., Антонов К. В. 1945. Четвертичные отложения и геоморфология района Усть-Енисейского порта. — Труды Горно-геол. упр. Главсевморпути, вып. 16.
- Сухорукова С. С., Гудина В. И. 1969. Некоторые условия образования осадков и распределения фораминыфер в плейстоцене севера Западной Сибири. — В сб.: Проблемы четвертичной геологии Сибири. Труды Ин-та геол. и геофиз. СО АН СССР, вып. 102.
- Троицкий С. Л. 1966. Четвертичные отложения и рельеф равнинных побережий Енисейского залива и прилегающей части гор Бырранга. М., «Наука».
- Троицкий С. Л. 1967. Новые данные о последнем покровном оледенении Сибири. — Докл. АН СССР, том 174, № 6.
- Фирсов Л. В., Сухорукова С. С. 1968. О четвертичном глауконите мелового возраста в низовьях реки Енисея. — Докл. АН СССР, том 183, № 4.
- Фролов В. Т. 1964. Руководство к лабораторным занятиям по петрографии осадочных пород. М., Изд-во МГУ.
- Шумилова Е. В. 1958. Материалы по минералогии мезозойских и кайнозойских отложений северо-восточной окраины Западно-Сибирской низменности. — Изв. СО АН СССР, № 5.
- Шумилова Е. В. 1968. Материалы к литолого-минералогической характеристики четвертичных отложений Усть-Енисейского района. — В сб.: Неогеновые и четвертичные отложения Западной Сибири. М., «Наука».

ПАЛИНОЛОГИЧЕСКАЯ ХАРАКТЕРИСТИКА ЧЕТВЕРТИЧНЫХ ОТЛОЖЕНИЙ МУЖИНСКОГО УРАЛА

В статье приводятся результаты спорово-пыльцевого анализа, полученные по образцам керна колонковых скважин профилей Азовы — Мужи (скв. 1-АМ) и Мужи — Тильтим (скв. 1-МТ и 3-МТ). Скв. 1-МТ и 3-МТ расположены в 12 км одна от другой и в 62 км севернее скв. 1-АМ (рис. 1). Разрезы Мужинского Урала, как известно по работам В. И. Гудиной (1966), являются стратотипическими для ямальской свиты и входящих в ее состав слоев. Это и определило их выбор для подробных палинологических исследований.

Район Мужинского Урала в геолого-геоморфологическом отношении включает два участка: собственно Мужинский Урал и долину Оби. В долине Оби поверхность коренных пород находится на 150—190 м ниже уровня моря. В пределах Мужинского Урала коренные породы (различные горизонты мела) часто поднимаются до 290 м абр. высоты. Максимальная мощность четвертичных отложений на собственно Мужинском Урале достигает 300 м. Подошва залегает ниже уровня моря. Значительные амплитуды подошвы четвертичных отложений (до 500 м) свидетельствуют о глубокорасчленением рельефе в период аккумуляции антропогенных отложений.

Толща четвертичных отложений в исследуемом районе представлена в основном песчаными, супесчано-суглинистыми и глинистыми осадками. Глины, преимущественно песчанистые или алевритистые, слюдистые, прослеживаются в средней части разрезов всех скважин. Почти по всему разрезу (за исключением средней части) отмечается обилие гальки, гравия и валунов изверженных пород уральского типа.

Г. И. Лазуков (1967) на основании визуальных литологических признаков, в частности присутствия или отсутствия грубообломочного материала, дал схему трехчленного строения четвертичной толщи, разделив ее (слева вверх) на полуйскую, казымскую и салехардскую свиты. В скв. 1 профиля Азовы — Мужи полуйская свита выделяется Лазуковым на глубинах от 102 до 143 м, в скв. 1, 3 профиля Мужи — Тильтим соответственно на глубинах 110—162 и 226—274 м. Отложения свиты представлены супесями, суглинками, переслаивающимися с песками и прослоями гравия.

Казымская свита, по данным Лазукова, сложена тонко отмученным глинисто-алевритистым материалом, для которого характерна очень четкая горизонтальная и косая слоистость, отсутствие горизонтов плохо отсортированных мореноподобных разностей; очень редко встречается рассеянный валуно-галечный материал. Эта свита прослежена в долине Оби в скв. 1 на глубине 92—109 м и на Мужинском Урале в скв. 1 и 3 на глубинах 98—110 и 211—226 м.

Верхняя, салехардская, свита в литологическом отношении сходна с полуйской. Ее отложения пройдены скв. 1 в долине Оби на глубине

15—92 м, а на Мужинском Урале — скв. 1 и 3 на глубинах 21—98 и 21—211 м.

Сопоставление высотного положения осадков всех свит на Мужинском Урале и в долине Оби показывает, что они располагаются на разных высотных уровнях. Наиболее высоко они залегают на Мужинском Урале, где приподняты на 120—130 м по сравнению с их положением в долине Оби; это, очевидно, может быть объяснено тектоническими причинами.

В. И. Гудина (1966), исследовавшая комплексы фораминифер из керна этих скважин, а также скважин, пробуренных по разным профилям Обского Севера, пришла к выводу, что морские четвертичные доказанцевские отложения на северо-западе Западной Сибири представляют собой мощную, довольно монотонную сероцветную толщу существенно глинистых отложений, неравномерно обогащенных различными грубыми обломочными материалом (валуны, гравий, галька). Различные литологические типы пород (глины, песчано-алевритовые глины, пески, отложения, содержащие гравий, гальку и валуны) пестро чередуются между собой в разрезе и по площади. Относительно однообразный литологический состав толщи и слабая сортировка — ее отличительные признаки.

По видовому составу и количественному содержанию фораминифер Гудина подразделяет толщу отложений, пройденных скв. 1-АМ и 1-МТ, 3-МТ, на тильтимские, обские и салемальские слои с одноименными комплексами фораминифер.

Тильтимский комплекс приурочен к нижней части и прослеживается в скв. 1-АМ на глубинах 111—143 м и скв. 4-МТ, 3-МТ на глубинах 120—160 и 227—280 м. Для этого комплекса характерен смешанный состав фораминифер (четвертичные, верхнемеловые), налеогеновые радиолярии и крупные спикулы губок. Смешанный разновозрастный состав органических остатков свидетельствует скорее всего о переотложении их большей части. О четвертичном возрасте слоев свидетельствуют только единичные фораминиферы.

Обский комплекс прослеживается скв. 1-АМ на глубинах 90—100 м и скв. 1-МТ, 3-МТ на глубинах 103—120 и 217—226 м. Он состоит в основном из кассидулиид и эльфидиид, обитавших в воде с придонной отрицательной температурой ($-1,5^{\circ}$). Бореальный элемент присутствует в незначительном количестве, и комплекс в целом — бореально-арктический.

Салемальский комплекс распространен в верхней, наиболее мощной части разреза морских доказанцевских отложений, отвечающий времени максимального развития трансгрессии: комплекс аркто-бореальный с большим присутствием бореального элемента. Он прослеживается скв. 1-АМ на глубине 90—15 м, скв. 1-МТ и 3-МТ на глубинах 120—21 и 227—20 м.

Схемы разделения толщи отложений по литологическим признакам и комплексам фораминифер расходятся достаточно сильно (Гудина, 1966).

Район Мужинского Урала находится в подзоне редкостойных лиственично-кедрово-еловых лесов. Зональной группой формаций являются редколесья, образованные елью и лиственицей. Однако южные участки, особенно водораздельные пространства и террасы, покрыты кедрово-ело-

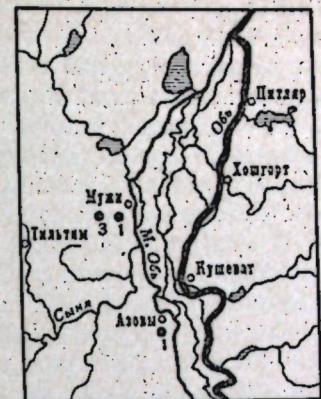


Рис. 1. Схема расположения скважин в районе Мужинского Урала

выми редкостойными лесами. В травянистом покрове много болотных трав и кустарничков, общих с тундрой, преобладают зеленые мхи.

При реконструкции истории развития растительности исконные спорово-пыльцевые спектры мы сравнивали не с современной растительностью, а с рецензентными спорово-пыльцевыми спектрами, отражающими основные зональные признаки. Поэтому кратко остановимся на характеристике зональных рецензентных спорово-пыльцевых спектров, по данным Г. М. Левковской (1967), М. П. Гричук (1959), Н. С. Соколовой (1965) и Л. В. Голубевой (1960).

В общем составе спорово-пыльцевых спектров лесотундры наблюдается примерно одинаковое содержание пыльцы древесно-кустарниковых и недревесных растений. Для спектров южной части этой подзоны характерно близкое процентное содержание и поочередное господство пыльцы темнохвойных и мелколистенных древесных пород и кустарников. Среди древесных пород поочередно господствует пыльца сосны и березы. Последняя представлена пыльцой древесных и кустарниковых форм. Содержание пыльцы ели обычно несколько выше 6–7%, а максимальное достигает 20%. В осредненном общем составе спектров северо-таежной зоны преобладает пыльца древесно-кустарниковых растений (66%). Содержание пыльцы кустарников сокращается до 17%. В спектре поочередно господствуют темнохвойные, светлохвойные или мелколистенные породы. Среди древесных пород господствуют береза или сосна. Начиная с этой зоны в поверхностных пробах встречаются единичные пыльцевые зерна пихты. В травяно-кустарничковой части спектра поочередно преобладает пыльца осок, злаков и разнотравья. Среди споровых попеременно господствуют папоротники, зеленые или сфагновые мхи.

В подзоне редкостойных лиственично-кедрово-еловых лесов в спектрах преобладает пыльца древесно-кустарниковых растений. Среди группы древесных господство принадлежит пыльце темнохвойных пород, представленных преимущественно кедром. Содержание пыльцы сосен увеличивается до 62%. На елово-лиственичную подзону падает максимум пыльцы ели (до 16%). Впервые появляются единичные пыльцевые зерна пихты. Среди споровых начинают заметно появляться папоротники. В среднем их процентное содержание составляет 25%. В травяно-кустарничковой части уменьшается количество вересковых.

Спорово-пыльцевые спектры поверхностных проб средней тайги характеризуются максимумом пыльцы древесных (в среднем 70%). Начиная с этой подзоны в спектрах почти совсем исчезает пыльца кустарников. Там наблюдается максимум пыльцы темнохвойных пород (в среднем 57%), представленных преимущественно пыльцой кедра (42%), только в немногих образцах отмечается большое количество пыльцы ели (до 45%), в среднем же пыльцы ели насчитывается 7%. В ряде случаев в спектрах попеременно господствует пыльца сосны или древовидной березы. Во всех образцах присутствует пыльца пихты до 2%, максимально до 4%.

Пыльца травянистых растений присутствует в небольшом количестве, среди нее поочередно господствуют различные компоненты. В спектрах характерно присутствие спор папоротника.

Для целей спорово-пыльцевого анализа отбор образцов из керна производился с большой частотой, практически через 1–2 м. В среднем по каждой скважине было проанализировано 60 образцов. В целом пами было исследовано около 200 образцов. При разделении пыльцы на группы и подсчете ее процентного соотношения пыльцу кустарников (куда мы относим *Betula sect. Nanae*, *Alnaster* и *Salix*) мы относили к группе древесных.

Профиль Азовы — Мужи (скв. 1)

Наиболее полно и рельефно основные этапы развития растительности нашли свое отражение на спорово-пыльцевой диаграмме, составленной по материалам скв. 1-АМ (рис. 2). Принимая во внимание характер кривых в общем составе спектра, а также соотношение отдельных компонентов внутри групп спектра, можно наметить следующие характерные интервалы.

I интервал, 143–115 м. В толще, сложенной чередующимися песками и глинами с включением валуно-галечного материала, спорово-пыльцевой спектр целиком состоит из переотложенных, плохо сохранившихся истертых спор и пыльцы преимущественно мелового возраста. В отдельных образцах встречается хорошо сохранившаяся пыльца кустарниковой берески.

II интервал, 100–110 м. Небольшая по объему пачка, сложенная песком и глинами с включением обломочного материала. В общем составе спорово-пыльцевого спектра преобладает пыльца древесных и кустарниковых пород (50%), содержание пыльцы травянистых и кустарничковых довольно велико — в среднем 35%, спор около 15%.

Значительную роль в спектре играет пыльца кустарниковых растений (в среднем 25%), содержание пыльцы кустарниковой берески достигает 20%. В составе пыльцы древесных преобладает пыльца древовидной берески (около 45%), затем в убывающем порядке идут пыльца сибирского кедра (17%), сосны (15%), ели (5–7%).

В составе пыльцы травянистых и кустарничковых растений преобладают злаковые и разнотравье, однако заметную роль играет пыльца полыней. Встречаются единичные зерна эфедры.

Споры представлены сфагнумами и папоротниками. Сравнение описанного спектра с поверхностными спектрами из различных зон Западной Сибири дает основание отнести его к северотаежному, а возможно, даже к лесотундровому типам.

III интервал, 100–50 м. В толще песчаных глин в общем составе спектра преобладает пыльца древесных и кустарниковых растений (65–70%). Среди древесных преобладает пыльца темнохвойных (до 50%), доминирует пыльца сибирского кедра (45%), в конце интервала содержание ее снижается до 30%. Пыльца ели насчитывает 5–7%, достигая максимума в 20% в конце интервала. Пыльца пихты встречается не во всех образцах, количество ее колеблется в пределах 2–4%. Пыльца древовидной берески и сосны присутствует в спектре приблизительно в одинаковых количествах, в среднем 20%, однако в конце интервала количество пыльцы древовидной берески увеличивается до 30%. Пыльца кустарниковых растений содержится в незначительном количестве (5–7%).

Пыльца травянистых и кустарничковых растений составляет около 10%, в ее составе попеременно господствуют пыльца злаков, разнотравья, в отдельных образцах встречается до 20% вересковых. В конце интервала содержание пыльцы травянистых и кустарничковых увеличивается до 30% и существенно увеличивается содержание пыльцы злаков.

Среди спор господствуют папоротники, однако в начале интервала довольно много спор сфагнума (до 25–30%), встречаются споры лесных плаунов.

Указанные соотношения компонентов в общем составе спектров и количественные и качественные характеристики отдельных компонентов по группам позволяют отнести их к среднетаежному типу.

Следует указать, что в конце интервала 100–50 м наблюдается уменьшение количества пыльцы сибирского кедра и, наоборот, увеличение количества пыльцы древовидной берески. Кроме того, возрастает до максимума присутствие в спектре пыльцы ели, в составе травянистых увеличивается

количество пыльцы злаков. Эти факторы в какой-то степени могут свидетельствовать о некотором похолодании и увлажнении климата.

IV интервал, 50—40 м. Это почка чередующихся песков и алевритистых песчаных глин. Пыльца древесных и кустарниковых растений, а также споры содержатся в общем составе спектра приблизительно в одинаковом количестве.

Среди древесных доминирует пыльца древовидной бересмы (около 45%). В довольно значительном количестве присутствует пыльца кустарниковой бересмы, появляется пыльца ольховника.

В составе пыльцы травянистых и кустарниковых форм, наряду с доминирующей пыльцой злаков и разнотравья, увеличивается содержание пыльцы до 22% и пыльцы вересковых до 10%.

В составе спор присутствуют споры папоротников (57%), сфагнумов (20%), илаунов (10%). Среди последних встречаются споры арктического вида — *Lycopodium alpinum*. Такое соотношение компонентов в спектре позволяет считать его лесотундровым.

V интервал, 40—28 м. Это толща песчанистых, алевритистых глин с включением валуна. В единственном образце содержится спорово-пыльцевой комплекс, аналогичный комплексу I интервала.

VI интервал, 28—15 м. Это почка чередующихся слоев песка и песчанистой глины. Для нее характерна близость кривых основных компонентов общего состава спектра. В группе древесных и кустарниковых доминирующую положение занимает пыльца древовидной бересмы (35%), хотя содержание пыльцы темнохвойных довольно значительное (в среднем 20%). Содержание пыльцы ели к концу интервала увеличивается до 15%, сосны — до 25%.

В составе пыльцы травянистых и кустарничковых растений по-прежнему доминирует пыльца злаков, однако все больше увеличивается роль пыльцы польши и количество ее достигает 40%. Кроме того, в составе травянистых отмечена *Draba* — индикатор арктической растительности. В начале интервала в составе спор присутствуют сфагнумы и папоротниковые, в конце встречаются споры илауновых, в том числе *Lycopodium alpinum*. Характеристики спектров говорят о довольно холодных климатических условиях, способствовавших произрастанию ксерофитной лесотундровой растительности, несколько отличной от современной лесотундры. Подобные спорово-пыльцевые спектры с обилием пыльцы польши, лебедовых и бересмы характерны для приледниковых отложений и отложений, связанных с последними стадиями отступления ледника.

Профиль Муки — Тильтим (скв. 3)

I интервал, 274—220 м. Толща глин песчанистых, алевритистых, с включением валуно-галечного материала, лежащая непосредственно на меловых породах. Глинистые породы переслаиваются с песками, также содержащими обломочный материал. Спорово-пыльцевой анализ толщи (рис. 3) показал присутствие в спектрах почти исключительно переотложенных пыльцы и спор юрского и мелового возраста. Они отличаются очень плохой сохранностью, почти полностью истертты, что практически исключает определение их систематической принадлежности и подсчет процентного содержания в спектре. В отдельных образцах по всей толще встречается очень хорошо сохранившаяся молодая пыльца кустарниковых бересм. Совершенно своеобразно полное отсутствие в толще переотложенных пыльцы и спор палеогенового возраста, которые встречаются во всей остальной части разреза. Особенности спорово-пыльцевого комплекса I интервала, а также литологический состав слагающих его пород, полностью соответствуют I интервалу скв. 1-АМ.

Из остальной части диаграммы видно, что в общем составе спектра господствует пыльца древесных и кустарниковых растений, в среднем ее содержание достигает 65—70%. Содержание спор и пыльцы приблизительно одинаково и колеблется в пределах 15—20%. При общем плавном ходе кривых основных компонентов спектров, характерном для морских четвертичных отложений, все-таки удается зафиксировать некоторые колебания кривой пыльцы древесных, что дает нам основание для разделения диаграммы на последующие интервалы.

II интервал, 220—154 м. Толща, представленная чередующимися слоями песков, глин и песчанистых, алевритистых глин.

В спорово-пыльцевом спектре содержание пыльцы древесных и кустарниковых растений в среднем равно 60%. Количество пыльцы травянистых и кустарничковых растений и спор ивецелико (10—15%).

Среди пыльцы древесных и кустарниковых растений в интервале 220—209 м в одинаковом соотношении присутствуют бересма древовидная и сибирский кедр (в среднем 35%). В остальной же части интервала доминирует древовидная бересма (40%), сибирский кедр (30%) и ель (5—10%).

Если применять более обобщенные характеристики спектров, такие как содержание пыльцы темнохвойных, светлохвойных и мелколистенных пород, то в данном интервале пыльца темнохвойных непрерывно доминирует с пыльцой мелколистенных пород при общем среднем доминантном положении древовидной бересмы. В спектрах встречаются единичные зерна пихты. На глубине 176 м отмечен максимум ели, равный 18%. Содержание пыльцы травянистых очень ивецелико. Господствует пыльца злаков и разнотравья, но присутствие пыльцы маревых и польши фиксируется в количествах, равных пыльце разнотравья. Среди спор преобладают папоротниковые, затем в убывающем порядке следуют споры сфагновых и зеленых мхов и илауновых. Видовые определения спор илауновых показали присутствие лесных видов *Lycopodium complanatum*, *L. annotinum*, *L. clavatum*, в начале интервала встречается *L. alpinum*.

Учитывая все количественные и качественные соотношения и характеристику компонентов внутри спектра, спорово-пыльцевые спектры этого интервала мы относим к североатлантическому типу. Эта часть диаграммы имеет общие черты со спорово-пыльцевыми спектрами II интервала скв. 1-АМ, с той лишь разницей, что там, по крайней мере, в начале интервала, спектры отражают период существования более северных растительных сообществ и соответственно более холодного климата.

III интервал, 154—87 м. Это время накопления мощной толщи алевритистых песчаных глин. В общем составе спектров также преобладают пыльца древесных и кустарниковых растений, среднее содержание которой в общем составе достигает 80%. Общее содержание в спектре пыльцы травянистых и кустарничковых растений очень ивецелико, оно колеблется в пределах 7—10%. Содержание пыльцы кустарниковых растений в спектре снижается до 5%. По всему интервалу преобладают темнохвойные породы, среди которых доминирует пыльца сибирского кедра, среднее его количество достигает 40%. Среднее содержание пыльцы ели равно 15%, максимальное — 20%. Вслед за пыльцой сибирского кедра (20—25%) в убывающем порядке следует пыльца бересмы и сосны (20%).

С глубины 135 м содержание пыльцы сосны и бересмы непрерывно кульминирует. Почти во всех образцах встречается пыльца пихты в количестве 20%.

Пыльца травянистых и кустарничковых растений встречается в малых количествах, для которых нецелесообразно вычислять процентные соотношения, единичная пыльца представлена в основном злаками.

В составе спор преобладают споры папоротников, сфагнумов — 20—30%.

В ряде образцов споры выделены единично. Сравнение этой части диаграммы с составом поверхностных проб позволило отнести их к среднетасицкому типу.

Спорово-пыльцевые спектры этого интервала сходны со спектрами III интервала скв. 1-АМ с той лишь разницей, что там более резко выделяется максимум пыльцы сибирского кедра, и в конце интервала есть максимум пыльцы ели.

IV интервал, 87—70 м. В литологическом отношении — эта же толща песчанистых алевритистых глин.

При сохранившихся соотношениях компонентов в общем составе спектра меняются соотношения в группе древесных. Начинает преобладать пыльца древовидной бересклеты, а содержание пыльцы сибирского кедра резко уменьшается до 17%. Кроме того, в группе травянистых и кустарниковых растений резко возрастает содержание пыльцы полыней (до 45%) и маревых (до 15%). Спор немного, однако среди плауновых присутствуют споры *Lycopodium alpinum*.

Сравнение со спектрами поверхностных проб позволяет отнести спектры этого интервала к североатлантическому типу, что явно говорит о тенденции похолодания климата. Увеличение в спектре роли пыльцы ксерофитов и присутствие альпийского вида плаунов свидетельствует о появлении некоторых признаков перигляциальной растительности.

В скв. 1-АМ в IV интервале эта тенденция похолодания и ксерофитизация еще более четко выражены в виде появления лесотундровых спектров с элементами перигляциальной флоры.

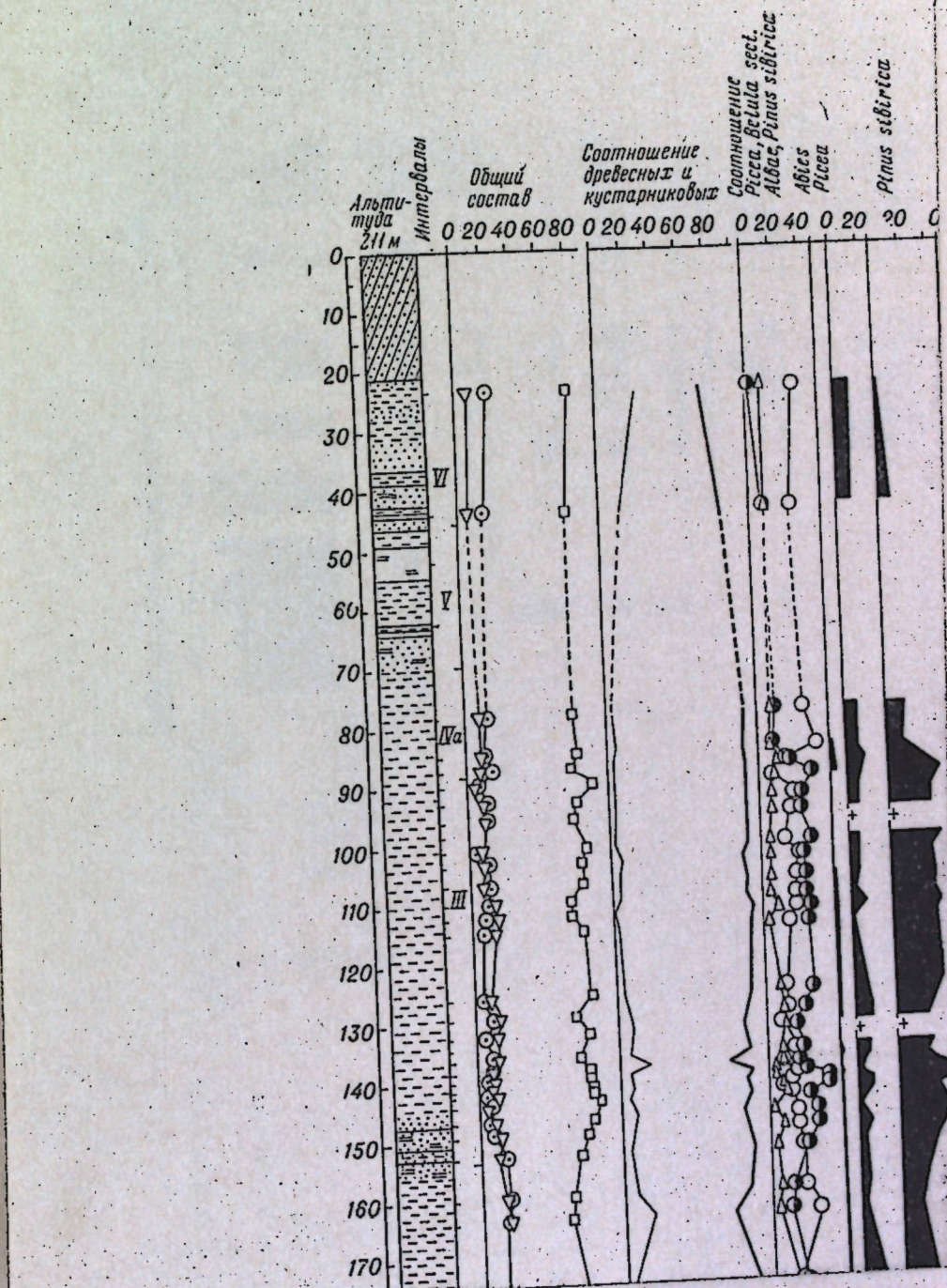
V интервал, 70—43 м. Чередование слоев песчанистых глин, песка с прослойками глины и песчаных слоев не содержит пыльцы и спор четвертичного возраста, а так же как и I и V интервал скв. 1-АМ содержит переотложенные, плохо сохранившиеся пыльцу и споры юрского и мелового возраста.

VI интервал, 43—21 м. В литологическом отношении — это продолжение предыдущего интервала. При общем преобладании пыльцы древесных и кустарниковых растений в общем составе спектров резко (до 30%) увеличивается количество пыльцы кустарниковых растений. В группе древесных продолжает доминировать пыльца древовидной бересклеты, количество ее достигает 40%, количество пыльцы сибирского кедра продолжает резко уменьшаться до 1—2%, а содержание пыльцы ели достигает 10%. Увеличивается роль пыльцы сосны. В составе травянистых и кустарниковых растений доминирует пыльца злаков. Среди спор отмечается присутствие *Selaginella selaginoides*, *Botrychium boreale* и *Lycopodium alpinum*, т. е. видов, указывающих на сравнительно суровые климатические условия.

Таким образом, высокое содержание в спектре пыльцы кустарниковых растений, резкое уменьшение пыльцы темнохвойных пород, присутствие пыльцы растений, свойственных суровым климатическим условиям, позволяют отнести спектры к лесотундровому типу. Высокое содержание пыльцы древесных пород, не характерное для спектров лесотундрового типа, можно объяснить, на наш взгляд, общими особенностями спорово-пыльцевых спектров морских отложений на севере Сибири. Спецификой их является повышенное содержание в спектрах пыльцы древесных форм бересклета вблизи побережий.

Поскольку изучаемая нами скважина расположена в предгорьях Мугоджинского Урала, то можно с уверенностью предположить, что осадки, вскрытые этой скважиной, накапливались в условиях прибрежной зоны.

Спорово-пыльцевые спектры этого интервала, а также литологический состав осадков, идентичны спектрам и осадкам VI интервала скв. 1-АМ.



лесотундровые спектры.

III интервал на всех диаграммах характеризуется среднетасицкими спорово-пыльцевыми спектрами с увеличением увлажнения в верхней части интервала, что хорошо прослеживается на диаграмме скв. 1-АМ.

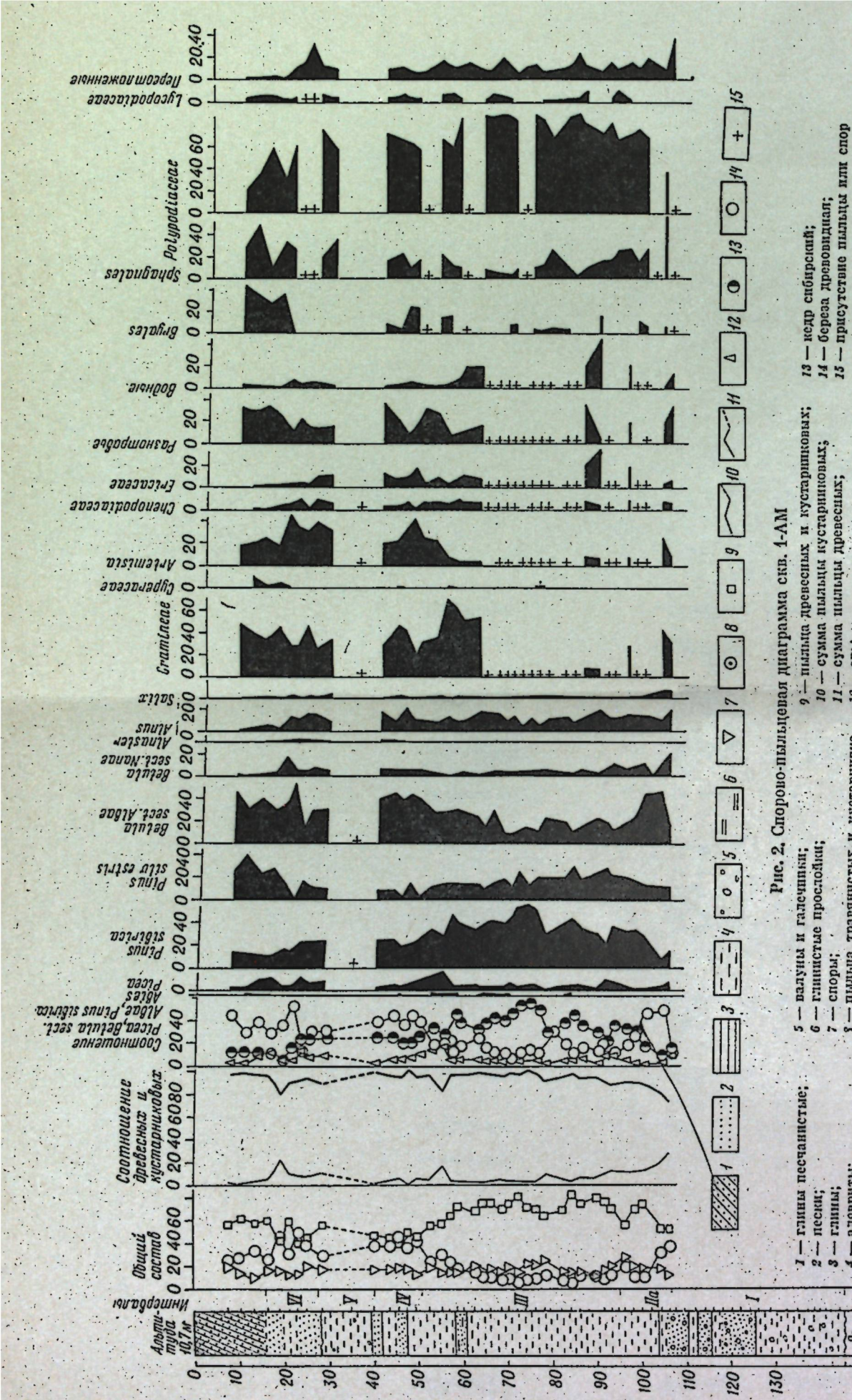
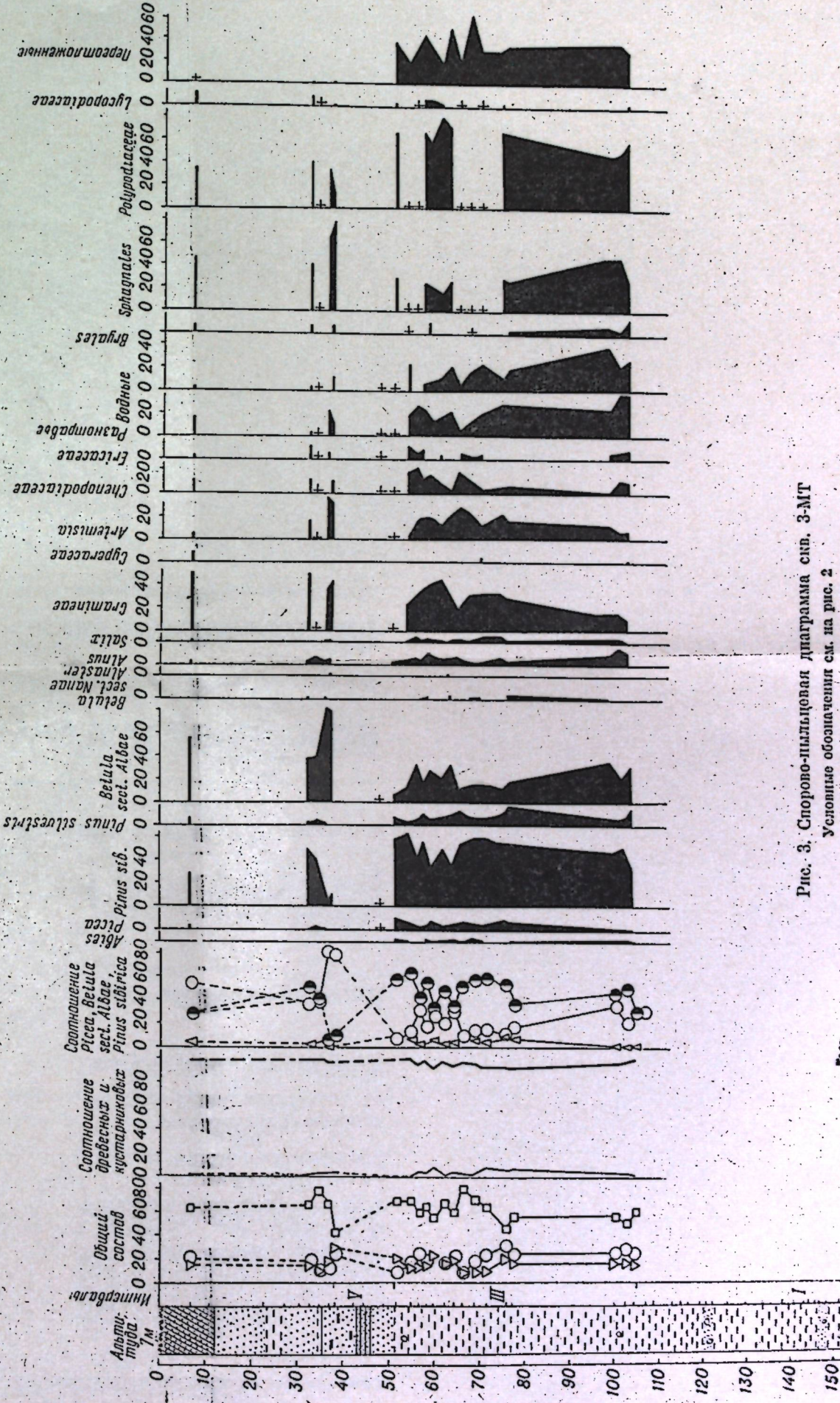


Рис. 2. Споро-пыльцевая диаграмма скв. 4-АМ

9 — пыльца древесных и кустарниковых;
 10 — сумма пыльцы кустарниковых;
 11 — сумма пыльцы древесных;
 12 — силь;



Условные обозначения см. на рис. 2

Рис. 3. Споро-пыльцевая диаграмма скв. 3-МТ

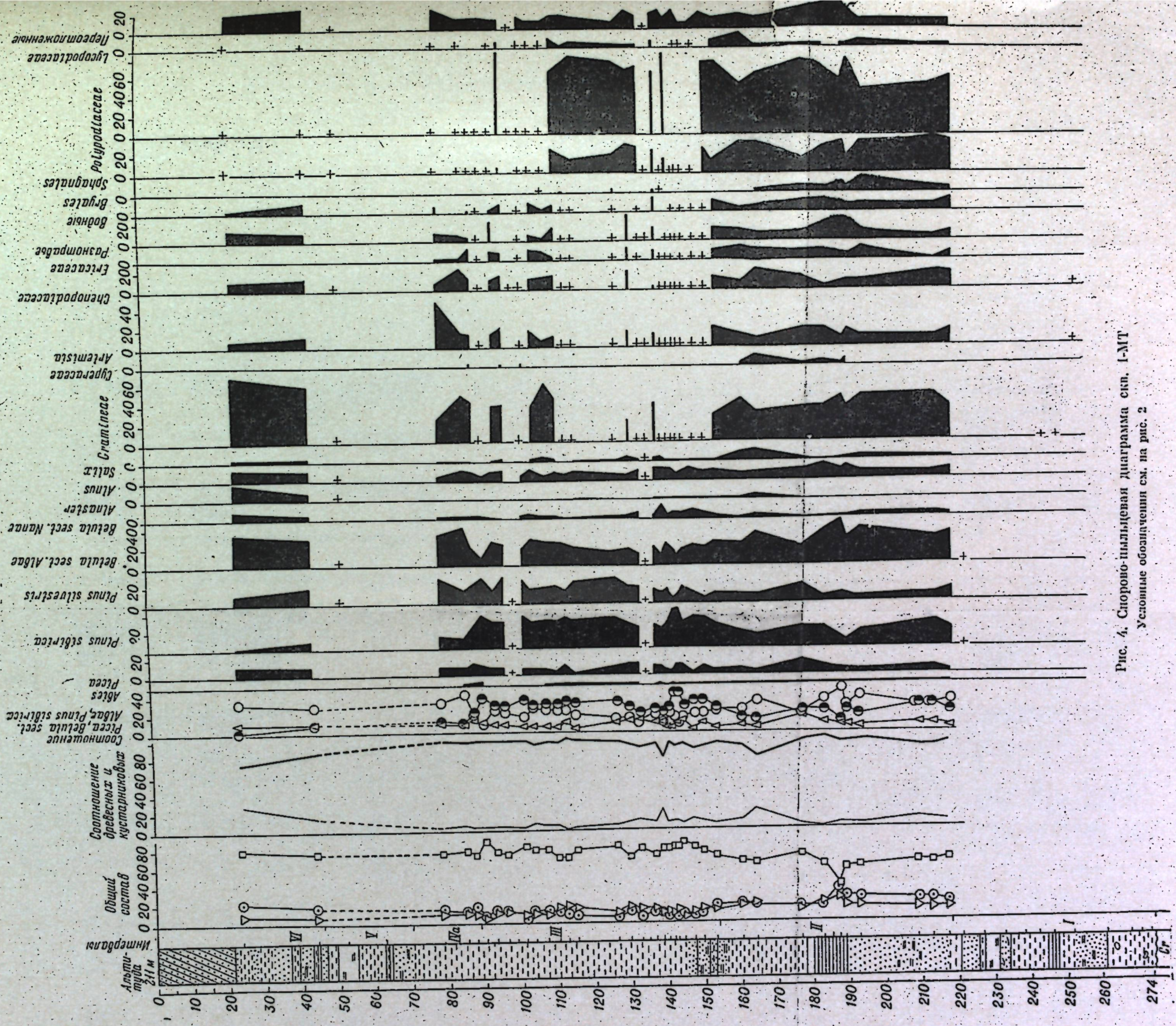


Рис. 4. Спорово-пыльцевая диаграмма скв. I-MT
Условные обозначения см. на рис. 2

Профиль Мужи — Тильтим (скв. 1)

Из большей части образцов были получены бедные спектры, и споропыльцевая диаграмма (рис. 4) не полностью отражает развитие расщепительности за время формирования вскрытых скважиной осадков. Тем не менее ее можно подразделить на интервалы, соответствующие определенным этапам накопления осадков и развития растительности.

I интервал, 162—105 м. Толща, сложенная песчаными глинями, чередующимися с песками с включением валунистого материала. Так же как и в рассмотренных скважинах, в отложениях, залегающих в основании разреза, содержится переотложенная пыльца и споры преимущественно юрского и мелового возраста. Плохая сохранность пыльцы затрудняет выяснение ее систематической принадлежности.

II интервал, 105—52 м. На диаграмме выделяется только один интервал, спорово-пыльцевые спектры которого характеризуются преобладанием пыльцы древесных и кустарниковых растений (65—70%). Содержание пыльцы кустарниковых очень незначительно, в среднем 3—5%. Содержание пыльцы травянистых и спор колеблется в пределах 20%, спор — 15—20%. Среди пыльцы древесных по всему интервалу доминирует пыльца сибирского кедра (в среднем 60%), содержание пыльцы ели невелико (5—7%). Почти во всех образцах присутствует пихта в количестве 2—4%. Содержание сосны в спектрах очень невелико (в среднем 10%), древовидной бересклета резко колеблется от 10—15 до 25—30%.

В составе группы травянистых и кустарничковых преобладает пыльца злаковых и разнотравья, однако в конце интервала довольно хорошо выражено увеличение содержания пыльцы полыней и маревых соответственно до 25 и 20%. Споры пришадлежат сфагнумам и папоротникам. Особенности спектров позволяют считать их среднетаежными, а увеличение сухости климата. Эти спорово-пыльцевые спектры сопоставляются со спектрами III интервала скв. 1-АМ и 3-МТ.

III интервал, 52—42 м. В литологическом отношении — это пачка, представленная в основном песками, не содержит пыльцы и спор.

IV интервал, 42—32 м. Пачка песков. Спорово-пыльцевые спектры практически сходны со спектрами II интервала.

ВЫВОДЫ

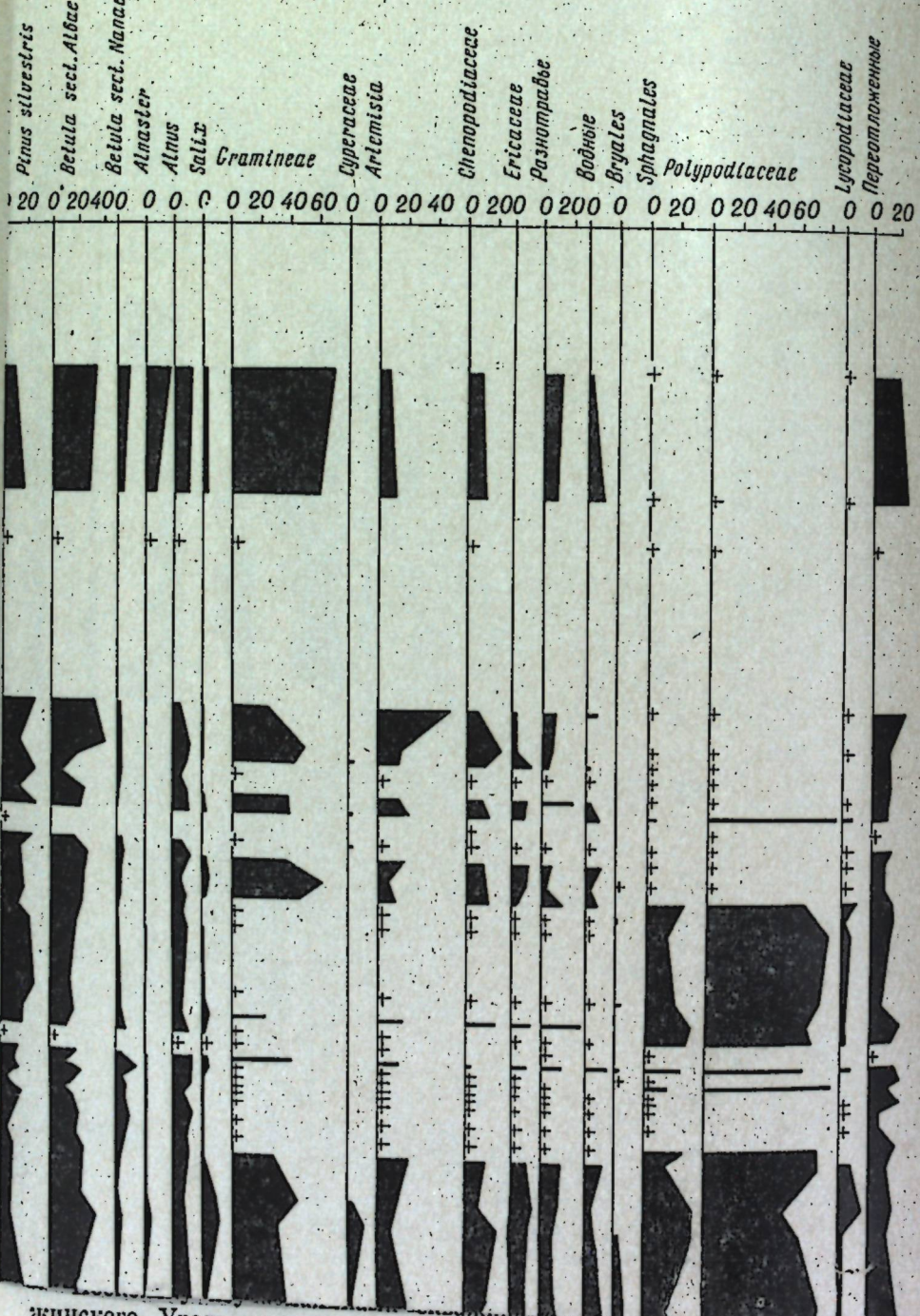
При сопоставлении спорово-пыльцевых диаграмм интервалы, выделенные на диаграммах, будут характеризовать не только типы спорово-пыльцевых спектров, но и этапы изменения климата в сторону потепления или похолодания.

Анализ диаграмм трех скважин показал, что в их основании выделяются интервалы с переотложенными преимущественно меловыми пыльцой и спорами, истертymi и сохранившимися настолько плохо, что практически невозможно определить их систематическую принадлежность.

Среди переотложенных зерен встречаются единичные экземпляры хорошо сохранившейся пыльцы четвертичных кустарниковых бересклетов.

На диаграммах скв. 1-АМ и 3-МТ выделяются более поздние сходные интервалы II, для которых характерен северотаежный тип спектров, а на диаграмме скв. 1-АМ в нижней части этого интервала можно выделить лесотундровые спектры.

III интервал на всех диаграммах характеризуется среднетаежными спорово-пыльцевыми спектрами с увеличением увлажнения в верхней части интервала, что хорошо прослеживается на диаграмме скв. 1-АМ.



жинского Урала, то можно с уверенностью предположить, что осадки, вскрытые этой скважиной, накапливались в условиях прибрежной зоны. Спорово-пыльцевые спектры этого интервала, а также литологический состав осадков, идентичны спектрам и осадкам VI интервала скв. 1-АМ.

В литологическом отношении этот интервал во всех трех скважинах представлен однородной толщей песчаных алевритистых глин.

IV интервал, выделенный в скв. 3-МТ, в литологическом отношении представляет единое целое с предыдущим интервалом, поэтому логично предположить постепенную смену среднетаежных спектров, характерных для III интервала, северотаежными спектрами, характерными для IV интервала. В скв. 1-АМ интервал характеризуется лесотундровыми спектрами. В литологическом отношении он не представляет единого целого с осадками предыдущего интервала, а сходен с конечными слоями IV интервала в скв. 3-МТ, который не был исследован полностью. Следовательно, можно предположить, что IV интервал скв. 1-АМ (назовем его IV_b), является естественным продолжением IV интервала скв. 3-МТ (IV_a).

V интервал выделяется на всех трех диаграммах. Для него характерны истертые, переотложенные пыльца и споры юрского и мелового возраста с единичными зернами четвертичной пыльцы. И, наконец, VI интервал, выделяемый на диаграммах скв. 1-АМ и 3-МТ, характеризуется лесотундровыми спектрами и в литологическом отношении представлен одинаковыми осадками в обеих скважинах.

Сопоставление ископаемых спорово-пыльцевых спектров с рецензиями приводит нас к выводу, что мощная толща доказацевских четвертичных осадков откладывалась в разных физико-географических условиях. Большая, средняя часть толщи, сложенная в основном глинистыми осадками, объединяемая на диаграммах интервалами II_b, III, IV_a, формировала в условиях климата, близкого к современному или даже не- сколько теплее его, т. е. в условиях межледниковых.

Нижняя и верхняя части толщи, сложенные осадками различного облика, которым на диаграммах соответствуют интервалы I, II_a, IV_b, V и VI, формировались в условиях холодного климата.

Характер изменения спорово-пыльцевых спектров по разрезам трех изученных скважин позволяет выделить ряд крупных этапов в истории развития растительного покрова.

Первый этап, возможно, отражает сначала скучную растительность арктической пустыни¹, а затем — развитие лесотундровых ландшафтов.

Второй этап отражает более теплые условия межледниковых, в течение которых в истории развития растительности можно проследить ряд последовательных смен зональных ландшафтов.

Северотаежные редкостойные леса, в составе которых господствовали елово-кедровые, березово-еловые, кедрово-еловые леса с примесью лиственницы и сосны, сменялись среднетаежными лесами с господством сибирского кедра.

Некоторое похолодание и увлажнение климата (свойственное концу межледниковых) приводило к постепенной смене среднетаежных формаций северотаежными, в составе древостоя снижалась роль кедра, не- сколько увеличивалось участие ели, в составе березово-еловых формаций доминирующей породой становилась береза. Под пологом леса снова появлялась травянистая растительность.

Третий крупный этап, весьма сходный с первым, отражает новое ухудшение климатических условий. Северотаежная растительность сменилась лесотундровыми ландшафтами с элементами перигляциальной флоры, которые в свою очередь сменяются ландшафтами арктической пустыни.

Четвертый этап отражает развитие на территории района лесотундровой растительности с элементами перигляциальной флоры.

¹ Термин арктическая пустыня условно характеризует собой спектр, состоящий из плохо сохранившихся пыльцы и спор юрского и мелового возраста с единичной пыльцой молодой кустарниковской берес.

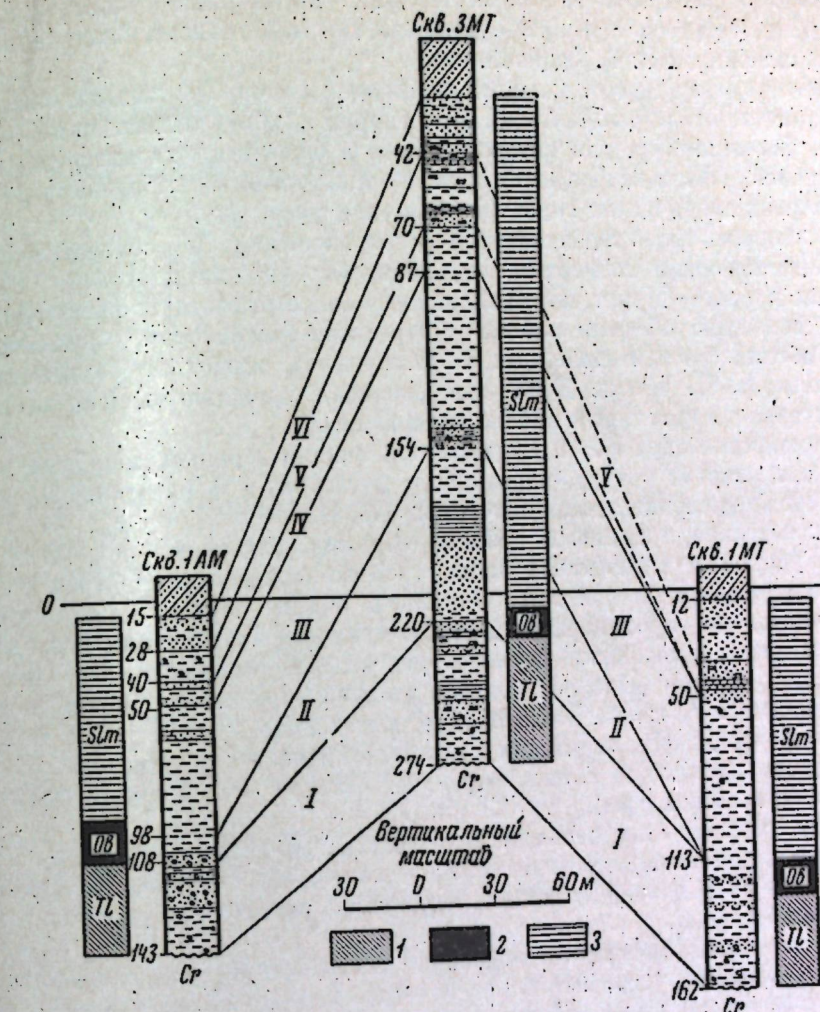


Рис. 5. Схема сопоставления разрезов по палинологическим и микрофаунистическим данным

Слои:

- 1 — тильминские;
- 2 — обесные;
- 3 — салемальские.

Спорово-пыльцевые спектры:
I — переродженный комплекс пыльцы и спор преимущественно юрского и мелового возраста;

вого возраста с единичной пыльцой молодых кустарниковых берес.
II — лесотундровые и северотаежные;
III — среднетаежные;
IV — лесотундровые и северотаежные;
V — переродженный комплекс пыльцы и спор преимущественно юрского и мелового возраста;

VI — лесотундровые

Литологические обозначения см. на рис. 2

Итак, в истории развития растительности, отвечающей времени формирования мощной четвертичной толщи осадков различного генезиса, выявляется следующая закономерность (фазы):

- 1) арктической пустыни?,
- 2) лесотундры,
- 3) северотаежных редкостойных лесов,
- 4) среднетаежных лесов,
- 5) северотаежных редкостойных лесов,
- 6) лесотундры с элементами перигляциальной флоры,
- 7) арктической пустыни?,
- 8) лесотундры с элементами перигляциальной флоры.

Кратко остановимся на сопоставлении выделенных нами спорово-пыльцевых спектров и микрофаунистических комплексов, выделенных в этих же скважинах В. И. Гудиной.

I интервал с переотложенным комплексом спор и пыльцы целиком сопоставляется с выделенным В. И. Гудиной (1966) тильтимским комплексом фораминифер, для которого также в основном характерен переотложенный комплекс фораминифер с присутствием небольшого числа современных арктических видов (в единичных разрезах).

II интервал, характеризующийся лесотундровыми и северотаежными спорово-пыльцевыми спектрами, выделенными нами на диаграмме скв. 1 профиля Азова — Мужи, почти полностью сопоставляется с выделенными в этой скважине обскими слоями с boreально-арктическим комплексом. Объем обских слоев, выделенных В. И. Гудиной, несколько больше объема интервала II. В скв. 3-МТ они попадают частично в неисследованный интервал, а частично в начало интервала II.

Салемальские слои В. И. Гудиной, слагающие верхнюю наиболее мощную часть разреза с аркто-бoreальным комплексом фораминифер, включают в себя выделенные нами интервалы IIб, III, IV и VI.

Следовательно, границы и объем стратиграфических подразделений В. И. Гудиной и выделенных нами спорово-пыльцевых спектров совпадают только частично (рис. 5). Однако в общих чертах палинологические данные не противоречат данным микрофаунистических исследований — заметное повышение температуры вод салемальского бассейна по сравнению с обским было обусловлено по всей вероятности общим потеплением климата Арктики. Похолодание, выделенное нами в конце формирования морских доказательств осадков, соответствует похолоданию салемальского времени, а с ним, вероятно, связано исчезновение фауны в верхах салемальских слоев.

Таким образом, ход изменений в составе микрофaуны, отражающий эволюцию седиментационного бассейна и колебания температуры его вод, в общих чертах сходен с ходом изменения растительных группировок на берегах бассейна.

В то же время достаточно подробное исследование спорово-пыльцевых спектров позволило наметить более полную картину закономерного изменения климатических условий.

ЛИТЕРАТУРА

- Голубева Л. В. 1960. Спорово-пыльцевые спектры четвертичных отложений северо-западной части Западно-Сибирской низменности. — В кн.: Спорово-пыльцевые спектры четвертичных отложений Западной и Центральной Сибири и их стратиграфическое значение. — Труды ГИН, вып. 31.
- Гричук М. П. 1959. К применению метода спорово-пыльцевого анализа в Сибири. — Научные докл. высшей школы, геол.-геогр. науки, № 1.
- Гудина В. И. 1966. Фораминиферы и стратиграфия четвертичных отложений северо-запада Сибири. М., «Наука».
- Лазукин Г. И. 1967. Антропоген северной половины Западной Сибири (стратиграфия и палеогеография). — Автореф. докт. дисс. М., МГУ.
- Левковская Г. М. 1967. Закономерности распределения пыльцы и спор в современных и голоценовых отложениях севера Западной Сибири. — Автореф. канд. дисс. Л., ЛГУ.
- Соколова Н. С. 1965. Современные спорово-пыльцевые спектры аллювия р. Оби в районе пос. Березово. — Вест. МГУ, № 6.

Т. П. ЛЕВИНА

К ПАЛИНОЛОГИЧЕСКОЙ ХАРАКТЕРИСТИКЕ МОРСКОГО ПЛЕЙСТОЦЕНА ЗАПАДНОЙ ЧАСТИ ТАЙМЫРСКОЙ НИЗМЕННОСТИ

Изучение пыльцы и спор из морского плейстоцена западной части Таймырской низменности проводилось из пяти разрезов: трех по правому берегу Енисея и двух на р. Агане — притоке р. Пясины. Разрезы на правом коренном береге Енисея в настоящее время находятся на границе кустарниковых тундр и предтундровых редколесий. Здесь распространены ериковые тунды в сочетании со сфагновыми и дикраново-лишайниково-сфагновыми болотами и лиственичными редколесьями, а также сфагново-дикраново-лишайниковыми плоско- и крунибугристыми болотами. Ериковые тунды представляют трехъярусное растительное сообщество. В верхнем кустарниковом ярусе, кроме преобладающего ерика, нередко встречаются кустарниковые ивы и *Alnus fruticosa* Rupr. Местами в этом ярусе располагается багульник. Второй ярус — травяно-кустарничковый или кустарничково-травяной. Обычные его компоненты — бруслика, голубика и вороника.

Напочвенный покров, как правило, хорошо развит, и в нем господствуют зеленые сфагновые мхи или лишайники.

Обнажения на р. Агане расположены в зоне типичных тундр. Кустарники *Betula nana* L. и ивы распластаны по поверхности мохового покрова и не выделяются среди кустарничково-травянистого яруса, в котором господствуют осоки. Моховой покров состоит, в основном, из зеленых мхов.

При интерпретации ископаемых спорово-пыльцевых спектров из морских отложений необходимо учитывать, что состав прибрежной растительности по-разному отражается в морских и континентальных отложениях. Это можно проследить на примере формирования современных спорово-пыльцевых спектров морских и континентальных отложений. Спорово-пыльцевые спектры поверхностных отложений из зоны тундр в низовьях Енисея изучались А. И. Пермяковым (1964). Он отмечает, что в тундровых спектрах наблюдается повышенное количество пыльцы древесных пород — от 51 до 60%. Лишь в образцах, взятых у северных пределов арктической тунды, т. е. наиболее удаленных от лесной зоны, этот процент значительно ниже (30—40%). Количество пыльцы травянистых растений колеблется от 15 до 30%. Кривая спор не дает значительных колебаний и проходит на уровне 20—25%. Среди пыльцы древесных пород преобладает пыльца сибирского кедра (40—50%). Процент содержания пыльцы сосны невелик и колеблется от 5 до 10%. Пыльца ели встречается спорадически в небольших количествах в пределах 2—5% от состава древесных пород. Пыльца ивих встречается единично и не во всех образцах. Содержание пыльцы бересклета составляет в среднем 20—30% от всей пыльцы древесных пород. Процент пыльцы кустарниковых бересклетов в спорово-пыльцевых спектрах невелик, несмотря на значительное

участие их в растительном покрове. Содержание пыльцы ольхи в образцах различно и колеблется от 5 до 50%.

Захоронение и распространение спор и пыльцы в морских отложениях отличается от континентальных. Предварительная оценка возможностей и ограничений распространения пыльцы и спор в современных морских отложениях были даны в статьях Е. В. Кореневой (1957, 1964, 1966; Коренева, 1966а), Дж. Грутт и К. Грутт (J. J. Groot and C. R. Groot, 1966), А. Мантина (Mantén, 1966), Е. Стенли (Stanley, 1966), Г. М. Левковской (1967), Ф. М. Левиной (Загорская и др., 1965). Установлено, что спорово-пыльцевые спектры морских отложений отражают лишь главные элементы растительности соседних земель или островов. Е. В. Коренева отмечает, что на расстоянии более чем 500 км от берегов континента содержание пыльцы и спор в отложениях уже не отражает характера растительности соседнего побережья. Обычно в морских отложениях наблюдается высокий процент пыльцы сосны.

Спорово-пыльцевые спектры, выделенные из донных осадков Карского моря — ближайшего к району наших исследований, были изучены Ф. М. Левиной (Загорская и др., 1965) по колонкам четырех станций. Она отмечает обилие переотложенной пыльцы и спор. Наиболее насыщенным оказались образцы из колонки, поднятой на станции «Волна»-49 в 120 км от островов Иавестия ЦИК. Спорово-пыльцевые спектры в интервале 0—37 см характеризуются неравномерным доминированием пыльцы деревьев и спор; пыльцы трав и кустарников мало. Среди пыльцы древесных пород преобладает пыльца бересек секции *Albae*, при довольно значительном содержании пыльцы *Pinus silvestris* L. до 55% и несколько меньшем *Alnus* — 22,9%.

В группе трав и кустарников отмечены единичные зерна разнотравья и бересек секции *Nanae*. Среди спор больше всего встречено спор сфагновых мхов — до 83,1%, гораздо меньше спор папоротников семейства Polypodiaceae — 34,7%. Встречаются единичные споры *Lycopodium clavatum* L., *L. alpinum* L., *L. selago* L., *Lycopodium* sp., *Selaginella selaginoides* L. (Link.), *Selaginella* sp.

Эти данные показывают, что спорово-пыльцевые спектры поверхностных проб из современных континентальных отложений тундры существенно отличаются от спектров морских современных отложений. В морских отложениях еще более завышено количество пыльцы древесных пород. В морских отложениях в значительных количествах содержится пыльца *Pinus silvestris* L., тогда как в поверхностных образцах из зоны тундры преобладает *Pinus sibirica* (Rupr.) Maug. В морских отложениях значительно повышено содержание спор сфагновых мхов и встречаются споры лесных плаунов. В континентальных обилие спор сфагновых мхов обычно для северной части лесной области и лесотундры. По мнению Г. М. Левковской, спектры морских отложений более осреднены, чем континентальные. Спектры прибрежно-морских отложений характеризуют растительность целой ботанико-географической области, спектры открытого моря — еще более обширной территории. Это постоянно надо иметь в виду при интерпретации диаграмм морских отложений. Очень важно, по мнению Е. В. Кореневой (1964), при интерпретации спектров древних морских отложений учитывать особенности состава флор, существовавших в соседних континентальных областях в то же самое время.

Обнажения правого коренного берега Енисея были изучены против острова Никитинского (оби. 4), на Селякином мысу (оби. 20) и около пос. Карапул (оби. 14). Строение разрезов дается по описаниям С. С. Сухоруковой.

На Селякином мысу вскрываются (сверху вниз):

	Мощность, м	Высота залегания, м
1. Алеврит горизонтальнослойистый	3	38,8—41,8
2. Алеврит песчанисто-глинистый с галькой и валунчиками, неслоистый, мелкоскользчатый	3,8	35—38,8
3. Песок средизернистый, галечник горизонтальнослойистый	1,6	33,4—35
4. Алеврит глинистый, горизонтальнослойистый, с растительным детритом, с крупными послойно расположеными конкрециями	23	0—23

Основание разреза на уровне Енисея (3 м абсолютной высоты). Пыльца и споры изучались из всех четырех слоев, начиная с высоты 11 м (рис. 1).

В спорово-пыльцевых спектрах из глинистого алеврита, песка и алеврита песчанистого на высоте 11—33,8 м значительно преобладает пыльца недревесных растений, представленная, в основном, злаками и разнотравьем. Пыльца кустарников *Alnus fruticosa* Rupr. и бересек секции *Nanae* встречается в небольших количествах. Содержание пыльцы древесных пород в глинистом алеврите не превышает 20% и лишь в песчанистом алеврите достигает 25—30%. Большая часть пыльцы древесных пород принадлежит плохо сохранившейся пыльце бересек. Среди спор доминируют зеленые сфагновые мхи и, в меньшей степени, папоротники. Постоянно встречаются споры арктических и альпийских плаунов. Небольшое количество пыльцы древесных пород и особенно *Pinus silvestris* L., возможно, свидетельствует о том, что эти отложения формировались в прибрежно-морских условиях. От современных поверхностных спектров аллювия из зоны тундры эти спектры отличаются своеобразным сочетанием довольно разнородных элементов. Поскольку только в арктической тундре наблюдается максимум трав, среди которых примерно в одинаковых количествах присутствуют злаки и разнотравье (Левковская, 1967), можно считать, что спектры этой части разреза по своему общему составу отражают существование по берегам бассейна па огромных территориях безлесных пространств, близких по составу арктической тундре. Это подтверждается также небольшим содержанием пыльцы кустарников и осок, которые более характерны для спектров типичных тундр. В то же время здесь присутствуют лесные плауны и велико количество спор сфагновых мхов, что характерно для лесотундры и североатлантических лесов. Подобное сочетание скорее всего объясняется условиями формирования осадков в прибрежно-морской зоне. Особое своеобразие спектрам придает постоянное присутствие пыльцы типичного степного вида — эфедры — и несколько повышенное содержание маревых, которые едва ли могли так часто заноситься с юга из степной зоны. По-видимому, спектры отражают существование по берегам бассейна растительного покрова, в котором среди тундровых ассоциаций встречались степные элементы. Большинство палинологов считает такие спектры характерными для холодного и сухого климата перигляциальных условий оледенения (В. П. Гричук и М. П. Гричук, 1960).

С высоты 37—41,8 м в спектрах увеличивается до 30—50% количество пыльцы древесных растений, в основном бересек. Сохранность пыльцы становится лучшей. В небольших количествах встречается пыльца кустарников.

Травянистые растения представлены злаками и разнотравьем. Судя по общему составу, спектры указывают на смену перигляциальных ландшафтов растительностью, близкой к тундре. Во время формирования этой

Рис. 2. Спирально-шальцевая диаграмма отложений, вскрытых в обн. 44 (Караял)

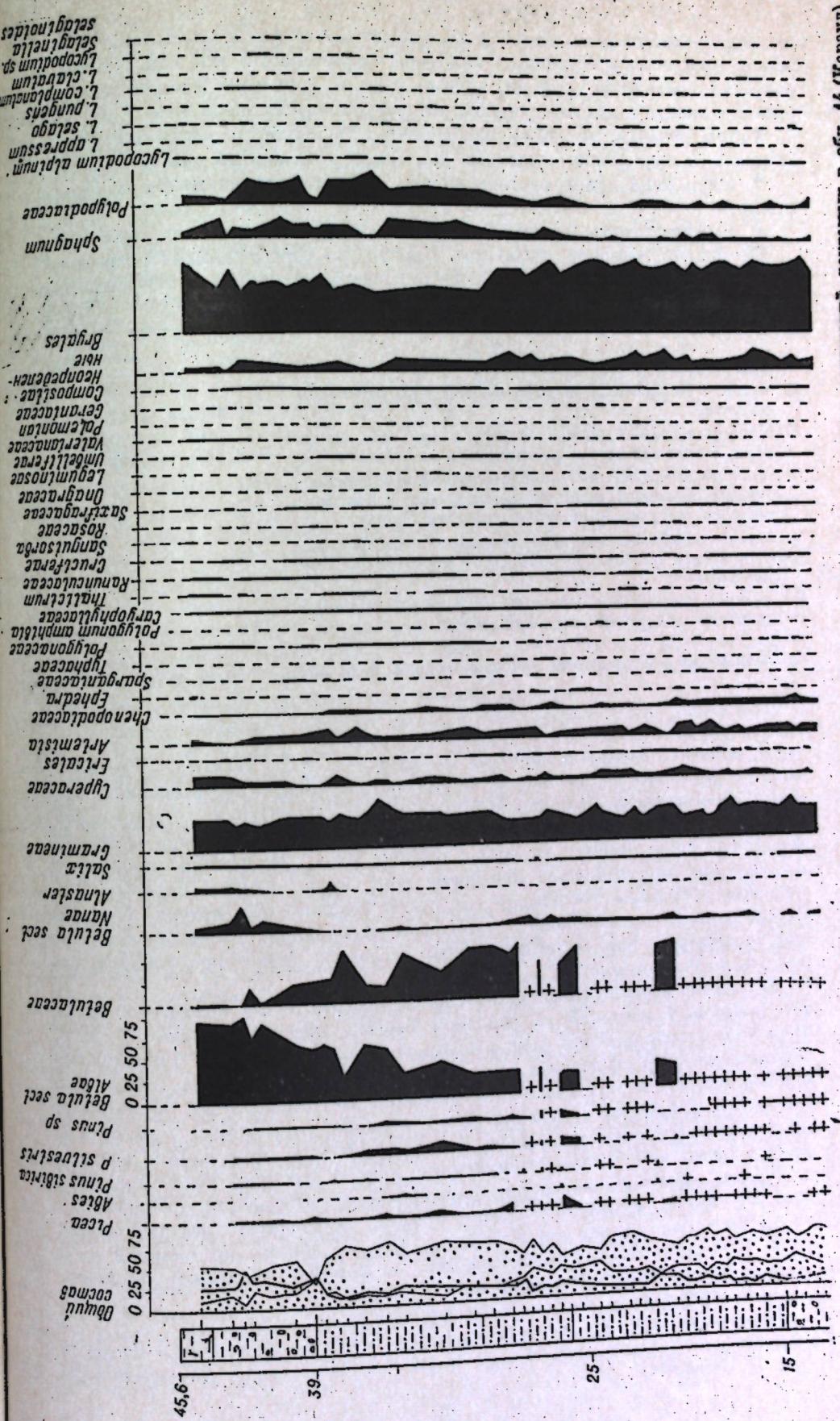
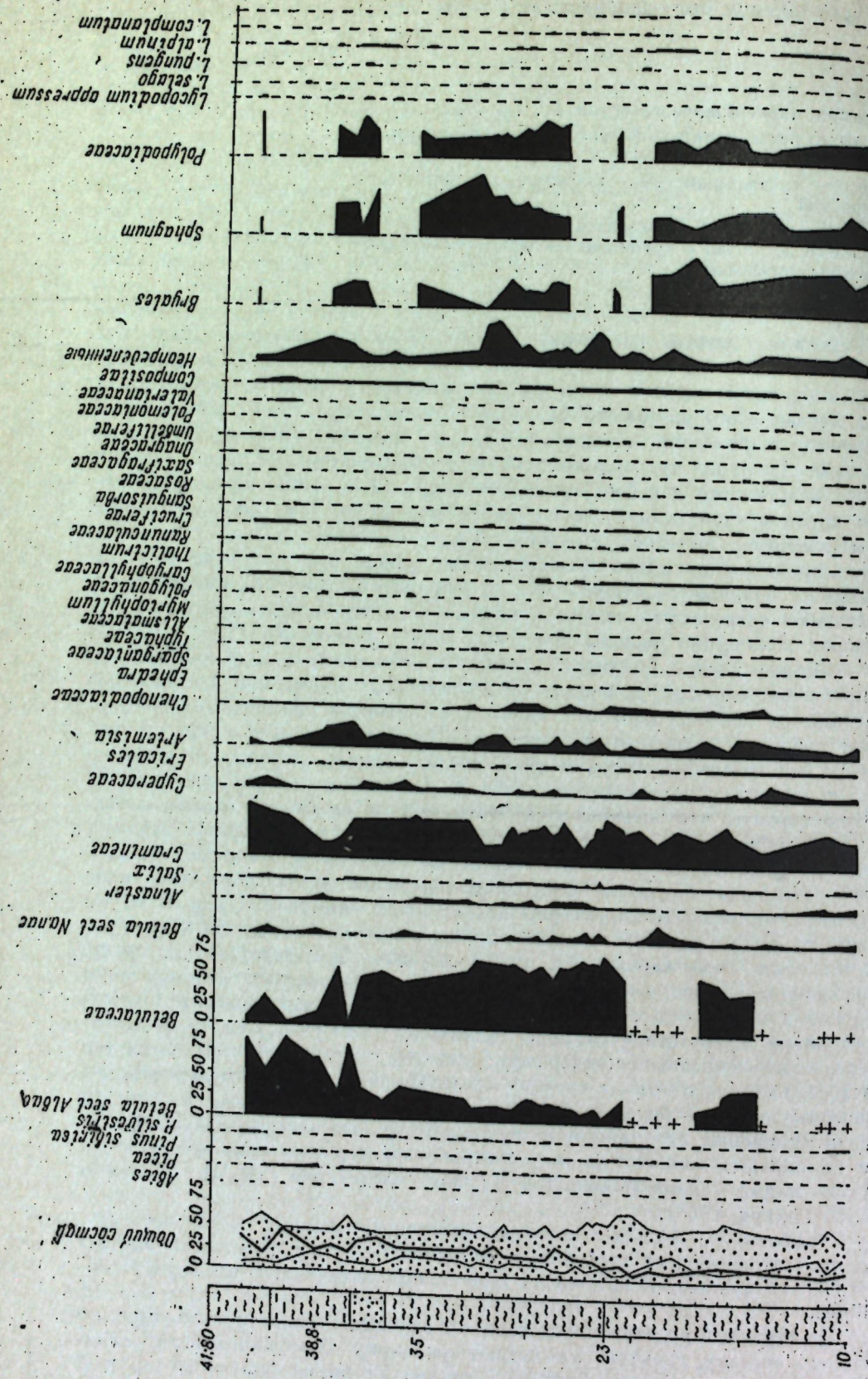


Рис. 1. Спирально-шальцевая диаграмма отложений, вскрытых в обн. 20 (Селикин мыс)



части разреза (верхов слоев 2 и 1), климат, несмотря на некоторое потепление, продолжает оставаться холоднее современного, так как тундровая растительность того времени, видимо, еще не достигала уровня развития растительности в южных тундрах, распространенных здесь ныне.

Таким образом, за время накопления отложений, обнаженных на Селякином мысу, можно выделить две фазы в развитии растительности:

1. Перигляциальная растительность, сочетающая элементы тундры и степи.

2. Растительность, близкая к типичной тундре.

Несколько севернее, около пос. Каунал, на берегу Енисея расположено обн. 14. По данным С. С. Сухоруковой, в разрезе вскрываются (сверху вниз):

	Мощность, м	Высота залегания, м
1. Алеврит тонко-горизонтальнослойистый с растительным детритом	1,6	44—45,6
2. Алеврит песчанистый, неслоистый, с галькой, валунами, с вивианитом на растительных остатках	5	39—44
3. Алеврит песчанистый, с тонкой линзовидной перекрестной слоистостью, редкими конкрециями, с прослойками, слоистость которых сильно деформирована	7	26—39
4. Алеврит слабо карбонатный, горизонтальнослойистый, в прослоях линзовиднослойистый, с многочисленными конкрециями	11	15—26
5. Алеврит глинистый, с галькой, валунами и обломками угля, неслоистый, мелкокомковатый	10	5—15

Основание разреза на высоте 5 м над уровнем реки (или около 11 м абсолютной высоты).

В спорово-пыльцевых спектрах из слоев 5—3 (высота 13—39 м; рис. 2) преобладает пыльца недревесных растений, принадлежащая злакам и разнотравью. Пыльца древесных пород находится в плохой сохранности и определялась лишь до семейства. Очень мало пыльцы кустарников. Среди спор доминируют споры зеленых мхов. Постоянно попадается пыльца эфедры, несколько повышенено количество пыльцы маревых. Повидимому, спектры указывают на существование по берегам бассейна растительности, включавшей в тундровых ассоциациях степные элементы, что характерно для перигляциальных условий, характеризующихся холодным и сухим климатом.

В спорово-пыльцевых спектрах слоя 2 (высота 39 м) количество пыльцы древесных растений, в основном берески, повышается до 30—50%. Несколько увеличивается роль пыльцы кустарников и осок. Уменьшается содержание спор сфагновых мхов и папоротников. Спектры отражают, видимо, смену перигляциальных условий растительностью, близкой к тундре. Климатические условия этого времени улучшились, однако еще не достигли современного уровня, так как сейчас в этом районе развиты растительные ассоциации, свойственные южной кустарниковой тундре.

Таким образом, за время формирования отложений, вскрытых в обн. 14, можно выделить те же две фазы в развитии растительности, что и во время накопления осадков на участке обнажения Селякин мыс:

1. Перигляциальная растительность, в которой тундровые элементы существовали совместно со степными.

2. Растительность, близкая типичной тундре.

Спорово-пыльцевые спектры несколько иного типа получены из обн. 4 расположенного на правом берегу Енисея в 300 м ниже по течению от устья р. Зырянки.

В разрезе, по данным С. С. Сухоруковой, вскрываются (сверху вниз):

	Мощность, м	Высота залегания, м
1. Алевролит песчано-глинистый, в верхней части с горизонтальными прослойками, внизу с линзами песка мелко- и тонкозернистого, с галькой и валунами долерита, обломками угля	20,1	24—44,1
2. Алевролит сильно глинистый, горизонтальнослойистый, с присыпками песка, обломками фауны. В основании — глина с конкрециями	8,8	15,2—24
3. Алевролит песчано-глинистый	3,3	12—15,2
4. Песок мелкозернистый, горизонтальнослойистый, с прослойками алевролита песчано-глинистого	6	6—12

В смежных выходах над первым слоем прослеживается 30-метровая пачка белых и палевых песков, оставшаяся не изученной.

Основание разреза находится в 6 м над уровнем Енисея (в 10 м над уровнем моря).

В спорово-пыльцевых спектрах из верхней части слоев 3,2 и нижней части слоя 1 (на высоте 14—34 м; рис. 3) преобладают споры, несколько меньше пыльцы недревесных растений. Споры принадлежат зеленым и в меньшей степени сфагновым мхам и папоротникам. Встречаются споры альпийских и лесных плаунов. В группе кустарников очень много пыльцы кустарниковых берес (30%). Пыльца древесных пород мало и она плохо сохранилась. Пыльца трав принадлежит злакам, разнотравью и полыньям; маревых очень мало, но иногда встречается пыльца эфедры. Спектры отражают существование типичной тундры, среди которой, вероятно, сохранялись сухие участки, где росла эфедра.

Спорово-пыльцевые спектры верхней части слоя 1 (на высоте 34—42 м) мало отличаются от спектров лежащих ниже отложений. Увеличивается количество спор и несколько уменьшается содержание пыльцы недревесных растений. Исчезает пыльца эфедры и значительно уменьшается количество пыльцы полыней. В то же время еще больше увеличивается количество пыльцы кустарниковых берес. Среди спор сокращается количество спор сфагновых мхов и папоротников. Вероятно, спектры отражают полное исчезновение элементов перигляциальной растительности и существование ценозов, присущих типичной тундре.

В самой верхней части слоя 1, с высоты 42 м, в спектрах резко увеличивается количество пыльцы недревесных растений, в основном ольховника. Значительно уменьшается содержание пыльцы кустарниковых берес. Сокращается количество пыльцы злаков и разнотравья. Среди спор преобладают споры зеленых мхов. Количество пыльцы древесных растений убывает, в то же время увеличивается до 10% относительное количество пыльцы ели (такое количество пыльцы если встречается обычно на границе ее ареала).

Большое количество пыльцы ольховника также характерно для лесотундры и южной тундры. Вероятно, спектры отражают существование растительности, близкой к современной.

Таким образом, за время накопления осадков этого разреза (обн. 4) намечается три фазы в развитии растительности:

1. Тундра с остатками перигляциальной растительности.
2. Типичная тундра.
3. Южная кустарниковая тундра.

Первые две фазы несколько напоминают две фазы развития растительности, намечаемые по диаграммам обн. 20 и 14, но в то же время значительно от них отличаются. Хотя на первом этапе и сохранились

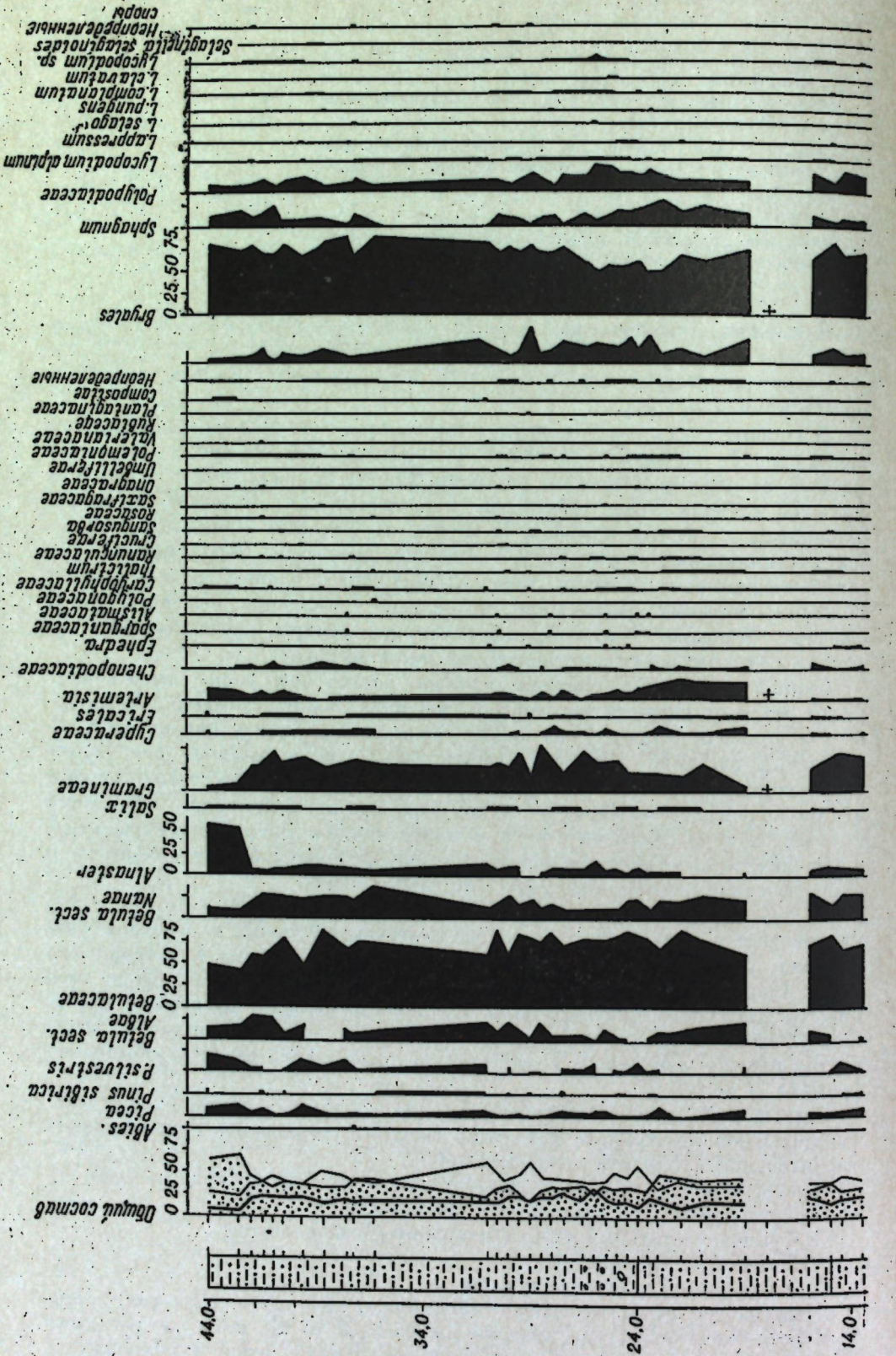


Рис. 3. Споро-пыльцевая диаграмма отложений, вскрытых в обн. 4 и 300 м ниже по течению от устья р. Заринки

некоторые элементы перигляциальной растительности, основой фон в растительном покрове создавали типичные тундровые ассоциации, а элементы степной растительности здесь были незначительными. По-видимому, это было уже начало потепления, хотя климат был еще суровее современного. Растительность третьего этапа существовала, вероятно, в условиях, очень близких к современным.

Морские отложения казанцевского возраста с обильными раковинами моллюсков и фораминифер исследовались в изымах р. Агапы, левого притока р. Пасины. Всего было исследовано два разреза (обн. 27 и 33).

В обн. 27, по материалам С. Л. Троицкого, вскрываются (сверху вниз):

	Мощность, м	Высота залегания, м
1. Глины серые	1,5	43—44,5
2. Коричнево-бурый оскольчатый алеврит, глинистый, с прослойками палевого темно-бурового песка в основании	2	41—43
3. Алеврит коричневый, с прослойками желтого мелкозернистого и тонкозернистого алевритистого песка . . .	3	38—41
4. Алеврит буровато-коричневый, сходен с породой слоя 5, с линзовидными слойками и пятнами песка тонкозернистого и разнозернистого, палевого; много песчаных прослоев	8	30—38
5. Алеврит светло-бурый, такой же, как и ниже, но с более частыми, выдержаными и мощными слойками палевого тонкозернистого и мелкозернистого песка . . .	4,1	25,9—30
6. Алеврит бурый, несколько более легкий и светлый, с микрослойками палевого тонкозернистого песка . . .	4	21,9—25,9
7. Алеврит бурый, с синевато-серыми пятнами, несколько менее глинистый, с тонкими песчаными слойками . . .	1,6	20,3—21,9
8. Алеврит глинистый, серый, среднеслоистый, с запахом тления, с обильными раковинами	2,3	18,0—20,3

Основание разреза находится на уровне реки (18 м над уровнем моря).

Споро-пыльцевые спектры слоев 8—3 (0—23 м) довольно однообразны (рис. 4). Пыльца древесных пород, недревесных растений и спор встречается почти в одинаковых количествах. Пыльца древесных принадлежит, в основном, березе. В небольших количествах (до 15%) встречается пыльца сосны и ели. Такой процент пыльцы ели уже свидетельствует о том, что ель росла непосредственно в этом районе. Довольно много пыльцы карликовых берез и несколько больше пыльцы ольховника. Как уже упоминалось, большое количество пыльцы ольховника свойственно лишь южной тундре и лесотундре. Среди трав, паряду со злаками и разнотравьем, довольно много пыльцы осок, которые более свойственны южным тундрам. Споры принадлежат зеленым мхам и папоротникам. Паряду с арктическими плаунами встречаются и лесные. Вероятно, споро-пыльцевые спектры отражают существование растительности, близкой к южной тундре на границе с лесотундрой.

Все это свидетельствует о том, что в период накопления нижних 27 м толщи, вскрытой в обн. 27, климат был несколько теплее, чем в настоящее время,— на месте современной типичной тундры существовала кустарничковая тундра.

В споро-пыльцевых спектрах слоев 1 и 2 (23—26, 5 м) преобладали споры за счет увеличения роли папоротников. В остальном состав спектров основных групп не меняется. вполне возможно, что спектры отражают увеличение влажности.

Обн. 33 расположено в восточном конце Чугунковых яров. Там, по материалам С. Л. Троицкого, сверху вниз вскрываются:

	Мощность, м	Высота залегания, м
1. Алевролит бурый, глинистый, неяснослойистый, вверху почвенный, немой	3	37,6 — 40,6
2. Глины серые, среднеслойистые, с тонкими прослойками песка и раковинами <i>Portlandia arctica</i> (Gray)	9	28,6 — 37,6
3. Алевролит глинистый, бурый, с микрослойками песка, редкими и маломощными внизу и более толстыми в верхней части слоя	4,2	24,4 — 28,6
4. Глины сизые, плотные, с кубовидной отдельностью, содержат радиальнолучистые карбонатные конкреции и обильные раковины морских моллюсков и усогоних	7,8	16,6 — 24,4

В спорово-пыльцевых спектрах нижних 12 м разреза (рис. 5), как и в обн. 27, пыльца древесных пород, недревесных растений, и споры встречаются почти в одинаковых количествах. Пыльца древесных пород принадлежит, в основном, березе, но пыльцы ели и хвойных здесь несколько меньше. Пыльцы кустарников, среди которых в одинаковых количествах содержится пыльца кустарниковых берез и ольховника, также меньше. Почти исчезает пыльца осоки. Спорово-пыльцевые спектры отражают существование растительности, близкой к южной кустарниковой тундре. Существование такой растительности отражает условия, несколько благоприятнее современных, так как разрез расположен в подзоне типичной тундры.

С высоты 26 м в спектрах значительно увеличивается количество спор, в основном папоротников семейства Polypodiaceae. Как и в обн. 27, состав пыльцы и спор в основных группах не меняется. Увеличение количества спор скорее всего свидетельствует об увеличении влажности.

Из этих же разрезов В. И. Гудина, Н. И. Нуждина, С. Л. Троицкий (1968) изучали остатки моллюсков и фораминифер. В разрезах, расположенных на участке между Чугунковыми ярами и мысом Колхозник, они выделяют три характерные пачки пород (сверху вниз):

1. Бурые ленточные алевролиты и серые ленточные глины с *Portlandia arctica* (Gray). Пачка со следами глубокого размыва залегает на более древних отложениях. Кровля ее практически совпадает с поверхностью Нижне-Агапской низины.

2. Бурые алевролиты с прослойками песка, ниже — серые глинистые алевролиты и глины с обильными остатками ископаемых моллюсков, фораминифер, ракообразных.

3. Светло-палевые мелкозернистые пески с прослойками алевролита, алевролитистого песка, белого среднезернистого песка, галечного песка и редкими раковинами моллюсков.

По присутствию раковин *Arctica (Cyprina) islandica* L. нижнюю пачку указанные выше авторы относят к казанцевским слоям, как и отложения средней пачки, согласно залегающей на нижней и содержащей еще заметное количество умеренно-тепловодных (преимущественно бореальных) видов: *Balanus hameri* (Asc.), *Pagurus pubescens* (Kröyer), *Mytilus edulis* L., *Macoma baltica* (L.), *Amaura candida* (Möll.), вместе с 15 аркто- boreальными и 30 арктическими видами.

В составе фораминифер основную роль играют эльфидиды. Наряду с известными из санчуговских слоев *Elphidium subclavatum* Gudina, здесь встречаются виды, не обнаруженные в более древних слоях: *Elphidium selseyense* (Heron-Allen et Earland), *E. excavatum boreale* Nuzhdina. Характерно появление *Anomalina baltica* (Schroeter), *Discorbis deplanatus* Gudina. Присутствие в комплексе значительного количества бореальных

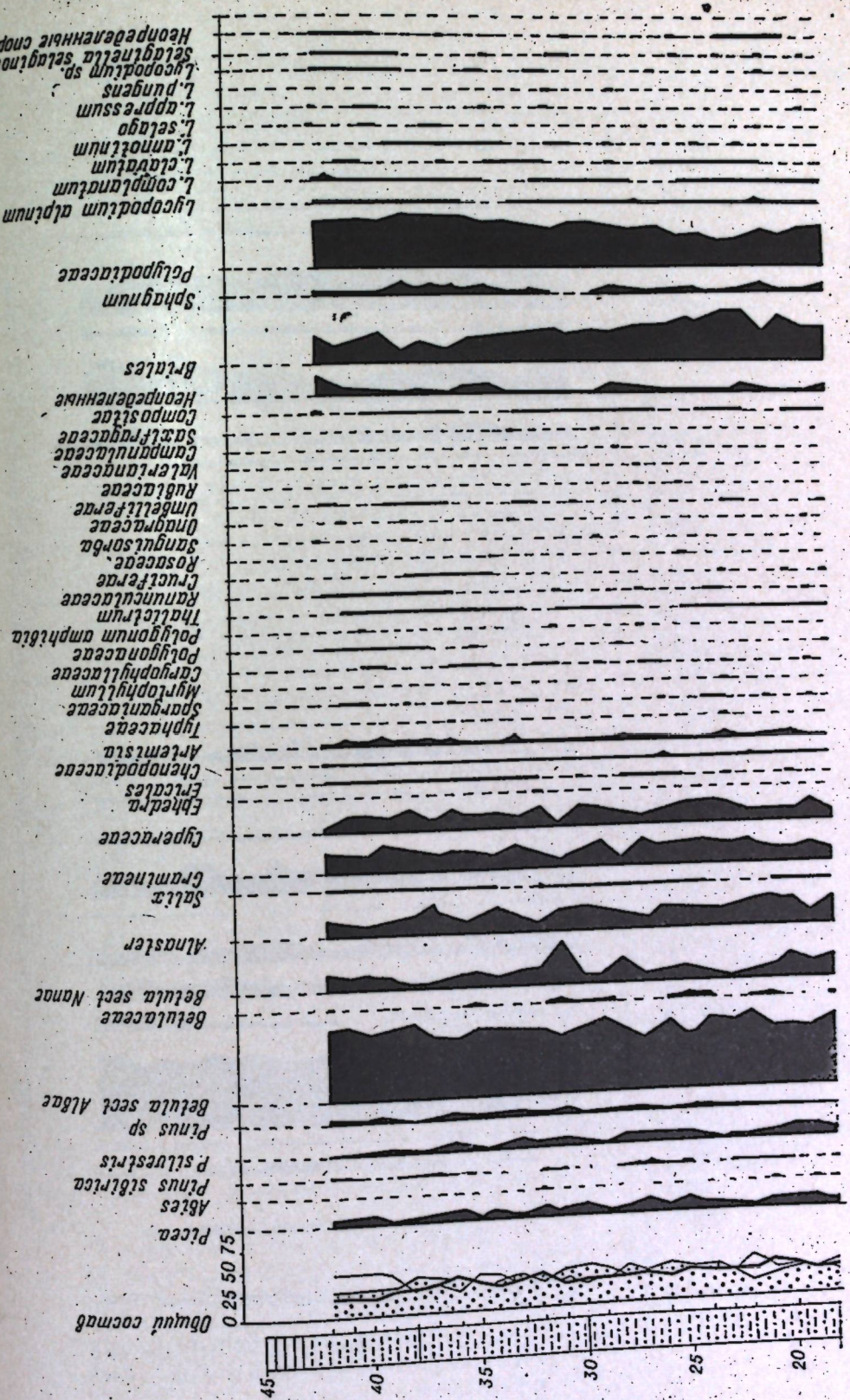


Рис. 4. Спорово-пыльцевая диаграмма отложений, вскрытых в обн. 27 в низинах р. Агапы
Условные обозначения см. на рис. 2

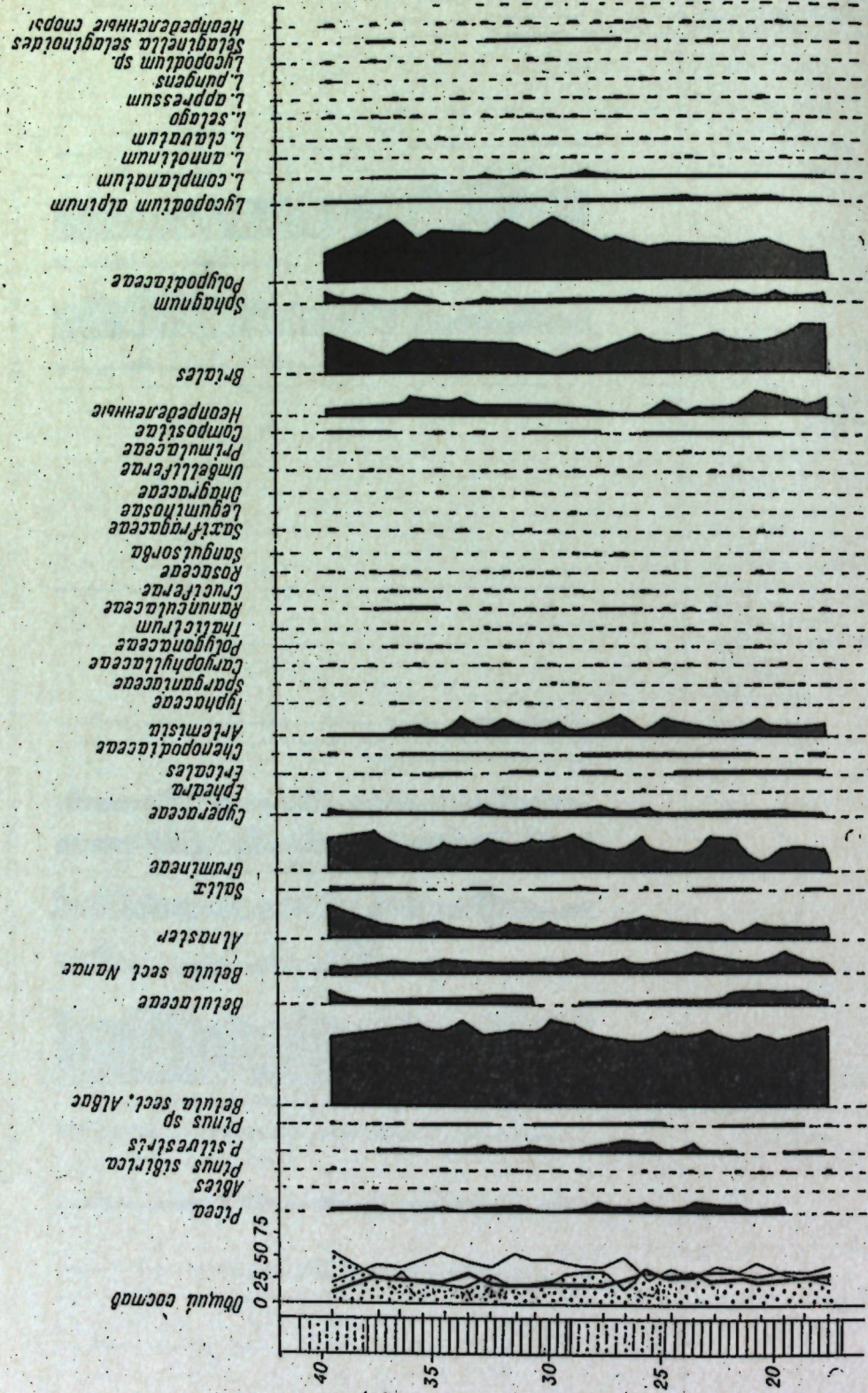


Рис. 5. Спорово-пыльцевая диаграмма отложений, вскрытых в обн. 33 в низовых р. Агата
Условные обозначения см. на рис. 2

фораминифер свидетельствует о температурных условиях, более благоприятных чем современные, что согласуется с данными по моллюскам, ракообразным и с материалами спорово-пыльцевого анализа.

В верхней части средней пачки наблюдается постепенное обеднение видового состава и количества моллюсков и фораминифер, вплоть до полного их исчезновения.

В ленточных алевритех и глинах верхней пачки встречена фауна совершенно иного облика. Довольно обильные раковины моллюсков практически принадлежат одному виду — *Portlandia arctica* (Gray). Совершенно иным становится и состав фораминифер, преобладают крупные раковины — *Cribroelphidium goesi* (Slshedrina), *Elphidiella groenlandica* (Cushman), характерные для холодных и несколько опресненных вод.

По мнению С. Л. Троицкого, поверхность размыва между верхней и средней пачками разделяет морские отложения, относящиеся к двум различным ритмам осадконакопления. Нижние две пачки он относит к казанцевским слоям, верхние — к дюрюсским — отложениям приледниковых морских заливов позднезырянского времени. В обн. 27 вскрываются отложения средней и верхней пачки. Граница между ними проходит на высоте 23 м. В обн. 33 граница между пачками проходит на высоте 12 м. Как уже отмечалось выше, спорово-пыльцевые спектры отражают существование южной тундры на месте современной типичной тундры. По палинологическим материалам отмечаются признаки потепления, но они выражены не столь ярко, как в особенностях состава моллюсков и фораминифер. Второй этап выделяется значительно хуже. В составе спектров нет резких признаков похолодания, какие наблюдаются по комплексам фораминифер и моллюсков. Они отражают только увеличение роли споровых растений, очевидно, вызванное повышением влажности климата во время накопления осадков верхней пачки. Вполне возможно, что такое слабое отражение смены климатических условий объясняется большей осредненностью спорово-пыльцевых спектров морских и прибрежно морских слоев по сравнению с континентальными.

Мы получили пять детальных спорово-пыльцевых диаграмм из разрезов плеистоценовых отложений западной части Таймырской низменности. Три из них дают нам данные о растительности санчуговского времени и две казанцевского.

Диаграммы отложений Никитинского яра, Селякина мыса и обнажения у пос. Карапул охватили почти полностью наиболее характерную часть разреза санчуговских слоев — немой селякинский алеврит с карбонатными конкрециями и глины и алевриты с санчуговским комплексом фауны и микрофауны. Остались неисследованными более поздние санчуговские (по С. Л. Троицкому) накопления — никитинский песок, мощностью до 30 м, включающий разрез морских слоев на правом берегу Енисея у острова Никитинского, а также подстилающие морские глины мессовские слои — аллювиальные пески, лежащие ниже уровня Енисея. Исследования этих частей разреза позволят в будущем дать общую картину изменения состава растительности за весь мессонско-санчуговский седиментационный ритм. Пока же мы имеем лишь часть этой картины — несколько фаз развития растительности (от более ранних к более поздним):

- 1) перигляциальная растительность,
- 2) типичная тундра,
- 3) южная кустарничковая тундра.

Две последние фазы соответствуют времени накопления санчуговских глин и алевритов с морской фауной, а первая — селякинского пресноводного алеврита (Сухорукова, Гудина, 1969).

Таким образом, намечается фаза похолодания после мессонского времени с его межледниковыми или межстадиальными условиями (Троиц-

кий, 1966), а аккумуляция морских слоев совпадает с новым постепенным улучшением климатических условий, достигающих современного уровня, перед началом отложения никитинского морского песка.

Две диаграммы из казаццевских отложений низовья р. Агани позволяют дополнить представления о межледниковой растительности середины казаццевского времени в бассейне р. Пясины. Во время максимума казаццевской трансгрессии около 72° с. ш. на берегах бассейна существовала южная тундра, граничившая с лесотундрой. Для того, чтобы картина изменений растительности за казаццевское время была полной, нужно еще исследовать более ранние казаццевские слои — пески, выходящие по р. Агани в дислокациях у мыса Колхозник, и более поздние отложения, обнаженные по ее берегам на 116 и 175—185 км от устья.

Спектры из дюрюсских слоев, залегающих на размытой поверхности казаццевских отложений в оби. 27 и 33, оказались сходными с казаццевскими, но содержали больше спор за счет увеличения роли папоротников.

Необходимо отметить, что во всех изученных нами образцах содержится очень много растительных остатков и переотложенной пыльцы. Значительная часть последней принадлежит верхнемеловым формам очень хорошей сохранности. В больших количествах встречаются типичные меловые формы: *Aquillapollenites*, *Expressipollis*, *Extratriporopollenites*, *Stenozonotrites radiatus* Chlonova. Среди них отмечены единичные находки *Nyssa*, *Myrica*, *Carya*, *Pterocarya*, *Yuglandaceae*, еще реже встречаются *Fagus*, *Tilia*. В небольших же количествах они встречаются и в верхнемеловых отложениях. По сравнению с переотложенными формами, четвертичные пыльца и споры отличаются очень плохой сохранностью.

Полученные нами результаты несколько расходятся с данными Ф. М. Левиной (Загорская и др., 1965), изучавшей санчуговские слои и реконструировавшей таежные ассоциации, основными компонентами которых были высокоствольные березы и сосны. Вполне возможно, что нами были выявлены разные этапы развития растительности на протяжении санчуговского времени. Однако не исключена возможность, что существенные расхождения в интерпретации спектров объясняются недостаточной изученностью условий формирования спорово-пыльцевых спектров в морских отложениях, а также недостаточно уверенным отделением переотложенных микрофоссилий. Мы надеемся, что применение объективных методов диагностики переотложенных спор и пыльцы и успехи морионалинологических исследований помогут снять существенные противоречия и получить ключи для более надежной интерпретации спектров из морских отложений.

ЛИТЕРАТУРА

- Гричук М. П. и Гричук В. П. 1960. О приледниковой растительности на территории СССР.—Периглациальные явления на территории СССР. М., Изд-во МГУ.
- Гудина В. И., Нуждина Н. А., Троицкий С. Л. 1968. Новые данные о морском плейстоцене Таймырской низменности.—Геол. и геофиз., № 1.
- Загорская И. Ю., Яшина З. И., Слободин В. Я., Левина Ф. М., Белевич А. М. 1965. Морские неоген (?) четвертичные отложения нижнего течения р. Енисея. М., «Недра».
- Коренева Е. В. 1957. Спорово-пыльцевой анализ донных отложений Охотского моря.—Труды Ин-та океанологии, т. XXII.
- Коренева Е. В. 1964. Споры и пыльца из донных отложений западной части Тихого океана.—Труды ГИИ, вып. 109.
- Коренева Е. В. 1966. Морионалинологические исследования в СССР.—В сб.: Значение палинологического анализа для стратиграфии и палеофлористики. М., «Наука».
- Левоковская Г. М. 1967. Закономерности распределения пыльцы и спор в современных и голоценовых отложениях севера Западной Сибири.—Автореф. канд. дисс., Л., ЛГУ.

- Пермяков А. Н. 1964. Особенности формирования спорово-пыльцевых спектров современных континентальных осадочных отложений (на примере бассейна р. Енисея).—Труды Ин-та геол. и геофиз. СО АН СССР, вып. 25. Новосибирск.
- Сухорукова С. С., Гудина В. И. 1969. Некоторые условия образования осадков и распределение фораминифер в плейстоцене севера Западной Сибири.—В сб.: Проблемы четвертичной геологии Сибири. М., «Наука».
- Троицкий С. Л. 1966. Четвертичные отложения и рельеф равнинных побережий Енисейского залива и прилегающей части гор Бирраинга. М., «Наука».
- Groot J. J. and Groot C. R. 1966. Marine palynology: possibilities, limitations, problems.—Marine Geology, v. 4, no. 6.
- Manten A. A. 1966. Marine palynology in progress.—Marine Geology, v. 4, no. 6.
- Stanley E. A. 1966. The problem of reworked pollen and spores in marine sediments.—Marine Geology, v. 4, no. 6.
- Koreneva E. V. 1966. Marine palynological researches in the USSR.—Marine Geology, v. 4, no. 6.

КАРГИНСКИЕ ДИАТОМОВЫЕ ВОДОРОСЛИ ИЗ ОПОРНОГО РАЗРЕЗА В НИЗОВЬЯХ ЕНИСЕЯ

В низовьях Енисея, в окрестностях Усть-Енисейского Порта находятся наиболее полные и обстоятельно изученные разрезы каргинских межстадиальных отложений (Сакс, 1951, 1953; Сакс, Антонов, 1945). Каргинские речные слои выносят долину Енисея, перекрытую, как показали исследования последних лет, мореной последней крупной стадии последнего покровного оледенения (Троицкий, 1967), ленточными глинями позднеледникового бассейна (Сакс, 1951, 1953; Сакс, Антонов, 1945) и маломощными голоценовыми торфяниками (Баркова, 1960; Алексеев и др., 1965; Троицкий, 1966).

Каргинский аллювий имеет четкое двучленное деление. Русловые галечники и пески с редкими слоями супесей заполняют нижнюю часть погребенной долины, залегают ниже уровня реки и вскрыты только буровыми скважинами. На них согласно залегают суглиники и супеси пойменной фации, выходящие в обнажениях по левому притоку Енисея — р. Малой Хете, в 11 и 17 км от устья.

Для подробного исследования диатомовой флоры было избрано обн. на 17-м километре, расположение по правому берегу р. Малой Хеты. Выбор этой части разреза диктовался стремлением получить сведения об изменениях состава диатомовых, вызванных возможными колебаниями уровня моря в каргинское время, климатическими изменениями, предшествовавшими последнему крупному продвижению ледника на равнинах, а также изменением режима Енисея при подируживании его ледниковым покровом.

Принималась во внимание и достаточно полная изученность разреза. Именно из этого обнажения были определены многочисленные раковины пресноводных моллюсков (Александров, 1938; Сакс и Антонов, 1945; Троицкий, 1966), получены подробные спорово-пыльцевые спектры и два радиоуглеродные даты (Алексеев и др., 1965). Во время исследований 1966 г., предпринятых автором совместно с С. Л. Троицким и Л. Д. Сулержицким, из пойменных алевритов были собраны кости северного оленя (определение В. Ф. Гончарова) и карпологические остатки, изученные В. П. Никитиным. Кроме того, Л. Д. Сулержицким была отобрана новая серия образцов для контрольных радиоуглеродных датировок.

Существенной причиной, побудившей обратиться именно к этому разрезу, было также и то обстоятельство, что обнажения на р. Малой Хете остались единственными легко доступными источниками материала после безрассудного уничтожения керна всех старых скважин, по которому были получены первые систематические сведения о диатомовой флоре каргинских слоев (Белович, 1961).

Исследованное обнажение представляет собой высокий (17—22 м) береговой яр, протяженностью менее 1 км. Его нижняя часть с высоты 9 м над водой до уровня р. Малой Хеты вскрыта глубокой канавой-

расчисткой. В разрезе (рис.) обнажились каргинские речные отложения, начиная от собственно пойменных накоплений до слоев, переходных к фаунам прирусловой отмели в следующей последовательности (сверху вниз):

- | Мощность, | |
|-----------|---|
| 1,4 | А. Супесь бурая, средняя, со слабо различимой тонкой перистой слоистостью |
| 0,5 | Б. Пачка тонко переслаивающихся слоек светло-палевого, мелко- или тонкозернистого песка и светло-бурового легкого суглинка; слой содержит обломок тонкого древесного ствола |
| 1,3 | В. Супесь бурая, плотная, с редкими крупными линзовидными прослойками песка светло-палевого, тонкозернистого, с мелкими обломками древесины и редкими раковинами пресноводных моллюсков |
| 0,4 | Г. Песок буровато-желтый, тонкозернистый, с пологой рябью течений |
| 1,3 | Д. Супесь легкая пепельно-серого и желтовато-бурового цвета, переслоинная слойками и пачками слоек светло-желтого или белесого тонкого пылеватого песка; общая слоистость горизонтальная, в отдельных прослоях — косолинзовая, «перистая» |
| 1,2 | Е. Песок желто-бурый, тонкозернистый, глинистый, с проиластками буровой супеси; слой интенсивно нарушен, собран в мелкие, смятые, разорванные складки |
| 2,5 | Ж. Супесь зеленовато-серая, со слабо наклонной диагонально-линовидной слоистостью; чередуется с прослойями желто-бурового тонкозернистого глинистого песка со слойками намывного торфа; встречаются обломки древесины, линзы и прослои светло-желтого мелкого хорошо промытого песка; слоистость исключительно четкая |

Основание обнажения — на уровне реки (3,5 м abs. высоты; рис. 1).

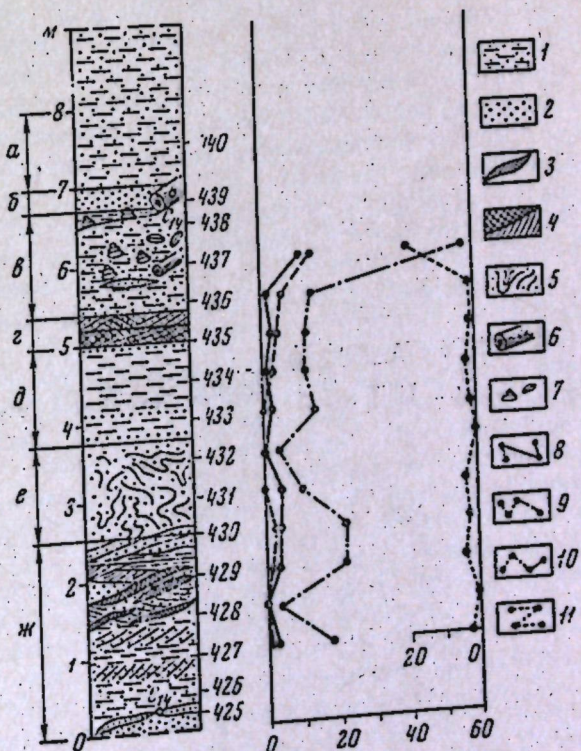
Из слоек намывного торфа в слое Ж В. Н. Никитин определил остатки тундровых и северотаежных растений. Радиоуглеродный возраст

Разрез каргинских отложений на р. Малой Хете (в 17 км от устья)

- 1 — супесь;
- 2 — песок;
- 3 — торф;
- 4 — косая слоистость;
- 5 — внутрислойные инволюции;
- 6 — древесина;
- 7 — пресноводные моллюски;
- 8 — байкальские виды фауны;
- 9 — галофилы;
- 10 — индиференты.

С14 — места взятия образцов для определения возраста радиоуглеродным методом.

Справа от колонки указаны номера и место взятия образцов на диатомовый анализ



сборного образца по обломкам древесины из слоев Е и Ж были определены как в $26\ 800 \pm 400$ (ГИН-27; Алексеев и др., 1965). Новые определения от $40\ 300 \pm 800$ лет по торфу (ГИН-319а) до $43\ 500 \pm 700$ лет по древесине (ГИН-256), по данным коллектива авторов (Чердынцев и др., 1969).

В смежных расчистках над пойменными алевритами слоя А прослеживаются слоистые пылеватые пески с прослойками торфа и перекрывающие их ледниковые и озерно-ледниковые слои.

Образцы для изучения диатомовых были отобраны с интервалом в 0,5 м по всему разрезу и более высоким слоям, вскрытым в смежных расчистках.

В настоящей статье рассматриваются итоги исследования 13 образцов из слоев В — Ж. Обработка остальной части разреза еще не завершена, и полученные результаты следует рассматривать как предварительные.

В первых двух образцах, взятых на уровне реки и в 0,5 м над ним, диатомовых водорослей не оказалось, кроме нескольких неопределенных обломков. Все остальные образцы содержали пресноводную флору, насчитывающую в целом около 170 видов и разновидностей (см. табл.).

В образцах из слоев В—Ж было встречено сравнительно немного видов (25—30). Для этих слоев характерно однообразие и количественная бедность флоры (все виды с оценкой единично или редко 2). Довольно много видов из родов *Eunotia* Ehr., *Gomphonema* Ag. В значительном количестве найдены обломки клеток *Synedra* Ehr.

Большинство видов имеет широкое географическое распространение, передний космополиты. Следующую по численности группу образуют аркто-альпийские виды. Есть редкие, с ограниченным ареалом распространения формы, в том числе и не встречающиеся ранее на территории СССР: *Gomphosutella ancylly* (Cl.) Hust., *Gomphonema bohemicum* Reich. et Fricke, *Eunotia pseudopectinalis* Hust.

Этой части разреза свойственны диатомовые обрастания и литорали стоячих заросших макрофитами водоемов.

В образцах из слоя Б (обр. 437, 6 м) картина резко меняется главным образом вследствие массового появления *Gyrosigma baicalensis* Skv. — эндемичного байкальского вида. Именно в этом слое найдено давляющее большинство всех байкальских видов (10 из 12). Здесь же в большем, чем прежде, количестве встречаются планктонные *Melosira* Ag.

Абсолютное большинство видов — пресноводные, индифференты и пресноводно-солоноватоводные, но среди них есть девять видов солоноватоводно-пресноводных и даже шесть видов и разновидностей галофилов. Большинство галобов встречено в самой верхней части изученного разреза (обр. 437), хотя они встречались и ниже, за исключением двух образцов с высоты 3,5 и 4 м над рекой, взятых из промытых песков слоя Е.

Изменение состава флоры по разрезу позволяет восстановить характер изменений условий ее обитания, связанный как с переменами обстановки накопления отложений, так и с ходом климатических колебаний.

Нижняя часть исследованного разреза формировалась в мелководных застраивающих водоемах, вероятно, пойменного типа при благоприятных, сравнительно теплых, климатических условиях. Самые верхние слои накопились уже, по-видимому, в условиях общего затопления поймы, формирования более обширного и открытого бассейна и похолодания. Можно предполагать, что похолодание и затруднение стока охватило значительную часть бассейна Енисея, что облегчило расселение байкальской формы *Gyrosigma baicalensis* Skv. и ее массовое развитие.

Интересно отметить, что байкальский элемент, вероятно, не ограничен только диатомовыми. Среди раковин моллюсков, собранных в этом же разрезе, В. Н. Жадин определил новый вид *Valvata proaliena* W. Schadlin, близкий к байкальским формам (Александров, 1938).

Таблица

Вид водорослей	Тип местообитания	Отношение к солнечности	Распространение	Встречаемость в образцах							
				427	428	429	430	431	432	433	434
<i>Melosira ambigua</i> (Grun.) O. Mull.	Всюду	Индифферент	Пресноводный	2	2	2	2	2	2	2	2
<i>M. atlantica</i> Rubina	Степотермные холо- кие водоемы	Всюду	»	1	1	1	1	1	1	1	1
<i>M. distans</i> (Ehr.) Kütz.	Чаше эвтрофные во- доемы	Всюду	»	1	1	1	1	1	1	1	1
<i>M. distans</i> (Ehr.) Kütz. var. <i>alpigena</i> Grun.	То же	»	»	1	1	1	1	1	1	1	1
<i>M. granulata</i> (Ehr.) Ralfs	Чаше эвтрофные во- доемы	Всюду	»	1	1	1	1	1	1	1	1
<i>M. islandica</i> O. Null.	Большие озера	Повсюду	»	1	1	1	1	1	1	1	1
<i>M. italica</i> (Ehr.) Kütz. f. <i>curvata</i> Pant.	Реки, озера в лугорали и пла- нинах	Повсюду	»	1	1	1	1	1	1	1	1
<i>M. italica</i> (Ehr.) Kütz. var. <i>tenuissi- ma</i> Grun.	Торфяники, сферично- ные болота, главным образом северные чаще на северу и югу	Повсюду	»	1	1	1	1	1	1	1	1
<i>Cyclorella baicalensis</i> Skv.	Галофил	Пресноводный	»	1	1	1	1	1	1	1	1
<i>C. baicalensis</i> Skv. var. <i>minuta</i> Skv.	Галофил	Пресноводно-солено- ватоводный	»	1	1	1	1	1	1	1	1
<i>C. baicalensis</i> Skv. f. <i>ornata</i> Skv.	Галофил	Пресноводный	»	1	1	1	1	1	1	1	1
<i>C. menginiana</i> Kütz.	Галофил	Пресноводный	»	1	1	1	1	1	1	1	1
<i>C. stelligera</i> Cl. et Grun.	Галофил	Пресноводный	»	1	1	1	1	1	1	1	1
<i>Stephanodiscus hantzschii</i> Grun.	Галофил	Пресноводный	»	1	1	1	1	1	1	1	1
<i>S. skabitschensis</i> Popovsk.	Галофил	Пресноводный	»	1	1	1	1	1	1	1	1
<i>Tabellaria fenestrata</i> (Lyngb.) Kütz.	Галофил	Пресноводный	»	1	1	1	1	1	1	1	1
<i>T. flocculosa</i> (Reht.) Kütz.	Галофил	Пресноводный	»	1	1	1	1	1	1	1	1
<i>Meridion circulare</i> Ag.	Галофил	Пресноводный	»	1	1	1	1	1	1	1	1

Таблица (продолжение)

Вид водорослей	Тип местообитания	Отношение к солнечности	Распространение	Встречаемость в образцах
<i>Opephora martyi</i> Herib.	Стоячие, медленно текущие воды	Пресноводный	Редко повсюду	427 428 429 430 431 432 433 434 435 436 437
<i>Fragilaria construens</i> (Ehr.) Grun.	То же	»	Повсюду	1 1 1 1 1 1 1 1 1 1 1 1
<i>Fr. construens</i> (Ehr.) Grun. var. <i>bivalvis</i> (Ehr.) Grun.	»	»	»	1 1 1 1 1 1 1 1 1 1 1 1
<i>Fr. pinnata</i> Ehr.	В лitorали озер	Легкий галофил	Космополит	1 1 1 1 1 1 1 1 1 1 1 1
<i>Ceratoneis arcus</i> (Ehr.) Kütz.	Холодные воды, Арктика	Пресноводный	Повсюду	1 1 1 1 1 1 1 1 1 1 1 1
<i>Synedra ulna</i> (Nitzsch.) Ehr. var. <i>danicica</i> Kütz.	Лitorаль загрязненных водометов	»	Повсюду	1 1 1 1 1 1 1 1 1 1 1 1
<i>S. waucheriae</i> Kütz.	Повсюду	Индифферент	Космополит	1 1 1 1 1 1 1 1 1 1 1 1
<i>Syndra</i> sp.	Болота, ручьи	Пресноводный	Североальпийские водоемы	1 1 1 1 1 1 1 1 1 1 1 1
<i>Eunoia arcus</i> Ehr.	Редко в олиготрофных водоемах	»	Редко	1 1 1 1 1 1 1 1 1 1 1 1
<i>E. bigibba</i> Kütz.	Повсюду	»	Космополит	1 1 1 1 1 1 1 1 1 1 1 1
<i>E. clevei</i> Grun.	»	»	»	1 1 1 1 1 1 1 1 1 1 1 1
<i>E. fallax</i> A. Cl. var. <i>gracillima</i> Kraske	Водоемы севера и средней полосы	Индифферент	Североальпийский	1 1 1 1 1 1 1 1 1 1 1 1
<i>E. monodonta</i> Ehr. var. <i>major</i> (W. Sm.) Hust.	Северные болота, горные водоемы	Галофоб	Космополит	1 1 1 1 1 1 1 1 1 1 1 1
<i>E. papilio</i> (Grun.) Hist.	То же	»	»	1 1 1 1 1 1 1 1 1 1 1 1
<i>E. parallelia</i> Ehr.	»	»	»	1 1 1 1 1 1 1 1 1 1 1 1
<i>E. praerupta</i> Ehr. var. <i>bidentis</i> (W. Sm.) Grun.	Галофоб	»	»	1 1 1 1 1 1 1 1 1 1 1 1
<i>E. praerupta</i> Ehr. var. <i>inflata</i> Grun.	»	»	»	1 1 1 1 1 1 1 1 1 1 1 1

104

Вид водорослей	Тип местообитания	Отношение к солнечности	Распространение	Встречаемость в образцах
<i>E. praerupta</i> Ehr. var. <i>muscosa</i> Boyer.	Северные болота, горные водоемы	Галофоб	Водоемы Кольского полуострова и Камчатки	427 428 429 430 431 432 433 434 435 436 437
<i>E. pseudoreticulata</i> Hust. *	Моховые болота	Пресноводный	Шведская лапландия	1 1 1 1 1 1 1 1 1 1 1 1
<i>E. sudetica</i> O. Mull.	Повсюду	»	Повсюду	1 1 1 1 1 1 1 1 1 1 1 1
<i>E. tenella</i> (Grun.) Hust.	Болота	Галофоб	Северные водоемы	1 1 1 1 1 1 1 1 1 1 1 1
<i>Cocconeis</i> <i>lacentula</i> Ehr. var. <i>cuglierita</i> (Ehr.) Cl.	Повсюду	Индифферент	Повсюду	1 1 1 1 1 1 1 1 1 1 1 1
<i>C. lacentula</i> (Ehr.) var. <i>lineata</i> (Ehr.) Cl.	»	»	»	1 1 1 1 1 1 1 1 1 1 1 1
<i>Coconectis</i> sp.	Холодные водоемы	Пресноводный	Водоемы северных горных районов Норвегии, Гренландии	1 1 1 1 1 1 1 1 1 1 1 1
<i>Eucoccconeis onegensis</i> Wist. et Kolbe	Горные водоемы	»	Космополит	2 2 2 2 2 2 2 2 2 2 2 2
<i>Achnanthes linearis</i> (W. Sm.) Grun. var. <i>fusca</i> Grun. *	Повсюду	Эвригалийный галофиль	Космополит	1 1 1 1 1 1 1 1 1 1 1 1
<i>Achnanthes</i> sp. nova	»	Пресноводный индифферент	Западной Европы	2 2 2 2 2 2 2 2 2 2 2 2
<i>Achnanthes</i> sp. <i>Rhoicosphenia curvata</i> (Kütz.) Grun.	Стоящие водоемы	То же	Повсюду	1 1 1 1 1 1 1 1 1 1 1 1
<i>Diploneis elliptica</i> (Kütz.) Cl.	Повсюду	Эвригалийный индифферент	Швеции, Финляндии, Красн АССР	1 1 1 1 1 1 1 1 1 1 1 1
<i>D. marginestriata</i> Hust. *	Северные водоемы	Пресноводный	Повсюду	1 1 1 1 1 1 1 1 1 1 1 1
<i>D. ovalis</i> (Hilse) Cl.	Северные водоемы	»	Швеции, Финляндии, Красн АССР	1 1 1 1 1 1 1 1 1 1 1 1
<i>D. parma</i> Cl.	Североальпийские водоемы	»	Широко	1 1 1 1 1 1 1 1 1 1 1 1

105

Таблица (продолжение)

Вид водорослей	Тип местообитания	Отношение к солености	распространение	Встречаемость в образах
				427 428 429 430 431 432 433 434 435 436 437
<i>Stauroneis anceps</i> Ehr. <i>anceps</i>	Повсеместно	Слабо солоновато-подычай	Повсеместно	1 2
<i>S. anceps</i> Ehr. f. <i>gracilis</i> (Ehr.) Cl.	To же	"	"	1 1
<i>S. anceps</i> Ehr. var. <i>sibirica</i> Grun.	Пресноводные подоемы	Широко	Родники горного Таджикистана	1 1 1
<i>S. Phoenixcenteron</i> Ehr.	Горные родники	Пресноводный	Повсеместно	1
<i>S. Pygmaea</i> Krieg.	Повсеместно	Пресноводно-солено-натоводный	Редко в холодных подоемах	1
<i>Navicula amphibola</i> Cl. <i>amphibola</i>	Северные водоемы	Пресноводный	Широкое	1
<i>N. anglica</i> Ralfs. var. <i>minuta</i> Cl.	Повсеместно	Пресноводно-солено-натоводный	"	1
<i>N. bacillum</i> Ehr.	Литораль	Олигогалоб, индифферент	"	1
<i>N. cryptorhaphala</i> Kütz.	Почти убiquist	Пресноводно-солено-натоводный	"	1
<i>N. cuspidata</i> Kütz.	Литораль	Солоноватоводно-пресноводный	Космополит	1 1 1
<i>N. digitoradiata</i> Greg.	Устья рек	Пресноводно-солено-натоводный	Широкое	2 1
<i>N. gastrum</i> Ehr.	Довесоду	Галофил, индифферент	"	1
<i>N. hungarica</i> Grun. var. <i>caerulea</i> Cl.	В лигнотали, грунтах озер	Пресноводный	"	1
<i>N. lacustris</i> Greg. var. <i>arcuicula</i> Ostr.	Грунты стоячих водоемов	Пресноводный	"	1
<i>N. lacustris</i> Greg. var.	Грунты пресных стоячих водоемов	Пресноводный	"	1
<i>N. lanceolata</i> (Ag.) Kütz.	Повсюду	Пресноводно-солено-натоводный	Космополит	2

106

Вид водорослей	Тип местообитания	Отношение к солености	распространение	Встречаемость в образах
				427 428 429 430 431 432 433 434 435 436 437
<i>N. menisculus</i> Schum. var. <i>menisculus</i>	Убiquist	Солоноватоводно-пресноводный	Повсюду в СССР	3
<i>N. menisculus</i> Schum. var. nov.	"	Солоноватоводный	"	4
<i>N. peregrina</i> (Ehr.) Kütz. var. <i>hankensis</i> Skv.	Солоноватые водоемы	Пресноводно-солено-натоводный	Повсеместно, в озере Ханка	1
<i>N. placenta</i> (Ehr.) Grun.	Литораль	Пресноводный	Широкое	2 2 3
<i>N. pseudoscutiformis</i> Hust.	Грунты северных водоемов	Пресноводный	Озера Колыского полуострова, Новая Земля, ГДР, ФРГ	1
<i>N. puula</i> Kütz. var. <i>puula</i>	Почти убiquist	Пресноводно-солено-натоводный	Широкое	2
<i>N. puula</i> Kütz. var. <i>rectangularis</i> (Greg.) Grun.	To же	Пресноводный индифферент	Повсюду	3
<i>N. radiososa</i> Kütz.	"	Пресноводно-солено-натоводный	Широко в СССР	4
<i>N. reinhardii</i> (Grun.) Cl. var.?	В грунтах различных водоемов	Пресноводный	Повсюду	1
<i>N. rhinoceros</i> Kütz.	Литораль	Пресноводный	Широкое	2
<i>N. scutelloides</i> W. Sm.	Повсюду	Пресноводный	Озеро Байкал	1 1
<i>N. unipunctata</i> Skv.	Крупные озера	"	Широкое	1
<i>N. viridula</i> Kütz.	Литораль	"	Довольно редко	2
<i>Navicula</i> sp. sp.	"	"	Повсеместно	1
<i>Plannularia alpina</i> W. Sm.	"	"	Североальпийские водоемы	2
<i>P. borealis</i> Ehr.	"	"	Североальпийские водоемы	3
<i>P. divergens</i> W. Sm.	"	"	Повсюду	4
<i>P. gibba</i> Ehr. f. <i>subundulata</i> A. Mayer	"	"	"	3

107

Таблица (продолжение)

Вид водорослей	Тип местообитания	Отношение к солености	Распространение		Встречаемость в образцах							
			427	428	429	430	431	432	433	434	435	436
<i>P. interrupta</i> W. Sm.	В группах различных водоемов	Пресноводный										3
<i>P. isostauron</i> Grun.	В группах озер	"										3
<i>P. mesoleptia</i> (Ehr.) W. Sm.	Повсюду	Пресноводный индифферент										2
<i>P. microstauron</i> (Ehr.) Cl.	"	То же										3
<i>P. notata</i> (Per. et Her.) A. Cl.	"											2
<i>P. undulata</i> Greg.	Североальпийские водоемы											3
<i>P. rigida</i> A. Cl. f. <i>undulata</i> A. Cl.	В группах водоема Севера и средней половины											2
<i>P. streptophylloides</i> Cl.	В группах водоемов											2
<i>P. viridis</i> (Nitzsch.) Ehr.	В группах горных водоемов											2
<i>P. viridis</i> (Nitzsch.) Ehr. var. <i>fallax</i> Cl.	"											1
<i>P. viridis</i> (Nitzsch.) Ehr. var. <i>intermedia</i> Cl.	"											1
<i>Pinnularia</i> sp. sp.	Большие озера. Повсеместно	Пресноводный	1									3
<i>Neldium</i> aff. <i>baicalense</i> Jasn.	Большие озера	"										1
<i>N. bisulcatum</i> (Lagerst.) Cl.	Большие озера	Индифферент		2								1
<i>N. dubium</i> (Ehr.) Cl. var. aff. <i>baicalense</i> Skv.	Североальпийские водоемы	Солоноватоводно-пресноводный, индифферент			2							4
<i>N. dubium</i> (Ehr.) Cl. var. <i>cuneatum</i> Fontell.	Повсюду	Пресноводный				1						1
<i>Caloneis bacillum</i> (Grun.) Mer.		Слегка галофиль										3
<i>C. silicula</i> (Ehr.) Cl.		Пресноводно-солоноватоводный										4
<i>Gyrosigma acuminatum</i> (Kütz.) Rabenh.	Большие озера	Пресноводный										2
<i>G. baicalensis</i> Skv.		Пресноводный										6

Таблица (продолжение)

Вид водорослей	Тип местообитания	Отношение к солености	Распространение		Встречаемость в образцах							
			427	428	429	430	431	432	433	434	435	436
<i>G. kützingii</i> (Grun.) Cl.	Различные водоемы	Пресноводный										1
<i>Caloneis</i> sp.	В илу лигнари	"										2
<i>Amphipora crinita</i> Boil.	На дне озер	Солоноватоводные водоемы										3
<i>Amphora costulata</i> Skv.	Сточные водоемы	Пресноводный										2
<i>A. delicatissima</i> Krasske	"	"										1
<i>A. ovalis</i> Kütz. var. <i>ovalis</i>	На дне озер	Пресноводный										2
<i>A. gracilis</i> Ehr.	Большие озера	"										1
<i>A. pediculus</i> Kütz. var. <i>minor</i> Grun.	В обрастаниях, чаще на Севере	"										1
<i>A. sibirica</i> Skv.	Повсюду	"										1
<i>Cymbellia amphicyathata</i> Näg. var. <i>amphicyathata</i> Brun.	На дне озер	Пресноводный										1
<i>C. aspera</i> (Ehr.) Cl.	"	"										1
<i>C. cistula</i> (Temp.) Grun.	"	"										1
<i>C. cistula</i> (Temp.) Grun. var. <i>maculata</i> (Kütz.) V. H.	"	"										2
<i>C. cuspidata</i> Kütz. var. <i>anglica</i> (Lagerst.) A. Cl.	"	"										2
<i>C. cymbiformis</i> (Ag.?) Kütz. V. H.	"	"										1
<i>C. heteroleura</i> Ehr. var. <i>heteroleura</i>	"	"										2
<i>C. heteroleura</i> Ehr. var. <i>minor</i> Cl.	"	"										1
<i>C. holbei</i> Scheschkova	В планктоне	"										2
<i>C. levis</i> Näg.	Родники, горные источники	"										1
<i>C. naviculiformis</i> Auctsw.	Среди обрастаий	"										1
<i>C. sinuata</i> Greg.	Олиготрофные и эвтрофные водоемы	"										1

Таблица (продолжение)

Вид подороги	Тип местообитания	Отношение к солености		Распространение	Встречаемость в образах							
		Пресноводный	Широкое		427	428	429	430	431	432	433	434
<i>C. turgida</i> (Greg.) Cl.	В лугорали стоячих водоемов	"	"	1	1	1	1	1	1	1	1	2
<i>C. ventricosa</i> Kütz. var. <i>ventricosa</i>	Повсюду	"	"	1								3
<i>C. ventricosa</i> Kütz. var. <i>faucisirriata</i> A. Cl.	Североальпийский	"	"	1								2
<i>G. ventricosa</i> Kütz. var.?	Альпийский	"	"	1								1
<i>Gomphocymbella aenyclii</i> (Cl.) Hust.*	Североальпийские водоемы	"	"	1	1							
<i>Didimosphenia geminata</i> (Lingb.) M. Schmidt	Избыточные стоячие воды	"	"	1	1	1	1	1	1	1	1	
<i>Gomphonema acuminatum</i> Ehr. var. <i>acuminatum</i>	То же	"	"	1	1	1	1	1	1	1	1	1
<i>G. acuminatum</i> Ehr. var. <i>brevissimum</i> (Kütz.) Cl.	Ил горячих источников	Пресноводный	Камчатка, Средняя Азия, Тироль	1								
<i>G. bohemicum</i> Reich. et Fricke	Повсюду	Пресноводный	Повсюду	1								
<i>G. constrictum</i> Ehr. var. <i>constrictum</i> (Ehr) Cl.	Обрастания эвтрофных водоемов	Пресноводный	Озеро Байкал	1								
<i>G. firmum</i> Skv.	Крупные озера среди обрастианий	Пресноводный	Повсюду	1								
<i>G. gracile</i> (Ehr.) var. <i>auritum</i> (A. Br)-Cl	Лугораль и родники Горные водоемы, родники	Пресноводный	Широкое	1								
<i>G. lanceolatum</i> Kütz.	То же	"	"	1								
<i>G. longiceps</i> Ehr. var. <i>longiceps</i>	Североальпийские водоемы	Реже, чем вид	Реже, чем вид	1								
<i>G. longiceps</i> Ehr. var. <i>subclavatum</i>	Различные водоемы	Широкое	Широкое	1								
<i>G. reticulatum</i> Greg.	Стоячие водоемы	"	"	1								
<i>Epithemia sorex</i> Kütz.	To же			1								
<i>E. turgida</i> (Ehr.) Kütz. var. <i>turgida</i>				1								

Вид подороги	Тип местообитания	Отношение к солености		Распространение	Встречаемость в образах							
		Солоноватоводно-пресноводный	Широкое		427	428	429	430	431	432	433	434
<i>E. turgida</i> (Ehr.) Kütz. var. <i>granulata</i> (Ehr.) Grun.	Стоячие подоемы	Солоноватоводно-пресноводный	Широкое	1	1	1	1	1	1	1	1	1
<i>E. zebra</i> (Ehr.) Kütz.	Стоячие и текущие воды	Пресноводный	"	1								
<i>Rhopallodia gibba</i> (Ehr.) O. Müll. var. <i>gibba</i> (Ehr.) Grun.	Среди обрастаний	Солоноватоводно-пресноводный	"	1								
<i>Rhopallodia sp.</i>	Повсюду	Пресноводный	"	1								
<i>Hantzschia amphioxys</i> (Ehr.) Grun.	"	Пресноводно-солоноводный	"	1								
<i>H. elongata</i> (Hantzch.) Grun.	Повсюду	Пресноводный	"	1								
<i>Nitzschia angustata</i> (W. Sm.) var. <i>angustata</i> (W. Sm.) Grun. var. <i>curta</i> Grun.	Разные водоемы	То же	"	1								
<i>Nitzschia sp.</i>	В лугорали, пелагиали озер	Пресноводно-солоноводный	"	1								
<i>Cymatopleura elliptica</i> (Breb.) W. Sm. var. <i>nobilis</i> (Hantzsch) Hust.	Лугорали, пелагиали, эпифитных озер	Солоноватоводно-пресноводный	"	1								
<i>C. solea</i> (Breb.) W. Sm. var. <i>solea</i>	Лугораль	Морской	"	1								
<i>Surirella biseriata</i> Breb. var. <i>bifrons</i> (Fir.) Hust.				1								
<i>Surirella</i> sp.				1								
<i>Coccinodiscus</i> sp.				1								
<i>Melosira fausta</i> A. S.				1								
<i>M. sulcata</i> (Ehr.) Kütz.				1								
<i>Aulacodiscus</i> sp.				1								
<i>Sterchanopryxis</i> sp.				1								
<i>Pylodictus sceticus</i> (Kütz.) Grun.				1								
<i>Pediastrum boryanum</i> (Turp.) Menegh.				1								
<i>P. kauaiensis</i> Schmidt				1								
				1								

• Вид впервые в СССР ищущий, распространение их дано по литературным данным.

Если считать, что накопление аллювия между точками радиоуглеродных дат происходило равномерно, то время этих событий можно определить как близкое к 40 000 лет.

Следы похолодания в верхней части разреза отмечаются также О. В. Матвеевой и М. В. Барковой по данным спорово-пыльцевого анализа (Алексеев и др., 1965; Баркова, 1963).

До наших исследований диатомовые каргинских отложений района Усть-Енисейского Порта были исследованы А. М. Белевич (1961), установившей характер распределения флоры по разрезу пойменных и русловых фаций и давшей общую характеристику флоры. Она установила присутствие среди пресноводных форм единичных солоновато-пресноводных видов и даже солоноватоводно-морской *Nitzschia distans* Greg. А. М. Белевич нашла два байкальских вида *Cyclotella baicalensis* Skv. с разновидностями и *Pinnularia timopheevi* Skabitsch., присутствующих единично.

При сравнении полученных автором данных с данными А. М. Белевич, опубликованными в 1961 г., выяснилось, что имеется около 70 общих форм для приблизительно того же интервала и свыше 100 встречено только в нашем материале.

Наше исследование позволило дополнить состав каргинской флоры диатомовых (см. табл.), выявить массовое появление байкальского элемента в определенных слоях разреза, связать это явление с изменением условий накопления осадков и приблизительно определить время этого события (40 000 лет), используя радиоуглеродные даты (Чердынцев и др., 1969).

Дальнейшее изучение всего разреза позволит проследить изменения флоры вплоть до погребения каргинского аллювия мореной, а также появление и развитие новых поздне-последниковых флор.

ЛИТЕРАТУРА

- Александров Д. К. 1938. Новые данные о неогеновых и верхнемеловых отложениях низовьев р. Енисея.—Пробл. сов. геологии, № 3.
- Алексеев В. А., Кинд И. В., Матвеева О. В., Троицкий С. Л. 1965. Новые данные по абсолютной хронологии верхнего плейстоцена и голоцене Сибири.—Докл. АН СССР, 160, № 5.
- Баркова М. В. 1960. Палинологические спектры из торфяника каргинской террасы в районе пос. Малая Хета.—Сборник статей по палеонтологии и биостратиграфии, вып. 20. Л., Изд. Ин-та геол. Арктики.
- Баркова М. В. 1963. Некоторые данные о палинологических спектрах каргинских отложений района Усть-Порта.—Сборник статей по палеонтологии и биостратиграфии, вып. 31. Л., Изд. Ин-та геол. Арктики.
- Белевич А. М. 1961. Диатомовые водоросли четвертичных отложений района Усть-Порта.—Труды Ин-та геол. Арктики, 124.
- Сакс В. И. 1951. Четвертичные отложения северной части Западно-Сибирской низменности и Таймырской депрессии. Л.—М., изд-во Главсевморпути.
- Сакс В. И. 1953. Четвертичный период в Советской Арктике.—Труды Ин-та геол. Арктики.
- Сакс В. И., Антонов К. В. 1945. Четвертичные отложения и геоморфология района Усть-Енисейского порта.—Труды Горно-геол. упр. Главсевморпути, вып. 16.
- Троицкий С. Л. 1966. Четвертичные отложения и рельеф равнинных побережий Енисейского залива и прилегающей части гор Бырраңга. М., «Наука».
- Троицкий С. Л. 1967. Новые данные о последнем покровном оледенении Сибири.—Докл. АН СССР, 174, № 6.
- Чердынцев В. В., Завельский Ф. С., Кинд И. В. и др. 1969. Радиоуглеродные даты ГИН. Сообщение IV.—Бюлл. Комисс. по изуч. четверт. периода, № 36.

А. В. ГОЛЬБЕРТ, В. И. ГУДИНА, В. Д. КРЮКОВ,
В. В. РОГОЖИН, Н. И. РОГОЖИНА, Э. Е. РОМАНОВА,
С. С. СУХОРУКОВА, С. Л. ТРОИЦКИЙ

КОМПЛЕКСНЫЕ ГЕОЛОГИЧЕСКИЕ ИССЛЕДОВАНИЯ ЧЕТВЕРТИЧНЫХ ОТЛОЖЕНИЙ ВЕРХОВЬЕВ р. ТУКАЛАНДЫ (НОРИЛЬСКОЕ ПЛАТО)

Интерес к четвертичным отложениям Норильского плато не случаен. На юго-восточной окраине плато четвертичные отложения залегают на отметках 300—360 м над уровнем моря и слагают мощную хорошо обнаженную толщу. В них были встречены обломки раковин четвертичных морских моллюсков и фораминиферы. Отсюда делались далеко идущие выводы относительно границ распространения морского плейстоцена, взаимоотношения оледенений и трансгрессий, а также об амплитудах низких движений.

Обнажение в верховьях р. Тукаланды впервые обнаружил В. Н. Егоров в 1950 г. Он предполагал, что открытая им толща имеет флювиогляциальное происхождение. В 1959—1960 гг. обнажение исследовал А. А. Межвилк. Он опубликовал первые данные о литолого-фаунистическом составе отложений, привел определения остатков моллюсков и фораминифер, произвел стратиграфическое расчленение толщи и высказал предположение о морском генезисе большей части разреза (Межвилк, 1963).

По данным А. А. Межвилка (1963) разрез начинается с пачки плотных глин плиоцена. Выше следуют четвертичные отложения: нижняя пачка (интервал 8—26 м)—песчано-глинистая с базальным валунно-галечным горизонтом в основании, средняя пачка (26—41 м)—преимущественно песчаная и верхняя—песчано-валунно-галечная (рис. 1).

В 1964 г. разрез посетил В. Д. Крюков, собравший дополнительные материалы.

В 1966 г. В. И. Гудина, А. В. Гольберт и В. В. Рогожин посетили верховья р. Тукаланды, подробно описали и детально опробовали самое крупное там обнажение, в котором представлена почти полностью весь описанный А. А. Межвилком разрез.

Обработка и изучение собранных материалов производились в Новосибирске (ИГиГ СО АН СССР, СНИИГГиМС), Норильске (Норильская научно-исследовательская экспедиция НИИГА) и в Ленинграде (НИИГА). Минерало-петрографические исследования выполнены А. В. Гольбертом и Э. Е. Романовой, геохимические—С. С. Сухоруковой, палинологические—Н. И. Рогожиной, микропалеонтологические—В. И. Гудиной, определения моллюсков—С. Л. Троицким, а петрографического состава гальки—В. В. Рогожиным и В. М. Лебедевым. Гидрохимические исследования образцов производились в лаборатории НИИГА (Н. С. Спиро), палеомагнитные—в ИГиГ (Г. А. Поспелова).

Обнажение расположено в верховьях древней долины р. Тукаланды (притока р. Хантайки) в 45 км выше ее устья, в 80 км к югу от Норильска. Оно представляет собой эрозионный уступ, преобразованный нивальных процессами, и состоит из трех смежных циркообразных нивальных пин высотой до 56 м над уровнем р. Тукаланды, протекающей у самой подошвы обнажения.

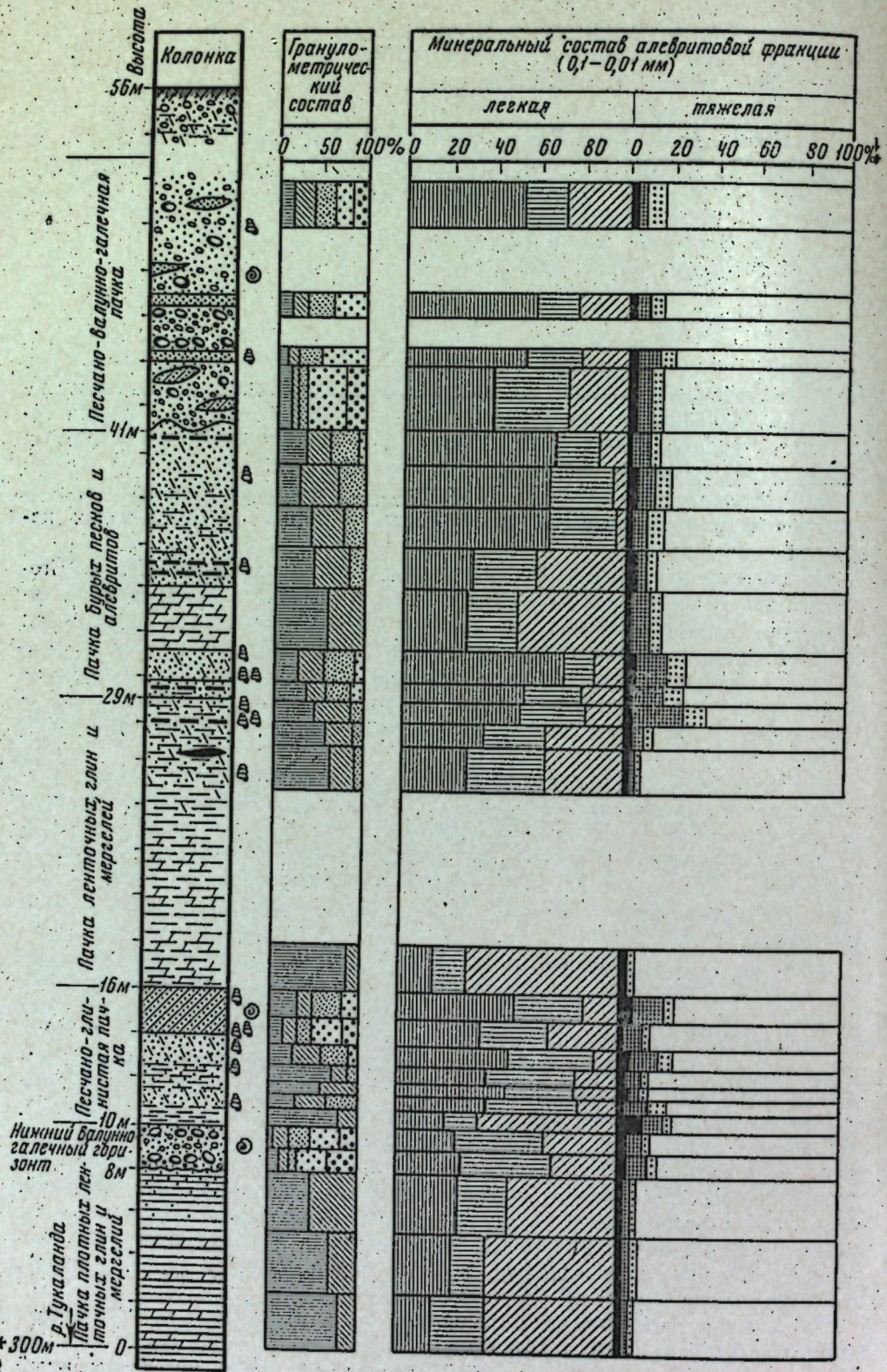


График соотношения устойчивых и неустойчивых минералов во фракциях

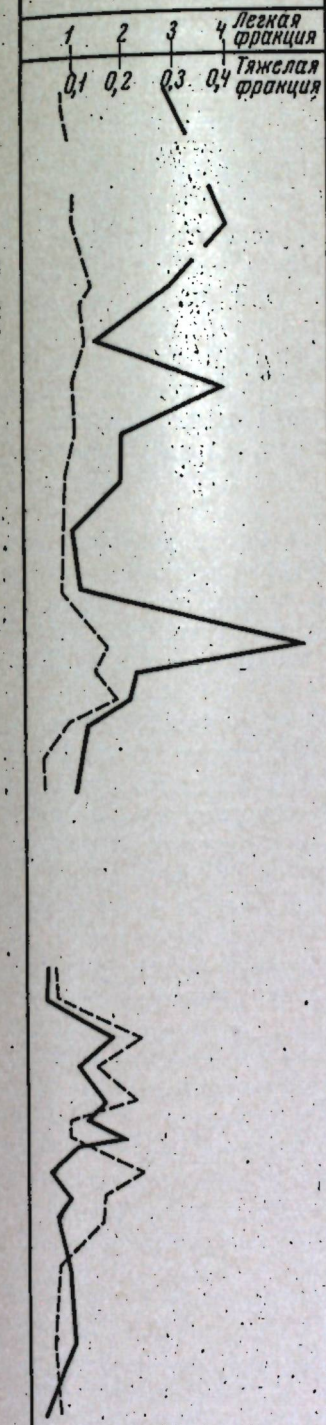


Рис. 1. Разрез и литологический состав тукаландской толщи

- 1 — валунно-галечный материал;
- 2 — пески, песчаник материала в других породах;
- 3 — пески косослоистые;
- 4 — алевриты, алевривитовый материал в других породах;
- 5 — глины плотные, ленточные, известковые, переслаивающиеся с глинистыми мергелями;
- 6 — глины ленточные, известковые, переслаивающиеся с глинистыми мергелями;
- 7 — пески алевривитовые;
- 8 — глины с примесью песчаного и алевривитового материала;
- 9 — слойки бурых глин;
- 10 — линзы песков;
- 11 — линза торфа;
- 12 — местонахождения раковин моллюсков;
- 13 — местонахождения фораминифер.

Гранулометрический состав (фракции):

- 14 — глинистая (< 0,01 мм);
- 15 — алевривитовая (0,1—0,01 мм);
- 16 — песчаная меллозернистая (0,1—0,25 мм);
- 17 — песчаная среднезернистая (0,25—0,5 мм);
- 18 — песчаная крупнозернистая (0,5—1,0 мм).

Минеральный состав алевривитовой фракции:

- 19 — кварц;
- 20 — полевые шпаты;
- 21 — обломки пород;
- 22 — рудные минералы (ильменит, магнетит);
- 23 — пироксены;
- 24 — роговица обманка и эпидот;
- 25 — прочие минералы (циркон, гранат, турмалин и др.).

График соотношения устойчивых и неустойчивых минералов:

- 26 — кривая изменения коэффициента устойчивости легкой фракции;
- 27 — то же тяжелой фракции.

Верховья р. Тукаланды расположены в пределах юго-восточной части Норильской мульды в зоне ее сопряжения с западным крылом Хантайско-Рыбинского вала. В районе обнажения по склонам долины и на плато выходят верхнекембрийские, нижнеордовиковые, пермские осадочные и триасовые вулканогенные образования: известняки, песчаники, аргиллиты, алевролиты, доломиты, угли, базальты и трахиодолериты.

Разрез четвертичных отложений начинается с пачки темно-серых плотных известковистых ленточных глин (во влажном состоянии слегка голубоватых) с очень четкой горизонтальной слоистостью. Видимая мощность глин в обнажении 8 м. Подошва пачки не вскрыта, и в нижних ее горизонтах не наблюдается каких-либо изменений, свидетельствующих о близости контакта с подстилающими породами.

Слоистость глин обусловлена чередованием тонких (не более 1—3 мм) слойков темно-серой глины и более светлых по окраске слойков светло-серого тонкого пылевидного алеврита. Слойки по 15—20 пар (лент) группируются в серии, мощностью 6—7, изредка до 9 см. Серии отделяются друг от друга слоями светло-серого пылевидного глинистого алеврита толщиной 5—10 мм. Эти серии и разделяющие их слои алеврита придают пачке очень четкую и правильную слоистость с тонкой ленточным типа текстурой внутри серий. В верхней части пачки количество и мощность прослоев алевритов постепенно возрастают, здесь же на плохостях напластования иногда можно наблюдать единичные песчаные зерна размером до 1 мм.

В южной части обнажения пачка глин образует почти вертикальную стенку, протяженностью 15 и высотой 8 м, по которой стекают грунтовые воды. В стенке благодаря слоистости пачки видно, что залегание ее близко к горизонтальному, а слои глин слегка прогнуты, что приводит к изменению азимутов падения от 110—140° на юго-восток до 20—24° на северо-восток при углах падения 2—6°.

Палеонтологических остатков, за исключением немногочисленных зерен пыльцы древесных пород (береза, сосна, ель, ольха), трав и спор папоротников, ни пами, ни предыдущими исследователями в этих глинах найдено не было. Тем не менее А. А. Межвилк, основываясь на положении их в разрезе, имелю эту пачку глини сопоставляет с морскими туруханскими слоями низовьев Енисея и датирует ее плиоценом.

Отметим сразу, что, на наш взгляд, для такого рода сопоставлений нет решительно никаких оснований, а данные палеомагнитометрии по трем сериям образцов, отобранным из нижней, средней и верхней частей этой пачки, свидетельствуют о четвертичном ее возрасте (все образцы показали положительную намагниченность).

В кровлю пачки глини залегает нижний валунно-галечный горизонт, мощностью 2 м. Горизонт сложен валунно-галечным и гравийным материалом, содержание которого в сумме составляет 80% (валунов около 30%). Остальная масса породы — грубозернистый буровато-серый песок, иногда слабо окисленный. Валуны и гальки также покрыты пленками гидроокислов железа. Это придает породе буровато-серую окраску, отличающую ее от подстилающих и перекрывающих отложений.

Валунно-галечный материал, как правило, хорошо окатан, изредка встречаются угловатые глыбы, края которых слабо закруглены. Окатанность валунов и галек по пятибалльной шкале (Хабаков, 1946) распределется следующим образом: 0 класс — нет, I — 6%, II — 21%, III — 38% и IV — 30% (по 100 замерам). Преобладающая форма крупных обломков (валунов и гальки) — эллипсоидальная с размерами осей: $a_{ср} = 8—10$ см, $b_{ср} = 7$ см и $c_{ср} = 3,5$ см, реже — обломки уплощенные, типа морской гальки. Нередко встречается удлиненная галька речного типа. Макси-

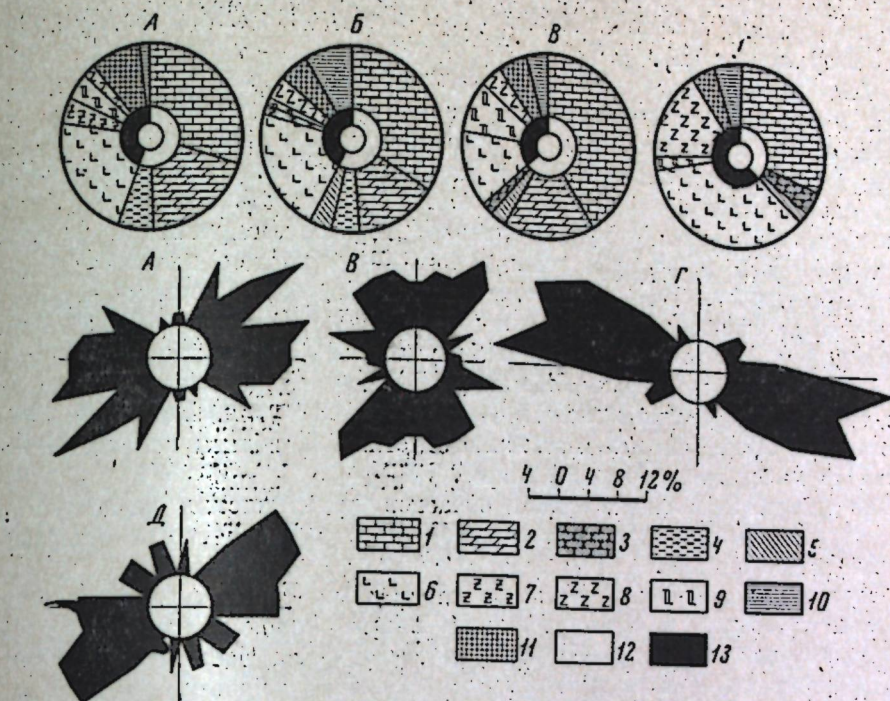


Рис. 2. Петрографический состав и ориентировка галек (азимут простириания длинных осей) в отложениях тукаландской толщи и в современном русловом аллювии р. Тукаланды

- А — нижний валунно-галечный горизонт (интервал 8—10 м);
- Б — верхняя песчано-валунно-галечная пачка (интервал 41—44 м);
- В — то же (интервал 42—46 м);
- Г — русской аллювий р. Тукаланды;
- Д — азимут падения косых серий в горизонте косослоистых песков (интервал 14—16 м)

мальный размер валунов 0,3 м. Песчаные зерна обычно (70—90%) угловатые, реже угловато-окатанные и окатанные. Окатанность обломков гравийного класса почти всегда хорошая.

Валунно-галечный материал распределен в породе упорядоченно, в виде прослоев, обогащенных валунами, что придает горизонту нечеткую грубую слоистость. Валуны лежат чаще всего плашмя или слабо наклонены, а гальки, как правило, краями кулисообразно налегают одна на другую (как это имеет место в отложениях горного руслового аллювия) и имеют углы наклона от 8 до 34°. Результаты массовых замеров ориентировки галек и их петрографический состав приведены на рис. 2. Для сравнения укажем, что в современном русловом аллювии р. Тукаланды на участке у подножия обнажения основная масса гальки ориентирована в азимутах 280—310° и имеет углы наклона 4—38° (из них 70% наклонены под углом 14—18°). Петрографический состав их отличается отсутствием доломитов и более высоким общим содержанием вулканогенных пород (рис. 2). Максимальный размер валунов в аллювии на данном участке достигает 0,5 м. Азимут течения реки — 154°.

Нижняя и верхняя границы валунно-галечного горизонта резкие, четкие и, поскольку можно было проследить, в обнажении первая — слабо-

волнистая, вторая — ровная. В. Д. Крюковым в этом горизонте были найдены обломки раковин *Astarte* cf. *montagui* (Dillwyn), *Psatella* (*Saxicava*) *arctica* (L.).

Выше валуно-галечного горизонта залегает песчано-глинистая пачка с венчающим ее горизонтом косослонистых разнозернистых песков, общая мощностью 6 м. В основании пачки залегает слой темно-серых тонко-горизонтальнослонистых (ленточных) известковистых глин с неправильной мелкоклитчатой отдельностью. Мощность слоя 0,8 м. Контакт с подстилающим валуно-галечным горизонтом резкий ровный — глины без каких-либо переходных отложений ложатся непосредственно на его поверхность. Выше располагается слой светло-серых глинисто-алевритовых мелкозернистых тонко-горизонтальнослонистых песков, мощностью 0,7 м. Пески влажные и слабо уплотнены. В верхней части слой они содержат тонкие слойки, обогащенные углефицированным растительным детритом, и местами мелкую кроинку бурого угля. Контакт песков с лежащими ниже глинами достаточно отчетливый, вблизи контакта пески переходят в песчано-алевритовые глины.

Палеомагнитный анализ серий образцов из глинистых песков этого слоя, так же как и глины из основания толщи, указывает на четвертичный возраст отложений.

Контакт песков с лежащим выше слоем темно-серых ленточных глин (ближних по составу и текстуре глинам нижнего слоя песчано-глинистой пачки) постепенный, но смена пород происходит на небольшом расстоянии (в пределах 5—10 см). Переход осуществляется появлением в песках тенчайшей сети линзочек глин, сливающихся выше в пропластки и, наконец, полностью их замещающих. Мощность глин около 1,2 м.

Вверх по разрезу глины сравнительно резко сменяются слоем светлых буровато-серых глинисто-алевритовых песков с тонкой линзовидной слоистостью, мощностью 1,3 м. Контакт их с лежащими ниже глинами почтикий, пологоволнистый.

Разрез песчано-глинистой пачки венчает горизонт светлых буровато-серых косослонистых разнозернистых песков с тремя прослойками грубо-зернистых гравелистых их разностей — нижней (0,35 м), средней (0,1—0,12 м) и верхней (0,3 м), — сосредоточенных в нижней части горизонта. Верхняя его часть сложена песками преимущественно мелкозернистыми со слойками разнозернистых песков по 3—4 см. Горизонт заканчивается прослойем светло-бурового глинисто-алевритового мелкозернистого песка. В нижней части горизонта косые соры чередуются с горизонтальными, выше косослонистые прослои уступают место отложениям с горизонтальной и, наконец, массивным песчанистым глинисто-алевритовым пескам. Азимуты падения косых сорий приведены на рис. 2, углы колеблются в пределах 12—34°. Окатанность песчаных берегов слабая, чаще они угловато-окатанные. Общая мощность горизонта косослонистых песков 2 м. В этом горизонте были найдены обломки раковин моллюсков, передко со следами окатанности. Условия захоронений и окатанность обломков свидетельствуют о их многократном переотложении и волочении по дну потока. Тем не менее, С. Л. Троицкому этим обломкам удалось определить их принадлежность морским четвертичным формам.

Выше горизонта косослонистых песков в интервале 16—20 м залегает монотонная пачка ленточных глин и мергелей. Породы имеют темно-серую окраску и мелкую параллелическую отдельность, глины известковистые, мергели глинистые. По составу и структуре эти породы очень сходны с глинами песчано-глинистой пачки, а также с плотными глинами из основания толщи. Различие состоит лишь в том, что глины из основания разреза, являясь водоупором горизонта подземных вод, сильно уплотнены и, видимо, поэтому более плотны и мо-

политны, тогда как сухие породы верхних горизонтов вблизи дневной поверхности приобрели щебеночную или параллелическую отдельность.

В верхней части пачки глины утрачивают ленточную текстуру, постепенно обогащаются алевритовым и песчанистым материалом, становятся алевритовыми с единичными зернами песка, а затем — песчано-алевритовыми. Здесь уже отмечаются единичные мелкие зерна гравия, к серому цвету пород добавляется светлый буровато-желтый оттенок. В канаве 4 в верхней части пачки преобладают пески. Глины среди них образуют слойки и линзочки толщиной до 1 см, группирующиеся в прослои мощностью 4—15 см. На высоте 26,5 м прослеживается тонкий пропласток, обогащенный обрывками углефицированного торфа, переходящий по проекции в линзу знаменного торфа, мощностью 7 см и протяженностью 1,2 м. На высоте 28 м в серых песчано-алевритовых глинах наблюдается прослой светло-буровой глины и мелкозернистого песка, мощностью 20 см. Переход от пачки ленточных глин к мергелю к лежащему ниже горизонту косослонистых песков совершается постепенно, но на коротком расстоянии, отчего граница между ними прослеживается вполне отчетливо. Мощность пачки 13 м. Элементы залегания, замеренные в ее основании (высота 17 м), следующие: азимут падения 212° на юго-запад, угол — 3—4°.

По данным А. А. Межвидова, в этой пачке были найдены обломки раковин четвертичных морских моллюсков и усогоних, среди которых С. Л. Троицкий определил *Balanus* sp. (cf. *hameri* Asc.), *Astarte* cf. *montagui* (Dillwyn), *Psatella* (*Saxicava*) *arctica* (L.). Несмотря на то что пачка была расчищена четырьмя канавами и тщательно осмотрена, нам не удалось найти в ней ни одного обломка раковин. Возможно, что проявленные сборы были сделаны из осипей.

Выше по разрезу лежит пачка бурых песков и алевритов с прослоем серых глинистых мергелей, аналогичных по структуре глинам и мергелям нижних горизонтов толщи. Пески и алевриты глинистые, пески мелкозернистые алевритовые. Общая мощность пачки 12 м, а прослой серых мергелей, заключенного в ней, — 3 м.

Пачка начинается переходными слоями, которые резко контактируют с подстилающими серыми глинами. Это буровато-серые песчанистые глинисто-алевритовые пески, сменяющие выше падающими глинистыми песками с днуми прослойками бурых комковатых глин. Мощность переходных слоев — 0,6 м. Выше залегает слой падающих тонкослонистых мелкозернистых глинисто-алевритовых песков, мощностью 2,1 м, а затем в интервале 31—34 м — слой серых осколчатых или плитчатых глинистых мергелей с тонкой горизонтальной слоистостью ленточного типа. Верхнюю часть пачки (интервал 34—41 м) слагают массивные бурые песчано-глинистые алевриты и глинисто-алевритовые преимущественно мелкозернистые пески с прослойками бурых осколчатых или плитчатых глин от 2—3 до 25 см толщиной. С высоты 37 м преобладают пески, толщина глинистых прослоев не превышает 2 см, а число их резко сокращается. На высоте 40 м на поверхности одного из таких слоиков наблюдалась отчетливые знаки водной рыбы. Элементы залегания, замеренные на этой высоте, составляют: азимут падения 110° на юго-восток, угол — 7°. Окатанность песчаного материала слабая, что вообще характерно для рассматриваемой толщи. В пачке бурых песков и алевритов остатки макрофауны никем не отмечались.

Верхнюю часть разреза тукандинской толщи слагает песчано-валуно-галечная пачка, мощностью 12 м. На высоте 54 м она перекрыта валунным суглинком и почвенно-растительным слоем.

Верхняя песчано-валуно-галечная пачка имеет трехчастное строение, которое подчеркивается двумя прослойками мелко-среднезернистых песков,

отделяющих друг от друга три отличающиеся по составу и строению части. В ее основании на размытой поверхности пачки бурых песков залегает слой гравийно-галечных отложений (с небольшим числом мелких валунов и единичными крупинами) с заполнителем из средне- и грубозернистого гравийного песка. В слое встречаются небольшие линзы разнозернистых песков с косой слоистостью аллювиального типа, ориентированной по азимуту 15°—45° на северо-восток с углами падения около 18°. Сами линзы наклонены в том же направлении под углом 10°—15°. Размеры линз — 1,5—4 м при мощности 0,2—0,4 м. Основную массу породы в нижнем слое составляют гравий и гальки, содержание песка 30—40%. Грубый обломочный материал — гравий, гальки и беспорядочно рассеянные небольшие валуны (10—15 см) — хорошо окатан (резко преобладает материал III и IV классов окатанности) и ориентирован. Гальки и валуны наклонены обычно в сторону, противоположную падению косых серий песков в линзах и самих линз. Азимут простирации их длинных осей составляет 314°—340° на северо-запад, а углы наклона колеблются от 6 до 32° (преобладают углы 16°—18°). Мощность слоя варьирует, в связи с перовностями почвы, от 1 до 3 м.

В кровле этого слоя располагается горизонтально лежащий пласт мелко- среднезернистого песка, мощностью 15—20 см. Этот пласт отделяет песчано-гравийно-галечный слой от залегающего выше валунисто-галечного.

Горизонт с многочисленными крупными и мелкими валунами имеет хорошо выдержанную вдоль всего обнажения мощность, равную 2 м. Крупный, величиной в 20—40 см и более, валунник группируется в два нечетко выраженных, местами прерывающихся прослоя, что придает отложениям неясно выраженную слоистость. Содержание таких валунов по отношению ко всему слою — 30—40%, хотя по простиранию они резко колеблются. Местами крупные валуны исчезают почти полностью, т. е. скопления их имеют линзовидную форму. Распределение мелкого валунного материала и крупной гальки также обнаруживает неясную слоистость. Наполнителем служит грубозернистый песок с гравием и мелкой галькой. В линзах, обогащенных крупными валунами, его 15—30%, а в мелковалунном крупном галечнике — 30—40%. Форма крупной гальки и валунов обычно уплощенная, средние размеры обломков по оси a , b , c составляют, соответственно, 8,5, 5 и 3 см. Крупные валуны достаточно отчетливо ориентированы, хотя лежат они, как правило, плашмя или со слабым наклоном. Длинные оси крупных галек и мелких валунов ориентированы в нескольких направлениях, как показано на рис. 2. Углы наклона сходны с наблюдавшимися в лежащих ниже песчано-гравийно-галечных отложениях. В кровле слоя располагается горизонтально лежащий пласт мелко- и среднезернистого песка, мощностью 0,4 м. Валунисто-галечный горизонт, таким образом, оказывается заключенным между двумя маломощными пластами песков.

Верхние 5 м пачки слагают слой песчано-гравийно-галечных отложений с небольшим количеством валунов и линзами косослойстых песков. По составу и строению он практически тождествен отложениям нижней части пачки.

Породы песчано-валунисто-галечной пачки окрашены в буровато-серые и светло-бурые цвета, обусловленные пленками гидроокислов железа на поверхности обломков. По окраске и составу они очень сходны с породами нижнего (интервал 8—10 м) валунисто-галечного горизонта. Особенно велико сходство последнего с валунисто-галечным слоем в средней части рассматриваемой пачки.

Петрографический состав гальки из среднего валунисто-галечного и нижнего песчано-гравийно-галечного слоев приведен на рис. 2. Как видно

на диаграммах, петрографический состав галек из нижнего валунисто-галечного горизонта (А) и песчано-галечного слоя, залегающего в основании верхней песчано-валунисто-галечной пачки (Б), практически идентичен в качественном и количественном отношении. Наблюдается лишь появление в слое (Б) единичных галек предположительно пермских аргиллитов, а в верхнем валунисто-галечном (В) и песчаников. В приповерхностной части современного руслового аллювия р. Тукаланы (Г) состав гальки, по сравнению со слоем (В), отличается тем, что исчезают гальки доломитов и возрастает роль вулканогенных пород.

Окатаинность грубого обломочного материала (валунов, гальки) по классам распределяется следующим образом: I и II классы — 34%, III и IV — 66%. Окатаинность более мелкого кластогенного материала ухудшается от гравия (преимущественно хорошо окатан) к пескам, которые как правило, характеризуются преобладанием зерен угловато-окатанной формы.

Песчано-валунисто-галечная пачка с отчетливыми следами размыва залегает на пачке бурых песков. Граница между ними очень резкая, волнистая, с амплитудой волн по высоте до 2 м. В отложениях этой пачки А. А. Межвилком и нами были найдены обломки раковин четвертичных морских моллюсков: *Astarte* sp., *Macoma* sp., *Mya cf. truncata* L., *Hiatella* (*Saxicava*) cf. *arctica*, несущие все признаки неоднократного переотложения (обломки обычного угловато-окатанные, часто измененные, побуревшие).

Разрез тукандинской толщи венчает горизонт бурых валунисто-галечных суглиников и супесей с гнездами и линзочками серых грубозернистых песков, а также почвенно-растительный слой. Общая мощность этих образований около 2,5 м.

Исследование образцов пород в лабораторных условиях дало важный дополнительный материал к познанию вещественного состава и генезиса отложений.

Минералого-петрографические исследования включали изучение сцепментированных или слабо уплотненных разностей пород в прозрачных шлифах, гранулометрический анализ с делением в тяжелых жидкостях алевритовой и песчаной фракций, диагностику минералов и подсчет зерен во фракциях с определением показателей преломления минералов в иммерсионных препаратах. Минеральный состав глин определялся термическим анализом глинистой фракции. Для ряда образцов определялась карбонатность глин по содержанию растворимого остатка. Три образца были подвергнуты полному силикатному анализу, а для 35 образцов, примерно равномерно отобранных по всему разрезу, исключая его верхнюю песчано-валунисто-галечную пачку, получена полуколичественная спектральная характеристика.

Как видно из приведенного описания и на рис. 1, глинистые породы, включая сюда и глинистые мергели, слагают большую часть разреза. Во всех пачках и слоях они имеют весьма сходный, варьирующий в небольших пределах, вещественный состав и строение, что дает возможность рассматривать их как отложения, очень близкие по условиям седimentации водоемов, и описать совместно. То же в значительной мере относится и к другим типам пород.

Данные гранулометрического анализа указывают на то, что все разности глин и мергелей содержат примесь алевритового материала, варьирующего от 6,5 до 50%. При этом в большинстве случаев она не превышает 20—25%, а алевритовый материал, как правило, мелкозернистый (0,05 мм). Только в некоторых разностях глин, залегающих в верхних частях глинистых пачек, алеврит становится разнозернистым, и иногда появляется небольшая примесь мелкозернистого песка. В верхних частях глинистых пачек закономерно возрастает и общее содержание алеврито-глинистых пачек.

вого материала (см. рис. 1). Все разности глини и мергелей, таким образом, достаточно хорошо отсортированы и тонко отмучены. При этом следует отметить то обстоятельство, что гранулометрический анализ отражает средний состав штуковых проб пород, представляющих собой тонкое чередование слойков глини и алевритов. Глинистые же слойки, как это отчетливо видно в шлифах, чрезвычайно тонко отмучены, обычно не содержат алевритовых зерен и нередко лишены даже крупного пелита.

Под микроскопом отчетливо видна тонкая горизонтальнослойистая (ленточная) текстура породы, обусловленная чередованием слойков глины (с единичными зернами тонкого алевритового материала или без него), со слойками такой же по составу глины, но в той или иной мере обогащенной (до 30–60%) алевритовым материалом с размером зерен от 0,02 до 0,04 мм. Не более 10% алевритовых зерен достигает величины 0,08 мм. Толщина слойков варьирует от 0,5 до 2, реже 3–4 мм. Преобладают слойки толщиной 0,8–1 мм.

Примечательно, что каждый слойк, обогащенный алевритовым материалом, или слойк алеврита имеет очень четкую и ровную нижнюю границу; вблизи которой он наиболее насыщен алевритовыми зернами. Выше содержание их постепенно снижается вплоть до полного исчезновения, и слойк, обогащенный алевритовым материалом, постепенно переходит в смешанный слойк глины. Слойки глини сложены бурым, в проходящем свете тонкодисперсным веществом с низким двупреломлением (показатель преломления $N = 1,528$ – $1,530$). Местами глины имеют тонкочешуйчатое строение. При большом увеличении видно, что порода имеет в основном крупнопелитовую структуру, но местами глины чрезвычайно тонко отмучены и совершенно не содержат частиц крупнее 0,005 мм. Упорядоченного расположения чешуек глинистых минералов, слюд и изометрических частиц других включений не наблюдалось.

Минеральный состав алевритового материала соседних глинистых и алевритовых слойков совершенно аналогичен и от горизонта к горизонту, от пачки к пачке изменяется в очень небольших пределах.

Характерной особенностью глин исследуемой толщи является их известковистость, варьирующая в значительных пределах. В прозрачных шлифах устанавливается присутствие в породах густой вкрапленности кальцита в виде мелких выделений неправильной или розетковидной формы, а также мельчайших его кристаллов. Местами кальцит образует почти сплошную мелкозернистую массу с высоким двупреломлением. Содержание кальцита по определениям в шлифах колеблется от 5–10 до 30–40%, т. е. породы местами переходят в мергели. Особенно велико содержание кальцита в нижних горизонтах глинистых пачек. В верхних же их частях, там, где возрастает количество песчано-алевритовой примеси, карбонатность пород заметно снижается.

Данные петрографических наблюдений подтверждаются определениями карбонатности глин по содержанию растворимого остатка. Так, в нижних горизонтах пачки плотных глини, залегающих в основании разреза исследуемой толщи, содержание CaCO_3 составляет 20–22,5%, а в верхних – 14–16%. В глинах песчано-глинистой пачки (интервал 10–16 м) карбонатность ниже, чем в других пачках, – внизу она равна 18%; а вверху падает до 5–6%. Наибольшее содержание карбоната кальция отмечено в нижней части пачки ленточных глини и мергелей, залегающих в средней части разреза тукандинской толщи (32,5%). В верхней опесчаненной части разреза этой пачки оно опускается до 15%. Серые ленточные мергели, залегающие в виде прослоя в пачке бурых песков (интервал 31–34 м), характеризуются устойчивым содержанием CaCO_3 (28–30%).

Минерало-петрографическими исследованиями в глинах и мергелях рассматриваемой толщи установлен разнообразный комплекс терригенных

минералов, насчитывающий 56 минеральных видов. Основные минералы: кварц, плагиоклазы, альбит, калиевые полевые шпаты (ортоклаз, микроклин), пироксены. Второстепенные и акцессорные: магнетит, ильменит, гидроокислы железа, роговая обманка, турмалин, гранат, эпидот, циркон, рутил, сфеи, лейкоксен, апатит, кианит, силиманин, доломит, кальцит, цеолиты. Спорадически встречаются ставролит, оливин, хромит, хлорит, биотит, сидерит, шинель, актинолит, tremolit, анатаз, андалузит, корунд, монацит, инирит, графит, мусковит, барит, титаномагнетит, глауконит, лептохлорит, вивианин, белая слюда. Обломки пород и агрегаты: минералы группы монтмориллонита, базальт, долерит, кварц-полевошпатовые породы, кварциты, микрокварцит, кремни, кусочки каменистого и бурого угля, окатыши глини и аргиллитов, агрегаты каолинита, обломки сильно измененных хлоритизированных пород. Обломочный материал во фракциях дезинтегрирован плохо – много сростков минералов, мелких включений одних минералов в другие.

Указанный минеральный комплекс и морфогенетические особенности одноименных минералов в качественном отношении выдерживаются по всему разрезу, варьируя лишь в небольших пределах. Наиболее полно он представлен в алевритовых фракциях глини и мергелей. При этом, как видно на рис. 1, паряду с увеличением содержания алевритовой фракции, в верхних частях глинистых пачек имеет место и некоторое возрастание роли кварца, главным образом за счет обломков пород. Соотношение минералов в тяжелой фракции весьма постоянно, во всех пробах господствуют пироксены.

В глинах и мергелях отмечается также присутствие единичных, беспорядочно рассеянных зерен песчаной размерности и даже мелкого гравия размером около 1 мм. Это преимущественно кварц, реже плагиоклазы или калиевые полевые шпаты, а также обломки базальтов или долеритов с хорошо сохранившимися структурой и составом. В заметном количестве (0,5–2%) присутствует тонкий распыленный растительный детрит, иногда отмечаются обломки спикул губок.

Несколько своеобразным составом отличаются только бурые глины из маломощных прослойков, заключенных в пачке бурых песков. Они характеризуются массивной или линзовиднослойистой текстурой, значительным содержанием плохо отсортированного алевритового материала с примесью песка. Распределение терригенного материала беспорядочное, карбонатность глини утрачивается. Структура породы алевропелитовая или псаммо-алевропелитовая.

Результаты термического анализа 12 образцов глини, отобранных по всему разрезу и из всех разностей, указывают на их монтмориллонитовый состав. В виде примеси всегда присутствуют хлорит и органическое вещество. Изредка отмечается очень небольшая примесь гидрослюд. Кривые нагревания глини приведены на рис. 3.

Пески и алевриты тукандинской толщи плохо отсортированы и чаще всего представляют собой трехкомпонентные породы с переменным содержанием песчаной, алевритовой и глинистой фракций. Все разности песков и алевритов, за исключением песчаного наполнителя валуно-галечных отложений и горизонта косослойных песков в верхней части песчано-глинистой пачки, сильно глинисты (см. рис. 1). Это обычно рыхлые, иногда сыпучие породы, и только в песчано-глинистой пачке содержатся достаточно уплотненные разности, из которых были изготовлены шлифы. Так, например, песок из прослоя, залегающего в средней части разреза песчано-глинистой пачки, представляет плохо отсортированную трехкомпонентную породу с примерно равным содержанием песчаной (41%), алевритовой (32%) и глинистой фракций (27%). Обломочный материал слабо окатан и представлен в основном кварцем (около 45%) и полевыми шпатами (40%), среди которых преобладают плагиок-

лазы. В подчиненном количестве присутствуют обломки пород: базальтов, долеритов, кварцитов и других. Характерны овальные окатыши глини и аргиллитов, отличающиеся высоким двупреломлением в золотистых тонах с волнистым погасанием и зеленовато-бурой окраской в проходящем свете. Структура массивная тоночеччатая. Окатыши располагаются вдоль слоек, обогащенных крупным терригенным материалом, и залегают плашмя, иногда кулисообразно, краями налегая друг на друга. Размер их до 0,8 м. Отмечаются также обломки карбонатных пород: известняков, доломитов, изредка зерна рудных минералов, в том числе пирита.

Цементирующей массой служит бурое в проходящем свете глинистое вещество с большим содержанием крупнопелитовых частиц и тончайшего алевритового материала. Местами в цементе наблюдаются выделения кальцита. В скрещенных николях глинистое вещество цемента очень слабо двупреломляет и иногда обнаруживает чешуйчатое строение. Тип цементации базальтий, реже поровый.

Пески и алевриты других слоев отличаются в основном количественным соотношением фракций. Исчезают окатыши аргиллитов и глини, а в бурых песках верхней части разреза четвертичной толщи зерна терригенных минералов часто окружены лимонитовой рубашкой. Здесь же глинистое цементирующее вещество местами густо импрегнировано точечными выделениями колломорфных гидроокислов железа.

По структуре и составу глинистое вещество цемента песков и алевролитов очень сходно с основной массой глинистых пачек, а минеральный состав песчаных и алевритовых зерен — с составом их песчано-алевритовой фракции. Однако, как видно на рис. 1, алевритовая фракция в песчаных и алевритовых породах почти во всем разрезе рассматриваемой толщи характеризуется более высоким содержанием кварца, тогда как в глинах преобладали полевые шпаты и обломки пород. Только в песках, являющихся наполнителем валунно-галечных отложений, алевритовая фракция вновь приобретает резко выраженную полимиктовость. Тяжелая фракция в песках и алевритах в качественном и количественном отношении аналогична таковой в глинах. Закономерного изменения

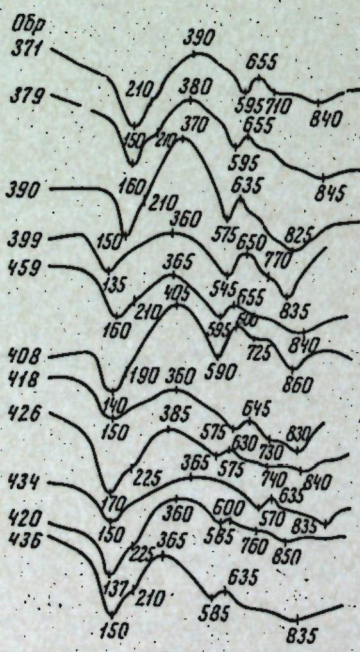


Рис. 3. Кривые нагревания образцов глини.

Обр. 371, 379 — пачка плотных ленточных глин (интервал 0—8 м);
обр. 399, 459 — песчано-глинистая пачка (интервал 10—16 м);
обр. 408, 418, 426 — пачка ленточных глин и мергелей (интервал 16—20 м);
обр. 426 — глинистый мергель из пачки бурых песков (интервал 21—25 м);
обр. 420, 436 — бурье глины (высота, соответственно, 28 и 34,5 м).



Рис. 4. Содержание некоторых элементов в породах тукандинской толщи по данным полуколичественного спектрального анализа

Условные обозначения см. на рис. 1

ее состава, в зависимости от изменения типа пород, не наблюдается, а вариации состава ничтожны (см. рис. 1).

Таким образом, песчаные и алевритовые породы рассматриваемой толщи по своему вещественному составу очень сходны между собой и с составом алевритовой фракции в глинах и мергелях. Никаких качественных различий в составе этих пород не наблюдается, хотя пески и алевриты содержат, как правило, больше кварца и меньше полевых шпатов. В алевритовой фракции глин всегда больше и обломков пород, среди которых, однако, преобладают агрегаты минералов глини группы монтмориллонита, т. е. недезинтегрированные обломки их основной массы.

Однородность вещественного состава всех разностей пород, слагающих толщу, подтверждается и данными спектрометрии, обнаруживающими лишь небольшие колебания в содержании ряда элементов, в связи с изменениями типа пород (рис. 4).

Минералогической зональности, подобно той какая имеет место в разрезах морских четвертичных отложений севера Западно-Сибирской низменности и которая, как было показано А. В. Гольбертом (Гудина, Гольберт, 1962; Гольберт и др., 1965), обусловлена климатическими изменениями, в данной толще не наблюдается. Все это указывает на большую скорость осадконакопления, отсутствие четко выраженной дифференциации осадочного материала в процессе его накопления, постоянство основных источников питания и однообразие физико-географической обстановки седиментации.

Только в верхней части разреза исследуемой толщи, начиная с пачки бурых песков, как видно на графике соотношения устойчивых и неустойчивых минералов и обломков пород в алевритовой фракции (см. рис. 1), наблюдается некоторое повышение значений коэффициентов устойчивости по основным пордообразующим минералам¹. В этом можно убе-

¹ Коэффициенты устойчивости рассчитывались как отношение суммы устойчивых и неустойчивых минералов и обломков пород в легкой и тяжелой фракциях.



Рис. 5. Палинологическая диаграмма тукаландинской толщи (содержание пыльцы и спор в процентах от всего спектра)

1 — пыльца древесных пород; 2 — пыльца трав; 3 — споры. Содержание пыльцы древесных пород, трав и спор в процентах от количества пыльцы или спор данной группы: 4 — пыльца древесных пород, 5 — пыльца трав, 6 — споры. Содержание пыльцы хорошей и плохой сохранности в группе древесных пород: 7 — пыльца плохой сохранности, 8 — пыльца хорошей сохранности.

Условные обозначения к литологической колонке см. на рис. 4

диться, анализируя общую тенденцию кривой и сравнивая значения коэффициентов в породах одного фациального типа. Наряду с изменением окраски пород от серой к бурой, эти данные свидетельствуют, видимо, о некотором потеплении климата во время накопления осадков верхней части тукаландинской толщи.

Этот вывод подтверждается результатами палеокарбонологического анализа образца торфа, отобранного из верхней опесчаниенной части пачки

ленточных глин и мергелей (высота 26,5 м). По заключению В. П. Никитина, подавляющее число видов растений, продуцировавших заключенные в нем семена, составляют флору, ныне свойственную таежной зоне, и не заходят в тундре (*Juniperus cf. communis* L., *Sparganium minimum* Hill, *Roripa palustris* Bess., *Viola cf. rupestris* Schmidt и др.). Климат времени формирования соответствующих отложений, как указывает В. П. Никитин, был теплее современного климата тех мест, а возраст отложений он считает позднечетвертичным.

Этому не противоречат данные палеопалинологических исследований образцов, отобранных достаточно густо почти из всех литологических разностей пород тукаландинской толщи. На палинологической диаграмме (рис. 5) видно, что соотношение пыльцы древесных, травянистых растений и спор в разрезе толщи остается примерно постоянным и характеризует условия, близкие к лесотундре. Постоянное присутствие спор *Selaginella selaginoides* свидетельствует даже о северотаежных условиях.

Таблица 1

Данные содержания форм железа и серы в четвертичных породах верховьев р. Тукаанды

Название слоя (чаини)	№ обр.	Гранулометрический тип пород	Формы железа (в %) от породы				Формы железа (в %) от реакционно-способного железа				Сера (в %) от породы				Fe _{пир.} Fe _{пир.} Сорг.	Минерализа- ции под водоема
			Генал. Генир.	Генал. Генир.	Генал. Генир.	Генал. Генир.	Генал. Генир.	Генал. Генир.	Генал. Генир.	Генал. Генир.	Суль- фидная обитан	Сорг.	Сорг.	Сорг.		
песчано-песчано- изогалечный	466 467 468 469	Песок » » »	4,75 4,64 4,53 5,26	Нет 0,02 0,04 Нет	1,73 2,54 1,84 1,26	1,06 0,53 0,90 1,73	1,96 1,55 1,75 2,27	Нет 0,43 0,88 Нет	36,5 54,7 40,6 24,9	22,3 11,4 19,9 33,0	41,3 34,0 33,6 43,1	Нет » » »	Нет 0,02 0,04 0,01	0,11 0,21 0,11 0,14	1,63 4,78 2,04 0,73	Б.м. 0,10 0,36 Б.м.
бурых песков	443 439 437 436 434 430	Песок Глина » Песок	3,97 4,30 4,97 5,53 5,37 3,86	Нет » 1,17 0,02 0,03 1,23	1,51 1,29 1,44 2,46 2,35 1,06	1,01 1,14 1,73 1,23 1,54 1,23	1,45 1,87 2,39 2,35 2,38 1,54	Нет » 23,5 23,4 42,7 44,5 31,9	25,5 26,5 48,0 42,5 32,8 27,5	36,8 43,5 44,2 40,8	» » » » » »	Нет » » » » »	Нет 0,02 0,03 0,03 0,03 0,03	0,43 0,15 0,48 0,87 0,47 0,16	1,43 1,13 0,83 0,03 0,71 1,16	— — — — — —
ленточных глин и мергелей	426 420 418 408	Алеврит Песок Глина »	4,22 4,33 5,26 5,95	0,06 Нет 0,02 0,05	1,76 1,31 1,70 1,56	0,79 1,15 2,17 2,49	1,61 1,87 0,38 2,15	1,42 Нет 0,38 0,84	41,7 30,3 32,4 26,2	18,7 26,6 41,3 36,8	38,2 43,2 41,3 36,2	» » » »	0,07 0,07 0,02 0,06	0,37 2,24 0,26 0,48	2,24 1,14 0,81 0,71	0,16 — 0,05 0,10
песчано-глини- стая	405 403 447 329а 459 399	Песок » » Алеврит Глина	3,94 3,91 3,91 4,78 6,12 6,12	Нет 0,03 0,01 0,06 Нет 0,04	1,68 1,84 1,62 1,34 1,20 1,34	0,75 0,79 1,25 1,44 1,65 2,15	1,51 1,25 0,25 1,31 2,07 2,59	Нет 0,77 0,25 1,25 2,07 0,65	42,6 47,0 41,3 43,3 24,7 22,0	19,0 20,2 21,4 28,1 33,6 35,0	38,4 32,0 36,8 27,4 42,0 42,3	» » » » » »	Нет 0,03 0,01 0,07 0,03 0,05	0,48 0,33 0,40 1,16 0,35 0,71	2,34 2,33 1,93 1,54 0,73 0,62	— — — — — —
плотных лен- точных глин	379 371	Глина »	5,81 5,93	0,06 0,08	1,68 1,51	1,76 2,24	2,31 2,10	1,03 1,35	28,9 25,4	30,3 37,8	39,6 35,4	» »	0,07 0,09	0,53 0,47	0,96 0,67	0,11 0,17

Распределение пыльцы древесных пород по разрезу указывает на преобладание в древостое ели, а во время накопления пачки бурых песков и алевритов — березы. Смена преимущественно елового редколесья бересковым, возможно, была связана с уменьшением влажности климата и почв.

Следует, однако, подчеркнуть, что к интерпретации палинологической диаграммы тукандинской толщи следует подходить с большой осторожностью, ибо значительная часть пыльцы и спор в ней переотложена. На это указывает, в частности, большое (до 60%) количество пыльцы плохой сохранности и приуроченность наибольшего ее содержания к нижним разрезам, в том числе, к сравнительно грубым осадкам песчано-глинистой пачки. Этим, видимо, можно объяснить обогащение осадков устойчивой при переотложении пыльцой ели (содержание которой местами достигает 80% от пыльцы всех древесных пород, что является чрезмерным для этих широт) и, наряду с высоким в целом содержанием пыльцы древесных пород и спор, свойственным северотаежным спектрам, значительно количество пыльцы *Artemisia*. Такой смешанный состав спектров, слагаемых компонентами тундровой и таежной растительности, мог образоваться в условиях лесотундры или даже тундры при размыве отложений межледниковых, охарактеризованных богатыми таежными спорово-пыльцевыми спектрами¹.

Для выяснения фациальной природы отложений более 20 образцов глии и других пород, отобранных по всему разрезу толщи, были подвергнуты специальным геохимическим исследованиям, включая сюда определение солености вод древних водоемов по величине Fe_{пир.}: Сорг., по породах бора и по химическому составу поглощенного комплекса катионов, по методике Н. С. Спиро (1956).

В табл. 1 приведены результаты фазового анализа образцов пород на содержание различных форм железа, серы и органического вещества. Как видно из табл. 1, содержание Сорг. в породах всех типовлизкое (0,11—1,15%), и колеблется в зависимости от гранулометрического состава отложений. В этом не трудно убедиться, сравнив, например, количество Сорг. в песках и глинах. Содержание валового железа колеблется около его клярковых значений (3,86—6,12%), причем, как показывают вычисления баланса его форм, железо в значительной мере, особенно в песках, имеет обломочное происхождение.

Содержание пиритного железа, определенное по количеству сульфидной серы, очень невелико и колеблется от 0,01 до 0,09% от породы (1,42% от количества реакционно-способного железа). Во многих образцах оно не было обнаружено вовсе. По отношению содержания пиритного железа к Сорг. в подавляющем большинстве случаев устанавливается пресноводный характер водоемов, в которых происходило накопление глии и мелегней исследуемой толщи (Fe_{пир.}: Сорг. колеблется от бесконечно малых величин до 0,1). Только для двух образцов из пачки плотных известковистых ленточных глин, залегающих в основании разреза, получены (Fe_{пир.}: Сорг. = 0,11—0,17). Что же касается песчано-алевритовых отложений, то в двух случаях из 14 величина этого отношения оказалась больше 0,1 и равной 0,16, а в одном — даже 0,36, что уже соответствует солености вод морских бассейнов. Однако эти аномальные значения отношения Fe_{пир.} к Сорг. в песках, часть из которых относится к заведомо аллювиальным (обр. 468 со значением Fe_{пир.}: Сорг. = 0,36), объясняются присутствием в них значительного количества обломочного железа, в том

¹ Итак будет показано, что в составе тукандинской толщи значительная роль действительно принадлежит продуктам переотложения морских четвертичных отложений, в том числе межледниковых казанцевских.

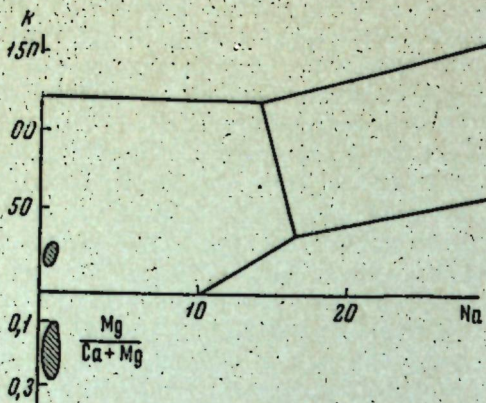


Рис. 6. Диаграмма химического состава поглощенного комплекса катионов

числе пиритного. При определении солености вод древних водоемов по отношению $\text{Fe}_{\text{нир.}} / \text{Ca}_{\text{орг.}}$ песчаные фации должны, следовательно, анализироваться с большой осторожностью. В нашем же случае образование песчано-алевритовых осадков в пресных водоемах подтверждается как данными фациального анализа, так и результатами большинства определений отношения $\text{Fe}_{\text{нир.}} / \text{Ca}_{\text{орг.}}$. На пресноводный характер водоемов указывает и низкое содержание бора во всех пробах из разреза тукаландской толщи (от 0,001 до 0,003%).

Вывод о пресноводном характере водоемов, в которых происходило накопление всей исследуемой толщи, подтверждается и составом поглощенного комплекса катионов. На диаграмме (рис. 6) все без исключения фигурационные точки располагаются в левой ее части в поле пресноводных условий. Для проб характерны низкие содержания K^+ и Na^+ и высокие Ca^{2+} и Mg^{2+} .

Завершая изложение фактического материала, приведем данные микропалеонтологических исследований, результаты которых оказались весьма показательными и важными для понимания генезиса и возраста отложений.

В разрезе тукаландской толщи на микрофауну было отобрано не реже чем через 1 м и изучено более 60 образцов из всех литологических разностей. В 16 образцах были обнаружены единичные или немногочисленные четвертичные фораминиферы, а в одном из них (обр. 431, высота 30 м) — обломок раковины остракоды *Cypridea* sp. indet., более всего напоминающей раннемеловую форму *Cypridea koskulensis* Mandelstam (определение М. А. Решетниковой). В бурых алевритовых песках были также найдены неопределимые из-за плохой сохранности дигитомовые водоросли. Н. А. Халфина тем не менее устанавливает их принадлежность к пресноводным. Сохранность фораминифер плохая, все без исключения раковины обломаны, иногда они слабо окжелезнены (побурели). Ввиду этого определения до вида сделаны в открытой номенклатуре.

Фораминиферы встречены не по всему разрезу и, что особенно характерно, довольно мощные пачки глин, которые в четвертичных морских отложениях севера Западно-Сибирской низменности лучше всего охарактеризованы микрофауной, в данной толще ее не содержит совершенно. И наоборот, песчаные отложения, в том числе грубозернистые косослонистые и гравийно-галечные их разности, содержат в ряде случаев раковинки фораминифер. Так, например, только растительные остатки были встречены в образцах пачки плотных ленточных глин и мергелей (интервал 0—8 м), в глинах песчано-глинистой пачки (интервал 10—16 м), в прослое мергелей (интервал 31—34 м), залегающим в пачке бурых песков и алевритов. Но были найдены фораминиферы и в наиболее мощной глинисто-мергелистой пачке, залегающей в интервале 16—29 м,

за исключением ее верхней опесчаненной части. Все местообитания фораминифер, таким образом, приурочены к песчаным осадкам и обнаружены даже в песчано-валунисто-галечных отложениях. В пачках глин раковинки фораминифер встречаются только в верхних опесчаненных их горизонтах (см. рис. 1).

Количество фораминифер в каждом образце, как правило, невелико — от одного до 10 экземпляров, и только в двух пробах на высоте 13 м (обр. 399а, основание слоя горизонтальнослоистого песка в песчано-глинистой пачке) и 30,8 м (пески бурые, алевритовые) содержание их достигает соответственно 39 и 25 экземпляров.

В первом случае основную часть составляют *Cribroelphidium cf. goesi* (Stshedrina), *Protelphidium cf. orbiculare* (Brady), *Pr. cf. orbiculare* juv. Единично встречаются *Cribrononion cf. obscurus* Gudina, *Protelphidium cf. lenticulare* Gudina, *Elphidium cf. subclavatum* Gudina, *Cassandra cf. teretis* (Tappan), *Planocassidulina cf. norcrossi* (Cushman). Такой состав видов фораминифер и их количества в пробах напоминает сибирские отложения Енисейского севера. Однако в том же образце были обнаружены также довольно крупные раковины *Glandulina* sp. и *Milliolinella cf. grandis*, которые имеют крупные размеры раковин и встречаются в больших количествах только в залегающих стратиграфически ниже тургунских слоях того же района (Гудина, 1969).

Во втором случае, на высоте 30,8 м, наряду с видами фораминифер, обычными для всего разреза морского плейстоцена севера Западно-Сибирской низменности (*Elphidium cf. subclavatum*, *Protelphidium cf. leuticulare*, *Pr. cf. orbiculare*, *Pr. cf. orbiculare* juv., *Planocassidulina cf. norcrossi*) встречаются единичные *Pseudoplymorphina cf. novangliae* и *Cribroelphidium cf. subarcticum* (Cushman), известные только из казанцевских отложений (Гудина, 1969). Отнести же весь этот комплекс фораминифер к казанцевскому и соответственно датировать возраст вмещающих отложений не позволяет бедность видового состава и характер раковин вида *Protelphidium orbiculare*, который представлен в основном молодыми формами или же взрослыми особями небольших размеров, что наблюдалось только в сибирских отложениях. Отметим, кстати, что в образце, взятом на 0,8 м ниже, вместе с единичными четвертичными фораминиферами была встречена и упоминавшаяся уже раковинка предположительно меловой остракоды. Весьма примечательны находки фораминифер в верхней пачке песчано-валунисто-галечных отложений (см. рис. 1). Здесь в одном из образцов (обр. 466, высота 50,5 м) было найдено пять раковин фораминифер, обычных для видов морского плейстоцена Западной Сибири (*Cribroelphidium cf. goesi* — 3 экз., *Protelphidium cf. orbiculare* — 2 экз.).

Общий список фораминифер, встречающихся в отложениях исследуемой толщи и их количество в образцах, приведены в табл. 2.

Таким образом, условия захоронения фауны моллюсков и фораминифер, когда местообитания тех и других приурочены главным образом или исключительно к отложениям, образовавшимся в водоемах с наиболее активным гидродинамическим режимом (песчано-валунисто-галечные, песчаные косослонистые, песчанистые алевритовые глины), плохая сохранность фораминифер и окатанность обломков раковин моллюсков, и наконец, смешение видов разновозрастных комплексов фораминифер обосновывают единственно правильный вывод о том, что остатки моллюсков, фораминифер и остракод в тукаландской толще переотложены. Они попали сюда при размыве и переотложении материала морских четвертичных (тургунских, сибирских и казанцевских), а отчасти и более древних, дочетвертичных отложений. Рассматриваемая толща является, следовательно, послеказанцевской.

Таблица 2
Видовой состав форминифер и их количество в образцах из тукаландской толщи

Название вида	Высота взятия образца (в м)												
	10	12	13	14	27	28	29	30	30,8	35	39	44	50
<i>Quinqueloculina</i> sp.													
<i>Miliolinella</i> cf. <i>grandis</i> (Gudina)					1								
<i>Dentalina</i> cf. <i>baggi</i> Gall et. Wissl.					2								
<i>Pseudopolymorphina</i> cf. <i>novangliae</i> (Cushman.)							1						
<i>Glandulina</i> sp.													
<i>Globulina</i> sp.													
<i>Buccella</i> sp.													
<i>Cribrononion</i> cf. <i>obscurus</i> Gudina													
<i>Nonionellina</i> <i>labradorica</i> (Dawson)													
<i>Protelphidium</i> <i>asterotuberculatum</i> (Voorhuyzen)													
<i>Pr. cf. lenticulare</i> Gudina													
<i>Pr. cf. orbiculare</i> (Brady)													
<i>Pr. cf. orbiculare</i> juv.													
<i>Elphidiwn</i> cf. <i>subclavatum</i> Gudina													
<i>Criboelphidium</i> cf. <i>goësi</i> (Stsbedr.)													
<i>Cr. cf. granatum</i> (Cudina)													
<i>Cr. cf. subarcticum</i> (Cushman.)													
<i>Stainforthia</i> cf. <i>loeblichii</i> (Feyling-Hanssen)													
<i>Cassidulina</i> cf. <i>subacuta</i> (Gudina)													
<i>Isandiella islandica</i> (Norvang)													
<i>Cassandra</i> cf. <i>teretis</i> (Tappan)													
<i>Planocassidulina</i> cf. <i>norcrossi</i> (Cushman.)													
Общее количество экземпляров	2	19	39	5	10	7	5	6	25	3	4	1	5

Располагая изложенным выше данными полевых наблюдений и результатами комплекса лабораторных исследований, можно достаточно уверенно судить о фациальной природе отложений, а также воссоздать условия и обстановку их формирования.

Пачки известковистых ленточных глин и мергелей несомненно образовались в озерных водоемах с очень спокойным гидродинамическим режимом. В зимнее время они покрывались льдом (время накопления слоев глины), а летом вскрывались, и формирование осадка также происходило в спокойных водах (отсутствие следов взмучивания осадков и резкие нижние граници между летними алевритовыми и зимними глинистыми слоями), но при более энергичном привносе тонкого обломочного материала поверхностью водами и ветрами. Озерные водоемы были небольшими по размерам (не широкими), но сравнительно глубокими. В противном случае, трудно объяснить высокую степень дисперсности осадочного материала, с одной стороны, и попадание в него сравнительно крупных и тяжелых (песчаных и мелкогравийных) частиц, с другой. В прибрежных участках тонкие ленточные глины сменились, по-видимому, неслоистыми песчано-алеврито-глинистыми илами. Морской генезис пачек глини и мергелей опровергается всем имеющимся материа-

лом — взаимоотношением их с соседними заведомо континентальными фаунами, высокой карбонатностью пород, что совершенно не характерно для осадков высокоширотных морских бассейнов; структурой пород и, наконец, данными лабораторных исследований, определенно указывающими на пресноводный характер водоемов. Отметим еще и то обстоятельство, что в обстановке морского бассейна (пусть даже в узком заливе типа фиорда) осадки непременно содержали бы рассеянный валуно-галечный материал, разносимый плавающими льдами. Это же отрицает и возможность отнесения водоемов к сильно опресненным участкам (заливам, эстуариям, фиордам) морского бассейна. В этом смысле особенно показательны взаимоотношения пачек глин с фациями песков, в том числе явно аллювиальных. Переходы между ними, как правило, постепенные, а смены фациальных обстановок частые (например, в песчано-глинистой пачке), что возможно только в континентальных условиях.

Верхние опесчаненные горизонты пачек глин фиксируют усиление динамики озерных вод, связанное с их обмелением и, очевидно, возникновением стока вод из озера. Ленточные структуры здесь постепенно утрачиваются, осадки становятся слабо сортированными, песчано-алеврито-глинистыми. С усилением стока эти осадки постепенно, но достаточно быстро, обогащаются песчано-алевритовым материалом и переходят в фации мелкозернистых горизонтально- или линзовиднослоистых песков, а затем в аллювиальные русловые отложения с характерным для них косослоистым строением пачек. Таким образом, в конечные этапы накопления глинистых пачек озера становились проточными, а затем спускались, и на их месте вновь возникали реки. Именно так обстояло дело, например, во время формирования песчано-глинистой пачки.

В равной мере это относится к пачкам ленточных глин и мергелей, а также бурых песков и алевритов, слагающих среднюю часть разреза толщи. Только «регressiveный» этап здесь был значительно более длительным и, по-видимому, имел место в обстановке некоторого потепления климата (пачка бурых песков). В это время озерный бассейн сильно обмелел, особенно в конце этапа (знаки волновой рапи), затем значительная часть его дна стала, вероятно, сушей, и накопившиеся осадки подвергались процессам субаэрального выветривания и облессования. Пласт серых ленточных мергелей, заключенный в пачке бурых песков, фиксирует резкую смену мелководного озерного водоема глубоким.

Состав и строение пачек песчано-валуно-галечных отложений (окатанность и определенная ориентировка галек и валунов, грубая слоистость пачек, линзы косослоистых песков и ряд других признаков) совершенно однозначно разрешают вопрос о принадлежности отложений к русловому горному аллювию. При этом, степень расчленения и абсолютные отметки палеорельефа были, вероятно, весьма сходными с современными, о чем свидетельствует близость размеров грубого обломочного материала в песчано-валуно-галечных пачках рассматриваемой толщи и современного аллювия р. Тукаланды.

Перед отложением верхней песчано-валуно-галечной пачки произошло, видимо, и некоторое понижение базиса эрозии, на что указывает ангергличный размыт верхних горизонтов пачки бурых песков.

Итак, залегающая в древней долине р. Тукаланды четвертичная послеказанцевская толща сложена чередующимися в разрезе озерными и аллювиальными отложениями, включающими фации руслового горного аллювия. Характер фаций и их смена в стратиграфической последовательности свидетельствуют о том, что в пределах одной и той же площади условия глубоких озерных водоемов достаточно быстро или медленно, но всегда постепенно (через обстановку проточных озер), менялись условиями седиментации в русле горной реки. Возрождение же вновь обстановки глубокого озерного водоема всегда происходило как бы

внезапно (пачки тонкоотмученных глии и мергелей с резким и ровным контактом, без каких-либо переходных отложений и следов размыва ложатся на песчаные или валунисто-галечные осадки горного руслового аллювия).

Ясно, что такая смена обстановок могла происходить только в достаточно глубокой речной долине при неоднократном и относительно внезапном подпруживании реки в нижней части долины (когда она затоплялась и превращалась в глубокий озерный водоем) и при последующих прорывах вод через преграду. Прорыв вод и сток их через преграду не мог быть внезапным, а развивался постепенно, вплоть до полного ее размыва. Поэтому озерные водоемы становились сначала проточными, постепенно мелили и сокращались в размерах и, наконец, превращались в реку. Последовательная смена этих событий и «записана» в разрезе рассматриваемой толщи.

Что же послужило этой преградой и с чем связаны ее неоднократные и внезапные появления в древней долине р. Тукаланды?

Такой преградой в конкретной геологической ситуации района мог быть только ледник¹ и оставленные им конечные морены. Отсюда следует, что время образования большей части тукаландинской толщи относится к тому этапу послеказанцевской истории, когда край ледника Средне-Сибирского плоскогорья располагался вблизи западной окраины плато Пutorана и периодически то продвигался на запад, перекрывая Норильско-Хантайскую долину и запирая устья горных речных долин на востоке Норильского плато, то возвращался назад, освобождая равнинную часть района, где возникал приледниковый бассейн. Верхняя часть толщи образовалась в сравнительно более теплом и сухом климате, видимо, уже после того как ледники, а вслед за ними и приледниковые бассейны, покинули равнинные части района и сопредельные площади. Это вызвало понижение местного базиса эрозии и размытие ранее накопившихся в долине р. Тукаланды отложений (верхняя песчано-валунисто-галечная пачка).

Таким образом, время формирования всей толщи приходится на конец ледниковой (время рецессии ледника) и начало последующего более теплого периода. В послеказанцевской истории Сибири образование тукаландинской толщи могло быть связано, следовательно, только с зырянской ледниковой эпохой.

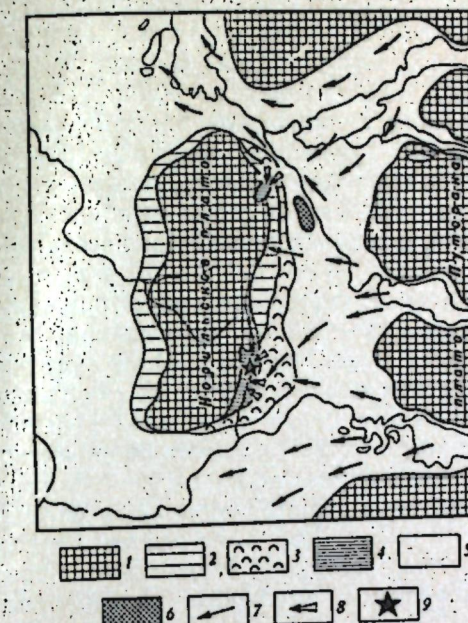
Авторы считают наиболее вероятным образование ее в одну из ранних стадий зырянского оледенения и в первой половине последующего интерстадиала. Этот предварительный вывод хорошо подтвержден радиоуглеродной датой из линзы торфа (полученной уже после завершения настоящего исследования) — 34300 ± 500 лет (ГИН-356).

Ориентировочные расчеты продолжительности этапа формирования тукаландинской толщи, произведенные по ленточным глинам (скорость накопления которых составляла 1 м за 150–180 лет, а суммарная мощность глин в разрезе 30 м), а также оценка средней скорости накопления песков и песчано-валунисто-галечных отложений всего в 2 раза выше глин, дают величины в 6–7 тыс. лет (максимум 10 тыс. лет, если бы вся толща была сложена глинами; минимум времени, необходимого для накопления глини реального разреза, — 5 тыс. лет).

Подсчет времени накопления слоев, лежащих ниже линзы торфа, показал, что формирование этой части разреза потребовалось около 4–5 тыс. лет, т. е. оно началось около 40000 лет назад, что может отвечать концу первой крупной фазы зырянского оледенения и, возможно, ее поздней (среднезырянской) подфазы — вероятного аналога среднего вюрма или среднего висконсина. Верхняя часть тукаландинской толщи

¹ В. В. Рогожин не разделяет представлений об оледенении плоскогорья.

Рис. 7. Схема реконструкции движения зырянских ледников в районе Норильского плато и механизм образования подпрудных бассейнов



- 1 — участки плато с абсолютными отметками более 500 м;
- 2 — то же с отметками 400—500, редко до 400 м;
- 3 — поверхность холмисто-котловинного ледникового рельефа на высотах 200—360 м;
- 4 — участки речных долин с подпрудными озерными отложениями на высотах 300—360 м;
- 5 — долинная часть района с абсолютными отметками 60—200 м, затопляемая водами плейстоценовых морских бассейнов;
- 6 — установленные выходы фаунистически характеризованных морских плейстоценовых отложений в долине р. Рыбной;
- 7 — направления движения ледников в районе;
- 8 — вероятные направления сноса обломочного материала из морен в озерные котловины;
- 9 — обнажение в верховьях р. Тукаланды

накопилась за 2–3 тысячелетия, и формирование ее закончилось около 31–32 тыс. лет назад, еще в интерстадиальных условиях. Залегающая в самой верхней части тукаландинского разреза пачка несортированных валунных суглинков и алевритов (53–56 м), взаимоотношение которой с тукаландинской толщей проследить не удалось, оставлена, очевидно, ледником последней крупной стадии зырянского оледенения, имевшей место около 20 000 лет назад (Троицкий, 1967).

На рис. 7 схематично изображен современный план местности и нанесены известные на сегодняшний день местонахождения зырянских ледниковых отложений (конечных морен) на востоке Норильского плато, морских четвертичных отложений в Норильско-Хантайской долине, а также показаны пути движения зырянских ледников, реконструированные В. С. Старосельцевым (1965а, б) и дополненные В. Д. Крюковым на основе данных крупномасштабных геологических съемок и специальных исследований в связи с поисками полезных ископаемых валунным методом.

Как видно на схеме, бассейн верхнего течения р. Тукаланды располагается на юго-востоке Норильского плато, а долина реки прорезает его с севера на юг. Истоки реки в настоящее время располагаются на абсолютных отметках около 560–600 м, а ее левых притоков — на высоте 350–400 м. Истоки правых притоков, берущих начало в центральной части плато, располагаются сейчас на высоте около 600 м над уровнем моря.

Река Тукаланда протекает в древней долине, глубина которой достигает 300 м, а ширина колеблется от 2 до 5 км. В верховьях реки, на участке развития тукаландских отложений, днище долины расширено, а русло распадается на многочисленные ветвящиеся рукава; течение медленное, спокойное. Продольный профиль значительно выложивается. В русловом аллювии преобладает песчано-гравийно-галечный материал, валуны встречаются сравнительно редко. Ниже по реке, в области

развития ледниковых отложений (рис. 7), днище долины сужается, резко возрастает уклон реки. В ее русле, ограниченном высокими и крутыми берегами, нагромождения валунного и крупногалечного материала образуют перекаты. Здесь река имеет несколько круинных врезанных меандров.

Конечные морены зырянских ледников установлены в ряде пунктов на восточной окраине Норильского плато на отметках до 360 м (рис. 7). В период своей максимальной активности ледники, по-видимому, могли заполнить и верхнюю часть долины р. Тукаланды, но, как полагает В. С. Старосельцов, никогда не перекрывали центральную, наиболее возвышенную часть плато и его западные склоны. В своем верхнем течении р. Тукаланда, следовательно, могла, а левыми притоками несомненно дренировала моренные образования.

Восточное плато располагается широкая меридиональная Норильско-Хантайская долина (абсолютные отметки 60—200 м), выполненная четвертичными отложениями, среди которых В. Д. Крюков и В. В. Рогожин недавно обнаружили санчуговские морские слои с остатками моллюсков и фораминифер. На востоке района лежит плато Путорана и Хараэллахские горы, где в зырянскую ледниковую эпоху располагались ледники.

При движении ледников в направлениях, указанных на рис. 7 стрелками, они пересекали Норильско-Хантайскую долину, захватывая по пути рыхлые отложения и перемещая их на запад. При этом основная масса льда и транспортируемого им материала, «обтекая» Норильское плато, устремлялась на окраины Западно-Сибирской низменности. Одновременно некоторая часть ледника под напором массы движущегося льда поднималась по восточному склону плато, достигая высоты 360—400 м. Там отлагались конечные морены из материала местных коренных пород и пород, слагающих Средне-Сибирское плоскогорье, а также захваченных по пути рыхлых отложений Норильско-Хантайской долины. Так, в этапы максимальной активности зырянских ледников на водосборной площади р. Тукаланды были созданы предпосылки для последующего размыва и переотложения поверхности водотоками материала морских четвертичных отложений вместе с содержащимися в них органическими остатками (раковинами моллюсков, фораминифер и др.) в долину реки.

В позднеледниковое время долина р. Тукаланды в средней своей части (у выхода ее на Хантайскую равнину) неоднократно (не менее 4 раз за время накопления тукаландинской толщи) преграждалась ледником или его конечноморенными образованиями. Это неминуемо приводило к быстрому затоплению долины и превращению ее в глубокий озерный водоем. После отступления ледника преграда (конечная морена) разрушалась, и озеро становилось сначала проточным, а затем постепенно мелело и, в конце концов, превращалось в горную реку. Так повторялось несколько раз, что и нашло свое отражение в разрезе тукаландинской толщи в виде чередования пачек озерных известковистых глин и мергелей (с венчающими эти пачки песчано-алеврито-глинистыми горизонтами) и фаций руслового горного аллювия: косослоистыми грубообристыми песками, песчано-валунисто-галечными отложениями.

Такова гипотеза авторов относительно генезиса тукаландинской толщи. Эта гипотеза удовлетворительно объясняет совокупность наблюдавшихся фактов и каждый из них в отдельности, достаточно глубоко и разносторонне аргументирована имеющимися сейчас материалами.

Следует отметить, что исследованная толща не является чем-то совершенно исключительным. Сходные по составу отложений разрезы известны и в других пунктах на восточной окраине Норильского плато (рис. 7). Там они также приурочены к древним речным долинам и, видимо, их генезис во многом подобен генезису тукаландинской толщи и определялся теми же факторами. На это указывает, в частности, то обстоятельство, что на западной окраине плато, куда ледники не заходили,

и, следовательно, не могли возникнуть преграды вблизи выходов горных долин на равнину, отложений подобного типа отсутствуют совершенно. В то же время на западной окраине Норильского плато нигде не отмечаются и морские осадки, расположенные на таких же или близких высотах, хотя в тектоническом отношении западная часть Норильского плато мало чем отличается от восточной, а вблизи области сплошного распространения морского плейстоцена обнаружение их там было бы наиболее вероятным. Представление об озерно-аллювиальном генезисе рассматриваемой толщи коренным образом меняет сложившиеся мнения по целому ряду важных и дискуссионных вопросов четвертичной геологии этого района. Проведенные исследования дали также новый материал к познанию физико-географической обстановки стадий и интерстадиалов последнего оледенения.

ВЫВОДЫ

Вся толща четвертичных отложений в верховьях р. Тукаланды является континентальной, она сложена сменяющими друг друга в стратиграфической последовательности озерными и аллювиальными отложениями, накопившимися в древней речной долине. Морских образований в разрезе тукаландинской толщи нет, а заключенные в отложениях обломки раковин четвертичных морских моллюсков и фораминифер являются переотложенными. Возраст толщи среднезырянский. Образование ее, вероятно, произошло в позднеледниковый этап древнезырянской стадии оледенения и в начале последующего каргинского интерстадиала.

Присутствие в отложениях тукаландинской толщи остатков морских организмов (четвертичных моллюсков, фораминифер, усоногих раков, возможно плейстоценовых же губок) не связано с распространением морского плейстоцена в периферических, а тем более центральных районах Норильского плато. Уровень четвертичного морского бассейна, очевидно, никогда не превышал отметки +200 м. В исследованную толщу они были переотложены из зырянских морен, залегавших и залегающих в настоящее время на водосборной площади р. Тукаланды. В составе этих морен принимали участие и перенесенные ледниками из Норильско-Хантайской долины породы морского плейстоцена, из которых остатки морских организмов впоследствии и были вымыты поверхностными водотоками.

Во время накопления тукаландинской толщи было по крайней мере четыре осцилляции ледникового края. Длительность его наступаний с известными колебаниями сокращалась к концу позднеледникового, варьируя в пределах от 2—2,5 тыс. (нижняя пачка плотных ленточных глин) до 600 лет (слой серых ленточных мергелей в верхней части разреза толщи). Этим самым подтверждается существование ледников на Средне-Сибирском плоскогорье и в равнинной части района не только в ледниковые стадии зырянской эпохи (за исключением самой поздней — норильской, когда ледники не выходили из гор), но и в конце ледниковых фаз, т. е. в позднеледниковую.

В Норильско-Хантайской долине, помимо установленных там в последнее время санчуговских морских слоев, некогда были распространены (возможно, кое-где сохранились и доныне) также более древние туруханские и более молодые казанцевские морские отложения.

К началу зырянской ледниковой эпохи Норильское плато представляло собой возвышенность с орографией, гидросетью и абсолютными отметками, близкими к современному. Существенных поднятий плато с этого времени не претерпело. Этот вывод противоречит представлениям о значительных амплитудах новейших движений северо-западной окраины Сибирской платформы, в частности, выводам А. А. Межвилка (1965). Он, основываясь на ошибочной трактовке возраста и генезиса тукаландинской толщи, рассматривал плато как «мобильную зону» в плиоцен-плейсто-

цене и, чтобы объяснить присутствие морских отложений на отметках выше 300 м, допускал его значительное поднятие.

Данные литологических и палеоботанических исследований (учитывая влияние процессов переотложения) указывают на сравнительно теплый (близкий к современному тех мест) климат конечных этапов ледниковых фаз и разделявших их интерстадиалов. В приледниковой зоне, куда во время отступания ледников входил исследуемый район, по берегам крупных приледниковых бассейнов существовали ландшафты типа современной лесотундры. В конце позднеледникового и особенно в последующий интерстадиальный этап климат становился теплее и суще современного, приледниковые бассейны исчезали, а растительность приобретала характер елово-березового (очевидно, с лиственицей) редколесья. В то время уже совершенно отчетливо проявились черты гумидного литогенеза умеренных широт (пачка бурых песков и алевритов).

На примере тукаландской толщи можно видеть, что в некоторых случаях отложения ледниковых эпох (включая, очевидно, и морены) могут содержать сравнительно богатые спорово-пыльцевые комплексы, а также другие органические остатки, в том числе чуждые отложениям данного генетического типа.

ЛИТЕРАТУРА

- Гольберт А. В., Гудина В. И., Левковская Г. М. 1965. Некоторые особенности минералогического состава и условий образования морских четвертичных отложений на севере Западной Сибири.— В сб.: Основные проблемы изучения четвертичного периода. М., «Наука».
- Гудина В. И., Гольберт А. В. 1962. Литолого-палеонтологические исследования тазовско-саичуговских отложений в бассейне р. Турухан.— В сб.: Четвертичная геология и геоморфология Сибири. Труды ИГиГ СО АН СССР, вып. 27. Новосибирск.
- Гудина В. И. 1969. Морской плейстоцен сибирских равин. Фораминыферы Енисейского Севера. М., «Наука».
- Межвильк А. А. 1963. Новые данные о морских четвертичных отложениях Норильского плато.— Уч. записки НИИГА, регион. геол., вып. 1.
- Межвильк А. А. 1965. Развитие Норильского плато как мобильной зоны в плиоцене и четвертичном периоде.— Труды НИИГА, т. 143.
- Старосельцев В. С. 1965а. Применение валунико-поискового метода при открытии Талнахского месторождения медно-никелевых руд.— В сб.: Основные проблемы изучения четвертичного периода. М., «Наука».
- Старосельцев В. С. 1965б. Четвертичные оледенения и поиски полезных ископаемых валунным методом на северо-западе Сибирской платформы.— Автореф. канд. дисс. Новосибирск, СИИИГГиМС.
- Спиро Н. С., Грамберг И. С., Вовк У. Л. 1956. Методика сравнительного изучения химического состава терригенных осадочных пород.— Труды НИИГА, т. 86.
- Стражов Н. М., Залманзон Э. С. 1955. Распределение аутогенено-минералогических форм железа в осадочных породах и его значение для литологии.— Изв. АН СССР, серия геол., № 1.
- Троицкий С. Л. 1967. Новые данные о последнем покровном оледенении Сибири.— Докл. АН СССР, т. 174, № 6.
- Хабаков А. В. 1946. Об индексах окатанности галечников.— Сов. геология, сб. 10.

СОДЕРЖАНИЕ

Предисловие	5
Е. В. Шумилова, Ф. С. Бузулуков Минерало-нетрографические особенности четвертичных отложений Енисейской впадины в связи с проблемой их происхождения	8
Е. В. Шумилова Петрографический состав грубообломочного материала четвертичных доказанцевских отложений севера Западной Сибири	37
С. С. Сухорукова Литогенетические особенности морских саичуговских отложений на Енисейском Севере	44
Ф. С. Бузулуков Литолого-минералогический состав четвертичных отложений низовьев Енисея как показатель условий их формирования	55
Е. Е. Гуртова Палинологическая характеристика четвертичных отложений Мужинского Урала	74
Т. П. Левина К палинологической характеристике морского плейстоцена западной части Таймырской низменности	85
И. А. Халфина Каргинские диатомовые водоросли из опорного разреза в низовьях Енисея	100
А. В. Гольберт, В. И. Гудина, В. Д. Крюков, В. В. Рогожин, И. И. Рогожина, Э. Е. Романова, С. С. Сухорукова, С. Л. Троицкий Комплексные геологические исследования четвертичных отложений верховьев р. Тукаланды (Норильское плато)	113

CONTENTS

Towword	5
E. V. Shumilova, F. S. Buzuluzkov	
Mineral composition and petrographic peculiarities of the quaternary deposits in Yenissey depression with respect to their origin	8
E. V. Shumilova	
Petrographic composition of the coarse waste of the quaternary Pre-Kazantzevo deposits in the West-Siberian North	37
S. S. Sukhorukova	
Lithologic peculiarities of marine Sanchugovka beds in the North Yenissey region	44
F. S. Buzuluzkov	
Lithological and mineral composition of the quaternary deposits in the Lower Yenissey region as indicators of sedimentation conditions	55
E. E. Gurtovaia	
The quaternary pollen diagrams from Muzschinian Ural upland	74
T. P. Levina	
The Pleistocene pollen diagrams from marine sediments of the western part of Taimyr lowland	85
N. A. Khalifina	
Diatoms from the type section of Karginsky beds	100
A. V. Golbert, V. I. Gudina, V. D. Krjukov, V. V. Rogozshin, N. I. Rogozshina, E. E. Romanova, S. S. Sukhorukova, S. L. Troitskiy	
The complex geological study of the quaternary sediments in the upper part of the Tokalanda valley (Norilsk Plateau)	113

УДК 549.1+552+551.78+550(571.5)

Минерало-петрографические особенности четвертичных отложений Енисейской впадины в связи с проблемой их происхождения. Шумилова Е. В., Бузулуков Ф. С. Морской плейстоцен сибирских равнин. Материалы к литологической и палеонтологической характеристике. Труды Института геологии и геофизики СО АН СССР, вып. 104, 1971. М., «Наука». Стр. 8—36.

Статья посвящена результатам петрографического и минералогического изучения среднеплейстоценовых отложений Енисейской впадины, представленных подморенными, моренными и надморенными отложениями. Методами гранулометрического анализа, изучения прозрачных шлифов и иммерсионных препаратов установлены типы пород, петрографический и минералогический их состав и высказанные взгляды авторов на генезис отдельных горизонтов разреза. Подморенные горизонты подразделены на три генетически различные группы пород — речные аллювиальные, озерно-ледниковые и брекчевые монокристаллические породы, состоящие из обломков меловых глин и залегающие в по- дошве морены.

Морены самаровского и эзринского возраста охарактеризованы как хлодолиты с комплексом минералов кварц-плагиоклаз-пироксенового состава, с цементом глинистого-хлорит-карбонатного состава, отличающимся от цемента всех других горизонтов среднего плейстоцена северной зоны по карбонатному материалу. Установлен характер динамики обломочного материала во времени и намечены пути движения его с севера и востока. Проведена сравнительная характеристика литолого-минералогических и петрографических свойств пород морены с морскими санчуговскими отложениями Усть-Енисейского района. Небольшие исследования надморенных отложений дали возможность охарактеризовать состав и отличительные свойства озерно-ледниковых отложений, по минерологии тяготеющих к морене, комплекс пород аллювиального происхождения хорошо сортированных, имеющих полевошпат-кварцевый состав легких минералов и ильменит-амфибол-эпидотовый состав тяжелых минералов. Третья группа надморенных отложений характеризуется сложным минералогическим составом, формировавшимся в процессе размыва морены и за счет приноса аллювия.

Табл. 4, рис. 8, библ. 13 назв.

УДК 552.1+551.79+550(571.1)

Петрографический состав грубообломочного материала четвертичных доказанцевских отложений севера Западной Сибири. Шумилова Е. В. Морской плейстоцен сибирских равнин. Материалы к литологической и палеонтологической характеристике. Труды Института геологии и геофизики СО АН СССР, вып. 104, 1971. М., «Наука». Стр. 37—43.

В статье приводятся результаты петрографического изучения грубообломочного материала доказанцевских отложений, вскрытых буровыми скважинами на севере Сибири между Уралом и Енисеем.

Выявлены закономерности пространственного расположения обломков определенного петрографического состава, в смене их ассоциаций в направлении с запада на восток и высказывания суждений о источниках сноса материала, условиях транспортировки и осадконакопления.

Табл. 1, рис. 1.

УДК 551.351+551.793+550(571.5)

Литологические особенности морских санчуговских отложений на Енисейском Севере. Сухорукова С. С. Морской плейстоцен сибирских равнин. Материалы к литологической и палеонтологической характеристике. Труды Института геологии и геофизики СО АН СССР, вып. 104, 1971. М., «Наука». Стр. 44—54.

Детальный анализ гранулометрического, петрографического, минералогического и химического состава пород санчуговских отложений показывает, что в плейстоценовом санчуговском море преобладающими были процессы терригенической седimentации. Методом распознавания образов при помощи электронно-счетной машины выделено шесть гранулометрических типов: первые три — пески, четвертый — алевриты, пятый — плохо сортированные алевриты, шестой — глины.

Глинистые минералы представлены монтмориллонитом и гидрослюдой. Санчуговские отложения содержат белый количественно и качественно комплекс аутигенно-диагенетических минералов. Содержание CO_2 — 0,11—1,36%, пиритного железа — 0,1—1,56%, органического вещества — 0,29—1,64%, аморфного кремнезема — 0,1—0,98%.

Терригенность, бедность аутигенно-диагенетическими минералами объясняется условиями осадконакопления в мелководном платформенном море, суровым климатом высоких широт даже в периоды потепления.

Табл. 2, рис. 2, библ. 29 назв.

УДК 552.51+551.4(571.1)

Литолого-минералогический состав четвертичных отложений низовьев Енисея как показатель условий их формирования. Бузулуков Ф. С. Морской плейстоцен сибирских равнин. Материалы к литологической и палеонтологической характеристике. Труды Института геологии и геофизики СО АН СССР, вып. 104, 1971. М., «Наука». Стр. 55—73.

Литологические, гранулометрические и минералогические исследования санчуговских, казанцевских, каргинских и позднеэзриических отложений позволили установить для расчленения горизонтов из отдельных пачек, проследить изменение содержания минералов как по вертикали, так и по площади и выявить условия образования осадков.

В санчуговских слоях граница пироксеновой терригено-минералогической провинции и эпидот-пироксеновой проходит между Селинским мысом и дер. Казанцево. Для казанцевских слоев характерен эпидот-ильменит-пироксеновый комплекс тяжелых минералов.

Увеличение роли устойчивых минералов и степени выветрости плагиоклазов, полевых шпатов и глауконита в казанцевских слоях свидетельствует о более благоприятных

климатических условиях в это время, что хорошо согласуется с выводами, полученными при изучении органических остатков.

Рис. 10, библ. 14 назв.

УДК 561:581.33:551.79

Палинологическая характеристика четвертичных отложений Мужинского Урала. Гуртовой Е. Е. Морской плейстоцен сибирских равнин. Материалы к литологической и палеонтологической характеристике. Труды Института геологии и геофизики СО АН СССР, вып. 104, 1971. М., «Наука». Стр. 74—84.

В статье автор приходит к выводу, что мощная толща доказанцевских четвертичных отложений различного генезиса формировалась в разных физико-географических условиях, и в истории формирования растительности наблюдается следующая закономерность (фазы):

1) арктической пустыни — (?) (термин «арктическая пустыня» условно обозначает спорово-пыльцевой комплекс, состоящий из плохо сохранившихся спор и пыльцы юрского и мелового возраста с единичным присутствием молодой кустарниковой бересмы);

2) лесотундры.

Сравнительно теплые климатические условия межледниковых отражены в фазах 3, 4 и 5, для которых характерна следующая последовательность зональных ландшафтов:

3) редкостойких северотаежных лесов;

4) среднетаежных лесов;

5) северотаежных лесов.

Новый этап наступления более суровых климатических условий нашел отражение в трех последующих фазах:

6) лесотундры с элементами перигляциальной флоры;

7) арктической пустыни;

8) лесотундры.

Рис. 5, библ. 6 назв.

УДК 561:581.33:551.79

К палинологической характеристике морского плейстоцена западной части Таймырской низменности. Левина Т. П. Морской плейстоцен сибирских равнин. Материалы к литологической и палеонтологической характеристике. Труды Института геологии и геофизики СО АН СССР, вып. 104, 1971. М., «Наука». Стр. 85—99.

В статье приводится палинологическая характеристика наиболее характерной части разреза санчуговских слоев в Никитинском яре, Селияном мысе и у селения Карапул. Для времени формирования этих отложений выявлены следующие этапы развития растительности: 1) перигляциальная; 2) типичная тундра; 3) южная кустарниковая тундра.

Палинологическая характеристика казанцевских отложений изловьев р. Агапы позволяет дополнить представления о межледниковой растительности середины казанцевского времени в бассейне р. Пясины. Во время максимума казанцевской трансгрессии около 72° с. ш. на берегах бассейна существовала южная тундра, граничившая с лесотундрой.

Рис. 5, библ. 14 назв.

УДК 551.79:26(282.251.2)

Каргинские диатомовые водоросли из опорного разреза в низовых Енисея. Халфиня И. А. Морской плейстоцен сибирских равнин. Материалы к литологической и палеонтологической характеристике. Труды Института геологии и геофизики СО АН СССР, вып. 104, 1971. М., «Наука». Стр. 100—112.

Изучение каргинской диатомовой флоры позволило дополнить ее состав, выявить массовое появление байкальских видов в определенных слоях и связать это явление с изменением условий осадконакопления.

Табл. 1, рис. 1, библ. 11 назв.

УДК 551.79:

Комплексные геологические исследования четвертичных отложений верховьев р. Тукалаиды (Норильское плато). Гольберт А. В., Гудина В. И., Крюков В. Д., Рогожин В. В., Рогожина И. И., Романова Э. Е., Сухорукова С. С., Троицкий С. Л. Морской плейстоцен сибирских равнин. Материалы к литологической и палеонтологической характеристике. Труды Института геологии и геофизики СО АН СССР, вып. 104, 1970. М., «Наука». Стр. 113—138.

Исследование мощной толщи ленточных глин, алевритов, песков и галечников, выполняющей небольшую впадину в долине р. Тукалаиды и заключенных в них органических остатков, позволило прийти к выводу о формировании ее приледником озера во время последнего (зырянского) оледенения Средне-Сибирского плоскогорья и отказаться от представлений о ее морском происхождении и плио-плейстоценовом возрасте. Найденные в отложениях остатки плейстоценовых морских моллюсков и фораминифер занесены ледниками и ледниковыми водами из морских слоев, обнаженных в Норильской котловине.

Табл. 2, рис. 7, библ. 11 назв.

Морской плейстоцен сибирских равнин
(Материалы к литологической
и палеонтологической характеристике)

Утверждено к печати

*Институтом геологии и геофизики
Сибирского отделения АН СССР*

Редактор издательства Л. В. Миракова

Художник Н. А. Седельников

Технический редактор В. Д. Прилепская

Сдано в набор 2/III-71 г. Подписано к печати 3/VI-71 г.

Формат 70×108^{1/16}. Печ. л. 9+1 вкл.

Усл. печ. л. 13,3. Уч.-изд. л. 11,7. Тираж 1150 экз.

Бумага № 2. Тип. зак. №889. Т-09251

Цена 1 р. 17 к.

*Издательство «Наука»
Москва, К-62, Подсосенский пер., 21*

*2-я типография издательства «Наука»
Москва, Г-99, Шубинский пер., 10*